



# วิทยานิพนธ์

ผลของน้ำตาลซูโครัสและเกลือโซเดียมคลอไรด์ต่อสมบัติทาง  
เคมีกายภาพของแป้งมันสำปะหลัง

EFFECT OF SUCROSE AND SODIUM CHLORIDE ON PHYSICO-CHEMICAL  
PROPERTIES OF CASSAVA STARCH

นางสาวสุจิตรา วงศ์ประยูร

บัณฑิตวิทยาลัย มหาวิทยาลัยเกษตรศาสตร์  
พ.ศ. 2550



## ใบรับรองวิทยานิพนธ์

บัณฑิตวิทยาลัย มหาวิทยาลัยเกษตรศาสตร์

วิทยาศาสตรมหาบัณฑิต (เทคโนโลยีชีวภาพ)

ปริญญา

เทคโนโลยีชีวภาพ

สาขา

เทคโนโลยีชีวภาพ

ภาควิชา

เรื่อง ผลของน้ำตาลซูโครสและเกลือโซเดียมคลอไรด์ต่อสมบัติทางเคมีภysis  
ของแป้งมันสำปะหลัง

Effect of Sucrose and Sodium Chloride on Physico-chemical Properties of  
Cassava Starch

นามผู้วิจัย นางสาวสุจิตรา วงศ์ประยูร

ได้พิจารณาเห็นชอบโดย

ประธานกรรมการ

( รองศาสตราจารย์ก้ามรงค์ ศรีรอด, Dr.Ing. )

กรรมการ

พงษ์ พากนก

( อาจารย์เกื้อภูล ปียะจอมขวัญ, Ph.D. )

กรรมการ

วิภาดา ลักษณ์

( อาจารย์ปรม่า จตุกานท์, Ph.D. )

กรรมการ

กฤษณะ วิจิตร

( รองศาสตราจารย์ไก่ สันติโสภารี, Ph.D. )

หัวหน้าภาควิชา

วันวิทยาศาสตร์

( ผู้ช่วยศาสตราจารย์วิรัตน์ วาณิชย์ศรีรัตน์, Ph.D. )

บัณฑิตวิทยาลัย มหาวิทยาลัยเกษตรศาสตร์รับรองแล้ว

( รองศาสตราจารย์วินัย อาจกรหาญ, M.A. )

คณบดีบัณฑิตวิทยาลัย

วันที่ 22 เดือน มีนาคม พ.ศ. 2550

วิทยานิพนธ์

เรื่อง

ผลของน้ำตาลซูโครัสและเกลือโซเดียมคลอไรด์ต่อสมบัติทางเคมีกายภาพของแป้งมันสำปะหลัง

Effect of Sucrose and Sodium Chloride on Physico-chemical Properties of Cassava Starch

โดย

นางสาวสุจิตรา วงศ์ประยูร

เสนอ

บัณฑิตวิทยาลัย มหาวิทยาลัยเกษตรศาสตร์

เพื่อความสมบูรณ์แห่งปริญญาวิทยาศาสตร์มหาบัณฑิต (เทคโนโลยีชีวภาพ)

พ.ศ. 2550

สุจิตรา วงศ์ประยูร 2550: ผลงานน้ำตาลชูโครสและเกลือโซเดียมคลอไรด์ต่อสมบัติทางเคมีภาระของเปปิง โดยขึ้นอยู่กับปัจจัยทางประการ เช่น ชนิดของเปปิง ปริมาณน้ำ และสภาพในการเก็บรักษา (อุณหภูมิและระยะเวลา เป็นต้น) รวมทั้งชนิดและความเข้มข้นของส่วนประกอบดังกล่าว งานวิจัยนี้มีวัตถุประสงค์ในการศึกษาผลของน้ำตาลชูโครสและเกลือโซเดียมคลอไรด์ ซึ่งเป็นส่วนประกอบที่ใช้กันอยู่ทั่วไปในอุตสาหกรรมอาหารต่อสมบัติทางเคมีภาระของเปปิงมันสำปะหลังและเจลเปปิง โดยตรวจสอบลักษณะการพองตัว สมบัติความหนืด สมบัติวัฏจักรการไหล การเกิดเจลาทีโนเซชัน ริโตรเกรเดชัน การเปลี่ยนสถานะของน้ำแข็ง อุณหภูมิกาสรานสิชัน ( $T_g'$ ) ลักษณะโครงสร้างพลีกและลักษณะเนื้อสัมผัสของเปปิงมันสำปะหลังและเจลเปปิงในสารละลายน้ำตาลชูโครสเข้มข้นร้อยละ 0, 10, 20 และ 30 และสารละลายเกลือโซเดียมคลอไรด์เข้มข้นร้อยละ 0, 5, 10 และ 15 ด้วยเทคนิคการวิเคราะห์ต่าง ๆ โดยพบว่าเปปิงมันสำปะหลังพองตัวได้ที่อุณหภูมิสูงขึ้นเมื่อความเข้มข้นของน้ำตาลชูโครสและเกลือโซเดียมคลอไรด์เพิ่มขึ้น อุณหภูมิที่เริ่มนีกการเปลี่ยนแปลงค่าความหนืดของเปปิงมันสำปะหลังเพิ่มสูงขึ้นอย่างต่อเนื่องเมื่อความเข้มข้นของน้ำตาลเพิ่มขึ้นถึงร้อยละ 30 และความเข้มข้นของเกลือโซเดียมเข้มข้นถึงร้อยละ 10 อย่างไรก็ตาม อุณหภูมิมีค่าลดลงเมื่อความเข้มข้นของเกลือเพิ่มขึ้นเป็นร้อยละ 15 สอดคล้องกับอุณหภูมิที่มีการเปลี่ยนแปลงสมบัติวัฏจักรการไหลขณะให้ความร้อน และอุณหภูมิที่ใช้ในการเกิดเจลาทีโนเซชันของเปปิงมันสำปะหลังในสภาพที่มีน้ำตาลชูโครสและเกลือโซเดียมคลอไรด์ค่าความหนืดต่ำสุด ค่าความหนืดสุดท้ายและค่าการคืนตัวของเปปิงจะเพิ่มขึ้นเมื่อความเข้มข้นของน้ำตาลและเกลือเพิ่มขึ้น เจลเปปิงมันสำปะหลังริโตรเกรดได้ดีที่สุดเมื่อเก็บรักษาที่อุณหภูมิ 4 องศาเซลเซียส ในขณะที่เกิดการเปลี่ยนแปลงเพียงเล็กน้อยเมื่อเก็บรักษาที่อุณหภูมิ 25 องศาเซลเซียส และไม่พบการริโตรเกรดที่ทุกระดับความเข้มข้นของน้ำตาล และเกลือเมื่อเก็บรักษาที่อุณหภูมิ -18 องศาเซลเซียส และพบว่าน้ำตาลชูโครสมีแนวโน้มในการส่งเสริมการเกิดริโตรเกรเดชันของเจลเปปิงที่ผ่านการเก็บรักษาที่อุณหภูมิ 4 และ 25 องศาเซลเซียส ในขณะที่เกลือโซเดียมคลอไรด์มีผลในการขับยักษ์การเกิดริโตรเกรเดชันของเจลเปปิง โดยการขับยักษ์จะเพิ่มขึ้นเมื่อความเข้มข้นของเกลือเพิ่มขึ้น การขับยักษ์การเกิดริโตรเกรเดชันของเจลเปปิงในสภาพที่มีเกลือโซเดียมคลอไรด์เป็นองค์ประกอบอาจเป็นผลมาจากการพันธะระหว่างอ่อนของเกลือกับโมเลกุลเปปิงและน้ำ  $T_g'$  ของเจลเปปิงมันสำปะหลังและปริมาณน้ำที่แข็งตัวได้มีค่าลดลงในสภาพที่มีน้ำตาลหรือเกลือ โดยน้ำตาลมีแนวโน้มที่จะทำให้  $T_g'$  ของเจลเปปิงเพิ่มขึ้น ในขณะที่เกลือมีอิทธิพลเพียงเล็กน้อยต่อ  $T_g'$  ของเจลเปปิงในระหว่างการเก็บรักษา และพบว่าค่าความแข็งของเจลเปปิงมีความสัมพันธ์กับระดับการเกิดริโตรเกรเดชันของเจลเปปิง อิทธิพลของน้ำตาลชูโครสและเกลือโซเดียมคลอไรด์ต่อการเปลี่ยนแปลงสมบัติทางเคมีภาระของเปปิงมันสำปะหลังและเจลเปปิงที่ได้จากงานวิจัยนี้มีความสำคัญต่อกระบวนการแปรรูปและสมบัติของผลิตภัณฑ์จากเปปิง ซึ่งจะมีบทบาทต่อคุณภาพและความคงทนระหว่างการเก็บรักษาของผลิตภัณฑ์ที่มีเปปิงมันสำปะหลังเป็นองค์ประกอบ

สุจิตรา วงศ์ประยูร  
ลายมือชื่อผู้นิสิต

ลายมือชื่อประธานกรรมการ

20 / มค / 50

Suchitra Wongprayoon 2007: Effect of Sucrose and Sodium Chloride on Physico-chemical Properties of Cassava Starch. Master of Science (Biotechnology), Major Field: Biotechnology, Department of Biotechnology. Thesis Advisor: Associate Professor Klanarong Sriroth, Dr. Ing. 156 pages.

Physico-chemical properties of starch can be markedly altered by the addition of other ingredients. Their effects are greatly dependent on starch types and concentrations, water contents, storage conditions (e.g. temperature and time) as well as their types and concentrations. This research aimed to analyze physico-chemical properties of cassava starch and its gel as influenced by sucrose and NaCl widely used as common ingredients in a variety of processed foods. Investigations of swelling characteristic, pasting properties, rheological properties, gelatinization, retrogradation, freezable water, glass transition, x-ray diffraction and textural properties of cassava starch suspensions and gels in various concentrations of sucrose solution (0, 10, 20 and 30%) and NaCl solution (0, 5, 10 and 15%) were performed. Swelling of cassava starch granules was observed at a higher temperature in the presence of increasing sucrose and NaCl. Increasing concentration of sucrose progressively shifted a pasting temperature of cassava starch to a higher temperature. When heated in NaCl solution up to 10%, pasting temperature of cassava starch increased and then decreased as NaCl concentration was further raised to 15% corresponding with rheological changes and gelatinization transition temperatures. Trough, final viscosity and setback of cassava starch were also raised with respect to increasing concentration of sucrose or NaCl. The maximum extent of retrogradation was observed in starch gels aged at 4°C, while significantly less change was found in sample aged at 25°C. Moreover, no retrogradation was detected in all samples kept at -18°C. Sucrose tended to slightly promote retrogradation of cassava starch aged at 4°C and 25°C whereas NaCl effectively prevented the retrogradation with increasing concentration. Inhibition of starch recrystallization by NaCl was possibly contributed to partial ionic bonds of ions with starch molecules and water. Glass transition temperature ( $T_g'$ ) of cassava starch gels was depressed and decreasing amount of freezable water was detected progressively by both sucrose and NaCl. Sucrose tended to increase, while NaCl slightly affected  $T_g'$  of cassava starch gels during storage. Hardness of starch gels was also found to increase relatively with increasing retrogradation extent. These effects of sucrose and NaCl on thermal transition and physico-chemical properties are of importance to the processing and properties of starch-based products and can play major roles in the quality and storage stability of cassava starch containing products.

Suchitra Wongprayoon  
Student's signature

  
Thesis Advisor's signature

20 / 03 / 07

## กิตติกรรมประกาศ

ข้าพเจ้าขอขอบพระคุณ รศ. ดร. กล้านรงค์ ศรีรอด ประธานกรรมการที่ปรึกษาวิทยานิพนธ์ ดร. เกื้อภูล ปิยะจอมขวัญ ดร. ปฐมา ชาടกานนท์ กรรมการสาขาวิชาเอก รศ.ดร. วีໄล สันติโสภาพร์ กรรมการสาขาวิชารอง ที่ได้กรุณาให้คำแนะนำนำปรึกษาในการดำเนินการวิจัย ตลอดทั้งตรวจสอบ แก้ไขวิทยานิพนธ์ฉบับนี้จนสำเร็จลุล่วง และขอบพระคุณ รศ. ดร. ปริศนา สุวรรณภรณ์ อาจารย์ผู้แทนบันทึกวิทยาลัยที่กรุณาตรวจสอบแก้ไขวิทยานิพนธ์ให้มีความถูกต้องสมบูรณ์ยิ่งขึ้น

ขอขอบพระคุณบันทึกวิทยาลัย มหาวิทยาลัยเกษตรศาสตร์และมูลนิธิสถาบันพัฒนามั่นสำคัญแห่งประเทศไทย ที่มอบทุนสนับสนุนการวิจัย และขอบคุณหน่วยปฏิบัติการเทคโนโลยีและรูปแบบสำคัญแห่งประเทศไทย สถาบันพัฒนาผลิตผลทางการเกษตรและอุดสาหกรรมเกษตร มหาวิทยาลัยเกษตรศาสตร์ ที่เอื้อเพื่ออุปกรณ์และเครื่องมือในการวิจัย รวมทั้งพี.ๆ เพื่อนๆ และน้องๆ หน่วยเบื้องหลังท่านที่ช่วยเหลือในการปฏิบัติงาน ให้คำแนะนำ คำปรึกษา และความอนุเคราะห์ในด้านต่างๆ จนงานสำเร็จได้ด้วยดี

สุดท้ายนี้ขอกราบขอบพระคุณบิความรدا ที่ได้ให้การสนับสนุนและส่งเสริมด้านการศึกษาของข้าพเจ้าด้วยดีมาตลอด รวมทั้งขอบคุณผู้มีพระคุณที่ไม่ได้อ่านมาไว้ ณ ที่นี่ทุกท่าน สำหรับความช่วยเหลือและเป็นกำลังใจอย่างดียิ่งตลอดมา

สุจิตรา วงศ์ประยูร

ตุลาคม 2549

(1)

## สารบัญ

หน้า

สารบัญ	(1)
สารบัญตาราง	(2)
สารบัญภาพ	(5)
คำนำ	1
วัตถุประสงค์	2
การตรวจสอบสาร	3
อุปกรณ์และวิธีการ	44
อุปกรณ์	44
วิธีการ	45
ผลและการวิเคราะห์	53
สรุปผลการทดลอง	131
เอกสารและสิ่งอ้างอิง	134
ภาคผนวก	143
ภาคผนวก ก วิธีการวิเคราะห์	144
ภาคผนวก ข Linear Viscoelastic Range	153

## สารบัญตาราง

ตารางที่	หน้า
1 สมบัติที่สำคัญของอะมิโลสและอะมิโลเพกติน	7
2 คุณลักษณะที่ต้องการสำหรับแป้งมันสำปะหลัง	12
3 ความหมายของคุณลักษณะเนื้อสัมผัสต่าง ๆ ในเชิงคุณภาพทางกายภาพจาก การทำ Texture Profile Analysis และในเชิงคุณภาพทางประสาทสัมผัส	27
4 ประโยชน์ของเกลือบางชนิดในอุตสาหกรรมอาหาร	39
5 องค์ประกอบทางเคมีของแป้งมันสำปะหลัง	53
6 สมบัติความหนืดของแป้งมันสำปะหลังในสภาพที่มีน้ำตาลซูโครัส เข้มข้น 0-30% เมื่อวิเคราะห์ด้วยเครื่อง RVA	61
7 สมบัติความหนืดของแป้งมันสำปะหลังในสภาพที่มีเกลือโซเดียมคลอไรด์ เข้มข้น 0-15% เมื่อวิเคราะห์ด้วยเครื่อง RVA	63
8 ผลของสารละลายน้ำตาลซูโครัสเข้มข้น 0-30% ต่อการเปลี่ยนแปลงค่า Storage modulus ( $G'$ ), Loss modulus ( $G''$ ) และ $\tan \delta$ ของแป้งมันสำปะหลังที่อุณหภูมิ 95 และ 25 องศาเซลเซียส	65
9 ผลของสารละลายน้ำตาลซูโครัสเข้มข้น 0-15% ต่อการเปลี่ยนแปลงค่า Storage modulus ( $G'$ ), Loss modulus ( $G''$ ) และ $\tan \delta$ ของแป้งมันสำปะหลัง ที่อุณหภูมิ 95 และ 25 องศาเซลเซียส	68
10 อุณหภูมิและพลังงานที่ใช้ในการเกิดเจลาทีนเซชันของแป้งมันสำปะหลังใน สภาวะที่มีน้ำตาลซูโครัสเข้มข้น 0-30% เมื่อวิเคราะห์ด้วยเครื่อง DSC	71
11 อุณหภูมิและพลังงานที่ใช้ในการเกิดเจลาทีนเซชันของแป้งมันสำปะหลังใน สภาวะที่มีเกลือโซเดียมคลอไรด์เข้มข้น 0-15% เมื่อวิเคราะห์ด้วยเครื่อง DSC	73
12 อุณหภูมิที่ใช้ในการทำลายโครงสร้างผลึกในเจลแป้งมันสำปะหลังในสภาพที่ มีน้ำตาลซูโครัสเข้มข้น 0-30% หลังการเก็บรักษาที่อุณหภูมิ -18, 4 และ 25 องศาเซลเซียส เป็นเวลา 7 วัน เมื่อวิเคราะห์ด้วยเครื่อง DSC	76
13 ร้อยละการเกิดรีไทร์กรเดชันของเจลแป้งมันสำปะหลังในสภาพที่มี น้ำตาลซูโครัสเข้มข้น 0-30% หลังการเก็บรักษาที่อุณหภูมิ -18, 4 และ 25 องศาเซลเซียส เป็นเวลา 7 วัน	77

## สารบัญตาราง (ต่อ)

ตารางที่	หน้า
14 ค่าคงที่สำหรับการเกิดริโโทรเกรเดชันของเจลแป้งมันสำปะหลังในสภาพที่มีน้ำตาลซูโครสเพิ่มขึ้น 0-30% หลังการเก็บรักษาที่อุณหภูมิ 4 องศาเซลเซียส เป็นเวลา 0-21 วัน จากการวิเคราะห์ด้วยสมการ Avrami	80
15 อุณหภูมิที่ใช้ในการทำลายโครงสร้างผลึกในเจลแป้งมันสำปะหลังในสภาพที่มีเกลือโซเดียมคลอไรด์เพิ่มขึ้น 0-15% หลังการเก็บรักษาที่อุณหภูมิ -18, 4 และ 25 องศาเซลเซียส เป็นเวลา 7 วัน เมื่อวิเคราะห์ด้วยเครื่อง DSC	83
16 ร้อยละการเกิดริโตรเกรเดชันของเจลแป้งมันสำปะหลังในสภาพที่มีเกลือโซเดียมคลอไรด์เพิ่มขึ้น 0-15% หลังการเก็บรักษาที่อุณหภูมิ -18, 4 และ 25 องศาเซลเซียส เป็นเวลา 7 วัน	84
17 ค่าคงที่สำหรับการเกิดริโตรเกรเดชันของเจลแป้งมันสำปะหลังในสภาพที่มีเกลือโซเดียมคลอไรด์เพิ่มขึ้น 0-15% หลังการเก็บรักษาที่อุณหภูมิ 4 องศาเซลเซียส เป็นเวลา 0-21 วัน จากการวิเคราะห์ด้วยสมการ Avrami	86
18 อุณหภูมิที่ใช้ในการหลอมเหลวผลึกน้ำแข็งและปริมาณน้ำที่แข็งตัวได้ในน้ำแป้งมันสำปะหลังในสภาพที่มีน้ำตาลซูโครสเพิ่มขึ้น 0-30% เมื่อวิเคราะห์ด้วยเครื่อง DSC	88
19 ปริมาณน้ำที่แข็งตัวได้ในเจลแป้งมันสำปะหลังในสภาพที่มีน้ำตาลซูโครสเพิ่มขึ้น 0-30% หลังการเก็บรักษาที่อุณหภูมิ -18, 4 และ 25 องศาเซลเซียส เป็นเวลา 7 วัน	90
20 ปริมาณน้ำที่แข็งตัวได้ในเจลแป้งมันสำปะหลังในสภาพที่มีน้ำตาลซูโครสเพิ่มขึ้น 0-30% หลังการเก็บรักษาที่อุณหภูมิ 4 องศาเซลเซียส เป็นเวลา 0-21 วัน	92
21 อุณหภูมิที่ใช้ในการหลอมเหลวผลึกน้ำแข็งและปริมาณน้ำที่แข็งตัวได้ในน้ำแป้งมันสำปะหลังในสภาพที่มีเกลือโซเดียมคลอไรด์เพิ่มขึ้น 0-15% เมื่อวิเคราะห์ด้วยเครื่อง DSC	94
22 ปริมาณน้ำที่แข็งตัวได้ในเจลแป้งมันสำปะหลังในสภาพที่มีเกลือโซเดียมคลอไรด์เพิ่มขึ้น 0-15% หลังการเก็บรักษาที่อุณหภูมิ -18, 4 และ 25 องศาเซลเซียส เป็นเวลา 7 วัน	96

### สารบัญตาราง (ต่อ)

ตารางที่	หน้า
23 ปริมาณน้ำที่แข็งตัวได้ในเจลแป้งมันสำปะหลังในสภาวะที่มีเกลือโซเดียมคลอไรด์เพิ่มขึ้น 0-15% หลังการเก็บรักษาที่อุณหภูมิ 4 องศาเซลเซียส เป็นเวลา 0-21 วัน	98
24 อุณหภูมิกลางานสิชัน ( $T_g'$ ) ของเจลแป้งมันสำปะหลังในสภาวะที่มีน้ำตาลซูโครัสเพิ่มขึ้น 0-30% ก่อนและหลังการเก็บรักษาที่อุณหภูมิ -18, 4 และ 25 องศาเซลเซียส เป็นเวลา 7 วัน	101
25 อุณหภูมิกลางานสิชัน ( $T_g'$ ) ของเจลแป้งมันสำปะหลังในสภาวะที่มีน้ำตาลซูโครัสเพิ่มขึ้น 0-30% หลังการเก็บรักษาที่อุณหภูมิ 4 องศาเซลเซียส เป็นเวลา 0-21 วัน	102
26 อุณหภูมิกลางานสิชัน ( $T_g'$ ) ของเจลแป้งมันสำปะหลังในสภาวะที่มีเกลือโซเดียมคลอไรด์เพิ่มขึ้น 0-15% หลังการเก็บที่อุณหภูมิ -18, 4 และ 25 องศาเซลเซียส เป็นเวลา 7 วัน	104
27 อุณหภูมิกลางานสิชัน ( $T_g'$ ) ของเจลแป้งมันสำปะหลัง ในสภาวะที่มีเกลือโซเดียมคลอไรด์เพิ่มขึ้น 0-15% หลังการเก็บรักษาที่อุณหภูมิ 4 องศาเซลเซียส เป็นเวลา 0-21 วัน	106
28 สมบัติเนื้อสัมผสของเจลแป้งมันสำปะหลังในสภาวะที่มีน้ำตาลซูโครัสเพิ่มขึ้น 0-30% หลังการเก็บรักษาที่อุณหภูมิ -18, 4 และ 25 องศาเซลเซียส เป็นเวลา 7 วัน เมื่อวิเคราะห์ด้วยเครื่อง Texture Analyzer	111
29 สมบัติเนื้อสัมผสของเจลแป้งมันสำปะหลังในสภาวะที่มีเกลือโซเดียมคลอไรด์เพิ่มขึ้น 0-15% หลังการเก็บรักษาที่อุณหภูมิ -18, 4 และ 25 องศาเซลเซียส เป็นเวลา 7 วัน เมื่อวิเคราะห์ด้วยเครื่อง Texture Analyzer	123

## สารบัญภาพ

ภาพที่	หน้า
1 โครงสร้างของอะมิโลส (g) และอะมิโลเพกติน (h)	5
2 ลักษณะ โครงสร้างของอะมิโลเพกตินที่ประกอบด้วยสายโซ่ 3 ชนิด รวมทั้งส่วนผลึกและส่วนอสัมฐาน	7
3 วงแหวน (growth ring) ภายในเม็ดแป้ง (starch granule)	9
4 การจัดเรียงตัวของอะมิโลสและอะมิโลเพกตินภายในเม็ดแป้ง	10
5 รูปแบบการหักเหรังสีอีกซี่เรย์ของเม็ดแป้งที่มีโครงสร้างผลึกต่างกัน	11
6 การเปลี่ยนแปลง โครงสร้างส่วนอสัมฐานและ โครงสร้างผลึกภายในเม็ดแป้ง ที่เกิดขึ้นขณะให้ความร้อนแก่สารละลายแป้ง	15
7 ระยะในการเกิดเจลาตินเซชันของเม็ดแป้ง	16
8 ตัวอย่างกราฟที่ได้จากการวิเคราะห์ด้วยเครื่อง DSC ของสารผสมแป้งกับน้ำ (30:70) ( $T_o$ = onset temperature, $T_p$ = peak temperature, $T_c$ = conclusion temperature)	18
9 ลักษณะกราฟความหนืดและค่าพารามิเตอร์ต่าง ๆ ที่วัดด้วยเครื่อง RVA	20
10 ความสัมพันธ์ระหว่างอัตราการเกิด Recrystallization กับอุณหภูมิ กลาสทรานสิชันและอุณหภูมิหลอมเหลวของ โครงสร้างผลึก	22
11 กราฟความสัมพันธ์ที่ได้จากการวัดค่าเนื้อสัมผัสแบบ Texture Profile Analysis (TPA)	26
12 Linear Viscoelastic (LVE) Range	29
13 แบบจำลอง Two-Plate-Model	30
14 แบบจำลอง Two-Plate-Model สำหรับการทดสอบ oscillatory test	31
15 ความสัมพันธ์ระหว่างความเค็นและความเครียดในการทดสอบ oscillatory test ของวัสดุประเภทต่าง ๆ	31
16 ค่า Storage modulus ( $G'$ ) และ Loss modulus ( $G''$ ) ที่แสดงพฤติกรรมของ viscoelastic materials	33
17 โครงสร้างของน้ำตาลชูโปรดส์	35

## สารบัญภาพ (ต่อ)

ภาพที่	หน้า
18 โครงสร้างผลึกของเกลือโซเดียมคลอไรด์และการละลายของเกลือโซเดียมคลอไรด์ ในน้ำในรูปของโซเดียมอิโอน ( $\text{Na}^+$ ) และคลอไรด์อิโอน ( $\text{Cl}^-$ )	40
19 กราฟแสดงการเปลี่ยนสถานะของน้ำในเจลแป้ง และอุณหภูมิกาสทรานส์ชันของเจลแป้งมันสำปะหลัง ( $T_g'$ ) ที่ได้จากการวิเคราะห์ด้วยเครื่อง DSC	50
20 ลักษณะทางสัณฐานวิทยาของเม็ดแป้งมันสำปะหลัง เมื่อศึกษาด้วยกล้องจุลทรรศน์ภายใต้แสงธรรมชาติ ที่กำลังขยาย 20 เท่า	54
21 ค่าร้อยละการกระจายตัวของขนาดเม็ดแป้งมันสำปะหลัง	55
22 ลักษณะการพองตัวของเม็ดแป้งมันสำปะหลังขณะให้ความร้อนในสารละลายน้ำตาลซูโครสเพิ่มขึ้น 0-30%	56
23 การเปลี่ยนแปลงขนาดเส้นผ่านศูนย์กลางเฉลี่ยของเม็ดแป้งมันสำปะหลังขณะให้ความร้อนในสารละลายน้ำตาลซูโครสเพิ่มขึ้น 0-30% เทียบกับขนาดเส้นผ่านศูนย์กลางเริ่มต้น	57
24 ลักษณะการพองตัวของเม็ดแป้งมันสำปะหลังขณะให้ความร้อนในสารละลายน้ำตาลซูโครสเพิ่มขึ้น 0-15%	58
25 การเปลี่ยนแปลงขนาดเส้นผ่านศูนย์กลางเฉลี่ยของเม็ดแป้งมันสำปะหลังขณะให้ความร้อนในสารละลายน้ำตาลซูโครสเพิ่มขึ้น 0-15% เทียบกับขนาดเส้นผ่านศูนย์กลางเริ่มต้น	59
26 ผลของสารละลายน้ำตาลซูโครสเพิ่มขึ้น 0-30% ต่อการเปลี่ยนแปลงความหนืดของแป้งมันสำปะหลัง เมื่อวิเคราะห์ด้วยเครื่อง RVA	60
27 ผลของสารละลายน้ำตาลซูโครสเพิ่มขึ้น 0-15% ต่อการเปลี่ยนแปลงความหนืดของแป้งมันสำปะหลัง เมื่อวิเคราะห์ด้วยเครื่อง RVA	62
28 ผลของสารละลายน้ำตาลซูโครสเพิ่มขึ้น 0-30% ต่อการเปลี่ยนแปลงค่า Storage modulus ( $G'$ ) และ Loss modulus ( $G''$ ) ของแป้งมันสำปะหลังขณะให้ความร้อน	64

## สารบัญภาพ (ต่อ)

ภาพที่	หน้า
29 ผลของสารละลายน้ำตาลซูโกรสเข้มข้น 0-30% ต่อการเปลี่ยนแปลงค่า Storage modulus ( $G'$ ) และ Loss modulus ( $G''$ ) ของแป้งมันสำปะหลัง ขณะทำให้เย็น	65
30 ผลของสารละลายน้ำตาลซูโกรสเข้มข้น 0-15% ต่อการเปลี่ยนแปลงค่า Storage modulus ( $G'$ ) และ Loss modulus ( $G''$ ) ของแป้งมันสำปะหลัง ขณะให้ความร้อน	67
31 ผลของสารละลายน้ำตาลซูโกรสเข้มข้น 0-15% ต่อการเปลี่ยนแปลงค่า Storage modulus ( $G'$ ) และ Loss modulus ( $G''$ ) ของแป้งมันสำปะหลัง ขณะทำให้เย็น	68
32 ลักษณะเทอร์โมแกรมแสดงการเกิดเจลาทีไนเซชันของแป้งมันสำปะหลัง ในสภาวะที่มีน้ำตาลซูโกรสเข้มข้น 0-30% เมื่อวิเคราะห์ด้วยเครื่อง DSC	70
33 ลักษณะเทอร์โมแกรมแสดงการเกิดเจลาทีไนเซชันของแป้งมันสำปะหลัง ในสภาวะที่มีเกลือโซเดียมคลอไรด์เข้มข้น 0-15% เมื่อวิเคราะห์ด้วยเครื่อง DSC	72
34 ลักษณะเทอร์โมแกรมของเจลแป้งมันสำปะหลังในสภาวะที่มีน้ำตาลซูโกรสเข้มข้น 0-30% หลังการเก็บที่อุณหภูมิ 4 องศาเซลเซียส เป็นเวลา 7 วัน เมื่อวิเคราะห์ด้วยเครื่อง DSC	75
35 ผลของน้ำตาลซูโกรสเข้มข้น 0-30% ต่อร้อยละการเกิดรีไทร์กรีเดชัน ของเจลแป้งมันสำปะหลัง หลังการเก็บรักษาที่อุณหภูมิ -18, 4 และ 25 องศาเซลเซียส เป็นเวลา 7 วัน	77
36 ผลของน้ำตาลซูโกรสเข้มข้น 0-30% ต่อร้อยละการเกิดรีไทร์กรีเดชัน ของเจลแป้งมันสำปะหลัง หลังการเก็บรักษาที่อุณหภูมิ 4 องศาเซลเซียส เป็นเวลา 0-21 วัน	79
37 ลักษณะเทอร์โมแกรมของเจลแป้งมันสำปะหลังในสภาวะที่มีเกลือโซเดียมคลอไรด์เข้มข้น 0-15% หลังการเก็บรักษาที่อุณหภูมิ 4 องศาเซลเซียส เป็นเวลา 7 วัน เมื่อวิเคราะห์ด้วยเครื่อง DSC	82

## สารบัญภาพ (ต่อ)

ภาพที่	หน้า
38 ผลของเกลือโซเดียมคลอไรด์เข้มข้น 0-15% ต่อร้อยละการเกิดริโตรเกรเดชันของเจลแป้งมันสำปะหลัง หลังการเก็บรักษาที่อุณหภูมิ -18, 4 และ 25 องศาเซลเซียส เป็นระยะเวลา 7 วัน	84
39 ผลของเกลือโซเดียมคลอไรด์เข้มข้น 0-15% ต่อร้อยละการเกิดริโตรเกรเดชันของเจลแป้งมันสำปะหลัง หลังการเก็บรักษาที่อุณหภูมิ 4 องศาเซลเซียส เป็นเวลา 0-21 วัน	86
40 ลักษณะเทอร์โมแกรมแสดงการหลอมเหลวของพลาสติกน้ำแข็งในน้ำแป้งมันสำปะหลังในสภาวะที่มีน้ำตาลซูโครสเข้มข้น 0-30% เมื่อวิเคราะห์ด้วยเครื่อง DSC	88
41 ลักษณะเทอร์โมแกรมแสดงการหลอมเหลวพลาสติกน้ำแข็งในเจลแป้งมันสำปะหลังในสภาวะที่มีน้ำตาลซูโครสเข้มข้น 0-30% หลังการเก็บรักษาที่อุณหภูมิ 4 องศาเซลเซียส เป็นเวลา 7 วัน	90
42 ผลของน้ำตาลซูโครสเข้มข้น 0-30% ต่อบริมาณน้ำที่แข็งตัวได้ในเจลแป้งมันสำปะหลังหลังการเก็บรักษาที่อุณหภูมิ -18, 4 และ 25 องศาเซลเซียส เป็นเวลา 7 วัน	91
43 ผลของระยะเวลาการเก็บรักษาต่อปริมาณน้ำที่แข็งตัวได้ในเจลแป้งมันสำปะหลังในสภาวะที่มีน้ำตาลซูโครสเข้มข้น 0-30% เมื่อเก็บรักษาที่อุณหภูมิ 4 องศาเซลเซียส เป็นเวลา 0-21 วัน	92
44 ความสัมพันธ์ระหว่างปริมาณน้ำที่แข็งตัวได้และอัตราการเกิดริโตรเกรเดชันในสภาวะที่มีน้ำตาลซูโครสเข้มข้น 0-30%	93
45 ลักษณะเทอร์โมแกรมแสดงการหลอมเหลวพลาสติกน้ำแข็งในน้ำแป้งมันสำปะหลังในสภาวะที่มีเกลือโซเดียมคลอไรด์เข้มข้น 0-15% เมื่อวิเคราะห์ด้วยเครื่อง DSC	94
46 ลักษณะเทอร์โมแกรมแสดงการหลอมเหลวพลาสติกน้ำแข็งในเจลแป้งมันสำปะหลังในสภาวะที่มีเกลือโซเดียมคลอไรด์เข้มข้น 0-15% หลังการเก็บรักษาที่อุณหภูมิ 4 องศาเซลเซียส เป็นเวลา 7 วัน	96

## สารบัญภาพ (ต่อ)

ภาพที่	หน้า
47 ผลของเกลือโซเดียมคลอไรด์เข้มข้น 0-15% ต่อปริมาณน้ำที่แข็งตัวได้ในเจลแป้งมันสำปะหลัง หลังการเก็บรักษาที่อุณหภูมิ-18, 4 และ 25 องศาเซลเซียส เป็นเวลา 7 วัน	97
48 ผลของระยะเวลาการเก็บรักษาต่อปริมาณน้ำที่แข็งตัวได้ในเจลแป้งมันสำปะหลังในสภาวะที่มีเกลือโซเดียมคลอไรด์เข้มข้น 0-15% หลังการเก็บรักษาที่อุณหภูมิ 4 องศาเซลเซียส เป็นเวลา 0-21 วัน	98
49 ความสัมพันธ์ระหว่างปริมาณน้ำที่แข็งตัวได้และอัตราการเกิดริโตรเกรเดชันในสภาวะที่มีเกลือโซเดียมคลอไรด์เข้มข้น 0-15%	99
50 ผลของน้ำตาลซูโครสเข้มข้น 0-30% ต่ออุณหภูมิกลางานสีชัน ( $T_g'$ ) ของเจลแป้งมันสำปะหลัง หลังการเก็บรักษาที่อุณหภูมิ -18, 4 และ 25 องศาเซลเซียส เป็นเวลา 7 วัน	101
51 ความสัมพันธ์ระหว่างอุณหภูมิกลางานสีชันและอัตราการเกิดริโตรเกรเดชันในสภาวะที่มีน้ำตาลซูโครสเข้มข้น 0-30%	103
52 ผลของเกลือโซเดียมคลอไรด์เข้มข้น 0-15% ต่ออุณหภูมิกลางานสีชัน ( $T_g'$ ) ของเจลแป้งมันสำปะหลัง หลังการเก็บรักษาที่อุณหภูมิ -18, 4 และ 25 องศาเซลเซียส เป็นเวลา 7 วัน	105
53 ความสัมพันธ์ระหว่างอุณหภูมิกลางานสีชันและอัตราการเกิดริโตรเกรเดชันในสภาวะที่มีเกลือโซเดียมคลอไรด์เข้มข้น 0-15%	106
54 ลักษณะ X-ray diffraction pattern ของเม็ดแป้งมันสำปะหลังและเจลแป้งมันสำปะหลังในสารละลายน้ำตาลซูโครสและเกลือโซเดียมคลอไรด์ที่ระดับความเข้มข้นต่างๆ เมื่อผ่านการเก็บที่อุณหภูมิ 4 องศาเซลเซียส เป็นเวลา 7 วัน	107
55 ลักษณะของเจลแป้งมันสำปะหลังในสภาวะที่มีน้ำตาลซูโครสเข้มข้น 0-30% หลังการเก็บรักษาที่อุณหภูมิ -18, 4 และ 25 องศาเซลเซียส เป็นเวลา 7 วัน	109

## สารบัญภาพ (ต่อ)

ภาพที่	หน้า
56 ภาพแสดงการเปลี่ยนแปลงลักษณะเนื้อสัมผัสของเจลเป็นมันสำปะหลังในสภาวะที่มีน้ำตาลซูโครัสเพิ่มขึ้น 0-30% หลังการเก็บรักษาที่อุณหภูมิ -18, 4 และ 25 องศาเซลเซียส เป็นเวลา 7 วัน เมื่อวิเคราะห์ด้วยเครื่อง Texture Analyzer	110
57 ผลของน้ำตาลซูโครัสเพิ่มขึ้น 0-30% ต่อค่าความแข็งของเจลเป็นมันสำปะหลังหลังการเก็บรักษาที่อุณหภูมิ -18, 4 และ 25 องศาเซลเซียส เป็นเวลา 0-21 วัน	115
58 ผลของน้ำตาลซูโครัสเพิ่มขึ้น 0-30% ต่อความสามารถในการเกาะติดผิววัสดุของเจลเป็นมันสำปะหลัง หลังการเก็บรักษาที่อุณหภูมิ -18, 4 และ 25 องศาเซลเซียส เป็นเวลา 0-21 วัน	116
59 ผลของน้ำตาลซูโครัสเพิ่มขึ้น 0-30% ต่อความยืดหยุ่นของเจลเป็นมันสำปะหลังหลังการเก็บรักษาที่อุณหภูมิ -18, 4 และ 25 องศาเซลเซียส เป็นเวลา 0-21 วัน	117
60 ผลของน้ำตาลซูโครัสเพิ่มขึ้น 0-30% ต่อความสามารถเกาะรวมตัวกันของเจลเป็นมันสำปะหลัง หลังการเก็บรักษาที่อุณหภูมิ -18, 4 และ 25 องศาเซลเซียส เป็นเวลา 0-21 วัน	118
61 ผลของน้ำตาลซูโครัสเพิ่มขึ้น 0-30% ต่อค่าความเหนียวเป็นยางของเจลเป็นมันสำปะหลังหลังการเก็บรักษาที่อุณหภูมิ -18, 4 และ 25 องศาเซลเซียส เป็นเวลา 0-21 วัน	119
62 ลักษณะของเจลเป็นมันสำปะหลังในสารละลายเกลือโซเดียมคลอไรด์เพิ่มขึ้น 0-15% หลังการเก็บรักษาที่อุณหภูมิ -18, 4 และ 25 องศาเซลเซียส เป็นเวลา 7 วัน	120
63 ภาพแสดงการเปลี่ยนแปลงลักษณะเนื้อสัมผัสของเจลเป็นมันสำปะหลังในสภาวะที่มีเกลือโซเดียมคลอไรด์เพิ่มขึ้น 0-15% หลังการเก็บรักษาที่อุณหภูมิ -18, 4 และ 25 องศาเซลเซียส เป็นเวลา 7 วัน เมื่อวิเคราะห์ด้วยเครื่อง Texture Analyzer	121

## สารบัญภาพ (ต่อ)

ภาพที่	หน้า
64 ผลของเกลือโซเดียมคลอไรด์เข้มข้น 0-15% ต่อค่าความแข็งของเจลแป้งมันสำปะหลัง หลังการเก็บรักษาที่อุณหภูมิ -18, 4 และ 25 องศาเซลเซียส เป็นเวลา 0-21 วัน	126
65 ผลของเกลือโซเดียมคลอไรด์เข้มข้น 0-15% ต่อความสามารถในการเกาะติดผิวสัมผสุกของเจลแป้งมันสำปะหลัง หลังการเก็บรักษาที่อุณหภูมิ -18, 4 และ 25 องศาเซลเซียส เป็นเวลา 0-21 วัน	127
66 ผลของเกลือโซเดียมคลอไรด์เข้มข้น 0-15% ต่อความยืดหยุ่นของเจลแป้งมันสำปะหลัง หลังการเก็บรักษาที่อุณหภูมิ -18, 4 และ 25 องศาเซลเซียส เป็นเวลา 0-21 วัน	128
67 ผลของเกลือโซเดียมคลอไรด์เข้มข้น 0-15% ต่อความสามารถเกาะรวมตัวกันของเจลแป้งมันสำปะหลัง หลังการเก็บรักษาที่อุณหภูมิ -18, 4 และ 25 องศาเซลเซียส เป็นเวลา 0-21 วัน	129
68 ผลของเกลือโซเดียมคลอไรด์เข้มข้น 0-15% ต่อค่าความเหนียวเป็นยางของเจลแป้งมันสำปะหลัง หลังหลังการเก็บรักษาที่อุณหภูมิ -18, 4 และ 25 องศาเซลเซียส เป็นเวลา 0-21 วัน	130

## ภาพผนวกที่

ช1 Linear Viscoelastic Range ของเจลแป้งมันสำปะหลังในสารละลายน้ำตาลซูโครัสและเกลือโซเดียมคลอไรด์ ที่ระดับความเข้มข้นต่างๆ	155
--	-----

# ผลของน้ำตาลซูโครสและเกลือโซเดียมคลอไรด์ต่อสมบัติทางเคมีภysisของ แป้งมันสำปะหลัง

## Effect of Sucrose and Sodium Chloride on Physico-chemical Properties of Cassava Starch

### คำนำ

แป้งเป็นผลิตภัณฑ์ที่มีลักษณะโครงสร้างเป็นแบบกึ่งผลึกซึ่งประกอบด้วยผลิตภัณฑ์ของน้ำตาลกลูโคส 2 ชนิด คือ อะมิโลสและอะมิโลเพกติน เมื่อเม็ดแป้งได้รับความร้อนในสภาวะที่มีน้ำโมเลกุลของเม็ดแป้งจะดูดซับน้ำทำให้มีค่าแป้งเกิดการพองตัวและมีความหนืดเพิ่มขึ้น และเกิดการสูญเสียโครงสร้างที่เป็นระบบทึบของโครงสร้างผลึกภายในโมเลกุล เมื่อได้รับความเย็น โครงสร้างโมเลกุลที่ถูกทำลายจะสามารถกลับมาจัดเรียงตัวกันใหม่เกิดเป็นแป้งเปียกหรือเจลซึ่งมีลักษณะยุ่นทึบแสงและมีความหนืดเพิ่มขึ้น จากการเปลี่ยนแปลงของสมบัติทางเคมีภysisลดลงกล่าวทำให้มีการนำแป้งมาใช้ประโยชน์ในอุตสาหกรรมต่าง ๆ เช่น อุตสาหกรรมอาหาร อุตสาหกรรมยา อุตสาหกรรมกระดาษ อุตสาหกรรมสิ่งทอและอุตสาหกรรมแป้งดัดแปลง เป็นต้น การใช้ประโยชน์จากแป้งในอุตสาหกรรมอาหารนอกจากจะนำมาเป็นวัตถุดินในประกอบอาหารเพื่อบริโภคโดยตรงแล้ว แป้งยังมีบทบาทสำคัญในกระบวนการแปรรูปผลิตภัณฑ์อาหารหลายชนิด ทั้งนี้ เพราะคุณสมบัติของแป้งในการเป็นสารให้ความหนืด ความคงตัวและให้เนื้อสัมผัสกับผลิตภัณฑ์ จึงทำให้ผลิตภัณฑ์มีลักษณะปราศจากน้ำและมีเนื้อสัมผัสที่ดีขึ้น โดยสามารถทำหน้าที่เป็นสารยึดติด (adhesive) สารยึดเกาะ (binding) สารทำให้อาหารข้น (clouding) สารทำให้เกิดฟิล์ม (film forming) สารป้องกันการคืนตัว (antistaling) สารทำให้เกิดเจล (gelling) สารให้ความคงตัว (stabilizer) และสารปรับเนื้อสัมผัส (texturizing agents) เป็นต้น (นิธิยา, 2545) นอกจากนี้ยังใช้ในการป้องกันการเสียรูปของเนื้อสัมผัสอันเนื่องมาจากกระบวนการในการผลิตต่าง ๆ เช่น กระบวนการแช่แข็ง (freezing) การคืนรูปจากการแช่เยือกแข็ง (freeze-thaw) สภาวะที่เป็นกรด กระบวนการพาสเจอไรเซชัน (pasteurization) และสเตอริโอไรเซชัน (sterilization) เป็นต้น และใช้ป้องกันการเสียรูปของเนื้อสัมผัสในระหว่างการเก็บรักษาผลิตภัณฑ์ ซึ่งจะช่วยในการรักษาคุณภาพของผลิตภัณฑ์และช่วยยืดอายุการเก็บรักษาผลิตภัณฑ์ (shelf life) ให้นานขึ้น

เนื่องจากผลิตภัณฑ์อาหารจากแป้งส่วนใหญ่มีส่วนประกอบอื่น ๆ เช่น น้ำ น้ำตาล เกลือ ไขมัน โปรตีน รวมทั้งสารประกอบพอลิแซคคาไรด์ที่ไม่ใช่สารซึ่งผสมอยู่ด้วย โดยเฉพาะน้ำตาล ชูโครสและเกลือโซเดียมคลอไรด์ซึ่งเป็นส่วนประกอบพื้นฐานที่มักใช้ผสมในผลิตภัณฑ์เพื่อป้องแต่งรสชาติและเนื้อสัมผัสของผลิตภัณฑ์ โดยปริมาณที่ใช้จะแตกต่างไปตามชนิดของอาหาร น้ำตาล ชูโครสและเกลือโซเดียมคลอไรด์จะมีผลต่อสมบัติของแป้ง โดยเฉพาะสมบัติทางเคมีกายภาพที่เปลี่ยนแปลงไปในระหว่างกระบวนการผลิต เช่น ลักษณะการพองตัว การเกิดเจลาทินไซด์ (gelatinization) และการเปลี่ยนแปลงความหนืด รวมทั้งการเปลี่ยนแปลงในระหว่างกระบวนการเก็บรักษาเจลแป้งหรือการเกิดรีไทร์เกรเดชัน (retrogradation) นอกจากนี้อุณหภูมิ และระยะเวลาการเก็บรักษาข้างมีผลต่ออัตราการเกิดรีไทร์เกรเดชันของเจลแป้งในผลิตภัณฑ์ โดยส่งผลให้ลักษณะปรากฏ เนื้อสัมผัส และอายุการเก็บรักษาของผลิตภัณฑ์เปลี่ยนแปลงไป ซึ่งถือเป็นประเด็นหลักที่ต้องคำนึงถึงในการประกอบอุตสาหกรรมอาหาร ทั้งนี้รายงานการวิจัยเกี่ยวกับอิทธิพลของน้ำตาล ชูโครสและเกลือโซเดียมคลอไรด์ต่อสมบัติทางเคมีกายภาพของแป้งที่ผ่านมาข้างไม่เป็นที่แน่ชัด และมีความขัดแย้งกันขึ้นอยู่กับชนิดและความเข้มข้นของน้ำตาลและเกลือ ชนิดของแป้ง โครงสร้าง พล็อกภายในเม็ดแป้ง ปริมาณน้ำในระบบ รวมทั้งอุณหภูมิและระยะเวลาการเก็บรักษาเจลแป้ง การศึกษาอิทธิพลของน้ำตาลชูโครสและเกลือโซเดียมคลอไรด์ที่ระดับความเข้มข้นต่าง ๆ รวมทั้ง อุณหภูมิและระยะเวลาการเก็บรักษาต่อสมบัติทางเคมีกายภาพของแป้งมันสำปะหลังและเจลแป้งที่ได้ จะช่วยให้เกิดความเข้าใจ และสามารถนำไปประยุกต์ใช้ในอุตสาหกรรมการแปรรูปผลิตภัณฑ์ที่มีแป้งมันสำปะหลังเป็นองค์ประกอบ รวมทั้งการเก็บรักษาผลิตภัณฑ์ให้คงคุณภาพตามต้องการ อีกด้วย

### วัตถุประสงค์

- ศึกษาผลของน้ำตาลชูโครสและเกลือโซเดียมคลอไรด์ที่ระดับความเข้มข้นต่าง ๆ ต่อ สมบัติทางเคมีกายภาพของแป้งมันสำปะหลังและเจลแป้งมันสำปะหลัง
- ศึกษาผลของอุณหภูมิและระยะเวลาในการเก็บรักษาต่อสมบัติทางเคมีกายภาพของเจลแป้งมันสำปะหลังในสภาวะที่มีน้ำตาลชูโครสและเกลือโซเดียมคลอไรด์

## การตรวจเอกสาร

### 1. แป้งมันสำปะหลัง

คำว่าแป้ง (starch) ในกระบวนการผลิตหมายถึง คาร์โบไฮเดรตที่มีองค์ประกอบของสารบอน ไฮโดรเจน และออกซิเจนเป็นส่วนใหญ่ มีลักษณะเป็นผง เซ่น โปรตีน ไขมัน เกลือแร่ น้ำอย่างมาก ส่วนแป้งที่ผลิตโดยทั่วไปที่ยังไม่ส่วนประกอบอื่น ๆ อยู่มากจะเรียกว่า ฟลาร์ (flour) (กล้า้มรงค์ และ เกี้ยวฤทธิ์, 2546)

แป้งมันสำปะหลัง (tapioca, cassava, manihot flour/starch) หมายถึง แป้งที่ทำจากหัวมันสำปะหลัง (*Manihot utilissima*) ลักษณะของแป้งเมื่อส่องดูด้วยกล้องจุลทรรศน์ (microscopic appearance) ประกอบด้วยเม็ดแป้งที่มีขนาดเส้นผ่านศูนย์กลางอยู่ในช่วง 5 ถึง 35 ไมโครเมตร (0.005 ถึง 0.035 มิลลิเมตร) ขนาดเส้นผ่านศูนย์กลางเฉลี่ยประมาณ 15 ไมโครเมตร เม็ดแป้งส่วนมากมีลักษณะเป็นรูปไข่ ซึ่งปลายข้างหนึ่งลูกตัดออกและผิวตรงส่วนที่ตัดออกมีลักษณะเว้าเข้าข้างใน บางเม็ดอาจมีริมด้านหนึ่งโคง อีกด้านหนึ่งแบบไม่สม่ำเสมอ กัน (สำนักงานมาตรฐานผลิตภัณฑ์อุตสาหกรรม, 2521)

#### 1.1 องค์ประกอบภายในแป้ง

แป้งเป็นคาร์โบไฮเดรตที่ประกอบด้วยสารบอน ไฮโดรเจน และออกซิเจน ในอัตราส่วน 6 : 10 : 5 มีสูตรเคมีโดยทั่วไป คือ  $(C_6H_{10}O_5)_n$  แป้งเป็นพอลิเมอร์ของน้ำตาลกลูโคส ซึ่งประกอบด้วยหน่วยย่อยของน้ำตาลกลูโคสmany ซึ่งมีความต่อเนื่องด้วยพันธะกลูโคไซดิก (glucosidic linkage) ที่การบอนด์ตำแหน่งที่ 1 ทางด้านตอนปลายของสายพอลิเมอร์ที่มีหน่วยกลูโคสที่มีหมู่แอลดีไฮด์ (aldehyde group) ที่เรียกว่าปลายรีดิวซิง (reducing end group) แป้งประกอบด้วยพอลิเมอร์ของกลูโคส 2 ชนิด คือ พอลิเมอร์เชิงเส้น (อะมิโลส, amylose) และพอลิเมอร์เชิงกิ่ง (อะมิโลเพกติน, amylopectin) วางแผนในแนวรัศมี แป้งจากแหล่งที่ต่างกันจะมีอัตราส่วนของอะมิโลสและอะมิโลเพกตินแตกต่างกันจึงทำให้คุณสมบัติของแป้งแต่ละชนิดแตกต่างกัน (กล้า้มรงค์ และ เกี้ยวฤทธิ์, 2546)

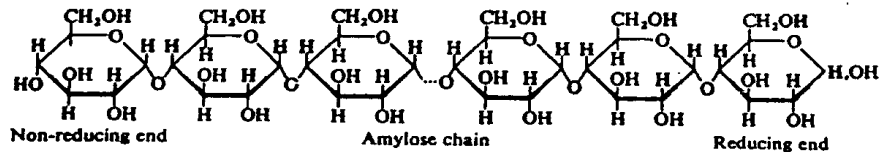
### 1.1.1 อะมิโลส (Amylose)

อะมิโลสเป็นพอลิเมอร์สายตรงของน้ำตาลกลูโคส ประกอบด้วยโมเลกุลของน้ำตาลกลูโคส ประมาณ 200 ถึง 2,000 หน่วย เชื่อมต่อกันด้วยพันธะ  $\alpha$ - (1,4) glucosidic linkage ดังภาพที่ 1 (ก) นำหนักโมเลกุลของอะมิโลสอยู่ในช่วง  $10^5$  ถึง  $10^6$  คาดตัน ซึ่งอะมิโลสในแป้งแต่ละชนิดจะมีนำหนักโมเลกุลที่ต่างกันออกໄไป ขนาดโมเลกุลหรือระดับขั้นการเกิดพอลิเมอร์ (Degree of Polymerization, DP) ของอะมิโลสขึ้นกับชนิดของแป้ง เช่น แป้งมันสำปะหลังจะมีขนาดโมเลกุลของอะมิโลสอยู่ในช่วง 1,000 ถึง 6,000 หน่วย ในธรรมชาติอะมิโลสมีกิ่งก้านอยู่บ้าง เล็กน้อย ประมาณร้อยละ 0.3 ถึง 0.5 ของพันธะทั้งหมด

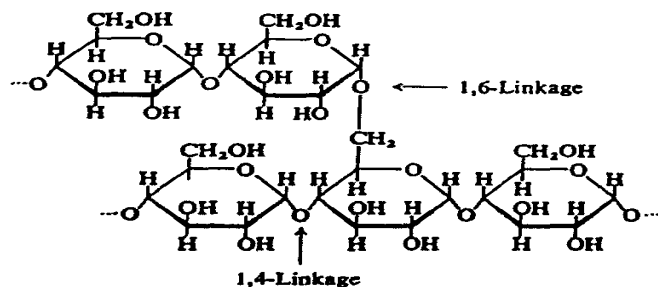
อะมิโลสสามารถรวมตัวเป็นสารประกอบเชิงซ้อนกับ ไอโอดีนและสารประกอบอินทรีย์อื่น ๆ เช่น บิวทานอล กรดไขมัน ฟินอล สารลดแรงตึงผิวหลายชนิดและไฮโดรคาร์บอน โดยสารประกอบเชิงซ้อนเหล่านี้จะไม่ละลายในน้ำเนื่องจากอะมิโลสจะพันเป็นเกลียวล้อมรอบสารประกอบอินทรีย์เหล่านี้

โครงสร้างของอะมิโลสมีอยู่ในสารละลายจะมีหลายรูปแบบ คือ ลักษณะเป็นเกลียวม้วน (helix) เกลียวที่คลายตัว (interrupted helix) หรือม้วนอย่างไม่เจาะจง (random coil) การที่อะมิโลสจะอยู่ในรูปแบบใดนั้นขึ้นอยู่กับชนิดของตัวทำละลาย อุณหภูมิ และขนาดโมเลกุล สำหรับตำแหน่งของอะมิโลสภายในเม็ดแป้งขึ้นอยู่กับชนิดของแป้ง โดยอะมิโลสบางส่วนอยู่ในกลุ่มของอะมิโลเพกทิน บางส่วนกระจายอยู่ทั้งในส่วนอสัมธาน (amorphous regions) และส่วนผลึก (crystalline regions) อะมิโลสที่มีขนาดโมเลกุลใหญ่จะพบเป็นเกลียวคู่กับอะมิโลเพกทินอยู่ในกลางเม็ดแป้ง สำหรับอะมิโลสที่มีขนาดโมเลกุลเล็กจะพบอยู่ตามขอบเม็ดแป้ง (Oates, 1997)

(ก)



(ข)



ภาพที่ 1 โครงสร้างของอะมิโลส (ก) และอะมิโลเพกติน (ข)

ที่มา : Freach (1979)

### 1.1.2 อะมิโลเพกติน (Amylopectin)

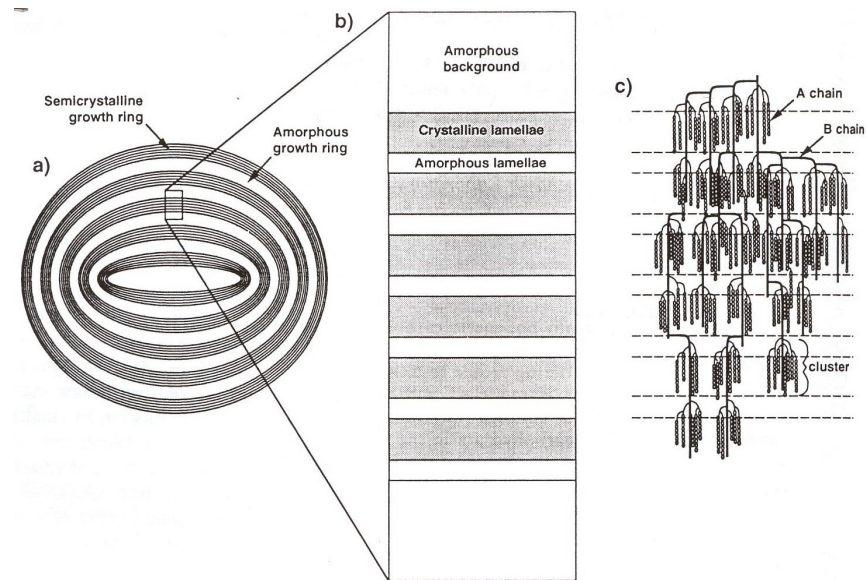
อะมิโลเพกตินเป็นพอลิเมอร์เชิงกิ่งของกลูโคส ส่วนที่เป็นเส้นตรงของกลูโคส เชื่อมต่อกันด้วยพันธะ  $\alpha$ - (1,4) glucosidic linkage และส่วนที่เป็นกิ่งสาขาที่เป็นพอลิเมอร์กลูโคส สายสั้น มีขนาดไม่เกินล้ออยู่ในช่วง 10 ถึง 60 หน่วย เชื่อมต่อกันด้วยพันธะ  $\alpha$ - (1,6) glucosidic linkage ดังภาพที่ 1 (ข)

หน่วยกลูโคสที่มีพันธะกลูโคซิດิกชนิด  $\alpha$ -1,6 มีอยู่ประมาณร้อยละ 5 ของปริมาณหน่วยกลูโคสในอะมิโลเพกตินทั้งหมด ขนาดไม่เกินล้อของอะมิโลเพกตินในแป้งแต่ละชนิด จะมีค่าประมาณ 2 ล้านหน่วย และมีน้ำหนักโมเลกุลประมาณ 1,000 เท่าของอะมิโลส คือ ประมาณ  $10^7$  ถึง  $10^9$  ดาลตัน และมีอัตราในการคืนตัวค่าเนื้องจากอะมิโลเพกตินมีลักษณะโครงสร้างเป็นกิ่ง

ลักษณะโครงสร้างแบบกิ่งของอะมิโลเพกทินประกอบด้วยสายโซ่ 3 ชนิด คือ A chain เป็นสายโซ่ที่เชื่อมต่อกับสายอื่นที่ตำแหน่งเดียวไม่มีกิ่งเชื่อมต่อออกจากสายชนิดนี้ (unbranched structure) B chain มีโครงสร้างแบบกิ่ง เชื่อมต่อกับสายอื่น ๆ 2 สายหรือมากกว่า C chain เป็นสายแกนซึ่งประกอบด้วยหมู่ริดวัช 1 หมู่ที่เป็นอิสระและกลุ่มแทนที่เพียงจุด C-6 (primary hydroxyl group) ซึ่งในอะมิโลเพกทินแต่ละโมเลกุลจะประกอบด้วยสาย C หนึ่งสายเท่านั้น เนื่องจากมีการเชื่อมต่อ A chain, B chain และ C chain ภายในโมเลกุลของอะมิโลเพกทิน ด้วยพันธะ  $\alpha$ - (1,6) glucosidic linkage ซึ่งมี C chain เพียงหนึ่งสายโซ่ต่อโมเลกุล ดังนั้นอัตราส่วนของ A chain และ B chain จึงมีความสำคัญเนื่องจากเป็นการแสดงถึง degree of multiple branching ของโมเลกุล ซึ่งอะมิโลเพกทินจะมีอัตราส่วนของ A chain ต่อ B chain ประมาณ 1.5-2.6 : 1

ขนาดโมเลกุลของอะมิโลเพกทินที่มีตั้งแต่ขนาดเล็กจนถึงโมเลกุลขนาดใหญ่ จะอยู่รวมตัวกันเป็นกลุ่มก้อน (cluster) บริเวณที่มีการจัดเรียงตัวอย่างเป็นระเบียบเรียบกว่า ส่วนผลึก (crystalline regions) และบริเวณที่มีการจัดเรียงตัวอย่างไม่เป็นระเบียบเรียบกว่า ส่วนอัมorphous (amorphous regions) โครงสร้างของอะมิโลเพกทินที่ประกอบด้วยสายโซ่ 3 ชนิด รวมทั้งส่วนผลึก และส่วนอัมorphous แสดงดังภาพที่ 2

อะมิโลเพกทินในแป้งมันสำปะหลัง สายส่วนใหญ่ประมาณร้อยละ 80-90 ประกอบด้วยกลุ่ม (cluster) เดียว ๆ และสายที่เหลืออีกร้อยละ 10-20 จะเป็นส่วนเชื่อมต่อของแต่ละกลุ่ม ในแต่ละกลุ่มประกอบไปด้วยสายประมาณ 22-25 สายทำให้เกิดเป็นส่วนผลึกของเม็ดแป้ง ในการจับกันเป็นกลุ่มของอะมิโลเพกทินทำให้เกิดเป็นเกลียวคู่ (double helix) ซึ่งการเกิดเกลียวคู่ของอะมิโลเพกทินต้องใช้พันธะ ไฮโดรเจน และแรงดูดน柁าร์瓦ลส์ในการเชื่อมต่อกัน กิ่งอะมิโลเพกทินภายในเม็ดแป้งสามารถเกิดเป็นผลึกได้ทั้งกิ่งที่อยู่ใกล้กันในกลุ่มเดียวกัน หรือเกิดระหว่างกลุ่มที่ไกลกัน (Oate, 1997) สำหรับสมบัติที่แตกต่างกันของอะมิโลสและอะมิโลเพกทิน แสดงดังตารางที่ 1



ภาพที่ 2 ลักษณะโครงสร้างของอะมิโลสและอะมิโลเพกตินที่ประกอบด้วยสายโซ่ 3 ชนิด รวมทั้งส่วนผลึกและส่วนอสัมจนา

ที่มา : Waigh *et al.* (1996)

### ตารางที่ 1 สมบัติที่สำคัญของอะมิโลสและอะมิโลเพกติน

คุณสมบัติ	อะมิโลส	อะมิโลเพกติน
ลักษณะโครงสร้าง	สารประกอบของน้ำตาลกลูโคส เกาเกันเป็นเส้นตรง	สารประกอบของน้ำตาลกลูโคส เกาเกันเป็นกิ่งก้าน
พันธะที่จับ	$\alpha$ - (1,4)	$\alpha$ - (1,4) และ $\alpha$ - (1,6)
ขนาดโมเลกุล	200-2,000 หน่วยกลูโคส	มากกว่า 10,000 หน่วยกลูโคส
การละลาย	ละลายน้ำได้น้อยกว่า	ละลายน้ำได้ดีกว่า
การทำปฏิกิริยากับไอกอเดิน	สีน้ำเงิน	สีแดงม่วง
การจับตัว	เมื่อให้ความร้อนแล้วทิ้งไว้จะ จับตัวเป็นวุ้นและแผ่นแข็ง	ไม่จับตัวเป็นแผ่นแข็ง

ที่มา : กล้าณรงค์ และ เกื้อ廓 (2546)

### 1.1.3 สารตัวกลาง (Intermediate material)

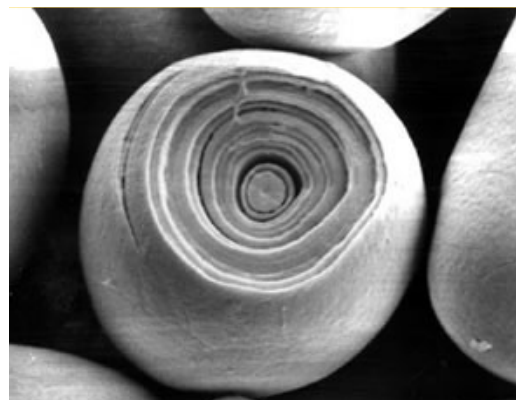
โดยทั่วไปองค์ประกอบหลักภายในแป้งจะประกอบด้วยอะมิโลสและอะมิโลเพกติน ในส่วนของสารตัวกลางนี้จะพบในแป้งบางชนิดเท่านั้น ซึ่งจะมีหน้าแนกโนเมเลกุลน้อยกว่าอะมิโลเพกตินแต่มากกว่าอะมิโลส (Rupp and Schwartz, 1988) ซึ่งถือว่าเป็นส่วนที่เป็นกิ่งก้านปริมาณและโครงสร้างของสารตัวกลางนี้จะขึ้นอยู่กับชนิดและอายุการเก็บเกี่ยวของพืช (Guilbot and Mercier, 1985)

## 1.2 โครงสร้างและการรวมตัวเป็นเม็ดแป้ง

แป้งที่พบในธรรมชาติจะพบอยู่ในรูปเม็ดแป้ง (granule) ขนาดเล็ก ภายในเม็ดแป้งประกอบด้วยวงแหวน (growth ring) หนาแน่น ดังภาพที่ 3 ซึ่งสังเกตได้จากการตรวจดูด้วยกล้องจุลทรรศน์แบบอิเล็กตรอน (Scanning Electron Microscope) ลักษณะเม็ดแป้งที่เปลี่ยนและสัดจะสังเกตเห็นวงแหวนได้ง่าย จากโครงสร้างของวงแหวนดังภาพที่ 4 แสดงให้เห็นถึงลักษณะการเจริญของเม็ดแป้ง โดยเนื้อเยื่อชั้นแรกเจริญมาจากศูนย์กลางของเม็ดแป้ง (hilum) ซึ่งส่วนนี้ประกอบด้วยส่วนปลายที่มีหมู่รีดิวชิง (reducing end) ของโนเมเลกุลแป้ง มีส่วนปลายที่ไม่มีหมู่รีดิวชิง (non-reducing end) ของอะมิโลสและอะมิโลเพกตินแผ่กระจายออกไป (Oates, 1997) จุดเชื่อมกิ่ง (branch point) ของอะมิโลเพกตินอยู่ในส่วนอสัมฐานและสายอยู่ในส่วนผลึกโดยขนาด รูปร่าง และลักษณะของเม็ดแป้งจะแตกต่างกัน ไปขึ้นอยู่กับแหล่งของแป้งนั้น ๆ

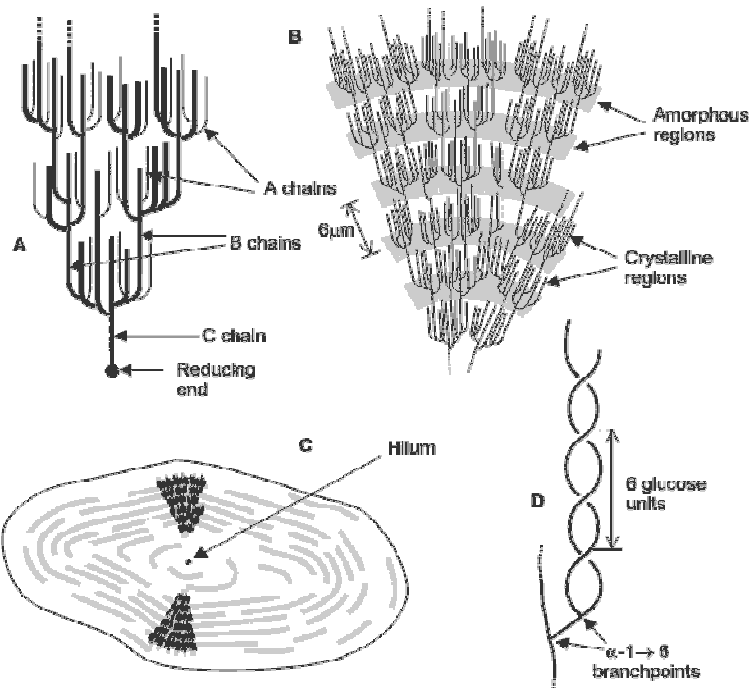
เม็ดแป้งมีโครงสร้างเป็นแบบกึ่งผลึก (semi-crystalline) โดยโนเมเลกุลของอะมิโลสและอะมิโลเพกตินจะจัดเรียงตัวในเม็ดแป้งเป็นโครงสร้างทึ่งส่วนผลึกและส่วนอสัมฐานสายโซ่สั้นของอะมิโลเพกตินจะจัดเรียงตัวในลักษณะเกลียวม้วนคู่ ซึ่งบางส่วนจะเกิดเป็นโครงสร้างผลึก ส่วนอสัมฐานของเม็ดแป้งจะประกอบด้วยโนเมเลกุลของอะมิโลสและสายโซ่ยาวของอะมิโลเพกติน (กล้ามรังค์ และ เกี้็อกุล, 2546) โครงสร้างผลึกนี้จะเป็นส่วนที่ทำให้เม็ดแป้งมีความแข็งแรงคงรูปร่างของเม็ดแป้งไว้ ส่วนอสัมฐานจะเป็นส่วนที่ยึดเกาะชั้นผลึกไว้ด้วยกัน และเป็นส่วนที่สร้างความยึดหยุ่นให้กับเม็ดแป้ง (ปิติพร, 2546) ดังนั้นโครงสร้างผลึกของสายอะมิโลเพกตินจึงเป็นส่วนหลักในการแสดงค่าความเป็นผลึกให้แก่เม็ดแป้ง (วงศ์ษา, 2544) ปัจจัยที่มีผลต่อโครงสร้างผลึกของเม็ดแป้ง ได้แก่ อัตราส่วนของอะมิโลสและอะมิโลเพกติน หน้าแนกโนเมเลกุล ระดับกิ่งก้าน และความขาวของสายโซ่ภายนอกของอะมิโลเพกติน โดยขึ้นอยู่กับ

แหล่งของแป้ง ซึ่งแป้งคือมีโครงสร้างผลึกร้อยละ 15-45 สำหรับแป้งมันสำปะหลังมีโครงสร้างผลึกร้อยละ 24 เนื่องจากโครงสร้างผลึกมีการจัดเรียงตัวอย่างแน่น ดังนั้นการเคลื่อนที่ของสารเคมีเข้าไปภายในเม็ดแป้งจึงยาก ส่วนนี้จึงเกิดปฏิกิริยาต่ำ อย่างไรก็ตามบริเวณพื้นผิวของเม็ดแป้งซึ่งประกอบด้วยช่องเล็ก ๆ จำนวนมากทำให้สารเคมีสามารถแทรกเข้าไปภายในเม็ดแป้งได้ เนื่องจากส่วนอสัณฐานซึ่งเป็นส่วนที่มีการจัดเรียงตัวอย่างหลวง ๆ และส่วนกลางของเม็ดแป้งซึ่งประกอบด้วยส่วนที่เป็นโครงสร้างผลึกเล็กน้อย ทำให้สารเคมีแทรกเข้าไปภายในไมล์กลูต้าเจ้ายิ่งกว่า จึงเป็นไปได้ที่สารเคมีสามารถแทรกเข้าไปทำปฏิกิริยาได้มากและเร็วกว่าบริเวณพื้นผิวของเม็ดแป้งแต่ถ้าเม็ดแป้งไม่มีน้ำเป็นส่วนประกอบสารเคมีจะไม่สามารถแทรกเข้าไปภายในไมล์กลูต้าได้ ดังนั้นน้ำจะทำให้เม็ดแป้งพองตัวและช่วยให้สารเคมีแทรกเข้าไปภายในเม็ดแป้งได้ (วชิราพรรณ, 2543)



ภาพที่ 3 วงแหวน (growth ring) ภายในเม็ดแป้ง (starch granule)

ที่มา : Oates (1997)

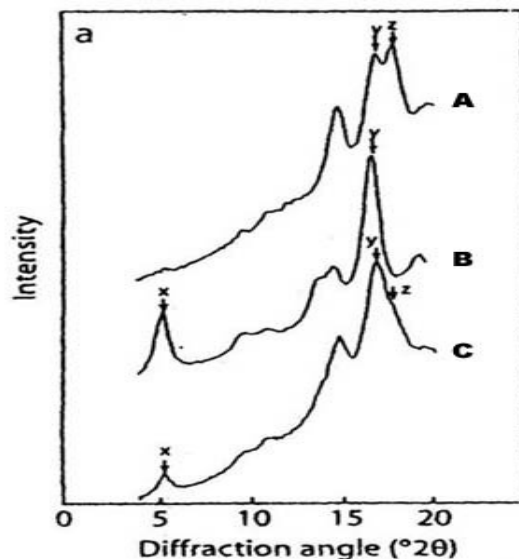


**ภาพที่ 4 การจัดเรียงตัวของอะมิโลสและอะมิโลเพกทินภายในเม็ดแป้ง**  
ที่มา : Coulitate (2002)

เม็ดแป้งจะมีโครงสร้างพลีก 3 แบบขึ้นอยู่กับความหนาแน่นในการจัดเรียงตัวของเกลียวคู่ ถ้าเกิดการเรียงตัวหนาแน่นมากจะเกิดเป็นพลีกแบบ A (A-type) เช่น แป้งจากขัญพืชและราก ถ้าเรียงตัวกันหลวม ๆ จะเกิดพลีกแบบ B (B-type) เช่น แป้งจากพืชหัว ถ้าเกิดการเรียงตัวทึบแบบ A และ B รวมกันจัดเป็นพลีกแบบ C (C-type) เช่น แป้งจากพืชตระกูลถั่ว (กล้ามrong ๔ และเกือกถุล, 2546) นอกจากพลีกแบบ A, B และ C แล้ว บางครั้งยังปรากฏกลุ่มพลีกแบบ V (V-type) ซึ่งแสดงถึงโครงสร้างพลีกที่ซับซ้อนที่เกิดจากการจับกันของอะมิโลสกับแอลกอฮอล์ที่เป็นสีน้ำเงิน ไอโอดีน หรือกรดไขมัน ลักษณะพลีกแบบ V จะพบในแป้งที่มีปริมาณอะมิโลสมากกว่าหรือเท่ากันร้อยละ 40 เช่น ในแป้งข้าวโพดที่มีการตัดแปลงพันธุกรรม (ปิติพิร, 2546) แป้งบางชนิดอาจให้ลักษณะของพลีกได้มากกว่า 1 แบบ เช่น แป้งมันสำปะหลัง ซึ่งสามารถตรวจพบลักษณะพลีกทึบแบบ A และ C โครงสร้างพลีกที่ต่างกันจะให้ลักษณะการกระจายตัวของแสงต่างกัน และสามารถตรวจสอบชนิดโครงสร้างของเม็ดแป้งได้โดยเทคนิครังสีเอ็กซ์เรย์ (wild angle x-ray diffraction, WAXS) ซึ่งแป้งที่มีโครงสร้างพลีกต่างกันจะให้รูปแบบของการหักเหรังสีเอ็กซ์เรย์ (x-ray diffraction) ต่างกัน ดังภาพที่ 5

ແປ່ງທີ່ມີ x-ray diffraction pattern ທີ່ນີ້ມີພຶກທີ່ມູນຫັກເຫັນ (diffraction angle)  $5.6^\circ$  ແຕ່ມີພຶກທີ່ມູນຫັກເຫັນ  $17^\circ$  ແລະ  $17.9^\circ$  ແລະມີພຶກເຄື່ອງ (singlet) ທີ່ມູນຫັກເຫັນ  $23^\circ$  ແປ່ງທີ່ມີ x-ray diffraction pattern ທີ່ນີ້ມີພຶກນາດເລື່ອກທີ່ມູນຫັກເຫັນ  $5.6^\circ$  ມີພຶກທີ່ມູນຫັກເຫັນ  $17^\circ$  ແຕ່ໄມ້ມີພຶກທີ່ມູນຫັກເຫັນ  $17.9^\circ$  ແລະມີພຶກຄູ່ (doublet) ທີ່ມູນຫັກເຫັນ  $23^\circ$  ສ່ວນແປ່ງທີ່ມີ x-ray diffraction pattern ທີ່ນີ້ມີພຶກນາດເລື່ອກທີ່ມູນຫັກເຫັນ  $5.6^\circ$  ແລະມີພຶກທີ່ມູນຫັກເຫັນ  $17^\circ$  ແລະ  $17.9^\circ$  (ກລ້າຜຮງກໍ ແລະ ເກື່ອງກຸລ, 2546; ນິຕີ, 2543)

ເມື່ອແປ່ງຈະມີຄຸນສົມບັດໃນການທຳໄໝເກີດການບົດຮະນາບແສງໂພລາໄຣ້ (polarized light) ແລະເກີດ cross pattern ທີ່ເຮັດວ່າ ໄປຣິພຣິນເຈນ໌ (birefringence) ແນວດຂອງ cross pattern ຈະຕັດກັນທີ່ຕໍ່ແນ່ນໆ hilum ສາຍຂອງພອລິເມອຣຈະຕັ້ງຈາກກັນພື້ນພົວຂອງເມື່ອແປ່ງ ພື້ນທີ່ມື່ດທີ່ເຫັນເມື່ອສ່ອງເມື່ອແປ່ງ ດ້ວຍ cross- nicol prism ກາຍໄດ້ແສງໂພລາໄຣ້ ເປັນຕຳແໜ່ນໆເລີ່ມຂອງສາຍພອລິເມອຣຂອງແປ່ງເມື່ອຍຸ່ນ ໃນລັກຍະນະຕັ້ງຈາກຫຼືອຂານານກັນແສງໂພລາໄຣ້ ແຕ່ເນື່ອງຈາກພື້ນພົວຂອງເມື່ອແປ່ງເປັນເສັ້ນໂລັງ ດັ່ງນັ້ນ ຈະມີສາຍພອລິເມອຣບາງສາຍທີ່ໄມ້ຍຸ່ນໃນລັກຍະນະຕັ້ງຈາກຫຼືອຂານານກັນແສງໂພລາໄຣ້ ທຳໄໝສາມາດບົດຮະນາບແສງ ແລະຈະເຫັນການສ່ອງສ່ວ່າງຂອງແສງຜ່ານທາງ nicol prism ຕັ້ງທີ່ສອງ (Wivinis and Maywald, 1986)



ກາພທີ່ 5 ຮູບແບບກາຮັກແຮງສີເອົກຊີ່ເຮົ້າຂອງເມື່ອແປ່ງທີ່ມີໂຄຮງສ້າງພລືກຕ່າງກັນ  
ທີ່ມາ : ກລ້າຜຮງກໍ ແລະ ເກື່ອງກຸລ (2546)

### 1.3 ลักษณะของแป้งมันสำปะหลัง

ลักษณะทั่วไปของแป้งมันสำปะหลัง ตามมาตรฐานผลิตภัณฑ์อุตสาหกรรม มอก. 27-2521 กำหนดไว้ว่า แป้งมันสำปะหลังต้องเป็นผงละเอียดมีสีขาวหรือสีครีมอ่อน ไม่เกิดการหมัก ไม่เหม็นอับหรือไม่มีกลิ่นร้ารังเกียจ ไม่มีแมลง สารแปรกลบปลอมอื่น ๆ ปะปน และยังต้องมีลักษณะต่าง ๆ ตามที่มาตรฐานผลิตภัณฑ์อุตสาหกรรมแป้งมันสำปะหลังกำหนด ซึ่งแบ่งตามคุณภาพของ แป้งมันสำปะหลังได้เป็น 3 ชั้นคุณภาพ ดังตารางที่ 2

ตารางที่ 2 คุณลักษณะที่ต้องการสำหรับแป้งมันสำปะหลัง

ลักษณะ	ชั้น	ชั้น	ชั้น	
	คุณภาพ 1	คุณภาพ 2	คุณภาพ 3	
ความชื้น ร้อยละ	ไม่เกิน	13	14	14
แป้ง ร้อยละ (ของน้ำหนักเมื่ออบแห้ง)	ไม่น้อยกว่า	97.5	96	94
เก้า ร้อยละ (ของน้ำหนักเมื่ออบแห้ง)	ไม่เกิน	0.15	0.30	0.50
เก้าที่ไม่ละลายในกรด (acid insoluble ash)				
ร้อยละ (ของน้ำหนักเมื่ออบแห้ง)	ไม่เกิน	0.05	0.10	0.15
โปรตีน ร้อยละ (ของน้ำหนักเมื่ออบแห้ง)	ไม่เกิน	0.3	0.3	0.3
เยื่อ ลูกบาศก์เซนติเมตร ต่อน้ำหนักแป้ง				
50 กรัม ก่อนอบแห้ง	ไม่เกิน	0.2	0.5	1.0
ความเป็นกรด-ด่าง		4.5-7	3.5-7	3.0-7
ความละเอียด แป้งที่ตกค้างบนตะแกรงขนาด				
150 ไมโครเมตร ร้อยละ	ไม่เกิน	1	3	5

ที่มา : กระทรวงอุตสาหกรรม (2521)

## 2. สมบัติทางเคมีกายภาพของแป้ง

### 2.1 การคุณชั้นนำ การพองตัวและการละลาย

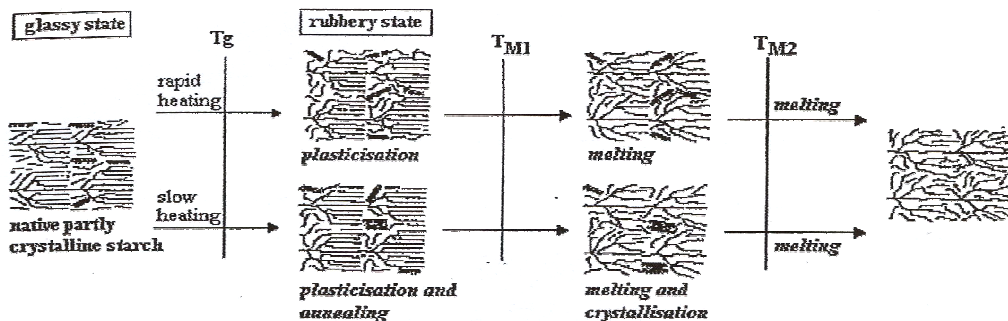
น้ำเป็นสารประกอบที่มีอยู่ในอาหารทั่วไป คือมีอยู่ระหว่างร้อยละ 7-95 และมักเรียกน้ำที่อยู่ในอาหารว่า ความชื้น น้ำที่อยู่ในเม็ดแป้งมีอยู่ด้วยกัน 3 รูปแบบ คือ น้ำในผลึก (chemically bound water) น้ำที่เกาะเกี่ยวกับสารอื่น (physically bound water) และน้ำในรูปอิสระ (free water) น้ำในผลึกเป็นน้ำที่มีความคงตัวมาก สามารถถูกยึดเกาะได้อ่าย่างเหนียวแน่น มีระเบียบและเคลื่อนที่ได้จำกัด น้ำในรูปแบบนี้ไม่สามารถถ่านนำไปใช้เป็นตัวทำละลายได้และเป็นน้ำที่ไม่แข็งตัว (unfreezeable water) เมื่อนำไปแข็งที่อุณหภูมิใด ๆ น้ำที่เกาะเกี่ยวกับสารอื่นเป็นน้ำที่ถูกคุณชั้นอยู่เป็นชั้นที่ผวน梧ของส่วนประกอบในอาหารเป็นการรวมกันทางกายภาพ และน้ำอิสระเป็นน้ำที่แทรกอยู่ในช่องว่างของอาหาร อาจมีการเกาะตัวกับองค์ประกอบของอาหารบ้างด้วยพันธะที่ไม่แข็งแรง และสามารถทำหน้าที่เป็นตัวทำละลายได้ น้ำอิสระในอาหารนี้มีผลต่อลักษณะเนื้อสัมผัส และการเก็บรักษาอาหารอย่างมาก (นิธิยา, 2545 ; วิໄລ, 2545) โดยน้ำสามารถแพร่และผ่านเข้าไปในร่างเหลืองไมเซลล์ (micelles) ในเม็ดแป้ง ได้อ่ายางอิสระ เนื่องจากเม็ดแป้งมีรูพรุนจำนวนมากซึ่งจะทำหน้าที่เป็นตัวคัดขนาดโมเลกุล รูพรุนเหล่านี้เกิดขึ้นในขั้นตอนการทำแห้งในกระบวนการผลิตแป้ง หรืออาจมีอยู่แล้วในแป้งธรรมชาติแต่มีขนาดขยายใหญ่ขึ้นเนื่องจากขั้นตอนการทำแห้งในกระบวนการผลิตแป้ง (กล้ามรังค์ และ เกื้อกูล, 2546) เมื่อเติมน้ำลงในแป้งและตั้งทิ่งไว้ที่อุณหภูมิห้อง เม็ดแป้งจะดูดซึมน้ำที่เติมลงไปภายในไส้สภาระยาการของห้องจนเกิดสมดุลระหว่างความชื้นภายในเม็ดแป้งกับน้ำที่เติมและความชื้นในบรรยายกาศ ปริมาณน้ำที่ถูกดูดซึมจะขึ้นอยู่กับอุณหภูมิและความชื้นสัมพัทธ์ แป้งส่วนใหญ่เมื่อเกิดสมดุลภายในไส้สภาระปักดิจจะมีความชื้นร้อยละ 10 ถึง 17 จากการทดลองของ Leach (1965) พบว่าแป้งมันสำปะหลังสามารถดูดซึมน้ำได้ในปริมาณ 42.9 กรัมต่อน้ำหนักแป้งแห้ง 100 กรัม

ภายในเม็ดแป้งประกอบด้วยโครงสร้างของโมเลกุลที่เป็นเส้นตรงของอะมิโลสและกิ่งสาขของอะมิโลเพกติน ซึ่งมีการจัดเรียงตัวในแนวรัศมี ส่วนที่เป็นเส้นสาขของโมเลกุลที่เป็นเส้นตรงหรือกิ่งสาขที่เกิดอยู่บนานกัน พันธะไฮโดรเจนจะเป็นตัวดึงให้โมเลกุลทึ่งสองสายรวมเข้าด้วยกันเกิดเป็นกลุ่มผลึก สายโมเลกุลที่เป็นเส้นตรงยาว ๆ อาจเป็นไปได้ที่จะผ่านบริเวณส่วนที่เป็นผลึกนี้ หรือส่วนที่เป็นกิ่งรอบ ๆ ของกิ่งสาขอาจเป็นตัวช่วยในการแยกส่วนที่เป็นผลึกได้ ดังนั้นการที่เม็ดแป้งอยู่รวมกันจึงมีบางส่วนเป็นผลึกและบางส่วนไม่เป็นผลึก ในบริเวณที่เป็นผลึกนี้จะ

เป็นตัวบีดของเม็ดแป้ง คือยอมให้มีการพองตัวแต่จะป้องกันการแพร่กระจายและการละลายของเม็ดแป้ง ซึ่งพื้นที่ว่างระหว่างผลึกจะเต็มไปด้วยสายและกิ่งสาขามีลักษณะไม่เป็นระเบียบ และรวมตัวกันอย่างหลวม ๆ ดังนั้นมีสารแวนโดยของเม็ดแป้งได้รับความร้อน พันธะไชโตรเจนจะคลายตัวลง ส่วนอสัณฐานจะมีโมเลกุลของน้ำมานำมากขึ้นและเริ่มมีการพองตัวเกิดขึ้น ในที่สุดลักษณะร่างแทจะเริ่มขยายออก พันธะไชโตรเจนในบริเวณผลึกจะเริ่มถูกทำลายทำให้โครงสร้างร่างแทเมลักษณะที่ช่วยให้เม็ดแป้งพองตัวแล้วมีความหนืดสูงขึ้นและอยู่ในลักษณะขึ้นเป็นแป้งปีก (Leach *et al.*, 1959)

แป้งดินจะไม่ละลายในน้ำที่มีอุณหภูมิต่ำกว่าอุณหภูมิเจลาทีนเซชัน เนื่องจากภายในเม็ดแป้งมีพันธะไชโตรเจนซึ่งเกิดจากหมู่ไชโตรอกซิลของโมเลกุลแป้งที่อยู่ใกล้ ๆ กัน เชื่อมตอกันอยู่ โดยยึดสายอะมิโน酳และอะมิโน酳เพกทินไว้ด้วยกัน โครงสร้างภายในเม็ดแป้งจะอยู่ในสภาพวักลาส (Glassy state) ดังภาพที่ 6 ซึ่งโมเลกุลเมลักษณะเป็นของแข็งคล้ายแก้ว แต่มีอุณหภูมิของสารละลายน้ำแป้งให้สูงกว่าอุณหภูมิกลางสหารานสิชัน (glass transition temperature,  $T_g$ ) ซึ่งเป็นอุณหภูมิจำเพาะซึ่งเกิดจากการเปลี่ยนแปลงค่าความจุความร้อน (heat capacity) ของพอลิเมอร์จากลักษณะที่เป็นของแข็งคล้ายแก้วลายเป็นลักษณะยืดหยุ่นคล้ายยาง (rubbery state) ซึ่งพบในพอลิเมอร์ที่มีโครงสร้างเป็นแบบกึ่งผลึก หรือเกิดการสูญเสียโครงสร้างผลึกลายเป็นโครงสร้างอสัณฐานอย่างสมบูรณ์ (Baek *et al.*, 2004; Wang and Jane, 1994; Zeleznak and Hoseney, 1987) พันธะไชโตรเจนในส่วนอสัณฐานจะถูกทำลาย หมู่ไชโตรอกซิลจะเป็นอิสระมากขึ้นทำให้โมเลกุลของน้ำเข้ามายับกับหมู่ไชโตรอกซิลที่เป็นอิสระเหล่านี้ได้ ส่วนอสัณฐานของแป้งจะสามารถพองตัวและละลายน้ำได้มากขึ้น โครงสร้างต่าง ๆ ภายในเม็ดแป้งจะเข้าสู่สภาวะคล้ายยาง (Rubber state) และเมื่อเพิ่มอุณหภูมิของสารละลายแป้งให้มากขึ้นจนสูงกว่าอุณหภูมิหลอมเหลวของโครงสร้างผลึกของสายอะมิโน酳เพกทิน ( $T_{M1}$ ) การพองตัวในส่วนอสัณฐานจะทำให้ความเป็นระเบียบในโครงสร้างผลึกของสายอะมิโน酳เพกทินถูกทำลาย จนกระทั่งอุณหภูมิเพิ่มขึ้นเกินอุณหภูมิหลอมเหลวของสารประกอบเชิงซ้อนของอะมิโน酳และไขมัน ( $T_{M2}$ ) โครงสร้างที่เป็นระเบียบทั้งหมดภายในเม็ดแป้งจะถูกทำลาย (วงศ์ษา, 2544) และคุณสมบัติของการบิดระนาบแสงโพลาไรซ์ในเม็ดแป้งจะหมดไป ปัจจัยที่มีผลต่อการพองตัวและความสามารถในการละลายคือชนิดของแป้ง ความแข็งแรง ลักษณะของร่างแทภายในเม็ดแป้ง สิ่งกีดขวางภายในเม็ดแป้งที่ไม่ใช่คาร์บอไนเตต การดัดแปลงเคมี และปริมาณน้ำในสารละลายแป้ง ซึ่งปริมาณน้ำที่มีอยู่ในสภาวะที่เกิดการพองตัวมีผลต่อการพองตัวและการละลาย โดยพบว่าการพองตัวอย่างอิสระและการละลายที่สูงขึ้นจะถูกขับย้อนในสภาพที่สารละลายมีปริมาณน้ำน้อยสารประกอบอื่น ๆ เช่น ซูโครัส กลูโคส

และสารอิเล็กโทรไลต์ เช่น โซเดียมคลอไรด์ มีผลกระทบต่อการพองตัวของแป้ง การเพิ่มความเข้มข้นของโซเดียม และลดปริมาณแป้งลงทำให้แป้งสามารถละลายได้เพิ่มขึ้น (กล้านรงค์ และเกื้อฤทธิ์, 2546)



ภาพที่ 6 การเปลี่ยนแปลงโครงสร้างส่วนอสัมธานและโครงสร้างผลึกภายในเม็ดแป้งที่เกิดขึ้นขณะให้ความร้อนแก่สารละลายแป้ง

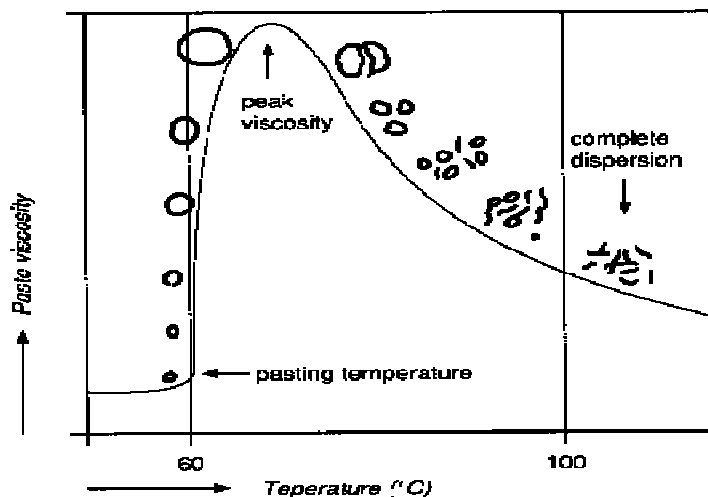
ที่มา : Conde-Petit (2001)

## 2.2 การเกิดเจลาทีไนเซชัน (Gelatinization)

เม็ดแป้งมีคุณสมบัติชอบน้ำเนื่องจากประกอบด้วยหมู่ไฮดรอกซิล (hydroxyl groups) จำนวนมาก แต่เนื่องจากเม็ดแป้งอยู่ในรูปของร่างแท้ไมเซลล์ ดังนั้นการจัดเรียงตัวลักษณะนี้จึงทำให้เม็ดแป้งละลายในน้ำเย็นยาก เมื่ออุ่นในน้ำเย็นเม็ดแป้งจะดูดซึมน้ำและพองตัว ได้เล็กน้อย เนื่องจากเม็ดแป้งมีโครงสร้างกึ่งผลึกซึ่งมีการสร้างพันธะไฮdroเจนระหว่างหมู่ไฮดรอกซิลในโมเลกุลแป้ง การเกิดเจลาทีไนเซชันของแป้งเกิดขึ้นภายใต้สภาวะที่มีความชื้นเกินพอ คือมีความชื้นมากกว่าร้อยละ 63 ดังนั้นอตราส่วนน้อยที่สุดของโมเลกุลนำต่อหน่วยกiloโคลที่ต้องการสำหรับการเกิดเจลาทีไนเซชันอย่างสมบูรณ์เท่ากับ 15 ต่อ 1 เมื่อเพิ่มอุณหภูมิขึ้นความร้อนจะไปทำลายพันธะไฮdroเจนระหว่างสายโซ่ของโมเลกุลในส่วนอสัมธานและส่วนผลึก ในช่วงแรกของการเจลาทีไนเซชัน น้ำจะแทรกซึมเข้าไปภายในเม็ดแป้งในส่วนอสัมธานก่อนทำให้เม็ดแป้งดูดซึมน้ำ ได้เพิ่มขึ้นเกิดการพองตัวของเม็ดแป้ง เมื่ออุณหภูมิเพิ่มขึ้นจะเกิดการทำลายส่วนผลึกของเม็ดแป้ง โดยลักษณะเกลี่ยวนม้วนคู่จะคลายตัวออกจนกระทั่งเม็ดแป้งถูกทำลายเก็บจะสมบูรณ์จะได้ส่วนที่เรียกว่าโซล (sol) ซึ่งส่วนไมเซลล์ยังคงจับกันแน่นไม่เปลี่ยนแปลงระหว่างการทำลายเก็บจะสมบูรณ์จะได้ส่วนที่ถูกชะออกจากการเม็ดแป้ง ทำให้ส่วนที่เหลือมีความหนืดและใสขึ้น เนื่องจากโมเลกุลของน้ำอิสระที่

เหลืออยู่รอบ ๆ เม็ดแป้งเหลือน้อยลง เม็ดแป้งเคลื่อนไหวได้ยากขึ้นทำให้เกิดความหนืดปรากฏการณ์นี้เรียกว่า การเกิดเจลาทีไนเซชัน (กล้านรงค์ และ เกื้อกูล, 2546; วชิราพรรณ, 2543)

การเกิดเจลาทีไนเซชันของเม็ดแป้งแป้งได้ 3 ระยะ คือ ระยะแรก เม็ดแป้งจะคุตซึมน้ำเย็นได้อย่างจำกัดและการพองตัวแบบผันกลับได้ เนื่องจากส่วนที่เป็นผลึกสามารถยึดหุ้นได้อย่างจำกัด ความหนืดของสารแขวนลดอย่างไม่เพิ่มขึ้นอย่างเห็นได้ชัด เม็ดแป้งยังคงรูปร่างและยังมีสมบัติใบริฟรินเจนซ์อยู่ เมื่อนำไปทำให้แห้งก็จะได้ลักษณะเหมือนเดิม ระยะที่สอง เมื่อให้ความร้อนจนถึงอุณหภูมิที่สูงกว่าอุณหภูมิการเจลาทีไนเซชัน จะทำให้พันธะไฮโดรเจนถูกทำลาย เม็ดแป้งจะคุตซึมน้ำเข้ามากแล้วพองตัวอย่างรวดเร็วและผันกลับไม่ได้ ทำให้แป้งมีความหนืดและความใสมากขึ้น ปรากฏการณ์นี้เรียกว่า เจลาทีไนเซชัน และเรียกอุณหภูมิที่สารละลายแป้งเริ่มมีความหนืดว่า pasting temperature เม็ดแป้งจะมีการเปลี่ยนรูปร่างและสูญเสียสมบัติใบริฟรินเจนซ์ และมีการพองตัวสูงขึ้น ทำให้ความหนืดของแป้งสูงขึ้น การเกิดเจลาทีไนเซชันของแป้งจะแตกต่างกันไปในแป้งแต่ละชนิด ขึ้นกับองค์ประกอบทางเคมีที่มีอยู่ เช่นสัดส่วนของปริมาณอะมิโน\_acid และอะมิโนเพกทิน ปริมาณไขมันรวมทั้งการจัดเรียงตัวของโมเลกุลภายในเม็ดแป้ง เมื่อเม็ดแป้งมีการพองตัวสูงสุดเม็ดแป้งจะเริ่มแตกออก เมื่อเพิ่มอุณหภูมิต่อไปจะไปทำให้เม็ดแป้งเริ่มเข้าสู่ระยะที่สาม คือ เม็ดแป้งจะมีการแตกตัวอย่างสมบูรณ์ การละลายของแป้งจะสูงขึ้นด้วย ดังภาพที่ 7 การเกิดเจลาทีไนเซชันของแป้งจะทำให้หมูไฮดรอกซิลของแป้งสามารถทำปฏิกิริยากับสารอื่น ๆ ได้ดีขึ้น



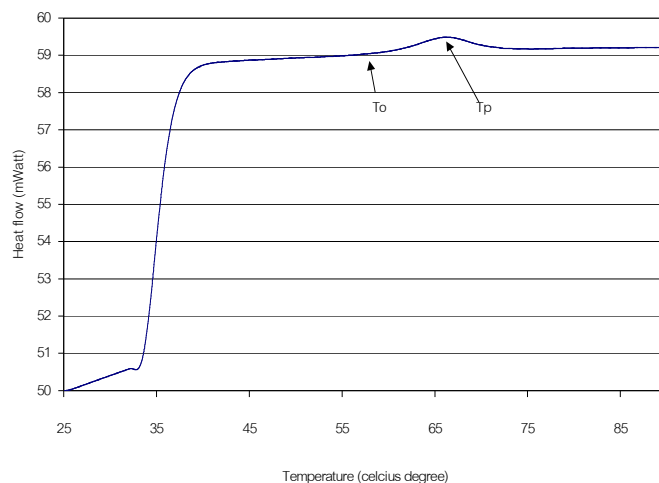
ภาพที่ 7 ระยะในการเกิดเจลาทีไนเซชันของเม็ดแป้ง  
ที่มา : กล้านรงค์ และ เกื้อกูล (2546)

การตรวจสอบกระบวนการเจลาทีไนเซชันจากการใช้การสังเกตการเปลี่ยน  
โครงสร้างการบิดรูปแบบแสงโพลาไรซ์ภายในเจลที่มีความร้อนที่เปลี่ยนแปลงใน  
เครื่อง Differential Scanning Calorimeter ที่วัดและบันทึกปริมาณความร้อนที่เปลี่ยนแปลงใน  
ระหว่างกระบวนการเจลาทีไนเซชัน ซึ่งเป็นวิธีการหนึ่งที่ใช้ศึกษาการเปลี่ยนแปลงของสารที่  
เกี่ยวข้องกับการเปลี่ยนแปลงพลังงาน โดยอาศัยหลักการที่ว่าทั้งตัวอย่างและสารอ้างอิง (reference)  
จะต้องคงอยู่ที่อุณหภูมิเดียวกันในกระบวนการให้ความร้อน หรือทำให้เย็นลงที่อัตราที่กำหนดไว้  
ก่อนค่าหนึ่ง ปริมาณความร้อนจะใหม่เข้าสู่ระบบที่ตัวอย่างหรือสารอ้างอิงเพื่อที่จะรักษาความ  
แตกต่างของอุณหภูมิของตัวอย่างและสารอ้างอิงให้เป็นศูนย์ ( $T_s - T_r = 0$ ) ปริมาณความร้อนดังกล่าว  
นี้จะบันทึกเป็นฟังก์ชันกับเวลา หรืออุณหภูมิ ปริมาณความร้อนที่ทำให้เกิดการเปลี่ยนแปลง ( $\Delta H$ )  
สามารถหาได้จากความสัมพันธ์ระหว่างค่า  $\Delta H$  และพื้นที่ใต้กราฟที่แสดงการเปลี่ยนแปลงดังกล่าว

$$M \cdot (\Delta H) = K \cdot A$$

เมื่อ	$M$	=	มวลของตัวอย่าง (g)
	$\Delta H$	=	ความร้อนที่หันมดของปฏิกิริยา (J/g)
	$K$	=	calibration constant ของเครื่องมือ (J/J#)
	$A$	=	พื้นที่ใต้กราฟ (J#)

ในการวิเคราะห์พลังงานของกระบวนการการทำเป็นต้องหาพื้นที่ใต้กราฟไม่ว่าจะเป็นปฏิกิริยาดูดความร้อน (endotherm) หรือขายความร้อน (exotherm) ในกรณีการเกิดเจลาทีไนเซชันของแป้งจะเป็นการดูดความร้อน การหาเส้น baseline ที่ถูกต้องแม่นยำสำหรับการทำพื้นที่ใต้กราฟ มีความสำคัญมากเนื่องจากมีความแตกต่างกันทั้งก่อนและหลังการเปลี่ยนแปลงของกระบวนการที่ศึกษาส่วนพื้นที่ใต้กราฟสามารถคำนวณได้ 3 วิธี คือ cut and weigh, planimeter และ integrator ค่าทางเทอร์โมไดนามิกส์ที่ได้จากเครื่อง DSC ที่เกี่ยวข้องกับการเกิดเจลาทีไนเซชัน “ได้แก่ อุณหภูมิเริ่มต้นในการเกิดเจลาทีไนเซชัน (onset temperature;  $T_o$ , °C) อุณหภูมิที่จุดสูงสุดในการเกิดเจลาทีไนเซชัน (peak temperature;  $T_p$ , °C) อุณหภูมิสุดท้ายในการเกิดเจลาทีไนเซชัน (conclusion temperature;  $T_c$ , °C) และพลังงานที่เปลี่ยนแปลงระหว่างการเกิดเจลาทีไนเซชัน (enthalpy;  $\Delta H$ , J/g) ตัวอย่างกราฟที่ได้จากเครื่อง DSC แสดงในภาพที่ 8 อุณหภูมิและปริมาณความร้อนที่ใช้ในการเกิดเจลาทีไนเซชันของแป้งได้ แป้งที่มีโครงสร้างผลึกแข็งแรง อุณหภูมิในการเกิดเจลาทีไนเซชันจะมีค่าสูง และแป้งที่โครงสร้างผลึกมีความสม่ำเสมอ เป็นระเบียบมาก จะมีช่วงอุณหภูมิในการเกิดเจลาทีไนเซชันแคบ และพลังงานที่ใช้ในการเกิดเจลาทีไนเซชันจะมีค่าสูงเพื่อทำให้มีดีแป้งทั้งหมด เกิดการเปลี่ยนสถานะ



ภาพที่ 8 ตัวอย่างกราฟที่ได้จากการวิเคราะห์ด้วยเครื่อง DSC ของสารผสมแป้งกับน้ำ (30:70)

( $T_o$  = onset temperature,  $T_p$  = peak temperature,  $T_c$  = conclusion temperature)

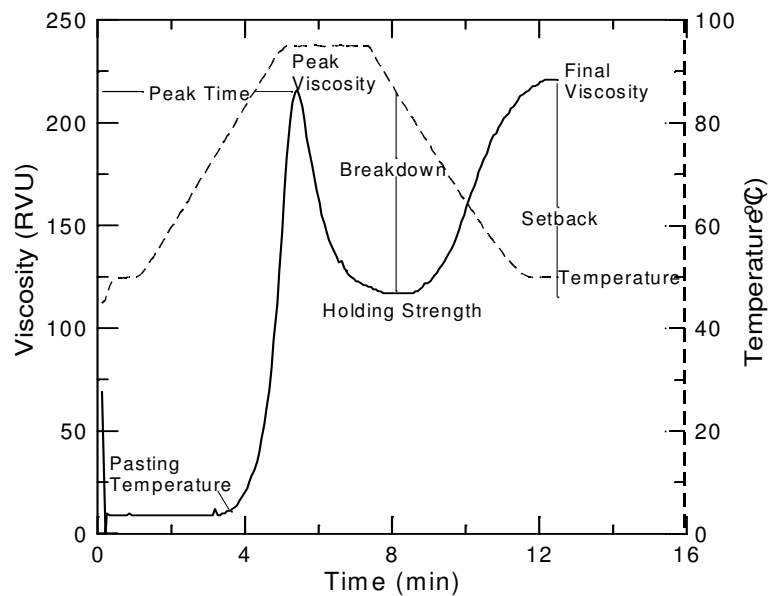
ที่มา : กล้านรงค์ และ เกื้อกูล (2546)

### 2.3 ความหนืด (Viscosity)

ความหนืดเป็นคุณสมบัติเฉพาะตัวที่สำคัญของแป้ง เกิดจากการเปลี่ยนแปลงทางเคมีที่เป็นผลมาจากการกระบวนการเกิดเจลาทีนในเชื้อนองแป้ง ซึ่งจะแตกต่างกันไปตามชนิดและสัยพันธุ์ของแป้ง การตรวจวัดค่าความหนืดมีความสำคัญในแง่การใช้แป้งทึบในอุตสาหกรรมอาหาร เช่น ใช้เป็นสารให้ความข้นหนืด และให้เนื้อสัมผัสในอาหาร ใช้ในอุตสาหกรรมกระดาษในขั้นตอน sizing และ coating และใช้ในอุตสาหกรรมการเป็นต้น

การเปลี่ยนแปลงความหนืดของแป้งสามารถตรวจสอบได้โดยใช้เครื่องมือหลายชนิดซึ่งมีทั้งแบบปรับอุณหภูมิไม่ได้ เช่น Brookfield viscometer, Capillary viscometer และ Rheometer ซึ่งจะวัดค่าที่อุณหภูมิหนึ่ง ๆ เท่านั้น และเครื่องมือแบบปรับและควบคุมอุณหภูมิได้ เช่น Rapid Visco Analyzer และบรรบานเดอร์วิสโคงะ ไม่โลกราฟแบบปรับและควบคุมอุณหภูมิได้ ซึ่งมีความสำคัญในการศึกษาทั้งลักษณะของกราฟความหนืดเมื่อมีการเปลี่ยนแปลงอุณหภูมิให้กับน้ำเปลี่ยนทำให้ทราบอุณหภูมิที่เกิดเจลาตินเซชัน ค่าความหนืดที่สูงสุด และค่าความหนืดสุดท้าย เมื่อสารละลายแป้งเกิดรีไทร์เรตเดชัน (กล้า้มรงค์ และ เกี้อกล, 2546)

การวัดการเปลี่ยนแปลงความหนืดของแป้งด้วยเครื่อง Rapid Visco Analyzer (RVA) มีคุณสมบัติพิเศษคือ ความสามารถในการเปลี่ยนระดับอุณหภูมิ สามารถทำให้ร้อนและเย็นได้อ่าย แม่นยำและรวดเร็ว สามารถรักษาอุณหภูมิให้คงที่ได้ จึงทำให้สามารถหาลักษณะการเปลี่ยนแปลงความหนืด (pasting curve) ภายในเวลาสั้น (13 นาที) ได้เนื่องจากมีกลไกการส่งผ่านความร้อนที่ดีกว่า และใช้ปริมาณตัวอย่างน้อยกว่า (กล้ามrong' และ เกี้กุล, 2546) เมื่อเม็ดแป้งได้รับความร้อน จะดูดซึมน้ำและพองตัวขยายใหญ่ขึ้น ขณะเดียวกันน้ำที่เหลืออยู่รอบ ๆ เหลือน้อยลงทำให้เม็ดแป้งเคลื่อนไหวได้ยาก และในสภาวะที่มีการกวนภายในแรงเฉือน (shear force) ค่าหนึ่ง แป้งจะเปลี่ยนเป็นเจล ซึ่งเป็นการเกิดเจลาทีนเชิงของแป้งมีผลทำให้ความหนืดเพิ่มขึ้นจนถึงจุดที่ความหนืดสูงสุด (peak viscosity) ซึ่งเป็นจุดที่เม็ดแป้งมีการพองตัวเต็มที่ การเพิ่มอุณหภูมิและมีการกวนต่อไปอีก มีผลทำให้โครงสร้างภายในแตกออกทำให้ความหนืดลดลง และเมื่อลดอุณหภูมิลงจะเกิดรีโทรเกรเดชัน มีผลทำให้ความหนืดเพิ่มขึ้นอีก ซึ่งเป็นความหนืดที่เกิดจากการจัดเรียงตัวใหม่ของโมเลกุลอะมิโลสที่หลุดออกจากเม็ดแป้ง ลักษณะของกราฟความหนืดที่วัดด้วยเครื่อง RVA (Newport Scientific, 1995) ดังภาพที่ 9



ภาพที่ 9 ลักษณะกราฟความหนืดและความร้อนของค่าพารามิเตอร์ต่าง ๆ ที่วัดด้วยเครื่อง RVA

ที่มา : Newport Scientific (1995)

ค่าพารามิเตอร์ต่าง ๆ ที่สามารถอ่านได้เมื่อวิเคราะห์ความหนืดด้วยเครื่อง RVA ได้แก่

2.3.1 Peak time : เวลาที่เกิดจุดสูงสุด (peak) ของความหนืด มีหน่วยเป็นนาที

2.3.2 Pasting temperature : อุณหภูมิที่เริ่มนิการเปลี่ยนค่าความหนืด หรือมีค่าความหนืดเพิ่มขึ้น 2 RVU ในเวลา 20 วินาที มีหน่วยเป็นองศาเซลเซียส

2.3.3 Peak temperature : อุณหภูมิที่เกิดจุดสูงสุด (peak) มีหน่วยเป็นองศาเซลเซียส

2.3.4 Peak viscosity : ความหนืดที่จุดสูงสุด มีหน่วยเป็น RVU

2.3.5 Holding strength : ความหนืดที่ต่ำที่สุดระหว่างการทำเย็น มีหน่วยเป็น RVU

2.3.6 Breakdown : ความแตกต่างของความหนืดสูงสุดและความหนืดต่ำสุด มีหน่วยเป็น RVU

2.3.7 Final viscosity : ความหนืดสุดท้ายของการทดลอง มีหน่วยเป็น RVU

2.3.8 Setback from peak : ผลต่างของความหนืดสูงสุดท้ายกับความหนืดที่จุดสูงสุด (peak) มีหน่วยเป็น RVU

2.3.9 Setback from trough : ผลต่างของความหนืดสูงสุดท้ายกับความหนืดต่ำสุด มีหน่วยเป็น RVU

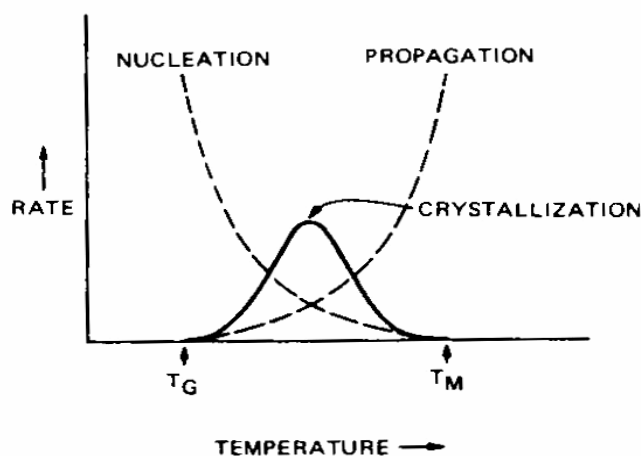
## 2.4 การเกิดรีโทรเกรเดชัน (Retrogradation)

การเกิดรีโทรเกรเดชันของแป้งเป็นการเปลี่ยนแปลงที่เกิดขึ้นในแป้งที่ผ่านการเจลาทีไนเซชันจากบริเวณส่วนอสัมฐานไปจนถึงส่วนอื่น ๆ รวมทั้งส่วนที่เป็นผลึก การเปลี่ยนแปลงเกิดขึ้นเนื่องจากเจลแป้งไม่อู่ยุ่นในสมดุลทางเทอร์โมไดนามิกส์ ทำให้สมบัติของแป้งเปลี่ยนแปลง โดยความแน่นและความแข็งแรงของเจลแป้งจะเพิ่มขึ้น เกิดการสูญเสียความสามารถในการเก็บน้ำ ซึ่งเป็นผลเนื่องจากการจัดเรียงตัวใหม่ของแป้งที่เรียกว่า recrystallization (Eliasson and Gudmundsson, 1996)

ในการเกิดรีโทรเกรเดชัน เมื่อเม็ดแป้งได้รับความร้อนจนถึงอุณหภูมิที่เกิดเจลาทีไนเซชันแล้วให้ความร้อนต่อไปจะทำให้เม็ดแป้งพองตัวเพิ่มขึ้นจนถึงจุดที่พองตัวเต็มที่และแตกออก ไมเลกุลของอะมิโลสนาคเลิกจะระจัดกระจายออกมารำให้ความหนืดคล่อง เมื่อปล่อยให้เย็นตัวไมเลกุลของอะมิโลสที่อยู่ใกล้กันจะเกิดการจัดเรียงตัวกันใหม่ด้วยพันธะไฮโดรเจนระหว่างไมเลกุล เกิดเป็นร่างແဆามมิติ โครงสร้างใหม่นี้สามารถอุ้มน้ำและไม่มีการดูดน้ำเข้ามาอีกแป้งมีความหนืดคงตัวมากขึ้น เกิดเจลเหนียวคล้ายฟิล์มหรือผลึก เรียกปรากฏการณ์นี้ว่า การเกิดรีโทรเกรเดชันหรือการคืนตัว (setback) เมื่อลดอุณหภูมิให้ต่ำลงไปอีกการจัดเรียงโครงสร้างจะยิ่งแน่นขึ้นไมเลกุลของน้ำอิสระที่อยู่ภายในจะถูกบีบออกมานอกเจล เรียกว่า syneresis ปรากฏการณ์ที่สองจะทำให้เจลมีลักษณะขุ่นและมีความหนืดเพิ่มขึ้น

การคืนตัวของแป้งเปียกและสารละลายแป้งทำให้สารละลายมีความหนืดเพิ่มขึ้น มีลักษณะขุ่นและทึบแสง เกิดขึ้นส่วนที่ไม่ละลายในแป้งเปียกที่ร้อน เกิดการตกรอกอนของอนุภาคแป้งที่ไม่ละลาย ทำให้เกิดเจล และ ไมเลกุลน้ำถูกบีบออกมานอกเจล การคืนตัวของแป้งเมื่อเกิดขึ้นอย่างช้า ๆ จะเกิดการตกรอกอน เมื่อเกิดขึ้นอย่างรวดเร็วจะทำให้เกิดเจลขุ่น การเกิดรีโทรเกรเดชันของแป้งขึ้นอยู่กับปัจจัยหลายประการ ได้แก่ ชนิดของแป้ง ความเข้มข้นของแป้ง กระบวนการให้ความร้อน ความเย็น อุณหภูมิ ระยะเวลา ความเป็นกรด-เบส (pH) ของสารละลาย ปริมาณและขนาดของอะมิโลส อะมิโลเพกทิน และองค์ประกอบทางเคมีอื่น ๆ ในแป้ง ดังนั้นแป้งแต่ละชนิดจึงมีอัตราการคืนตัวที่แตกต่างกัน (กล้ามรังค์ และ เกื้อภูล, 2546)

กลไกที่สำคัญที่เกี่ยวข้องกับการเกิดรีไทร์เรเดชัน คือ กลไกการเกิดผลึก (crystallization mechanisms) กลไกการเกิดผลึกที่สมบูรณ์มี 3 ขั้นตอน คือ การเกิดนิวเคลียต (nucleation) เป็นจุดที่โมเลกุลแป়ง 2 โมเลกุลหรือมากกว่ามาเขื่อมต่อกัน การเติบโตของผลึก (propagation) และการเกิดผลึกอย่างสมบูรณ์ (perfect crystal structure) โดยการเกิดนิวเคลียตและ การเติบโตของผลึกจะเกี่ยวข้องโดยตรงกับอุณหภูมิในการเก็บรักษา อุณหภูมิกาสทารานสิชัน (Glass transition temperature,  $T_g$ ) และอุณหภูมิหลอมเหลวของโครงสร้างผลึก (melting transition temperature,  $T_m$ ) เมื่ออุณหภูมิของสารละลายแป়งอยู่ระหว่าง  $T_g$  และ  $T_m$  อัตราการเกิดนิวเคลียตจะเพิ่มขึ้นเมื่ออุณหภูมิลดลงจนถึง  $T_g$  ขณะที่อัตราการเติบโตของผลึกจะเพิ่มขึ้นเมื่ออุณหภูมิสูงขึ้นจนถึง  $T_m$  แสดงให้เห็นว่าการเกิดโครงสร้างผลึกจะเกิดที่อุณหภูมิต่ำ แต่มีข้อจำกัดที่อุณหภูมิสูง (มากกว่า 30 องศาเซลเซียส) เนื่องจากที่อุณหภูมิสูงไม่เหมาะสมต่อการเกิดเป็นนิวเคลียสของผลึก การเกิดรีไทร์เรเดชันจะสูงที่สุดที่อุณหภูมิระหว่าง  $T_g$  และ  $T_m$  เนื่องจากเป็นอุณหภูมิที่ทำให้อัตราการเกิดนิวเคลียต และการเติบโตของผลึกโดยรวมสูงที่สุด ดังภาพที่ 10 ดังนั้นการเกิดรีไทร์เรเดชันจึงเป็นกระบวนการที่ไม่สมดุล (non-equilibrium recrystallization process) เกิดเป็นผลึกที่ไม่สมบูรณ์ ซึ่งการเก็บเจลแป়งที่ประกอบด้วยน้ำร้อยละ 45-50 ที่อุณหภูมิต่ำแต่สูงกว่า  $T_g$  จึงเป็นการเร่งการเกิดรีไทร์เรเดชันเมื่อเปรียบเทียบกับการเก็บที่อุณหภูมิห้อง และการเก็บที่อุณหภูมิแข็งแข็งที่ต่ำกว่า  $T_g$  สามารถยับยั้งการเกิด recrystallization (Eliasson and Gudmundsson, 1996)



ภาพที่ 10 ความสัมพันธ์ระหว่างอัตราการเกิด Recrystallization กับอุณหภูมิกาสทารานสิชันและ อุณหภูมิหลอมเหลวของโครงสร้างผลึก

ที่มา: Slade and Levine (1987)

ปริมาณน้ำในเจลແປ່ງມีຄວາມສໍາຄັນมากຕ່ອງເກີດຮູບໂທຮົກເຮັດຂັ້ນ ແລະເກີດ crystallization ຈະເກີດຂຶ້ນໃນເຈລແປ່ງທີ່ປະກອບດ້ວຍແປ່ງຮ່ວງຮ້ອຍລະ 10 ຄື່ງ 80 ແລະເກີດຂຶ້ນສູງທີ່ສຸດໃນເຈລແປ່ງທີ່ປະກອບດ້ວຍແປ່ງຮ້ອຍລະ 50 ຄື່ງ 55 ການເກີດຮູບໂທຮົກເຮັດຂຶ້ນອູ້ກັບປະມານນ້ຳຮ່ວງບ່ນ ແຕ່ໄມ້ຂຶ້ນກັບປະມານນ້ຳໃນຮ່ວງການເກີດເຈລາທີ່ໃນເຫັນ ການເກີດເຈລາທີ່ໃນເຫັນທຳໃຫ້ແປ່ງມີລັກຂະພະເປັນອສັນຈູານອ່າງສມຽນ ແລະນ້ຳຈະກະຈາຍອ່າງສໍາເສມອ ກະບວນການເກີດ recrystallization ຂຶ້ນກັບອຸນຫຼວມທີ່ແຕກຕ່າງກັນຮ່ວງອຸນຫຼວມທີ່ເກີນແລະ  $T_g$  ຂອງເຈລທີ່ມີໂຄຮສ້າງອສັນຈູານ ນ້ຳທຳໜ້າທີ່ເປັນພລາສທິໄຊເຊວຣ (plasticizer) ຜຶ່ງກວບຄຸມ  $T_g$  ຂອງເຈລທີ່ມີໂຄຮສ້າງອສັນຈູານ ເມື່ອປະມານນ້ຳຕໍ່າ  $T_g$  ຈະສູງກວ່າອຸນຫຼວມທີ່ອັນແລະທຳໃຫ້ເຈລທີ່ມີໂຄຮສ້າງອສັນຈູານມີຄວາມໜີດສູງຜຶ່ງມີພລໃນການບັດຂວາງການເຄລື່ອນທີ່ຂອງໂມເລກຸດ ການເກີດ recrystallization ຈະເພີ່ມຂຶ້ນເມື່ອປະມານນ້ຳເພີ່ມຂຶ້ນຈົນດີ່ງຮ້ອຍລະ 45-50 ທຳໃຫ້ໂມເລກຸດເກີດການເຄລື່ອນທີ່ມາກຂຶ້ນ ແລະໃນທີ່ສຸດ  $T_g$  ຈະລດຄອງຈົນຕໍ່າກວ່າອຸນຫຼວມທີ່ອັນ ການເກີດ recrystallization ຈະລດຄອງເມື່ອປະມານນ້ຳສູງດີ່ງຮ້ອຍລະ 90 ໙ີ້ອ່າງໂມເລກຸດທີ່ສາມາດຈັດເຮີຍຕໍ່າໄດ້ມີປະມານນ້ອຍດັງ (Eliasson and Gudmundsson, 1996)

ການຕຽບສອບການເກີດຮູບໂທຮົກເຮັດຂັ້ນຈະປະມານໄດ້ຈາກຄ່າການຄື່ນຕ້າ (setback) ຂອງແປ່ງ ຜຶ່ງເປັນຄ່າພລຕ່າງຮ່ວງຄວາມໜີດສຸດທ້າຍກັບຄວາມໜີດສູງສຸດ (setback from peak) ອີ່ອຄວາມໜີດສຸດທ້າຍກັບຄວາມໜີດຕໍ່າສຸດ (setback from trough) ໂດຍເກື່ອງ Brabender ອີ່ອ RVA ນອກຈາກນີ້ການເກີດຮູບໂທຮົກເຮັດຂັ້ນຂອງແປ່ງສາມາຄວັດໄດ້ໂດຍການໃຊ້ເຄື່ອງ DSC ໂດຍນໍາແປ່ງດົບໄປຫາຄ່າພລັງຈານທີ່ໃຊ້ໃນການເກີດເຈລາທີ່ໃນເຫັນ ( $\Delta H_{gelatinization}$ ) ແລ້ວນໍາແປ່ງທີ່ຜ່ານການເຈລາທີ່ໃນເຫັນນີ້ໄປບ່ນໄວໃນສປາວະທີ່ກຳຫັດທີ່ອຸນຫຼວມ ແລະຮະບະເວລາຕ່າງໆ ກັນເພື່ອໃຫ້ເກີດຮູບໂທຮົກເຮັດ ແລ້ວນໍາແປ່ງທີ່ເກີດຮູບໂທຮົກເຮັດນີ້ໄປຕຽບສອບດ້ວຍເຄື່ອງ DSC ອີກຮັງໜຶ່ງບັນທຶກຄ່າພລັງຈານທີ່ໃຊ້ ( $\Delta H_{retrogradation}$ ) ແລະສາມາດຄໍານວນຮ້ອຍລະຂອງການເກີດຮູບໂທຮົກເຮັດໄດ້ຈາກສູດຮູບ

$$\% \text{ ຮູບໂທຮົກເຮັດ} = \frac{\Delta H_{retrogradation}}{\Delta H_{gelatinization}} \times 100$$

ນອກຈາກນີ້ການເກີດຮູບໂທຮົກເຮັດຈະທຳໃຫ້ເກີດການແຍກຕົວຂອງນ້ຳຈາກເຈລ (syneresis) ຜຶ່ງສັນພັນຮັບຄຸນສົມບັດຄວາມຄົງຕົວຕ່ອງການແຂ່ເຂົອກແຈ້ງ (freeze-thaw stability) ຂອງແປ່ງ ດັ່ງນັ້ນການວັດຄວາມຄົງຕົວຕ່ອງການຄື່ນຮູບປາກການແຂ່ເຂົອກແຈ້ງຈຶ່ງສາມາດໃຊ້ປະເມີນການເກີດຮູບໂທຮົກເຮັດຂອງແປ່ງໄດ້ (ກລ້າມຮັງກໍ ແລະ ເກື້ອງກຸດ, 2546)

## 2.5 สมบัติทางด้านเนื้อสัมผัส (Textural Properties)

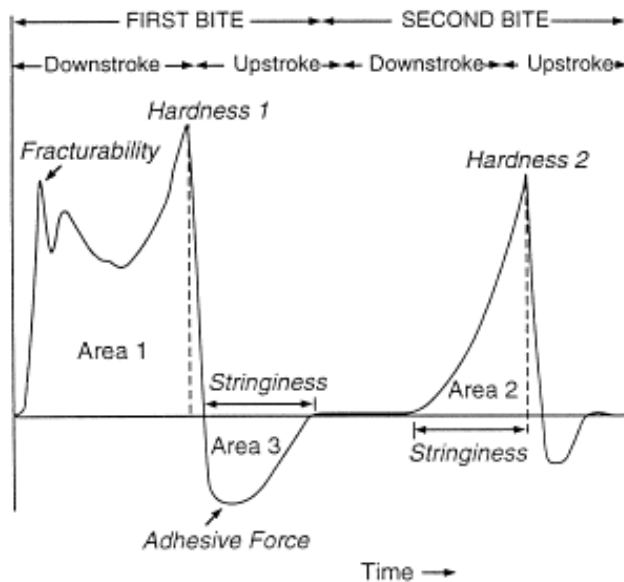
ลักษณะทางด้านเนื้อสัมผัสเป็นผลของการประกอบกันของคุณสมบัติทางด้านกายภาพและด้านเคมี ซึ่งรวมถึงขนาด รูปร่าง จำนวน สาระชาติ และการจัดเรียงตัวของโครงสร้างของสารนั้น ๆ ทั้งหมดนี้เป็นผลของโครงสร้างของวัสดุ และจากโครงสร้างของวัสดุความสามารถทำความเข้าใจคุณสมบัติทางกายภาพ และลักษณะทางเนื้อสัมผัสได้ จึงนำหลักการนี้มาใช้กับการประเมินลักษณะทางเนื้อสัมผัสโดยใช้เครื่องมือ (ปิติพร, 2546) วิธีการประเมินลักษณะเนื้อสัมผัสของเจลแป้งสามารถวัดค่าได้โดยการใช้เครื่องมือสามารถแบ่งออกได้เป็น 3 วิธีใหญ่ ๆ ดังนี้ (Bourne, 1982)

1. วิธีการวัดค่าพื้นฐานทางวัสดุศาสตร์ (Fundamental measurement) เป็นวิธีการซึ่งพัฒนามาจากนักวิทยาศาสตร์และวิศวกร ซึ่งบ่อยครั้งพบว่าข้อมูลไม่สามารถนำมาใช้ในการประเมินความรู้สึกของมนุษย์ในด้านเนื้อสัมผัสนะจะเกี่ยวได้ ข้อดีของวิธีการนี้คือสามารถอธิบายค่าที่วัดได้ในเชิงวัสดุศาสตร์ และข้อเสียคือค่าที่ได้ไม่ค่อยมีความสัมพันธ์กับการวัดค่าทางประสาท สัมผัส เครื่องมือมีราคาแพงและใช้เวลาในการวัดค่านาน วิธีการวัดค่าพื้นฐานทางวัสดุศาสตร์จะเกี่ยวข้องกับค่าแรงที่มาระทำต่อตัวอย่าง ทั้งนี้แรงที่มาระทำต่อตัวอย่างมีหลายรูปแบบ เช่น แรงกดและแรงยัด (Compression-Extrusion) แรงดึง (Tensile) แรงตัดและแรงเฉือน (Cutting and Shearing) เป็นต้น

2. วิธีการวัดค่าแบบประยุกต์ (Empirical measurement) เป็นวิธีการวัดค่าเนื้อสัมผัสที่ถูกออกแบบมาโดยนักประดิษฐ์ เพื่อให้มีความเหมาะสมกับงานที่นำไปใช้ โดยเฉพาะงานควบคุมคุณภาพและแบ่งระดับชั้นคุณภาพผลิตภัณฑ์ในโรงงานอุตสาหกรรม ข้อดีของวิธีการนี้คือ เครื่องมือที่ใช้งานง่าย มีความรวดเร็วในการวัด และค่าที่ได้มีความสัมพันธ์กับการวัดค่าทางประสาทสัมผัส และข้อเสียคือ ไม่สามารถอธิบายหลักการวัดค่าที่ได้บนพื้นฐานทางการวัดค่าวัสดุศาสตร์ วัดค่าได้เพียงคุณลักษณะใดคุณลักษณะหนึ่ง วิธีการวัดค่าขึ้นอยู่กับผู้วัด ไม่มีวิธีการวัดที่ได้มาตรฐาน แน่นอน และโดยทั่วไปจะวัดค่าที่จุดใดจุดหนึ่ง จึงไม่สามารถให้ข้อมูลที่ต่อเนื่องได้ ตัวอย่าง เครื่องมือวัดค่าแบบประยุกต์ได้แก่ Fruit pressure tester, Bloom gelometer, Penetrometer เป็นต้น

3. วิธีการเลียนแบบการเคี้ยวของมนุษย์ (Imitative measurement) วิธีการนี้จะออกแบบเครื่องมือให้มีหลักการทำงานคล้ายกับการเคี้ยวของมนุษย์ โดยเป็นเครื่องมือแบบเดียวกัน กับวิธีการวัดค่าพื้นฐานทางวัสดุศาสตร์ที่สามารถหาค่าแรงกับระยะทาง หรือความเดินกับความเครียดได้ การวัดค่าเนื้อสัมผัสด้วยวิธีการนี้เรียกอีกอย่างหนึ่งว่า Texture Profile Analysis (TPA) ตัวอย่างเครื่องมือที่ใช้วัดค่าด้วยวิธีการนี้ได้แก่ Texture Analysis, Instron, Lloyd เป็นต้น

การศึกษาลักษณะเนื้อสัมผัสของเจลแป้ง โดยวิธีการวัดค่าเค้าโครงคุณลักษณะเนื้อสัมผัส (Texture Profile Analysis, TPA) การวัดค่าเนื้อสัมผัสด้วยวิธีนี้จะคล้ายกับการทำ Texture Profile ด้วยวิธีการทดสอบทางประสาทสัมผัส คือ จะมีการอธิบายพรร丰满คำศัพท์เกี่ยวกับเนื้อสัมผัสของอาหาร เครื่องมือในการวัด Texture Profile นั้นเป็นการวัดค่าพารามิเตอร์ของเนื้อสัมผัสของอาหารที่สามารถเป็นไปได้ หลักการพื้นฐานคือ จะกล่าวถึงคุณลักษณะของเนื้อสัมผัสที่สามารถทำการวัดค่าได้โดยการใช้เครื่องมือ ซึ่งการออกแบบเครื่องมือเลียนแบบการทำงานของแรงที่ใช้ภายในปาก เครื่องมือประกอบด้วยหัวกด (plunger) ซึ่งมีลักษณะแบบรูบหรือมีลักษณะคล้ายฟันมนุษย์ กดตัวอย่างที่มีความสูงที่แน่นอนด้วยอัตราการเคลื่อนที่ของหัวกดที่กำหนดไว้ หลังจากหัวกดเคลื่อนที่ขึ้นมาที่ตำแหน่งเริ่มต้นจะทำการกดตัวอย่างช้าลง ไปอีกครั้งหนึ่ง ผลลัพธ์ที่ได้แสดงเป็นกราฟความสัมพันธ์ระหว่างค่าแรงกับเวลา ดังภาพที่ 11 โดยการกดลงและขึ้นในรอบแรก เรียกว่า First bite ในรอบที่สอง เรียกว่า Second bite ค่าแรง เวลา และพื้นที่ได้กราฟจะนำมาใช้ในการกำหนดค่าตัวแปรคุณลักษณะเนื้อสัมผัส ดังแสดงในตารางที่ 3



ภาพที่ 11 กราฟความสัมพันธ์ที่ได้จากการวัดค่าเนื้อสัมผัสแบบ Texture Profile Analysis (TPA)  
ที่มา : Bourne (1978)

ค่าตัวแปรคุณลักษณะเนื้อสัมผัสที่ได้จากการวัดค่าเนื้อสัมผัสแบบ Texture Profile Analysis (TPA) ได้แก่ ค่าความแข็ง (Hardness) ซึ่งมีค่าเท่ากับค่าสูงสุดของแรงที่เกิดขึ้น ณ จุดสุดท้ายของการกดในรอบแรก ค่าของแรงที่เกิดขึ้นเป็นค่าแรกเริ่มกว่าค่าการแตกหัก (Fracturability) ซึ่งไม่จำเป็นว่าอาหารทุกชนิดจะพบค่านี้ งานที่ได้จากการกดตัวอย่างในรอบแรกและรอบที่สองจะให้พื้นที่ได้กราฟ (Area) เท่ากับ A1 และ A2 ซึ่งอัตราส่วนระหว่าง A1 และ A2 สัมพันธ์กับความสามารถในการรวมตัวกัน (Cohesiveness) ระยะทางที่ตัวอย่างเคลื่อนตัวกลับสัมพันธ์กับค่าความยืดหยุ่น (Springiness) พื้นที่ได้กราฟที่ให้ค่าเป็นลบ (negative area) เท่ากับ A3 สัมพันธ์กับความสามารถในการเกาะติดผิววัสดุ (Adhesiveness หรือ Stickiness) ค่าความเหนียว เป็นยาง (Gumminess) ได้จากผลคูณระหว่างค่าความแข็งกับความสามารถในการรวมตัวกัน และค่าการทนต่อการเคี้ยว (Chewiness) ได้จากผลคูณระหว่างค่าความแข็ง ความสามารถในการรวมตัวกัน และค่าความยืดหยุ่น เป็นต้น (Karim *et al.*, 2000)

**ตารางที่ 3 ความหมายของคุณลักษณะเนื้อสัมผัสต่าง ๆ ในเชิงคุณภาพทางกายภาพจากการทำ Texture Profile Analysis และในเชิงคุณภาพทางประสาทสัมผัส**

คุณลักษณะ	คุณภาพทางกายภาพ	คุณภาพทางประสาทสัมผัส
Hardness (ความแข็ง)	แรงที่ใช้ในการทำให้ตัวอย่างเสียรูป	แรงที่ใช้ในการกดตัวอย่างระหว่างฟันกรามเพื่อเปลี่ยนรูปร่างตัวอย่าง
Cohesiveness (ความสามารถในการรวมตัวกัน)	ขอบเขตของวัสดุที่สามารถเลี้ยงตัวอย่างได้ดี ก่อนที่จะเกิดการแตกหัก	ความแข็งแกร่งของพันธะภายในที่เกิดขึ้นในชิ้นตัวอย่างแล้วทำให้ตัวอย่างทนต่อแรงที่มากระทำก่อนที่ตัวอย่างจะขาดหรือแยกออกจากกัน
Springiness (ความยืดหยุ่น)	อัตราของการคืนรูปของวัสดุหลังจากการถูกกด	ระดับความสามารถในการคืนตัวกลับมาให้มือนเดิมเมื่อมีการถูกกดอีกไปจากตัวอย่าง
Adhesiveness (ความสามารถในการเกิดตัว)	งานที่ใช้ในการเอาชนะแรงระหว่างพื้นผิวของตัวอย่างกับพื้นผิวของวัสดุอื่นที่ตัวอย่างที่ติดอยู่	แรงที่ใช้ในการเคลื่อนย้ายตัวอย่างที่ติดอยู่ในปาก (โดยปกติคือเพดานปาก) ในระหว่างกระบวนการเคี้ยว
Fracturability (การแตกหัก)	แรงที่ทำให้ตัวอย่างแตกหักโดยเป็นตัวอย่างที่มี Hardness สูงและมี Cohesiveness ต่ำ	แรงกดทันที่หันได้ในแนวเดียวที่ทำให้ตัวอย่างเกิดการแตกหักเป็นชิ้นๆ และกระจายออกในแนวราบ
Chewiness (การทานต่อการเคี้ยว)	แรงที่ใช้ในการเคี้ยวตัวอย่างจนกระหึ่งสามารถกลืนได้โดยเป็นตัวอย่างที่มีลักษณะผสมของ Hardness, Cohesiveness และ Springiness	ระยะเวลาที่ใช้ในการเคี้ยวบดตัวอย่างที่เป็นของแข็ง ในอัตราการเคี้ยวที่คงที่จนกระทั่งสามารถที่จะกลืนได้
Gumminess (ความเหนียวเป็นยาง)	แรงที่ต้องใช้ในการแยกตัวอย่างที่เป็นก้อนของแข็งจนกระทั่งสามารถที่จะกลืนได้โดยเป็นตัวอย่างที่มี Hardness ต่ำและมี Cohesiveness สูง	พลังงานที่ใช้ในการเคี้ยวตัวอย่างที่เป็นก้อนของแข็ง ในอัตราการเคี้ยวที่คงที่จนกระทั่งสามารถที่จะกลืนได้

ที่มา : ปิติพร (2546)

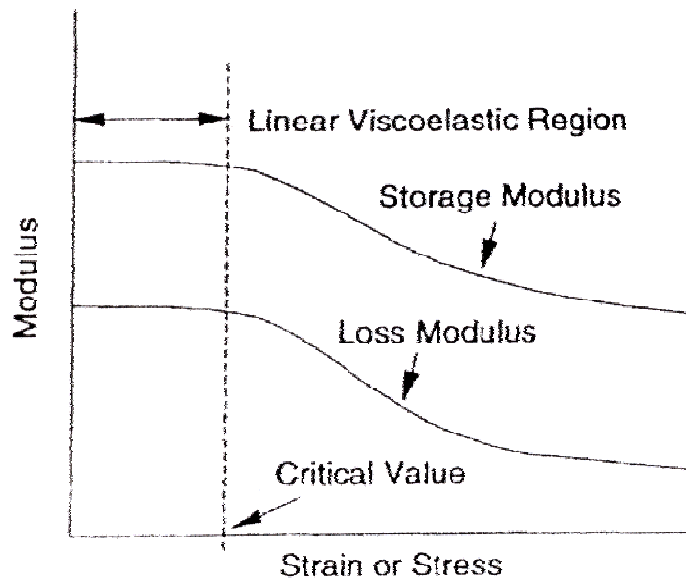
## 2.6 สมบัติวัสดุภาคการไหล (Rheological Properties)

วัสดุภาคการไหลหรือวิทยากระแทส (Rheology) เป็นศาสตร์ที่ศึกษาพฤติกรรมการเปลี่ยนรูปทรง (deformation) และการไหล (flow) ของวัสดุเพื่อตอบสนองต่อแรงที่มากระทำ (mechanical force) ในด้านของความยืดหยุ่น (elasticity) และความหนืด (viscosity) วิทยากระแทสเป็นวิชาที่เกี่ยวข้องกับกลศาสตร์และพลศาสตร์ โดยอาศัยสมการทางคณิตศาสตร์ พื้นฐานทางฟิสิกส์ และเคมีภysisในการอธิบายพฤติกรรมการตอบสนองต่อแรงกระทำของวัสดุ อันเนื่องมาจากอิทธิพลของแรงเฉือน (shear force)

จากมุมมองของวิทยากระแสดงสามารถแบ่งพฤติกรรมของวัสดุออกเป็น 3 รูปแบบ คือ การไหลของวัสดุที่เป็นของเหลวในอุดมคติ (flow of ideal-viscous liquids) การเปลี่ยนรูปทรงของวัสดุที่เป็นของแข็งในอุดมคติ (deformation of ideal-elastic solids) และการไหลและการเปลี่ยนรูปทรงของวัสดุที่คล้ายทั้งของแข็งและของเหลว (flow and deformation of viscoelastic materials) ซึ่งผลิตภัณฑ์อาหารส่วนใหญ่มักเป็นวัสดุประเภท viscoelastic นั่นคือวัสดุมีพฤติกรรมที่คล้ายทั้งของเหลว (viscous) และของแข็ง (elastic) ซึ่งเมื่อมีความเค้นเฉือน (shear stress) มากจะทำตัววัสดุที่ระดับความเครียดหนึ่ง (shear strain) แล้วถอนความเค้นเฉือนออกทันที วัสดุประเภทนี้จะไม่คืนตัวกลับสภาพเดิม ณ จุดเริ่มต้นที่ยังไม่มีความเค้นเฉือนมากจะทำการทำเหมือนวัสดุที่เป็นของแข็งทันที หรือคงอยู่ ณ ตำแหน่งที่ถอนความเค้นเฉือนออกเหมือนวัสดุที่เป็นของเหลว แต่จะค่อย ๆ คืนตัวกลับ ซึ่งการตรวจสอบด้วยวิธีทางวิทยากระแสดงจะช่วยให้เข้าใจถึงความสัมพันธ์ของความหนืด (viscosity) และความยืดหยุ่น (elasticity) ของผลิตภัณฑ์อาหารที่มีต่อการเปลี่ยนแปลงองค์ประกอบกระบวนการผลิต และตัวแปรต่าง ๆ ในการเก็บรักษาอาหาร

การตรวจสอบพฤติกรรมของวัสดุประเภท viscoelastic จะตรวจสอบในช่วงที่วัสดุสามารถคืนตัวกลับໄດ້ (Linear Viscoelastic Range) ดังภาพที่ 12 โดยแบ่งเป็น 2 วิธี คือ static methods เป็นวิธีที่ใช้การอ้างอิงเปรียบเทียบเชิงกล (mechanical analogues) ในการอธิบายปรากฏการณ์ต่าง ๆ ที่เกิดขึ้นขณะที่ตัวอย่างมีความเค้นหรือความเครียดมากกระทำในช่วงเวลาหนึ่ง เช่น การคีบ (creep) การคืนรูป (recovery) และการพักความเค้น (stress relaxation) เป็นต้น อีกวิธีหนึ่งคือ dynamic methods เป็นวิธีที่ใช้ทดสอบทางด้าน oscillatory test ในการศึกษาตัวอย่างจะถูกกระทำให้ผิดรูป (deformation) โดยการแปรผันการสั่นสะเทือนที่สัมพันธ์กับเวลา เช่น การสั่นสะเทือนแบบลูกคิลิน (sinusoidal) วิธีการนี้ใช้มากในการศึกษาความแข็งแรงของเจล

(gel strength) การเกิดเจลาทีนในเชื้อนของแป้ง (starch gelatinization) การเปลี่ยนสถานะของผลิตภัณฑ์ (phase transition) และความคงตัวในขณะเก็บรักษา (storage stability) ตัวอย่างวิธีการทดสอบทางด้าน oscillatory test ได้แก่ amplitude sweep, temperature sweep และ frequency sweep เป็นต้น



ภาพที่ 12 Linear Viscoelastic (LVE) Range

ที่มา : Steffe (1996)

แบบจำลอง Two-Plate-Model ดังภาพที่ 13 ถูกนำมาใช้เพื่อกำหนดตัวแปรพื้นฐานสำหรับอธินาพณิตกรรมของวัสดุที่เป็นของเหลวและของแข็ง โดยกำหนดให้แผ่นที่อยู่ด้านบนมีพื้นที่ A สามารถเคลื่อนที่ได้ตามแนวแรงเฉือนที่มากระทำ F (shear force) ความเร็วที่วัดได้มีค่าเท่ากับ  $v$  และระยะทางที่แผ่นเคลื่อนออกไปมีค่า  $s$  สำหรับแผ่นที่อยู่ด้านล่างไม่สามารถเคลื่อนที่ได้ดังนั้นความเร็วและระยะทางจึงมีค่าเป็นศูนย์ ระยะห่างระหว่างแผ่นทั้งสองมีค่าเท่ากับ  $h$  ตัวอย่างจะได้รับแรงเฉือนภายในช่องว่างระหว่างแผ่นทั้งสองนี้โดยมีข้อกำหนดว่าต้องย่างจะต้องเกิดแน่นกับแผ่นทั้งสองโดยไม่ลื่นหรือเลื่อนลงมา และสำหรับตัวอย่างที่เป็นของเหลวจะต้องมีการไหลแบบราบเรียบ (lamina flow) เท่านั้น เนื่องมาจากภาวะแรงโน้มถ่วงของโลก การวัดค่าทางวิทยาศาสตร์โดยใช้ Two-Plate-Model จึงสามารถกระทำได้ก่อต่อเมื่อระยะห่างระหว่างแผ่นทั้งสองแคบเพียงพอ ตัวแปรทางวิทยาศาสตร์สามารถคำนวณได้จากสมการดังนี้

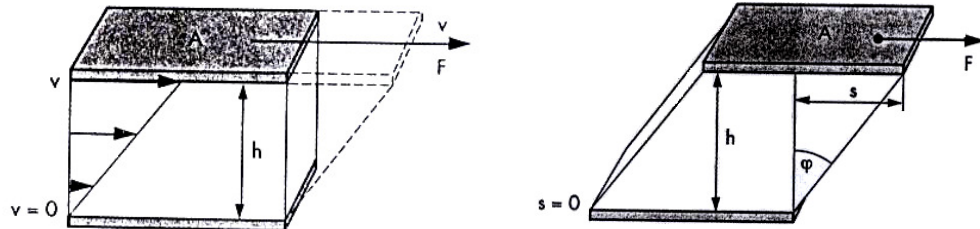
ความเก็บนเลื่อน (Shear stress)  $\tau = F / A$  หน่วย [Pa]

อัตราเก็บน (Shear rate)  $\dot{\gamma} = v / h$  หน่วย [1/s]

ความหนืด (Viscosity)  $\eta = \tau / \dot{\gamma}$  หน่วย [Pas]

ความเครียดเก็บน (Shear strain)  $\gamma = s / h = \tan \varphi$  หน่วย [1]

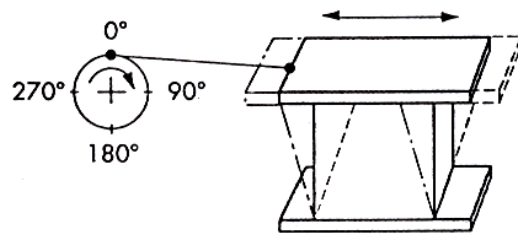
มอดูลัสเก็บน (Shear modulus)  $G = \tau / \gamma$  หน่วย [Pa]



ภาพที่ 13 แบบจำลอง Two-Plate-Model

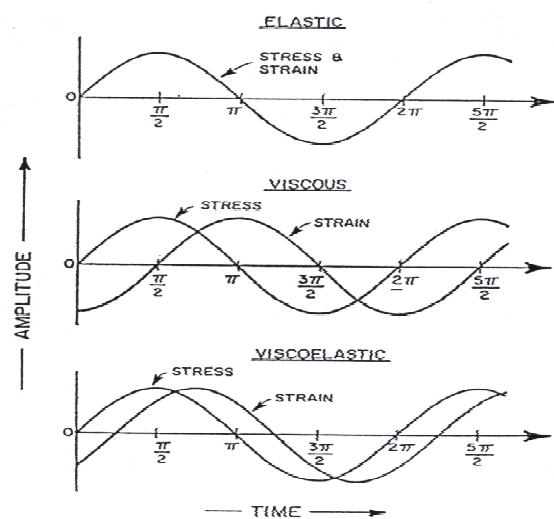
ที่มา : Mezger (2002)

สำหรับการทดสอบทางด้าน oscillatory test ของวัสดุประยุกต์ viscoelastic จะใช้แบบจำลอง Two-plate-Model ดังภาพที่ 14 โดยแผ่นที่อยู่ด้านบนจะเคลื่อนที่ในลักษณะหมุนเป็นวง ซึ่งสามารถผลักแกนที่เชื่อมระหว่างแผ่นทั้งสองให้ขยับทำมุม  $\pm \varphi$  แรงเฉือนที่มากจะทำ  $\pm F$  จะทำให้แผ่นเคลื่อนไปข้างหน้าและข้างหลังด้วยระยะทาง  $\pm s$  ในขณะที่แผ่นที่อยู่ด้านล่างไม่สามารถเคลื่อนที่ได้



ภาพที่ 14 แบบจำลอง Two-Plate-Model สำหรับการทดสอบ oscillatory test  
ที่มา : Mezger (2002)

จากความสัมพันธ์ระหว่างความเคี้ยว (Stress) และความเครียด (Strain) ของวัสดุทั้ง 3 ประเภท พบว่า วัสดุที่เป็นของเหลว (viscous materials) ความเคี้ยวและความเครียดจะห่างออกจากกันโดยมีค่ามุมเคลื่อนที่ห่างออกจากกัน ( $\delta$ ) เท่ากับ  $90^\circ$  ขณะที่วัสดุที่เป็นของแข็ง (elastic materials) ความเคี้ยวและความเครียดจะซ้อนทับกันทำให้  $\delta$  มีค่าเท่ากับ  $0^\circ$  ดังนั้นวัสดุประเภท viscoelastic ซึ่งมีพฤติกรรมคล้ายทั้งของเหลวและของแข็ง จะให้กราฟที่มีความเคี้ยวและความเครียดห่างกันโดยมีค่า  $\delta$  อยู่ระหว่าง  $0^\circ$  และ  $90^\circ$  ดังภาพที่ 15



ภาพที่ 15 ความสัมพันธ์ระหว่างความเคี้ยวและความเครียดในการทดสอบ oscillatory test ของวัสดุประเภทต่าง ๆ  
ที่มา : ชงชัย (2544)

ในการทดสอบ oscillatory test ที่ทำการประพันการสั่นสะเทือนแบบ harmonic เช่น sinusoidal จะใช้การประยุกต์กฎของ Hooke ในการกำหนดตัวแปรเพื่อคำนวณค่าคงที่ของวัสดุ ประเภท viscoelastic ดังสมการ

$$G^* = \tau(t) / \gamma(t)$$

$$\text{โดยที่ } |G^*| = \sqrt{(G')^2 + (G'')^2}$$

$$\tau(t) = \tau_A \cdot \sin(\omega t + \delta)$$

$$\gamma(t) = \gamma_A \cdot \cos(\omega t + \delta)$$

$$\therefore G' = (\tau_A / \gamma_A) \cdot \cos \delta$$

$$G'' = (\tau_A / \gamma_A) \cdot \sin \delta$$

$$\tan \delta = G'' / G'$$

เมื่อ  $G^*$  คือ Complex shear modulus [Pa]

$\tau(t)$  คือ Shear stress ที่เวลาใด ๆ [Pa]

$\gamma(t)$  คือ Shear strain ที่เวลาใด ๆ [1] หรือ [%]

$\tau_A$  คือ Shear stress amplitude หรือความเค้นสูงสุด [Pa]

$\gamma_A$  คือ Shear strain amplitude หรือความเครียดสูงสุด [1] หรือ [%]

$\omega$  คือ angular frequency [1/s]

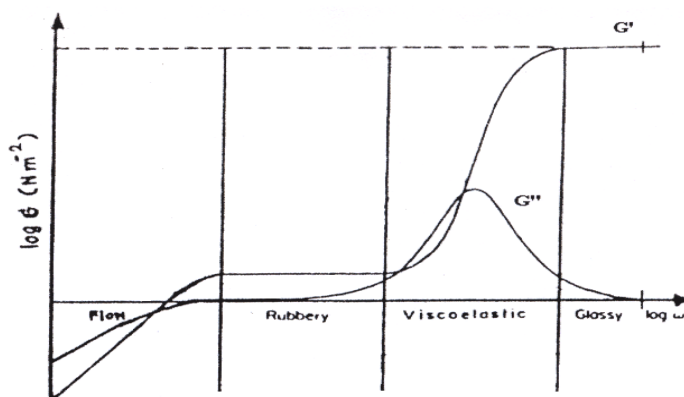
$\delta$  คือ Loss angle [ $^\circ$ ]

$G'$  คือ Storage modulus [Pa]

$G''$  คือ Loss modulus [Pa]

$\tan \delta$  คือ Loss factor [1]

ค่า Storage modulus ( $G'$ ) เป็นพลังงานที่ถูกเก็บไว้ในวัสดุ (deformation energy stored) ระหว่างกระบวนการให้แรงเฉือน เมื่อถอนแรงออกพลังงานจำนวนนี้จะทำหน้าที่เป็นแรงขับเคลื่อนให้วัสดุคืนตัวกลับ พลังงานที่ถูกเก็บไว้ในวัสดุนี้แสดงถึงพฤติกรรมการเปลี่ยนรูปที่ผันกลับได้ซึ่งเป็นตัวแทนของวัสดุที่มีพฤติกรรมคล้ายของแข็ง ค่า Loss modulus ( $G''$ ) เป็นพลังงานที่ถูกใช้ในวัสดุ (deformation energy used) ระหว่างกระบวนการให้แรงเฉือน พลังงานจำนวนนี้ถูกใช้ไปทั้งในส่วนของการเปลี่ยนโครงสร้างของวัสดุ และสูญเสียให้กับสิ่งแวดล้อมในรูปพลังงานความร้อน พลังงานที่เสียให้กับวัสดุนี้แสดงถึงพฤติกรรมการเปลี่ยนรูปที่ไม่สามารถผันกลับได้ดังนั้นค่า  $G''$  จึงเป็นตัวแทนของวัสดุที่มีพฤติกรรมคล้ายของเหลว ค่า  $G'$  และ  $G''$  ขึ้นอยู่กับความถี่อุณหภูมิความเครียด และโครงสร้างของวัสดุ โดยพบว่าค่า  $G'$  มากกว่า  $G''$  วัสดุจะมีพฤติกรรมคล้ายของแข็ง (solid-like) คือถ้ามีการเปลี่ยนรูปทรงวัสดุจะมีความยืดหยุ่นและสามารถคืนรูปได้ในกรณี ค่า  $G''$  มากกว่า  $G'$  วัสดุจะมีพฤติกรรมคล้ายของเหลว (liquid-like) นั่นคือถ้าวัสดุมีการเปลี่ยนรูปทรงจะสามารถคืนตัวกลับได้เพียงบางส่วน ดังภาพที่ 16 สำหรับ Loss factor (damping factor) หรือ  $\tan\delta$  เป็นค่าที่ได้จากการคำนวณผลหารของพลังงานที่สูญเสียกับพลังงานที่ถูกเก็บ ซึ่งจะแสดงให้เห็นถึงสัดส่วนของพฤติกรรมการเปลี่ยนรูปทรงของเหลวต่อของแข็ง โดยพบว่าพฤติกรรมของวัสดุที่เป็นของแข็งซึ่งมีค่า  $\delta$  เท่ากับ  $0^\circ \tan\delta$  จึงมีค่าเท่ากับศูนย์ ด้วยเหตุนี้ ค่า  $G'$  จึงสูงกว่า  $G''$  และพฤติกรรมของวัสดุที่เป็นของเหลวซึ่งมีค่า  $\delta$  เท่ากับ  $90^\circ \tan\delta$  จึงมีค่า  $\infty$  ด้วยเหตุนี้ค่า  $G''$  จึงสูงกว่า  $G'$  และจุดที่  $G'$  เท่ากับ  $G''$  ค่า  $\tan\delta$  จะ มีค่าเท่ากับหนึ่ง ดังนั้นค่า  $\delta$  จึงเท่ากับ  $45^\circ$  ซึ่งแสดงถึงสัดส่วนที่เท่ากันระหว่างของเหลวและของแข็ง (Mezger ,2002)



ภาพที่ 16 ค่า Storage modulus ( $G'$ ) และ Loss modulus ( $G''$ ) ที่แสดงพฤติกรรมของ viscoelastic materials

ที่มา : Noosuk (2003)

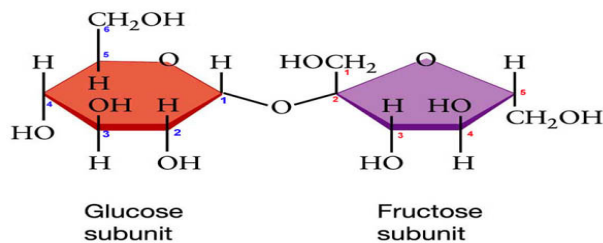
### 3. อิทธิพลของน้ำตาลและเกลือต่อสมบัติทางเคมีภysisของเยื่อง

ส่วนประกอบในอาหารอาจอยู่ในรูปของวัตถุคิม สารอาหาร อาหารหลัก หรือสารเจือปนอาหารซึ่งเติมลงไปเพียงเล็กน้อยเพื่อให้อาหารมีคุณสมบัติตามต้องการ คุณสมบัติของส่วนประกอบในอาหารแบ่งได้เป็น 2 กลุ่มใหญ่ ๆ คือ คุณสมบัติที่เกี่ยวข้องกับพื้นผิว ซึ่งเกี่ยวข้องกับสมบัติทางเคมีภysisของส่วนผสมในอาหาร ได้แก่ ความสามารถในการกระจายตัว ความสามารถในการละลาย ความสามารถในการเพิ่มความหนืด ความสามารถในการทำให้เกิดอิมัลชัน และคุณสมบัติที่เกี่ยวข้องกับน้ำ ภายหลังจากที่ส่วนผสมในอาหารละลายแล้ว มีผลทำให้คุณสมบัติในการใช้ประโยชน์เพิ่มขึ้น เช่น มีความสามารถในการอุ่มน้ำ การเกิดเจลของอาหาร ปัจจัยที่มีผลต่อกุณสมบัติดังกล่าวได้แก่ ความเป็นกรด-ค่าง ( $\text{pH}$ ) อุณหภูมิ ชนิดและความเข้มข้นของอิオน ซึ่งส่วนประกอบในอาหารที่มักมีการเติมในผลิตภัณฑ์ ได้แก่ น้ำตาลและเกลือ

#### 3.1 น้ำตาลทราย

น้ำตาลทรายบริสุทธิ์ที่ใช้กันทั่วไปนั้นหมายถึง น้ำตาลซูโคโรส (Sucrose) ซึ่งเป็นผลึกที่มีความบริสุทธิ์สูงสุดมีลักษณะเป็นเกล็ดใส มีสีขาวปราศจากน้ำตาล (Molasses) (ศิริลักษณ์, 2525ก) น้ำตาลทรายสามารถนำไปใช้ในอุตสาหกรรมที่สำคัญได้แก่ อุตสาหกรรมลูกกลิ้ง ขนมหวาน อุตสาหกรรมน้ำอัดลม อุตสาหกรรมนมข้นหวาน อุตสาหกรรมอาหารต่าง ๆ เช่น ผลิตภัณฑ์อาหารจำพวกเนื้อ ผลไม้แช่ลิ่ม ผักผลไม้กระป่อง ซอสน้ำจิ่มไก่ และน้ำปูรังส เป็นต้น

น้ำตาลซูโคโรสเป็นคาร์โบไฮเดรตชนิดไดแซคคาไรด์ (disaccharide) เป็นสารประกอบของคาร์บอน(C) ไฮโดรเจน(H) และออกซิเจน(O) มีสูตรโมเลกุลคือ  $C_{12}H_{22}O_{11}$  โมเลกุลประกอบด้วยน้ำตาลกลูโคสต่อกับน้ำตาลฟรุกโตส ลักษณะการจัดเรียงตัวของน้ำตาลซูโคโรส คือ  $\beta\text{-D-Fructofuranosyl-}\alpha\text{-D-Glucopyranoside}$  หรือ  $\alpha\text{-D-Glucopyranosyl-(1}\rightarrow 2\text{)}\beta\text{-Fructofuranoside}$  ดังแสดงในภาพที่ 17 น้ำตาลซูโคโรสมีน้ำหนักโมเลกุลเท่ากับ 342 โดยปกติน้ำตาลบริสุทธิ์จะอยู่ในผลึกรูป monoclinic หรือ phenoidal crystal ไม่มีสี และมีลักษณะโปร่งแสง



### ภาพที่ 17 โครงสร้างของน้ำตาลซูโครัส

ที่มา : Mallery (2005)

น้ำตาลจัดเป็นวัตถุดิบที่สำคัญในอุตสาหกรรมอาหาร นอกจากเป็นสารให้ความหวานแล้ว ยังมีหน้าที่อื่น ๆ อีกมากที่สารอื่น ๆ ไม่สามารถแทนได้ ทั้งนี้ เพราะน้ำตาลมีคุณสมบัติเด่น หลายประการ เช่น ความหนืด ความแกร่ง มัน เป็นต้น

คุณสมบัติทางเคมี การแตกตัวของน้ำตาลซูโครสในสภาวะที่มีความร้อนสูง หรือมีน้ำย่อย หรือมีสภาพกรด-ด่างสูง น้ำตาลซูโครสจะเกิดการแตกตัวเป็นน้ำตาลโมเลกุลเดี่ยว ปัญหาการแตกตัวของน้ำตาลทรายที่อุตสาหกรรมอาหารมักประสบเสมอคือ สภาพการเกิดตี เช่น สีแดงสีน้ำตาล

คุณสมบัติทางฟิสิกส์ ลักษณะการให้ความหวานตามที่กำหนดเป็นมาตรฐาน มีค่าเท่ากับ 100 หน่วย (สารละลายร้อยละ 20) การละลายของน้ำตาลสามารถละลายนำไปได้ดีประมาณร้อยละ 65-70 โดยน้ำหนัก ในช่วงอุณหภูมิ 25-35 องศาเซลเซียส เนื่องจากน้ำตาลเป็นสารประกอบประเภทโพลาร์โคลเวเลนต์ เมื่อละลายในน้ำจะเกิดพันธะไฮโดรเจนระหว่างโมเลกุลของน้ำกับหมู่โพลาร์ในโมเลกุลของน้ำตาล ได้เป็นสารละลายของน้ำตาลในน้ำ ซึ่งเมื่อมีน้ำตาลมากขึ้นในสารละลายจะทำให้จุดเดือดของสารละลายนั้นเพิ่มขึ้น คุณสมบัติเกี่ยวกับความหนืดเป็นคุณสมบัติที่สำคัญมาก การที่สารละลายน้ำตาลมีความหนืดสูงทำให้การแพร่กระจายตัวของอากาศหรือออกซิเจนเป็นไปได้ช้า จึงเป็นการป้องกันการเกิดออกไซด์หรือสนิมของภาชนะที่สัมผัสกับน้ำตาล นอกจากคุณสมบัติข้างต้นแล้ว น้ำตาลยังทำหน้าที่ลดปริมาณน้ำอิสระ เพิ่มแรงตึงผิว แรงดันออกไนโตริก และลดค่าอว托เร่อร์แออกทิวิตี้ ( $A_{\infty}$ ) ทำให้จุลินทรีย์ไม่สามารถเจริญเติบโตในอาหารได้

Hodge and Osman (1976) รายงานว่าการลดปริมาณน้ำหรือลดค่า  $A_w$  ในสารละลาย แปลงโดยการเติมน้ำตาลกลูโคสหรือซูโครัส หรือใช้น้ำปริมาณลดน้อยลงจะทำให้จุดเริ่มต้นของการเกิดเจลาทีไนเซชันเกิดขึ้นช้าลง และการเกิดเจลาทีไนเซชันของแป้งในสารละลายของน้ำตาลซูโครัสที่ความเข้มข้นต่างกันจะให้ผลต่างกัน ซึ่งพบว่าสารละลายน้ำตาลซูโครัสที่ความเข้มข้นต่ำร้อยละ 0-20 ไม่มีผลทำให้การเกิดเจลาทีไนเซชันของแป้งแตกต่าง แต่เมื่อสารละลายน้ำตาลซูโครัสมีความเข้มข้นสูงร้อยละ 30 และร้อยละ 50 จะทำให้การเกิดเจลาทีไนเซชันของแป้งเกิดได้ที่อุณหภูมิสูงขึ้น

Spies and Hoseney (1982) ศึกษาผลของน้ำตาลซูโครัส молโทไทร โอดส์ молโทส และกลูโคส ต่อการเกิดเจลาทีไนเซชันของแป้งสาลี พบว่าเมื่อความเข้มข้นของสารละลายน้ำตาลเพิ่มขึ้น อุณหภูมิในการเจลาทีไนซ์แป้งจะเพิ่มขึ้น น้ำตาลทำให้การเจลาทีไนเซชันเกิดได้ช้าลง เนื่องจากน้ำตาลจะไปลดค่า  $A_w$  ในสารละลายทำให้น้ำอิสระที่สามารถจับกันแป้งเหลือน้อยลง ดังนั้นจึงต้องใช้อุณหภูมิที่สูงขึ้นในการทำให้แป้งพองตัว และพบว่า�้ำตาลที่มีสายยาวจะทำให้การเจลาทีไนเซชันเกิดได้ช้ากว่าน้ำตาลที่มีสายสั้น การสร้างพันธะระหว่างน้ำตาลและเม็ดแป้งตรงบริเวณส่วนอสัมฐานจะทำให้เม็ดแป้งมีความคงตัว ส่งผลให้พลังงานที่ใช้ในการเกิดเจลาทีไนเซชันเพิ่มสูงขึ้น

Bean and Setser (1992) พบว่า�้ำตาลซูโครัส มีผลทำให้อุณหภูมิที่ใช้ในการเกิดเจลาทีไนเซชันของแป้งสูงขึ้น ทั้งนี้ขึ้นอยู่กับชนิดและความเข้มข้นของแป้ง น้ำตาล โมเลกุลเดี่ยว หรือคู่ โดยทำให้การเจลาทีไนเซชันเกิดได้ช้าลง และเมื่อความเข้มข้นของน้ำตาลเพิ่มขึ้นอุณหภูมิที่ใช้ในการเกิดเจลาทีไนเซชันจะเพิ่มขึ้น

Kim and Walker (1992) ศึกษาการเปลี่ยนแปลงคุณสมบัติของแป้งเปียกในสภาวะที่มีน้ำตาลและสารอิมัลซิไฟเออร์ โดยการวัดค่าความหนืด พบว่า น้ำตาล โมเลกุลคู่ซูโครัส และน้ำตาล โมเลกุลเดี่ยว กลูโคส ทำให้การเปลี่ยนแปลงความหนืดเกิดขึ้นที่อุณหภูมิสูงกว่าน้ำตาล โมเลกุลเดี่ยว เดกซ์โทรส เนื่องจากน้ำตาลไปรวมตัวกันน้ำ ทำให้น้ำที่จะมาร่วมตัวกันแป้งมีปริมาณลดลง และทำให้การพองตัวของแป้งเกิดขึ้นช้าลง

Wang and Jane (1994) ศึกษาความสัมพันธ์ระหว่างอุณหภูมิกลางานสิชัน ( $T_g'$ ) และการเกิดรีไทร์กราเดชันของเจลแป้งข้าวโพดในสภาวะที่มีน้ำตาลชนิดต่าง ๆ และ/mol โลடเด็กซ์ทริน ด้วยเทคนิค DSC พบว่าการเติมน้ำตาลที่มีน้ำหนักโมเลกุลต่ำ เช่น กลูโคส ฟรักโทส/mol โทส และซูโครส จะทำให้  $T_g'$  ของเจลแป้งลดลงต่ำกว่าการเติมน้ำตาลที่มีน้ำหนักโมเลกุลสูง เช่น/mol โลടเด็กซ์ทริน และจากการวิเคราะห์ผลต่าง ( $\Delta T$ ) ระหว่างอุณหภูมิการเก็บรักษา ( $T_f$ ) และอุณหภูมิกลางานสิชัน ( $T_g'$ ) พบว่าการเก็บตัวอย่างที่อุณหภูมิต่ำกว่า  $T_g'$  ซึ่งจะทำให้  $\Delta T$  ( $\Delta T = T_f - T_g'$ ) มีค่าต่ำ จะทำให้ตัวอย่างมีความคงตัวต่อการเก็บรักษาดีกว่า โดยพบว่าการเก็บตัวอย่างที่อุณหภูมิ -20 องศาเซลเซียส จะเกิดรีไทร์กราเดชันได้น้อยกว่าการเก็บที่อุณหภูมิ 4 องศาเซลเซียส ซึ่งการเติมน้ำตาลกลูโคสและฟรักโทสทำให้เกิดรีไทร์กราเดชันได้ดีกว่าการเติมนอลโทส ซูโครส และ/mol โลടเด็กซ์ทรินเมื่อเก็บที่อุณหภูมิ -20 องศาเซลเซียส และพบว่า  $T_g'$  ของตัวอย่างที่มีการเติมน้ำตาลจะมีค่าสูงขึ้นในระหว่างการเก็บรักษาโดยเพิ่มจาก -0.7 ถึง 4.4 องศาเซลเซียส และ -0.4 ถึง 3.7 องศาเซลเซียส เมื่อเก็บที่อุณหภูมิ 2 และ -20 องศาเซลเซียส ตามลำดับ เป็นเวลา 21 วัน

Jang et al. (2001) ศึกษาผลของน้ำตาลซูโครสต่ออุณหภูมิกลางานสิชัน ( $T_g'$ ) การเกิดเจลาทีไนเซชัน และการเกิดรีไทร์กราเดชันของแป้งสาลี ด้วยเทคนิค DSC พบว่าการเพิ่มอัตราส่วนระหว่างน้ำตาลและแป้งจาก 0.25:1 ถึง 1:1 ทำให้อุณหภูมิกลางานสิชันของตัวอย่างลดลงจาก -7 เป็น -20 องศาเซลเซียส และพลังงานในการหลอมเหลวหลักน้ำที่แข็งตัวได้มีอิทธิพลตัวอย่างที่ไม่เติมน้ำตาลมีค่าเพิ่มขึ้นอยู่ในช่วง 29.4 ถึง 413.4 จูลต่อกรัม โดยตรวจสอบภายใต้สภาวะที่มีปริมาณน้ำในระบบห้องหม้อน้ำ 60% อุณหภูมิที่จุดสูงสุด (peak temperature,  $T_p$ ) และพลังงาน (enthalpy,  $\Delta H$ ) ในการเกิดเจลาทีไนเซชันของตัวอย่างเพิ่มขึ้นเมื่อความเข้มข้นของน้ำตาลเพิ่มขึ้นและจะมีค่าเพิ่มขึ้นเมื่อปริมาณน้ำลดลง และพบว่า  $T_g'$  ของตัวอย่างที่มีการเติมน้ำตาลจะเพิ่มขึ้นในระหว่างการเก็บรักษาอย่างมีนัยสำคัญโดยเพิ่มขึ้นระหว่าง 15 และ 18 องศาเซลเซียสในตัวอย่างที่มีอัตราส่วนน้ำตาลต่อแป้ง 1:1 และเมื่อนำไปเก็บที่อุณหภูมิ 4, 32 และ 40 องศาเซลเซียส พบว่าการเก็บที่อุณหภูมิ 4 องศาเซลเซียส ที่ปริมาณน้ำ 40% ตัวอย่างที่เติมน้ำตาลรีไทร์กราเดชันได้สูงกว่าตัวอย่างที่ไม่เติมน้ำตาล และที่ปริมาณน้ำ 50% และ 60% ให้ผลในลักษณะเดียวกันแต่เกิดได้น้อยกว่า และเจลแป้งที่เก็บรักษาที่อุณหภูมิ 32 และ 40 องศาเซลเซียส จะเกิดรีไทร์กราเดชันได้ลดลง

Maaurf *et al.* (2001) ศึกษาผลของน้ำตาลชูโกรสต่อการเกิดเจลาทีไนเซชันของแป้งสาคูโดยเทคนิค Differential Scanning Calorimetry (DSC) พบว่าเมื่อเพิ่มความเข้มข้นของน้ำตาลชูโกรสจะส่งผลให้อุณหภูมิการเกิดเจลาทีไนเซชันของแป้งสาคูเพิ่มสูงขึ้น แต่ไม่มีผลต่อพลังงานความร้อน ( $\Delta H$ ) ของการเกิดปฏิกิริยา ซึ่งอุณหภูมิการเกิดเจลาทีไนเซชัน ( $\Delta T$ ) ของระบบที่มีและไม่มีน้ำตาลชูโกรสไม่มีความแตกต่างอย่างเด่นชัด นอกจากนี้การเติมน้ำตาลชูโกรสจะมีผลทำให้รูปร่างของพิกเปลี่ยนไป การเจลาทีไนเซชันของแป้งในระบบที่มีปริมาณน้ำจำกัดจะได้พิกคู่ช้อนทับกัน (double endothermic peak) เมื่อความเข้มข้นของน้ำตาลชูโกรสเพิ่มขึ้นจะเกิดพิกเดี่ยว (single endothermic peak) ซึ่งคล้ายกับพิกที่ได้จากการเจลาทีไนเซชันของแป้งในระบบที่มีปริมาณน้ำที่มากเกินพอด้วยเกิดที่อุณหภูมิสูงขึ้น นอกจากปริมาณน้ำตาลชูโกรสแล้วการเปลี่ยนแปลงของอุณหภูมิการเกิดเจลาทีไนเซชันและพลังงานยังขึ้นกับอัตราส่วนของน้ำและแป้งอีกด้วย

Baek *et al.* (2004) ศึกษาผลของน้ำตาลและน้ำตาลอโลกอชอล์ชนิดต่าง ๆ ต่อการเปลี่ยนแปลงความร้อนและความคงตัวของเจลแป้งข้าวโพดเมื่อเก็บที่อุณหภูมิต่ำด้วยเทคนิค DSC พบว่า อุณหภูมิเริ่มต้น (onset temperature,  $T_o$ ) และพลังงาน (enthalpy,  $\Delta H$ ) ที่ใช้ในการเกิดเจลาทีไนเซชันจะมีค่าสูงขึ้นเมื่อความเข้มข้นของน้ำตาลเพิ่มขึ้น และจากการเบรี่ยนเทียบน้ำตาลทั้งหมดพบว่าน้ำตาลโมเลกุลคู่จะให้ค่า  $T_o$  และ  $\Delta H$  สูงกว่าน้ำตาลโมเลกุลเดี่ยวที่ระดับความเข้มข้นเดียวกัน จากการเก็บรักษาเจลที่อุณหภูมิต่ำ (4 และ -20 องศาเซลเซียส) พบว่าน้ำตาลมีผลทำให้การกลับมาจัดเรียงตัวกันของอะมิโลเพกทินเกิดได้ดีขึ้น ซึ่งการเติมฟรักโทสและไอโซมอลโทสจะให้ระดับการกลับมาจัดเรียงตัวกันสูงกว่าน้ำตาลชนิดอื่น และพบว่าน้ำตาลอโลกอชอล์ทำให้การจัดเรียงตัวกันใหม่เกิดได้สูงกว่าน้ำตาลทั่วไป อุณหภูมิการหลอมเหลวพลีกน้ำแข็งและอุณหภูมิกลางส่วนตัวของตัวอย่างที่ผ่านการแซฟเฟิลจะมีค่าลดลงเมื่อความเข้มข้นของน้ำตาลเพิ่มขึ้น และพบว่าการเติมน้ำตาลชูโกรสมีผลทำให้พลังงานการหลอมเหลวพลีกน้ำแข็งลดต่ำลงในขณะที่การเติมไอโซมอลโทส และทริชาโลสจะทำให้ค่าดังกล่าวเพิ่มขึ้น การเก็บเจลที่อุณหภูมิต่ำมีผลทำให้อุณหภูมิกลางส่วนตัวเพิ่มขึ้นในขณะที่พลังงานการหลอมเหลวพลีกน้ำแข็งมีค่าลดลงอันเนื่องมาจากมีน้ำบางส่วนถูกนำไปใช้ในกระบวนการการจัดเรียงตัวกันใหม่ของโมเลกุลแป้ง สำหรับเจลที่มีแปรงร้อยละ 40 ในส่วนที่มีน้ำตาลร้อยละ 10 หรือ 30 จะเกิดการจัดเรียงตัวกันใหม่ของโมเลกุลเพิ่มขึ้น ในขณะที่อุณหภูมิการหลอมเหลวพลีกน้ำแข็งและอุณหภูมิกลางส่วนตัวเพิ่มลดลงเมื่อเทียบกับในส่วนที่ไม่มีน้ำตาล

### 3.2 เกลือ

เกลือ เป็นสารประกอบประเภทไฮอ่อนิกที่เกิดจากปฏิกิริยาระหว่างโลหะกับกรดหรือปฏิกิริยาการทำให้เป็นกลางระหว่างกรดกับด่าง สมบัติของเกลือ คือ มีจุดหลอมเหลวสูง สามารถตกผลึกได้ เมื่อละลายน้ำสารละลายที่ได้จะมีคุณสมบัติเป็นกลางหรือด่าง ขึ้นกับชนิดของเกลือ ความสามารถในการละลายจะแตกต่างกัน ดัวอย่างเกลือที่ใช้ในอุตสาหกรรมอาหารแสดงในตารางที่ 4

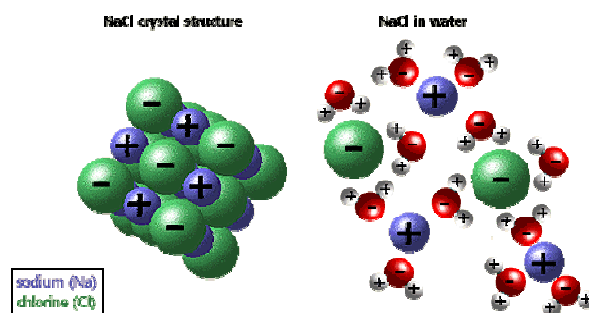
ตารางที่ 4 ประโยชน์ของเกลือบางชนิดในอุตสาหกรรมอาหาร

เกลือของกรดอินทรีย์	การใช้ประโยชน์
โอมโนโซเดียมกลูตามेट (MSG)	สารเพิ่มรสชาติอาหาร
โพแทสเซียมไบรมेट	ปรับปรุงคุณภาพแป้ง
โซเดียมкар์บอนेट	ทำให้น้ำอ่อน
โซเดียมคลอไรด์ (เกลือแกง)	สารให้รสชาติและช่วยคงอมรักษากาแฟ
โซเดียมไนเตรต	คงอมรักษากลิ่นพิเศษที่เนื้อ

ที่มา : นิธิยา (2545)

เกลือในทางวิทยาศาสตร์การอาหาร หมายถึง เกลือที่ใช้ปรุงอาหาร มีชื่อทางวิทยาศาสตร์ คือ เกลือโซเดียมคลอไรด์ ( $\text{NaCl}$ ) ซึ่งเป็นเกลือที่บริสุทธิ์มีลักษณะสีขาว เป็นผลึกๆ ปั่งไม่คงที่ แต่จัดว่าลักษณะของผลึกเป็นแบบลูกบาศก์ เกลือมีคุณสมบัติในการดูดความชื้น (hygroscopic) และจะดูดความชื้นมากขึ้นถ้าเกลือนั้นไม่บริสุทธิ์

เมื่อเกลือแกงละลายในน้ำ จะเกิดแรงดึงดูดระหว่างประจุที่อยู่บนโมเลกุลของน้ำกับ  $\text{Na}^+$  ซึ่งจะมากกว่าแรงดึงดักกันระหว่าง  $\text{Na}^+$  และ  $\text{Cl}^-$  ดังนั้นข้อบกของโมเลกุln้ำจะดึงด้านประจุลบออกจากโมเลกุลเกลือ ขณะที่ข้อบกของโมเลกุลน้ำจะดึงด้านประจุบวกออกจากโมเลกุลเกลือ ทำให้แรงดึงดักพันธะระหว่าง  $\text{Na}^+$  และ  $\text{Cl}^-$  ถูกทำลาย ไอออนทั้งสองจึงถูกดึงออกจากกันให้กระจายตัว และถูกดูดซึมรอบด้วยโมเลกุลของน้ำ เป็นสารละลายเกลือแกงในน้ำ แสดงในภาพที่ 18



ภาพที่ 18 โครงสร้างผลึกของเกลือโซเดียมคลอไรด์และการละลายของเกลือโซเดียมคลอไรด์ในน้ำ  
ในรูปของโซเดียมอิオン ( $\text{Na}^+$ ) และคลอไรด์อิออน ( $\text{Cl}^-$ )

ที่มา : Pualing (1946)

Oosten (1982, 1990) เสนอสมมติฐานเกี่ยวกับอิทธิพลของสารละลายอิเล็กโทรโอลิต ต่ออุณหภูมิการเกิดเจลาทีนเซชันของแป้งในน้ำว่า เมื่อเพิ่มความเข้มข้นของเกลือโซเดียมคลอไรด์ อุณหภูมิการเกิดเจลาทีนเซชันของแป้งจะเพิ่มสูงขึ้นจนถึงระดับหนึ่งจากนั้นจะเริ่มลดลงแม้ว่า ความเข้มข้นของเกลือโซเดียมคลอไรด์จะเพิ่มมากขึ้น โดยอธิบายว่าเมื่อแป้งอยู่ในน้ำจะมีความเป็นกรดอ่อนและสามารถเกิดการแลกเปลี่ยนประจุ (ion-exchanger) ได้ โดยหมู่ไฮดรอกซิล (OH-group) ของโมเลกุลแป้งจะปล่อยโปรตอนออกมาน้ำ ทำให้มีดีเป็นมีประจุเป็นลบและน้ำมีประจุเป็นบวก ซึ่งทำให้เกิดความต่างศักย์ดอนแนน (Donnan potential) ระหว่างเม็ดแป้งและน้ำ เม็ดแป้งจะแสดงศักย์ไฟฟ้าเป็นลบโดยสามารถดึงดูดประจุบวกและผลักประจุลบจากสารละลาย อิเล็กโทรโอลิตได้ ซึ่งประจุลบนี้เป็นที่ทราบดีว่ามีคุณสมบัติเป็น gelatinizing agent สามารถ ก่อให้เกิดการเจลาทีนเซชันของแป้งได้โดยการทำลายพันธะไฮdroเจนระหว่างโมเลกุลในเม็ดแป้ง ดังนั้นในสารละลายน้ำแป้งที่มีค่าความต่างศักย์ดอนแนนสูง การเจลาทีนเซชันของแป้งจะเกิดขึ้น ช้าลง และเมื่อเติมเกลือโซเดียมคลอไรด์ ซึ่งมีสมบัติในการยับยั้งการพองตัวของแป้งลงในสารละลายน้ำแป้ง โปรตอนบางตัวของหมู่แอลกอฮอล์บนโมเลกุลของแป้งจะเปลี่ยนไปเป็นหมู่ แอลกอฮอล์ (alcoholates) โดย  $\text{Na}^+$  ซึ่งหมู่แอลกอฮอล์เหล่านี้สามารถแตกตัวได้ดีกว่า จึงทำให้ ความต่างศักย์ดอนแนนของระบบมีค่าสูงขึ้น แต่การแลกเปลี่ยนประจุระหว่างแป้งกับ  $\text{Na}^+$  เป็นไป อย่างจำกัด ดังนั้นอุณหภูมิในการเจลาทีนเซชันจึงเพิ่มขึ้นอย่างจำกัดด้วย ซึ่งเมื่อความเข้มข้นของ เกลือโซเดียมคลอไรด์เพิ่มขึ้นจนถึงระดับหนึ่งอิทธิพลของประจุลบจะเริ่มเด่นขึ้น ทำให้แป้ง เจลาทีนเซชันยืดหยุ่น ดังนั้นอุณหภูมิที่ใช้ในการเกิดเจลาทีนเซชันของแป้งจึงลดลง

Zobel (1984) รายงานว่าสารละลายอิเล็กโทรไลต์มีผลต่ออุณหภูมิการเกิดเจลาทีไนเซชันของแป้ง โดยประจุลบ หรือประจุบวกสามารถทำให้เกิดการเปลี่ยนแปลงอุณหภูมิการเกิดเจลาทีไนเซชันได้ โดยจะมีผลต่อโครงสร้างของน้ำในสารละลาย เช่น สารละลายอิเล็กโทรไลต์ กลุ่มที่มีความแรงของประจุมากมีแนวโน้มในการเพิ่มโครงสร้างที่เป็นระเบียบของน้ำและลดจำนวนโมเลกุln้ำอิสระ จึงทำให้อุณหภูมิการเกิดเจลาทีไนเซชันเพิ่มขึ้น

Bean and Setser (1992) รายงานว่าประจุบวกของเกลือ เช่น โซเดียมอิโอนจะทำให้โครงสร้างของเม็ดแป้งมีความคงตัว ส่วนประจุลบ เช่น คลอไรด์อิโอนทำหน้าที่ในการเจลาทีไนซ์ แป้ง ความเข้มข้นของเกลือโซเดียมคลอไรด์ร้อยละ 1 ถึง 3.5 มีผลทำให้ความหนืดของแป้งปีกเพิ่มขึ้น และเมื่อเพิ่มความเข้มข้นของเกลือโซเดียมคลอไรด์เป็นร้อยละ 10 อุณหภูมิการเกิดเจลาทีไนเซชันจะเพิ่มขึ้น แต่เมื่อความเข้มข้นมากกวาร้อยละ 10 ความหนืดและอุณหภูมิการเกิดเจลาทีไนเซชันจะลดลงแต่ยังคงสูงกว่าในน้ำบริสุทธิ์

Jane *et al.* (1993) รายงานว่ากลไกการเกิดเจลาทีไนเซชันของแป้งในสารละลายเกลือเป็นผลมาจากการสร้างและการสลายของโครงสร้างน้ำ และอันตรกิริยาทางไฟฟ้าระหว่างเกลือและหมู่ไฮดรอกซิດของแป้ง โดยอิโอนที่มีความหนาแน่นประจุสูงเช่น  $\text{Na}^+$  จะทำให้โมเลกุln้ำจัดตัวกันอย่างเป็นระเบียบมากขึ้น ปริมาณน้ำอิสระจึงลดลง ส่งผลให้มีเม็ดแป้งมีความคงตัวมากขึ้น และอิโอนที่มีความหนาแน่นประจุต่ำเช่น  $\text{SCN}^-$  และ  $\text{I}_3^-$  ไม่เพียงแต่ทำลายความเป็นระเบียบของโมเลกุln้ำซึ่งจะทำให้ปริมาณน้ำอิสระเพิ่มขึ้นแต่ยังมีแนวโน้มในการสร้างพันธะกับโมเลกุลแป้งทำให้เกิดการทำลายโครงสร้างของเม็ดแป้งขึ้น อิโอนลบของเกลือจะสามารถผลักโมเลกุลแป้งซึ่งแสดงศักย์ไฟฟ้าลบตามธรรมชาติได้ ทำให้มีเม็ดแป้งมีความคงตัวขึ้น โดยแรงผลักจะเป็นสัดส่วนโดยตรงกับความหนาแน่นประจุของอิโอนลบ ในกรณีอิโอนลบที่มีความหนาแน่นประจุต่ำเมื่อสร้างพันธะกับแป้งแล้วโครงสร้างของเม็ดแป้งจะถูกทำลายบริเวณจุดศูนย์กลางของเม็ดแป้ง ในทางตรงกันข้ามอิโอนบวกจะสามารถดึงโมเลกุลของเม็ดแป้งเข้ามาทำปฏิกิริยาได้ โดยอิโอนบวกที่มีความหนาแน่นประจุสูงเมื่อสร้างพันธะกับแป้งแล้วโครงสร้างของเม็ดแป้งจะถูกทำลายจากบริเวณปลายสายของเม็ดแป้งเข้ามา และอิโอนบวกที่มีความหนาแน่นประจุต่ำเมื่อสร้างพันธะกับแป้งแล้วจะไม่ทำให้เกิดการเปลี่ยนแปลงใด ๆ ในโมเลกุลของเม็ดแป้ง

Lii and Lee (1993) ศึกษาอิทธิพลของปริมาณน้ำและความเข้มข้นของเกลือโซเดียมคลอไรด์ต่อการเปลี่ยนสถานะของเม็ดแป้ง 7 ชนิดด้วยเทคนิค DSC โดยใช้อัตราส่วนของแป้งต่อน้ำเท่ากับ 1:4, 2:3 และ 3:2 ในสารละลายเกลือโซเดียมคลอไรด์เข้มข้น 0-5 โอมลาร์ (เทียบเท่ากับ 0-29.3% โดยน้ำหนักต่อปริมาตร) จากการตรวจลักษณะโครงสร้างผลึกของเม็ดแป้งทั้ง 7 ชนิดด้วยเครื่อง X-ray diffractometer จะได้แป้งที่มีโครงสร้างผลึก 3 แบบ คือ A, B และ C ซึ่งเมื่อให้ความร้อนแก่แป้งในสารละลายเกลือโซเดียมคลอไรด์ พบร่วมกันความเพิ่มความเข้มข้นของเกลือจะทำให้อุณหภูมิการเกิดเจลาทีไนเซชันของแป้งเพิ่มขึ้นจนถึงระดับหนึ่งซึ่งความเข้มข้นของเกลือที่จุดนี้จะมีค่าแตกต่างกันไปขึ้นกับลักษณะโครงสร้างผลึกของเม็ดแป้ง จากนั้นอุณหภูมิการเกิดเจลาทีไนเซชันจะลดลงแม้ว่าความเข้มข้นของเกลือจะเพิ่มขึ้นโดยสามารถอธิบายผลการทดลองด้วยสมนตรฐานของ Oosten (1982,1990) และพบร่วมกันว่าเม็ดแป้งที่มีโครงสร้างผลึกแบบ A (แป้งจากชั้นพืช) จะมีความต้านทานการเกิดเจลาทีไนเซชันโดย  $C_1^-$  สูง ซึ่งอาจกล่าวได้ว่าแป้งที่มีโครงสร้างผลึกแบบ A ทำให้เกิดความต่างศักย์ดอนแน่นสูงกว่าแป้งที่มีโครงสร้างผลึกแบบ B และ C ดังนั้นมีความเข้มข้นของเกลือโซเดียมคลอไรด์เพิ่มขึ้น อุณหภูมิการเกิดเจลาทีไนเซชันของแป้งที่มีโครงสร้างผลึกแบบ A จะลดลงน้อยกว่าแป้งที่มีโครงสร้างผลึกแบบ B นอกจากนี้ยังพบว่าอิทธิพลของเกลือโซเดียมคลอไรด์ต่อการเกิดเจลาทีไนเซชันแป้งในระบบที่มีปริมาณน้ำจำกัดไม่แตกต่างกับระบบที่มีปริมาณน้ำมากเทินพอ

Sudhakar *et al.* (1994) ศึกษาผลของเกลือโซเดียมคลอไรด์ต่อการเปลี่ยนแปลงความหนืด และอุณหภูมิการเกิดเจลาทีไนเซชันในระบบที่มีแป้งและไฮดรอกอลอยด์อยู่ร่วมกัน โดยใช้เครื่องบราวน์เดอร์วิส โคงามิโลกราฟ ในการทดลองใช้แป้งข้าวโพดความเข้มข้นร้อยละ 5 โดยน้ำหนักต่อปริมาตร เกลือโซเดียมคลอไรด์ความเข้มข้นร้อยละ 0.5-2.0 โดยน้ำหนักต่อปริมาตร และแซนแทนกัมความเข้มข้นร้อยละ 0.05-0.25 โดยน้ำหนักต่อปริมาตร พบร่วมกันในระบบที่มีแป้งกับสารละลายเกลือโซเดียมคลอไรด์ เมื่อเพิ่มความเข้มข้นของเกลือโซเดียมคลอไรด์ เกลือจะทำหน้าที่ในการยับยั้งการพองตัวของแป้งจึงทำให้ความหนืดของแป้งเปียกและอุณหภูมิในการเจลาทีไนเซชันเพิ่มสูงขึ้น และในระบบที่มีแป้งกับแซนแทนกัม เมื่อเพิ่มความเข้มข้นของแซนแทนกัม ความหนืดของแป้งเปียกจะเพิ่มขึ้นแต่อุณหภูมิในการเจลาทีไนเซชันจะลดลง ส่วนระบบที่มีทั้งแป้ง เกลือ และแซนแทนกัม พบร่วมกันความเข้มข้นของเกลือโซเดียมคลอไรด์ ความหนืดของแป้งเปียกจะลดลงแต่อุณหภูมิในการเจลาทีไนเซชันจะเพิ่มขึ้น อาจเนื่องมาจากเกลือมีประสิทธิภาพในการลดความหนืดของแซนแทนกัมมากกว่าการเพิ่มความหนืดของน้ำแป้ง

Maaurf *et al.* (2001) ศึกษาผลของเกลือโซเดียมคลอไรด์ต่อการเกิดเจลาทีไนเซชันของแป้งสาคูโดยใช้เทคนิค DSC พบว่าการเกิดเจลาทีไนเซชันของแป้งสาคูเมื่อใช้แป้งต่อน้ำในอัตราส่วน 2:3 และ 3:2 และเกลือโซเดียมคลอไรด์ความเข้มข้น 0, 1, 2, 3, 4 และ 5 โมลาร์ (เทียบเท่ากับ 0-29.3% โดยน้ำหนักต่อปริมาตร) อุณหภูมิการเกิดเจลาทีไนเซชันของแป้งสาคูจะเพิ่มสูงขึ้นเมื่อความเข้มข้นของเกลือโซเดียมคลอไรด์เพิ่มขึ้นถึง 2.0 โมลาร์หรือ 11.7% จากนั้นจะลดลงแม้ว่าความเข้มข้นของเกลือโซเดียมคลอไรด์จะเพิ่มมากขึ้น พลังงานความร้อนของการเกิดปฏิกิริยาจะลดลงเมื่อความเข้มข้นของเกลือโซเดียมคลอไรด์เพิ่มขึ้น นอกจากผลของเกลือโซเดียมคลอไรด์แล้วการเปลี่ยนแปลงของอุณหภูมิการเกิดเจลาทีไนเซชันและพลังงานยังขึ้นอยู่กับอัตราส่วนของน้ำและแป้งอีกด้วย

## อุปกรณ์และวิธีการ

### อุปกรณ์

#### **1. วัสดุดิบและสารเคมี**

- 1.1 หัวมันสำปะหลังสายพันธุ์เกย特ศารสาสตร์ 50 (Kasetsart 50, KU 50) อายุการเก็บเกี่ยว 9 เดือน จากจังหวัดนนทบุรี
- 1.2 นำตาลซูโครส (นำตาลทรายบริสุทธิ์ รามิตราผล)
  - 1.3 เกลือโซเดียมคลอไรด์ (AnalaR, England)
  - 1.4 นำกลันปราสาจากอ่อน (ผ่านการกำจัดอ่อนด้วยเครื่อง Optima water purifier ELGA, England)

#### **2. อุปกรณ์**

- 2.1 อุปกรณ์สำหรับการสกัดเบื้องต้น
- 2.2 เครื่องแก้วชนิดต่าง ๆ ที่จำเป็นสำหรับการวิเคราะห์
- 2.3 เครื่องชั่งวิเคราะห์อย่างละเอียด (Precisa 205A, Germany)
- 2.4 ตู้อบไฟฟ้าแบบควบคุมอุณหภูมิได้ (Memmert UM 500, Germany)
- 2.5 เดสิกเกเตอร์ที่มีสารดูดความชื้น เช่น ซิลิกาเจล (Silica gel)
- 2.6 เตาไฟฟ้า (Hot plate)
- 2.7 เตาเผาไฟฟ้าที่ปรับ และควบคุมอุณหภูมิได้ (Electric Muffle Furnace, Carbolite, England)
- 2.8 เครื่องย่อย (Digestion Apparatus) มีชุดควบคุมอุณหภูมิ (Condenser) สำหรับการวิเคราะห์ปริมาณเส้นใย
- 2.9 เครื่องควบคุมอุณหภูมน้ำหล่อเย็น (Polyscience 9505, USA)
- 2.10 เครื่องโพลาริมิเตอร์ (Schmidt + Haensch Polartronic MH8, Germany)
- 2.11 เครื่องวิเคราะห์ปริมาณไขมัน (ประกอบด้วย Soctex system HT 1046 Service unit และ Soctex system HT2 1045 Extraction unit, Tecator, Sweden)

- 2.12 เครื่องวิเคราะห์ปริมาณ โปรตีน (ประกอบด้วย Kjeltec system 1026 Distilling unit และ 2006 Digester, Tecator, Sweden)
- 2.13 อ่างน้ำไฟฟ้าแบบควบคุมอุณหภูมิได้ (Memmert WB 14, Germany และ Polyscience, USA)
- 2.14 เครื่อง X-ray diffractometer (Joel X-ray diffractometer JDX-3080, Joel, Japan)
- 2.15 เครื่อง Differential Scanning Calorimeter (DSC 7 Perkin Elmer, USA)
- 2.16 เครื่องวัดความหนืด Rapid Visco Analyzer (RVA Model Series 4D, Newport Scientific, Australia)
- 2.17 เครื่องวัดลักษณะเนื้อสัมผัส (Texture Analyzer Model TA.XT plus, Stable Micro Systems, UK)
- 2.18 เครื่องRheometer (Physica MCR Series300, Metrohm Siam Ltd., Germany)
- 2.19 กล้องจุลทรรศน์ (Meiji model Ck 3800, Japan) พร้อมแท่นให้ความร้อน (LTS 120 Hostage, Linkam Scientific, UK)

### วิธีการ

#### **1. การเตรียมตัวอย่างสำหรับการวิเคราะห์และศึกษาองค์ประกอบทางเคมีของแป้งมันสำปะหลัง**

##### 1.1 การสกัดแป้งมันสำปะหลังในระดับห้องปฏิบัติการ

ทำการสกัดแป้งมันสำปะหลังในระดับห้องปฏิบัติการ ตามวิธีการของวันเพญ (2545) โดยนำหัวมันสำปะหลังลงในชามตัดหัวท้ายออก ล้างทำความสะอาด ปอกเปลือก สับเป็นชิ้นขนาดประมาณ 1 เซนติเมตร ปั่นละเอียดพร้อมนำในอัตราส่วนหัวมันสำปะหลังต่อน้ำ (1:2) แล้วนำมากรองด้วยผ้าขาวบาง จากนั้นเทผ่านตะแกรงร่อนขนาดเส้นผ่านศูนย์กลาง 90 ไมโครน (sieve 170 mesh) เพื่อแยกกาoko กะหล่ำปลี แล้วตั้งทิ้งไว้ให้แป้งตกตะกอน เทส่วนใสด้านบนทิ้ง ล้างแป้งด้วยน้ำอีก 2 ครั้ง แล้วเทส่วนใสทิ้ง นำไปอบที่ 50 องศาเซลเซียส เป็นเวลา 24 ชั่วโมง เมื่อแห้งแล้วนำมาบดละเอียดด้วยเครื่องบดแท่ง (Hammer mill) แล้วร่อนผ่านตะแกรงร่อนขนาดเส้นผ่านศูนย์กลาง 90 ไมโครน (sieve 170 mesh) บรรจุในถุงพลาสติก ปิดผนึก เก็บรักษาที่อุณหภูมิห้อง

## 1.2 วิเคราะห์องค์ประกอบทางเคมีของแป้งมันสำปะหลัง

- 1.2.1 ปริมาณความชื้น ตามวิธีการของ AOAC (1990)
- 1.2.2 ปริมาณโปรตีน ตามวิธีการของ AOAC (1990)
- 1.2.3 ปริมาณไขมัน ตามวิธีการของ AOAC (1990)
- 1.2.4 ปริมาณเกล้า ตามวิธีการของ AOAC (1990)
- 1.2.5 ปริมาณเส้นใย ตามวิธีการของ AOAC (1990)
- 1.2.6 ปริมาณแป้งโดยวิธีโพลาริเมทริก ตามวิธีการของ มอก. 52-2516

## 1.3 การเตรียมตัวอย่างแป้งมันสำปะหลังเพื่อศึกษาอิทธิพลของน้ำตาลชูโครส

การศึกษาผลของน้ำตาลชูโครสต่อสมบัติทางเคมีกายภาพของแป้งมันสำปะหลังเริ่มจากการทดสอบแป้งมันสำปะหลังกับสารละลายน้ำตาลชูโครสที่ระดับความเข้มข้นร้อยละ 10, 20 และ 30 โดยนำหนักโดยมีตัวอย่างควบคุมคือแป้งในน้ำ (สารละลายน้ำตาลชูโครสเข้มข้นร้อยละ 0) ในสภาวะที่อัตราส่วนระหว่างแป้งต่อน้ำคงที่ จากนั้นนำมาวิเคราะห์สมบัติทางเคมีกายภาพของแป้งมันสำปะหลัง

## 1.4 การเตรียมตัวอย่างแป้งมันสำปะหลังเพื่อศึกษาอิทธิพลของเกลือโซเดียมคลอไรด์

การศึกษาผลของเกลือโซเดียมคลอไรด์ต่อสมบัติทางเคมีกายภาพของแป้งมันสำปะหลังเริ่มจากการทดสอบแป้งมันสำปะหลังกับสารละลายเกลือโซเดียมคลอไรด์ที่ระดับความเข้มข้นร้อยละ 5, 10 และ 15 โดยนำหนักโดยมีตัวอย่างควบคุมคือแป้งในน้ำ (สารละลายเกลือโซเดียมคลอไรด์เข้มข้นร้อยละ 0) ในสภาวะที่อัตราส่วนระหว่างแป้งต่อน้ำคงที่ จากนั้นนำมาวิเคราะห์สมบัติทางเคมีกายภาพของแป้งมันสำปะหลัง

## **2. การตรวจสอบสมบัติทางเคมีภysisของแป้งมันสำปะหลัง**

### **2.1 การวัดขนาดและวิเคราะห์การพองตัวของเม็ดแป้งมันสำปะหลังขณะให้ความร้อนด้วยเทคนิค Thermal microscopy**

เตรียมน้ำแป้งมันสำปะหลังเข้มข้นร้อยละ 0.5 ในสารละลายน้ำตาลซูโครสเข้มข้นร้อยละ 0, 10, 20 และ 30 โดยน้ำหนัก และสารละลายเกลือโซเดียมคลอไรด์เข้มข้นร้อยละ 0, 5, 10 และ 15 โดยน้ำหนัก ในสภาวะที่อัตราส่วนระหว่างแป้งต่อน้ำคงที่ จากนั้นนำมาส่องภายใต้กล้องจุลทรรศน์ (Meiji model Ck 3800, Japan) ในขณะที่ให้ความร้อนแก่แป้งบนแท่นให้ความร้อน (LTS 120 Hotstage, Linkam Scientific, UK) และเครื่องควบคุมอุณหภูมิ (PE94 Temperature controller, Linkam Scientific, UK) วิเคราะห์การพองตัวและวัดขนาดของเม็ดแป้งทุก ๆ 5 นาที ในช่วงอุณหภูมิ 55-95 องศาเซลเซียส ด้วยอัตราการเพิ่มอุณหภูมิ 10 องศาเซลเซียสต่อนาที โดยวัดขนาดเส้นผ่าศูนย์กลางของเม็ดแป้งตามวิธีการของ Sahai *et.al.* (1996) ด้วยโปรแกรม Image-Pro Plus (Media cybernetics, USA)

### **2.2 การวิเคราะห์การเปลี่ยนแปลงความหนืดของแป้งมันสำปะหลัง**

วิเคราะห์การเปลี่ยนแปลงความหนืดของแป้งด้วยเครื่อง Rapid Visco Analyzer (RVA Model Series 4D, Newport Scientific, Australia) ตามวิธีการของ Newport Scientific (1995) โดยเตรียมน้ำแป้งมันสำปะหลังเข้มข้นร้อยละ 9.2 โดยน้ำหนักในสารละลายน้ำตาลซูโครสเข้มข้นร้อยละ 0, 10, 20 และ 30 โดยน้ำหนัก และสารละลายเกลือโซเดียมคลอไรด์เข้มข้นร้อยละ 0, 5, 10 และ 15 โดยน้ำหนัก ในสภาวะที่อัตราส่วนระหว่างแป้งต่อน้ำคงที่ นำไปวิเคราะห์ความหนืดด้วยเครื่อง RVA บันทึกค่าต่าง ๆ ดังนี้ อุณหภูมิที่เริ่มมีการเปลี่ยนแปลงความหนืด (Pasting Temperature, องศาเซลเซียส) ค่าความหนืดสูงสุด (Peak viscosity, RVU) ค่าความหนืดต่ำสุด (Trough viscosity, RVU) ค่าความหนืดสุดท้าย (Final viscosity, RVU) ผลต่างระหว่างค่าความหนืดสูงสุดและค่าความหนืดต่ำสุด (Breakdown, RVU) และผลต่างของค่าความหนืดสุดท้ายกับค่าความหนืดต่ำสุด (Setback from Trough, RVU)

### 2.3 การวิเคราะห์สมบัติวัสดุภาคการไหล (Rheological properties)

การวิเคราะห์สมบัติวัสดุภาคการไหลด้วยเครื่อง Rheometer (Physica MCR Series300, Metrohm Siam Ltd., Germany) ดัดแปลงจากวิธีการของบุญทิวา (2548) เริ่มจากเตรียมน้ำแป้งมันสำปะหลังเข้มข้นร้อยละ 5 โดยน้ำหนักในสารละลายน้ำตาลซูโคโรสเข้มข้นร้อยละ 0, 10, 20 และ 30 โดยน้ำหนัก และสารละลายน้ำตาลซูโคโรสเข้มข้นร้อยละ 0, 5, 10 และ 15 โดยน้ำหนัก ในสภาวะที่อัตราส่วนระหว่างแป้งต่อน้ำคงที่ แล้วนำมาทดสอบทางด้าน Oscillatory test ด้วยการทำ Temperature sweep โดยใช้หัวกดแบบ parallel plate ขนาดเส้นผ่านศูนย์กลาง 50 มิลลิเมตร กำหนดขนาดช่องว่างสำหรับใส่ตัวอย่าง (gap size) เท่ากับ 1000  $\mu\text{m}$  ทำการเทตัวอย่างลงบนแท่นวางตัวอย่าง (rheometer platform) ชั่งตั้งอุณหภูมิไว้ที่ 50 องศาเซลเซียส ให้ความร้อนในช่วงอุณหภูมิ 55 ถึง 95 องศาเซลเซียส และลดอุณหภูมิลงจาก 95 ถึง 25 องศาเซลเซียส ด้วยอัตราการเปลี่ยนแปลงอุณหภูมิ 1 องศาเซลเซียสต่อนาที กำหนดค่าความถี่เท่ากับ 1 Hz และค่าความเครียด (strain) เท่ากับ 1% ชั่งได้จากการหา Linear Viscoelastic Range (ภาคผนวก ๖) กราฟที่ได้จะแสดงค่า Storage modulus ( $G'$ ) และ Loss modulus ( $G''$ ) เทียบกับอุณหภูมิ

### 2.4 การวิเคราะห์สมบัติการเกิดเจลาทีไนเซชัน

การศึกษาผลของน้ำตาลซูโคโรสและเกลือโซเดียมคลอไรด์ต่อการเกิดเจลาทีไนเซชันด้วยเครื่อง Differential Scanning Calorimeter (DSC7 Perkin Elmer, USA) ดัดแปลงจากวิธีการของ Kim et. al. (1995) เริ่มจากการเตรียมน้ำแป้งมันสำปะหลังเข้มข้นร้อยละ 30 โดยน้ำหนักในสารละลายน้ำตาลซูโคโรสเข้มข้นร้อยละ 0, 10, 20 และ 30 โดยน้ำหนัก และสารละลายน้ำตาลซูโคโรสเข้มข้นร้อยละ 0, 5, 10 และ 15 โดยน้ำหนัก ในสภาวะที่อัตราส่วนระหว่างแป้งต่อน้ำคงที่ บ่มไว้ที่อุณหภูมิห้องเป็นเวลา 1 คืน ชั่งตัวอย่างน้ำแป้ง 40-50 มิลลิกรัม ลงในภาชนะ (DSC pan) และวิเคราะห์การเกิดเจลาทีไนเซชันในช่วงอุณหภูมิ -50 ถึง 120 องศาเซลเซียส ด้วยอัตราการเปลี่ยนแปลงอุณหภูมิ 10 องศาเซลเซียสต่อนาที ในการทดลองจะใช้ indium ชั่งมีจุดหลอมเหลวเท่ากับ 156.6 องศาเซลเซียส พลังงานในการหลอมเหลวเท่ากับ 28.45 จูลต่อกรัม และน้ำกลั่นประปาจากอิโอนชั่งมีจุดหลอมเหลวเท่ากับ 0 องศาเซลเซียส พลังงานในการหลอมเหลวเท่ากับ 333.88 จูลต่อกรัม เป็นสารมาตรฐาน และใช้กากน้ำเปล่าเป็นกากน้ำอ้างอิง บันทึกค่าต่าง ๆ ที่เกี่ยวข้องกับการเกิดเจลาทีไนเซชัน ได้แก่ อุณหภูมิเริ่มต้นในการเกิดเจลาทีไนเซชัน (onset temperature,  $T_o$ , องศาเซลเซียส) อุณหภูมิที่จุดสูงสุดในการเกิดเจลาทีไนเซชัน (peak

temperature,  $T_p$ , องศาเซลเซียส) อุณหภูมิสุดท้ายในการเกิดเจลาติไนเซชัน (conclusion temperature,  $T_c$ , องศาเซลเซียส) และพลังงานที่เปลี่ยนแปลงระหว่างการเกิดเจลาติไนเซชัน (enthalpy,  $\Delta H$ , จูลต่อกรัม)

## 2.5 การวิเคราะห์สมบัติการเกิดริโตรเกรเดชัน

การศึกษาผลของน้ำตาลซูโครสและเกลือโซเดียมคลอไรด์ต่อการเกิดริโตรเกรเดชันของเจลแป้งมันสำปะหลัง เริ่มจากการนำภาชนะ (DSC pan) ที่ผ่านการทดสอบการเกิดเจลาติไนเซชันแล้วมาบ่มในตู้ควบคุมอุณหภูมิที่ -18, 4 และ 25 องศาเซลเซียส เป็นเวลา 7 วัน ตรวจสอบการเกิดริโตรเกรเดชันโดยใช้เครื่อง DSC (DSC7 Perkin Elmer, USA) ในช่วงอุณหภูมิ -50 ถึง 120 องศาเซลเซียส ด้วยอัตราการเปลี่ยนแปลงอุณหภูมิ 10 องศาเซลเซียสต่อนาที โดยใช้ indium ซึ่งมีจุดหลอมเหลวเท่ากับ 156.6 องศาเซลเซียส พลังงานในการหลอมเหลวเท่ากับ 28.45 จูลต่อกรัมและน้ำกากลั่นปราศจากอิอนซึ่งมีจุดหลอมเหลวเท่ากับ 0 องศาเซลเซียส พลังงานในการหลอมเหลวเท่ากับ 333.88 จูลต่อกรัมเป็นสารมาตรฐาน และใช้ภาชนะเปล่าเป็นภาชนะอ้างอิงบันทึกค่าต่าง ๆ เช่นเดียวกับการเกิดเจลาติไนเซชัน คำนวณค่าร้อยละของการเกิดริโตรเกรเดชันจากสูตร

$$\% \text{ ริโตรเกรเดชัน} = \frac{\Delta H_{\text{retrogradation}}}{\Delta H_{\text{gelatinization}}} \times 100$$

จากนั้นศึกษาอัตราการเกิดริโตรเกรเดชันโดยบ่มตัวอย่างเจลแป้งที่อุณหภูมิ 4 องศาเซลเซียส เป็นเวลา 0, 1, 2, 3, 7, 14 และ 21 วัน เพื่อศึกษาอิทธิพลของระยะเวลาต่อการเกิดริโตรเกรเดชัน

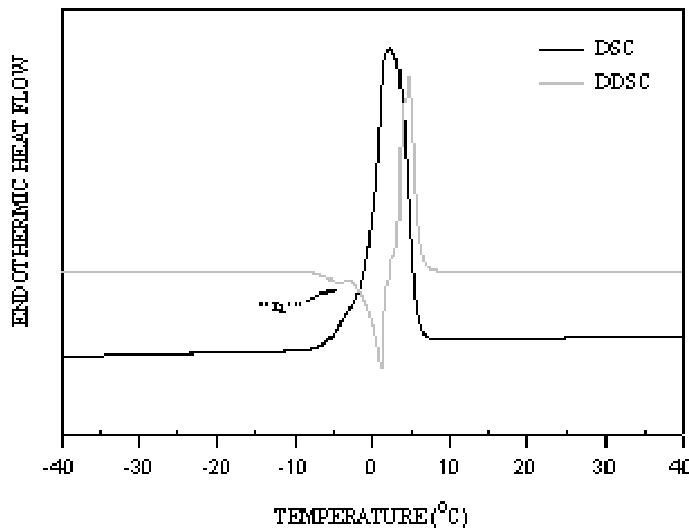
## 2.6 การวิเคราะห์การเปลี่ยนสถานะของน้ำแข็งและปริมาณน้ำที่แข็งตัวได้

การศึกษาผลของน้ำตาลซูโครสและเกลือโซเดียมคลอไรด์ต่อการเปลี่ยนสถานะของน้ำแข็งและปริมาณน้ำที่แข็งตัวได้ในน้ำแข็งและเจลแป้งมันสำปะหลัง (ในสภาวะที่อัตราส่วนระหว่างแป้งต่อน้ำคงที่) จะตรวจสอบความถูกต้องกับการวิเคราะห์การเกิดเจลาทีนเซชันและการเกิดรีโซร์ฟาร์เดชันโดยใช้เครื่อง DSC (DSC7 Perkin Elmer, USA) บันทึกค่าอุณหภูมิและพลังงานในการหลอมเหลวผลึกน้ำแข็ง ปริมาณน้ำที่แข็งตัวได้คำนวณจากสูตร

$$\% \text{ ปริมาณน้ำที่แข็งตัวได้} = \frac{\text{พลังงานในการหลอมเหลวผลึกน้ำแข็งในตัวอย่าง}}{\text{พลังงานความร้อนแห่งในการหลอมเหลวผลึกน้ำแข็ง}} \times \frac{1}{\text{ปริมาณน้ำในตัวอย่าง}} \times 100$$

## 2.7 การวิเคราะห์อุณหภูมิก拉斯ทรานสิชันของเจลแป้งมันสำปะหลัง

ตรวจวัดค่าอุณหภูมิก拉斯ทรานสิชันของเจลแป้งมันสำปะหลังที่ผ่านการเก็บรักษาเป็นเวลา 0 ถึง 21 วัน จากกราฟอนุพันธ์ของการเกิดรีโซร์ฟาร์เดชัน (ภาพที่ 19) โดยใช้เครื่อง DSC (DSC7 Perkin Elmer, USA)



ภาพที่ 19 กราฟแสดงการเปลี่ยนสถานะของน้ำในเจลแป้ง และอุณหภูมิก拉斯ทรานสิชันของเจลแป้งมันสำปะหลัง ( $T_g'$ ) ที่ได้จากการวิเคราะห์ด้วยเครื่อง DSC

## 2.8 การวิเคราะห์ลักษณะโครงสร้างผลึกของเม็ดแป้งมันสำปะหลัง

นำตัวอย่างแป้งมันสำปะหลังดินและเจลแป้งมันสำปะหลังที่ผ่านการบ่มที่อุณหภูมิ 4 องศาเซลเซียส เป็นเวลา 7 วัน และอบแห้งแบบเยือกแข็งแล้วมาตรวจสอบลักษณะโครงสร้างผลึกของเม็ดแป้งด้วยเครื่อง X-ray diffractometer ดัดแปลงจากวิธีการของ Murthy and Minor (1990) ทำการทดสอบโดยใช้ Target เป็นโลหะทองแดง (Cu) ที่ความต่างศักย์ไฟฟ้าเท่ากับ 40.0 kV. ใช้กระแสไฟฟ้า 30.0 mA ในช่วงหมุนหักเห 2.00 ถึง 40.00 องศา 2-theta ด้วยอัตราเร็ว 0.02 องศา 2-theta ต่อนาที และคำนวณค่าร้อยละความเป็นผลึก (% relative crystallinity) จากพื้นที่ไดกราฟ

## 2.9 การวิเคราะห์ลักษณะเนื้อสัมผัสของเจลแป้งมันสำปะหลัง

เตรียมน้ำแป้งมันสำปะหลังเข้มข้นร้อยละ 30 โดยนำหนักในสารละลายน้ำตาล ซึ่กรสเข้มข้นร้อยละ 0, 10, 20 และ 30 โดยนำหนัก และสารละลายน้ำตาล 90% เดิมคลอไรด์เข้มข้นร้อยละ 0, 5, 10 และ 15 โดยนำหนัก ในสภาวะที่อัตราส่วนระหว่างแป้งต่อน้ำคงที่ ดัดแปลงจากวิธีการของวนเพ็ญ (2545) บรรจุตัวอย่างลงในถุงทรงกระบอกที่มีขนาดเด็นผ่านสูญยักษ์กลาง 1.5 เซนติเมตร ทำให้แป้งเจลาทีนซื้อย่างสมบูรณ์ในอ่างน้ำเดือดที่อุณหภูมิ 95 องศาเซลเซียสเป็นเวลา 30 นาที จากนั้นตั้งทิ้งไว้ที่อุณหภูมิห้องเป็นเวลา 1 ชั่วโมงก่อนนำไปบ่มที่อุณหภูมิ -18, 4 และ 25 องศาเซลเซียสเป็นเวลา 0, 1, 3, 7, 14 และ 21 วัน ตัดตัวอย่างให้มีความสูง 1.5 เซนติเมตร ทำการวัดลักษณะเนื้อสัมผัสของ เจลแป้งมันสำปะหลัง โดยใช้วิธีการวัดค่าเลียนแบบการเก็บข้อมูลโดยเครื่อง Texture Analyzer (Model TA.XT plus, Stable Micro Systems, UK) ด้วยวิธีการวัดค่าเก้าโครงคุณลักษณะเนื้อสัมผัส (Texture Profile Analysis, TPA) ของเจลแป้งที่ร้อยละการเสียรูป (deformation) เท่ากับ 50 บันทึกค่าต่าง ๆ ได้แก่ ความแข็ง (Hardness) ความสามารถเกาะรวมตัวกัน (Cohesiveness) ค่าความยืดหยุ่น (Springiness) ความสามารถในการเกาะติดผิววัสดุ (Adhesiveness) และค่าความเหนียวเป็นยาง (Gumminess)

### **3. การวางแผนการทดลอง**

การทดลองใช้การวางแผนแบบแฟกทอเรียล (Factorial Design) ข้อมูลที่ได้นำมาวิเคราะห์ความแปรปรวน (Analysis of variance : ANOVA) และวิเคราะห์ความแตกต่างของค่าเฉลี่ยด้วยวิธี Duncan's new multiple range test (DMRT) ที่ระดับความเชื่อมั่นร้อยละ 95

### **4. สถานที่ทำการวิจัย**

หน่วยปฏิบัติการเทคโนโลยีและประยุกต์ มหานคร สถาบันศึกษาและพัฒนาผลิตผลทางการเกษตรและอุตสาหกรรมเกษตร มหาวิทยาลัยเกษตรศาสตร์

### **5. ระยะเวลาทำการวิจัย**

การวิจัยเริ่มตั้งแต่เดือนพฤษภาคม พ.ศ. 2547 และสิ้นสุดในเดือนกันยายน พ.ศ. 2549

## ผลและการวิเคราะห์

### **1. องค์ประกอบทางเคมีของแป้งมันสำปะหลัง**

จากการวิเคราะห์ห้องค์ประกอบทางเคมีของแป้งมันสำปะหลังที่สกัดได้ในระดับห้องปฏิบัติการ ได้แก่ ปริมาณโปรตีน ปริมาณไขมัน ปริมาณเต้า ปริมาณเส้นใย ตามวิธีการของ AOAC (1990) และปริมาณแป้งโดยวิธีโพลาริเมตริก ตามวิธีการของ มอก. 52-2516 ดังแสดงในตารางที่ 5 พบว่าแป้งมันสำปะหลังมีปริมาณสตาร์ชอยู่สูง มีสิ่งเจือปน เช่น โปรตีน ไขมัน เส้นใย และเต้า ในปริมาณน้อยมาก ซึ่งจัดว่ามีความบริสุทธิ์สูง

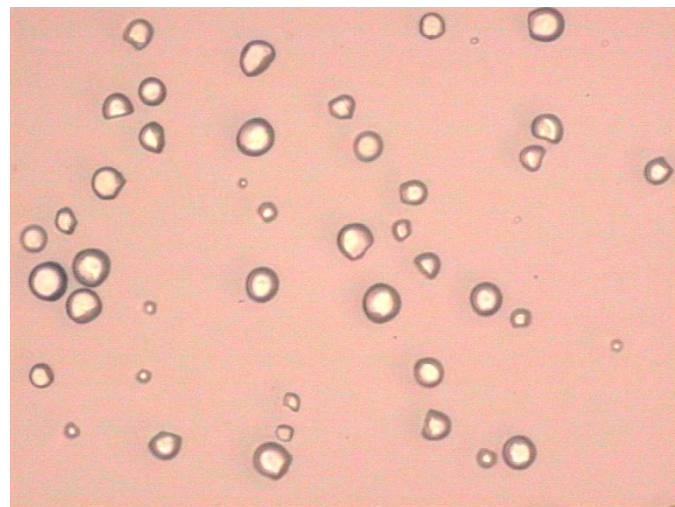
#### **ตารางที่ 5 องค์ประกอบทางเคมีของแป้งมันสำปะหลัง**

องค์ประกอบทางเคมี	ปริมาณ (ร้อยละ โดยน้ำหนักแห้ง)
โปรตีน	0.05 ± 0.01
ไขมัน	0.08 ± 0.02
เต้า	0.12 ± 0.00
เส้นใย	trace
สตาร์ช	98.72 ± 0.02

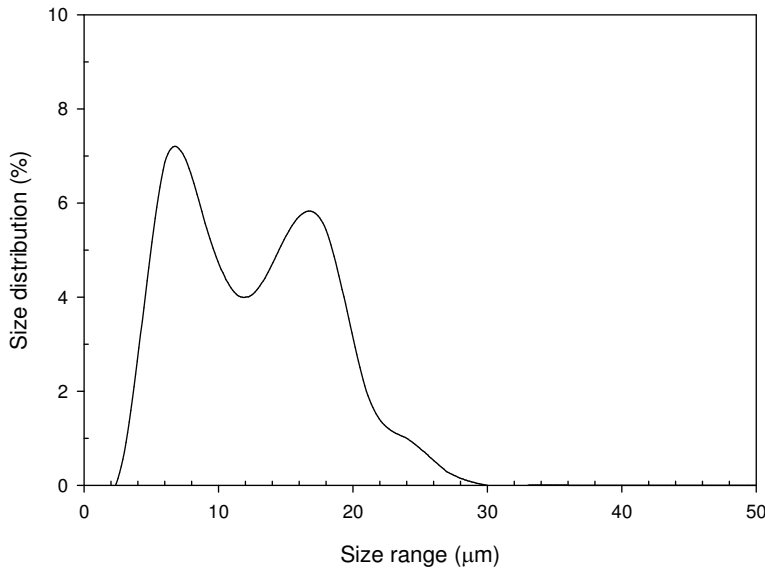
## 2. สมบัติทางเคมีกายภาพของแป้งมันสำปะหลัง

### 2.1 ขนาดและการพองตัวของเม็ดแป้งมันสำปะหลังขณะให้ความร้อน

จากการวิเคราะห์ลักษณะทางสัณฐานวิทยาและขนาดของเม็ดแป้งมันสำปะหลังที่ผลิตได้ในระดับห้องปฏิบัติการ ด้วยกล้องจุลทรรศน์ภายในอุปกรณ์เดียวกับที่แสดงธรรมชาติ กำลังขยาย 20 เท่า พบร่วมกับเม็ดแป้งมันสำปะหลังมีลักษณะรูปร่างกลม คล้ายไข่ที่มีรอยตัด (ภาพที่ 20) ลักษณะการกระจายตัวของขนาดเม็ดแป้งมันสำปะหลังซึ่งมีขนาดเส้นผ่านศูนย์กลางอยู่ในช่วง 3-29 ไมครอน ดังภาพที่ 21 ประกอบด้วยเม็ดแป้งที่มีขนาดเส้นผ่านศูนย์กลางอยู่ในช่วง 3-10 ไมครอนและ 11-29 ไมครอน ร้อยละ 40 และ 60 โดยประมาณ ตามลำดับ และมีขนาดเส้นผ่านศูนย์กลางเฉลี่ย 11.7 ไมครอน



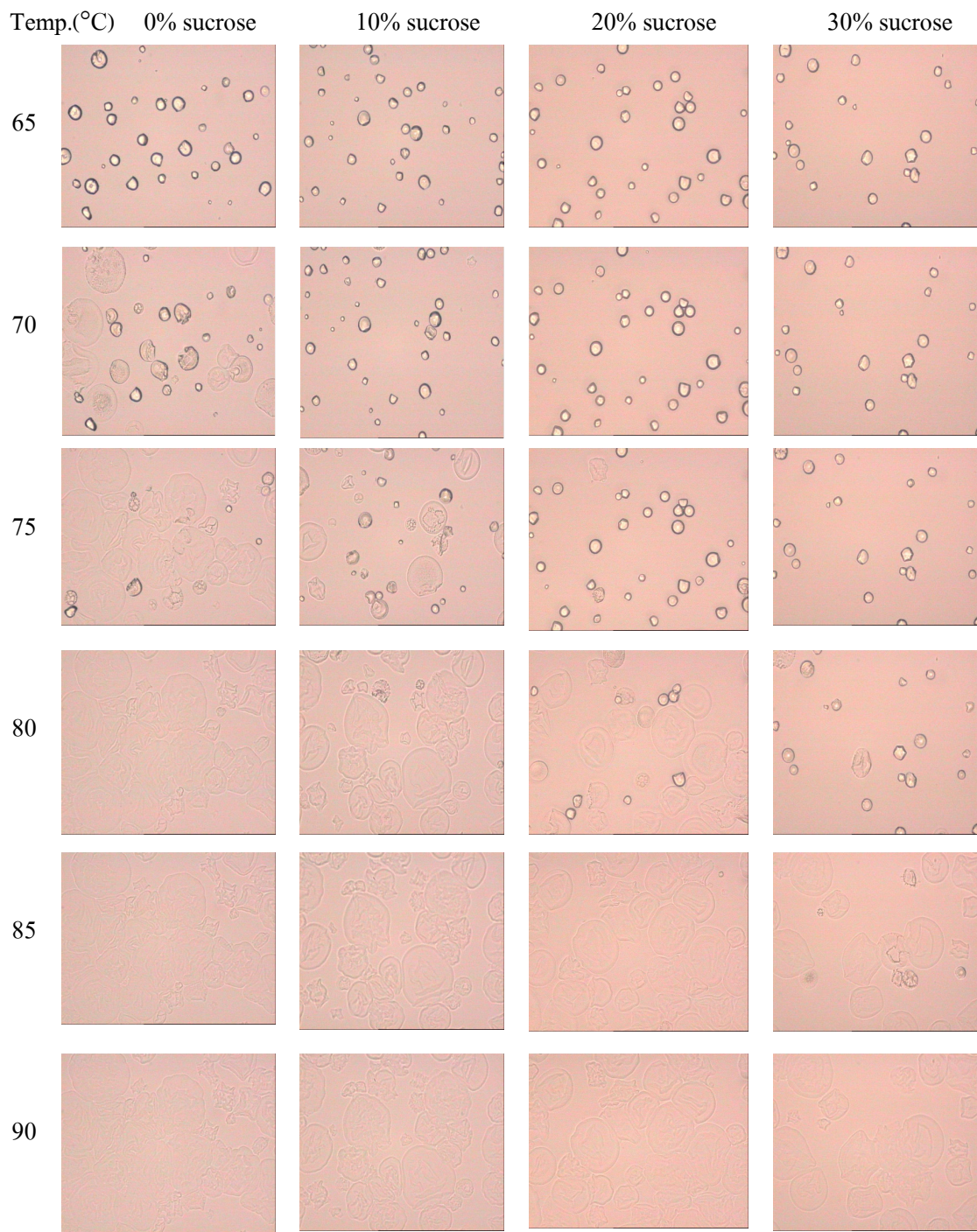
ภาพที่ 20 ลักษณะทางสัณฐานวิทยาของเม็ดแป้งมันสำปะหลัง เมื่อศึกษาด้วยกล้องจุลทรรศน์  
ภายในอุปกรณ์เดียวกับที่แสดงธรรมชาติ ที่กำลังขยาย 20 เท่า



ภาพที่ 21 ค่าร้อยละการกระจายตัวของขนาดเม็ดแป้งมันสำปะหลัง

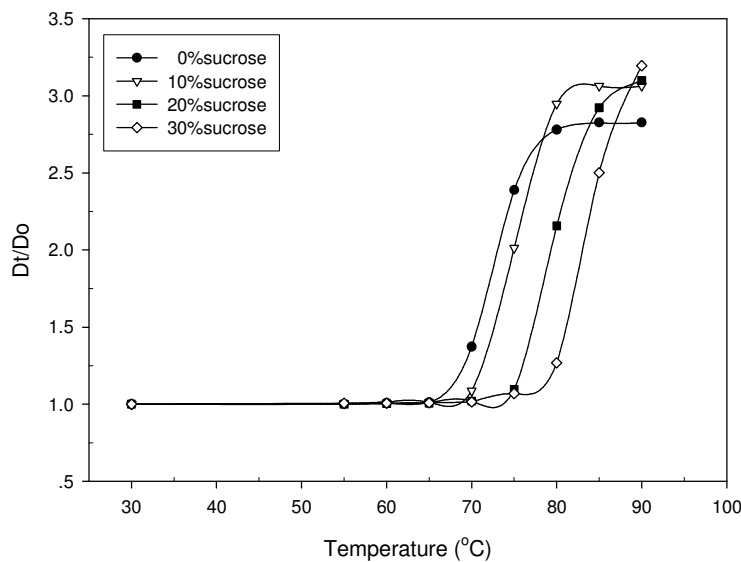
#### 2.1.1 การพองตัวของเม็ดแป้งขณะให้ความร้อนในสารละลายน้ำตาลชูโกรส

ขณะให้ความร้อนแก่เม็ดแป้งมันสำปะหลังเข้มข้น 0.5% ในสภาวะที่ไม่มีน้ำตาลชูโกรส เม็ดแป้งส่วนใหญ่จะพองตัวได้ที่อุณหภูมิประมาณ 70 องศาเซลเซียส โดยเม็ดแป้งที่มีขนาดใหญ่จะพองตัวได้เร็วกว่าเม็ดแป้งที่มีขนาดเล็กกว่า จากนั้นจะพองตัวเต็มที่เมื่ออุณหภูมิสูงขึ้นประมาณ 80 องศาเซลเซียส และในสภาวะที่มีน้ำตาลชูโกรสมีดแป้งจะพองตัวได้ช้าลง โดยพองตัวได้ที่อุณหภูมิสูงประมาณ 75 ถึง 80 องศาเซลเซียส เมื่อความเข้มข้นของน้ำตาลชูโกรสเพิ่มขึ้นถึง 30% (ภาพที่ 22)



ภาพที่ 22 ลักษณะการพองตัวของเม็ดแป้งมันสำปะหลังขณะให้ความร้อนในสารละลายน้ำตาล  
ซูโครัสเข้มข้น 0-30%

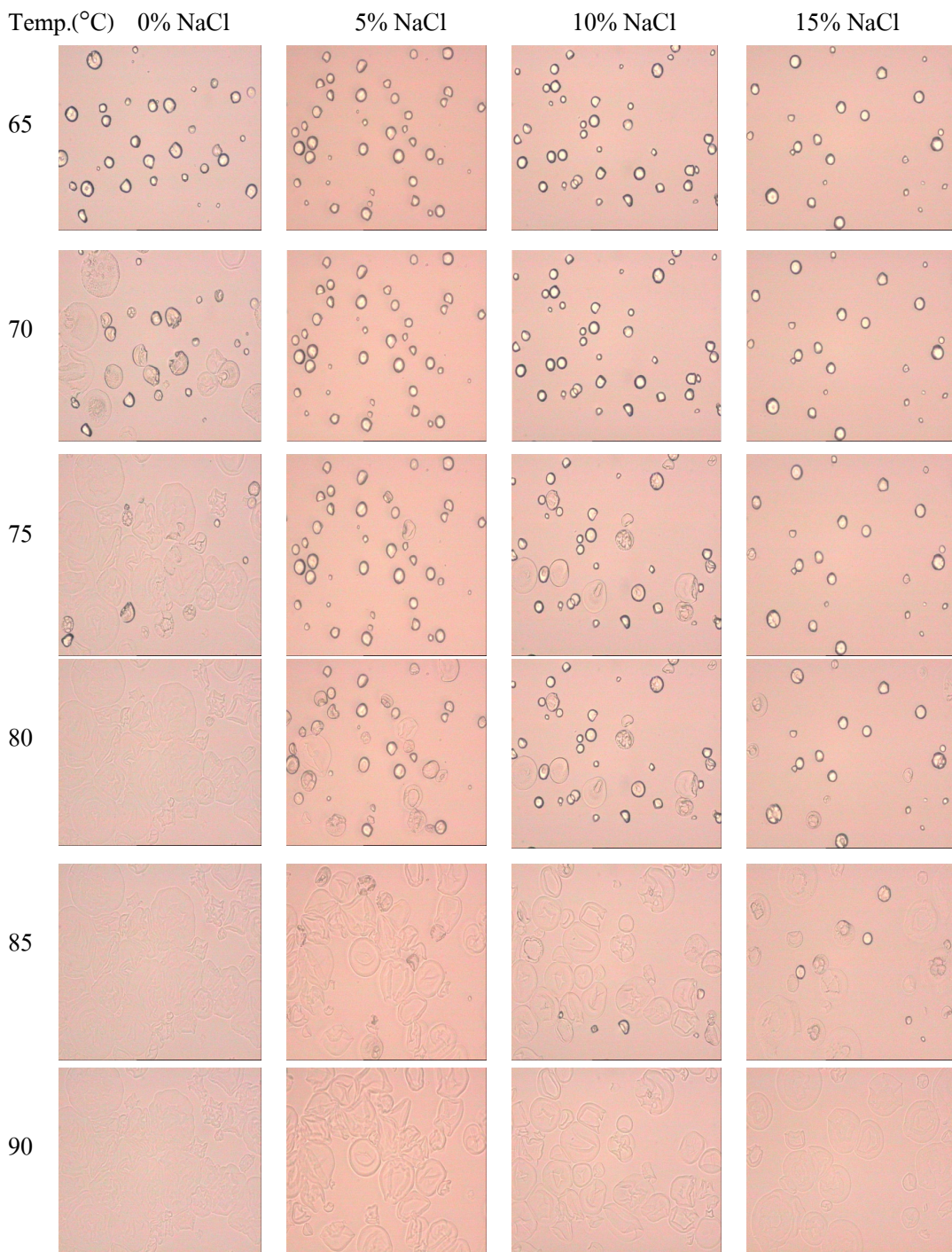
จากการวิเคราะห์การเปลี่ยนแปลงขนาดเส้นผ่าศูนย์กลางเฉลี่ยของเม็ดแป้งมันสำปะหลังขณะให้ความร้อนในสารละลายน้ำตาลซูโครัสเทียบกับขนาดเส้นผ่าศูนย์กลางเริ่มต้น (ภาพที่ 23) พบว่า เม็ดแป้งจะเริ่มพองตัวเมื่ออุณหภูมิสูงกว่า 60 องศาเซลเซียส โดยพองตัวได้มากขึ้นเมื่ออุณหภูมิสูงขึ้น และจะเริ่มพองตัวได้ที่อุณหภูมิสูงขึ้นในสภาวะที่มีน้ำตาลซูโครัส โดยพองตัวได้ในช่วงอุณหภูมิประมาณ 65 ถึง 80 องศาเซลเซียส 70 ถึง 85 องศาเซลเซียส 75 ถึง 90 องศาเซลเซียส และ 75 ถึง 90 องศาเซลเซียส เมื่อความเข้มข้นของน้ำตาลซูโครัสเพิ่มขึ้น 0, 10, 20 และ 30% ตามลำดับ



ภาพที่ 23 การเปลี่ยนแปลงขนาดเส้นผ่าศูนย์กลางเฉลี่ยของเม็ดแป้งมันสำปะหลังขณะให้ความร้อนในสารละลายน้ำตาลซูโครัสเข้มข้น 0-30% เทียบกับขนาดเส้นผ่าศูนย์กลางเริ่มต้น

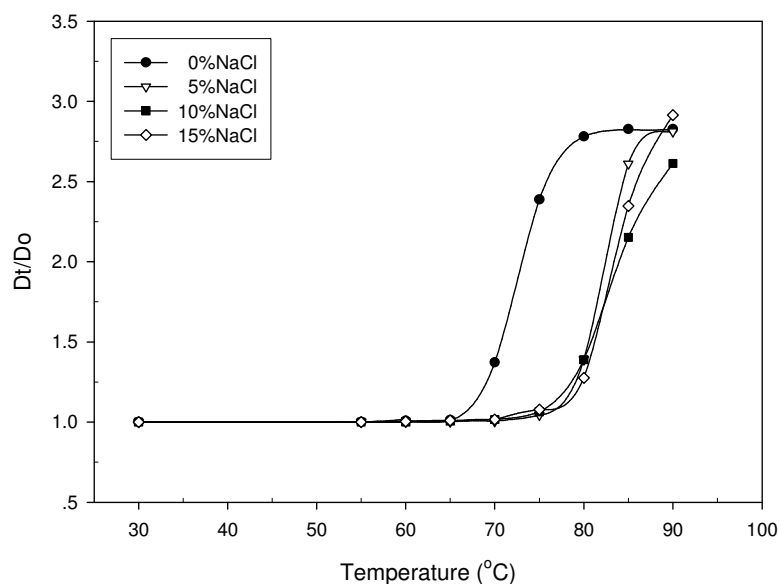
### 2.1.2 การพองตัวของเม็ดแป้งขณะให้ความร้อนในสารละลายน้ำตาลซูโครัส

ขณะให้ความร้อนแก่เม็ดแป้งมันสำปะหลังเข้มข้น 0.5% ในตัวอย่างที่ไม่มีการเติมเกลือโซเดียมคลอไรด์ เม็ดแป้งส่วนใหญ่จะพองตัวได้ที่อุณหภูมิประมาณ 70 องศาเซลเซียส จากนั้นจะพองตัวเต็มที่เมื่ออุณหภูมิสูงขึ้นประมาณ 80 องศาเซลเซียส และในสภาวะที่มีเกลือโซเดียมคลอไรด์ เม็ดแป้งจะพองตัวได้ช้าลง โดยพองตัวได้ที่อุณหภูมิสูงประมาณ 80 ถึง 85 องศาเซลเซียส เมื่อความเข้มข้นของเกลือโซเดียมคลอไรด์เพิ่มขึ้นจนถึง 15% (ภาพที่ 24)



ภาพที่ 24 ลักษณะการพองตัวของเม็ดแป้งมันสำปะหลังขณะให้ความร้อนในสารละลายเกลือโซเดียมคลอไรด์ขึ้น 0-15%

จากการวิเคราะห์การเปลี่ยนแปลงขนาดเส้นผ่าศูนย์กลางเฉลี่ยของเม็ดแป้งมันสำปะหลังขณะให้ความร้อนในสารละลายเกลือโซเดียมคลอไรด์เทียบกับขนาดเส้นผ่านศูนย์กลางเริ่มต้น (ภาพที่ 25) พบว่า เม็ดแป้งจะเริ่มพองตัวเมื่ออุณหภูมิสูงกว่า 60 องศาเซลเซียส โดยพองตัวได้มากขึ้นเมื่ออุณหภูมิสูงขึ้น และจะเริ่มพองตัวได้ที่อุณหภูมิสูงขึ้นในสภาวะที่มีเกลือโซเดียมคลอไรด์ โดยพองตัวได้ในช่วงอุณหภูมิประมาณ 65 ถึง 80 องศาเซลเซียส เมื่อความเข้มข้นของเกลือโซเดียมคลอไรด์อยู่ที่ระดับ 0% และพองตัวได้ในช่วงอุณหภูมิประมาณ 75 ถึง 90 องศาเซลเซียส เมื่อความเข้มข้นของเกลือโซเดียมคลอไรด์อยู่ในช่วง 5-15%

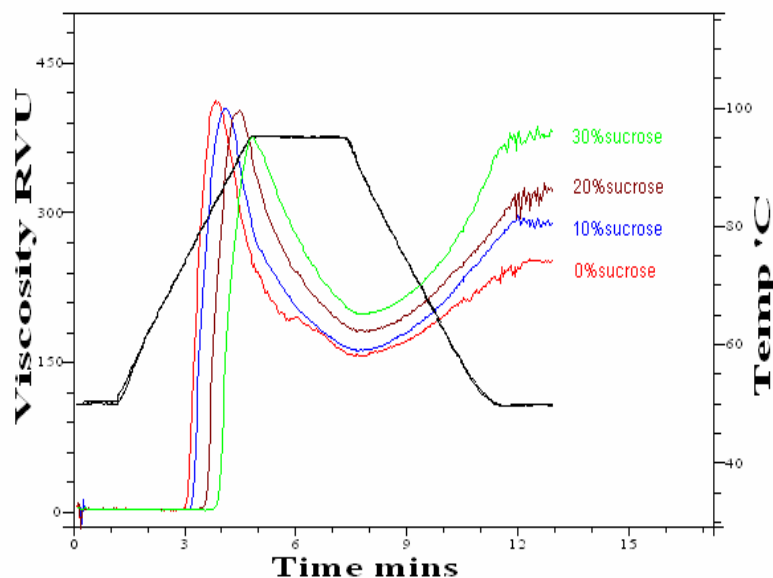


ภาพที่ 25 การเปลี่ยนแปลงขนาดเส้นผ่าศูนย์กลางเฉลี่ยของเม็ดแป้งมันสำปะหลังขณะให้ความร้อนในสารละลายเกลือโซเดียมคลอไรด์เข้มข้น 0-15% เทียบกับขนาดเส้นผ่านศูนย์กลางเริ่มต้น

## 2.2 ลักษณะการเปลี่ยนแปลงความหนืดของแป้งมันสำปะหลัง

### 2.2.1 ผลของน้ำตาลชูโกรสต่อสมบัติความหนืดของแป้งมันสำปะหลัง

ผลการวิเคราะห์สมบัติความหนืดของแป้งมันสำปะหลังเข้มข้น 9.20% (โดยน้ำหนัก) ในสารละลายน้ำตาลชูโกรสเข้มข้น 0, 10, 20 และ 30% ด้วยเครื่อง RVA แสดงดังภาพที่ 26 และตารางที่ 6



ภาพที่ 26 ผลของสารละลายน้ำตาลชูโกรสเข้มข้น 0-30% ต่อการเปลี่ยนแปลงความหนืดของแป้งมันสำปะหลัง เมื่อวิเคราะห์ด้วยเครื่อง RVA

**ตารางที่ 6 สมบัติความหนืดของแป้งมันสำปะหลังในสภาวะที่มีน้ำตาลซูโครัสเข้มข้น 0-30% เมื่อวิเคราะห์ด้วยเครื่อง RVA**

สมบัติความหนืด	Sucrose concentration (%)			
	0	10	20	30
Pasting temperature (°C)	73.0 ± 1.27 <sup>d</sup>	75.7 ± 0.85 <sup>c</sup>	79.8 ± 0.11 <sup>b</sup>	83.8 ± 0.35 <sup>a</sup>
Peak viscosity (RVU)	412 ± 0.18 <sup>a</sup>	405 ± 0.65 <sup>ab</sup>	340 ± 3.18 <sup>b</sup>	373 ± 4.01 <sup>c</sup>
Trough viscosity (RVU)	157 ± 0.35 <sup>c</sup>	159 ± 4.48 <sup>c</sup>	180 ± 2.00 <sup>b</sup>	202 ± 4.24 <sup>a</sup>
Final viscosity (RVU)	249 ± 2.36 <sup>d</sup>	284 ± 6.42 <sup>c</sup>	323 ± 2.42 <sup>b</sup>	387 ± 8.13 <sup>a</sup>
Breakdown (RVU)	255 ± 0.53 <sup>a</sup>	246 ± 3.83 <sup>a</sup>	220 ± 1.18 <sup>b</sup>	172 ± 8.25 <sup>c</sup>
Setback from trough (RVU)	92 ± 2.71 <sup>d</sup>	126 ± 1.94 <sup>c</sup>	143 ± 4.42 <sup>b</sup>	186 ± 3.89 <sup>a</sup>

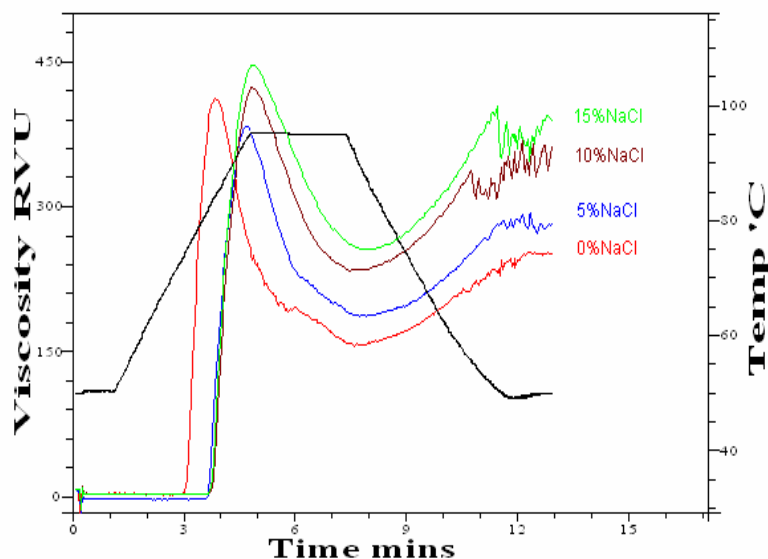
**หมายเหตุ** ตัวอักษรที่ต่างกันในแต่ละค่าเดียวกันแสดงว่ามีความแตกต่างอย่างมีนัยสำคัญที่  $p \leq 0.05$

จากการทดลองพบว่าอุณหภูมิที่แป้งมันสำปะหลังเริ่มน้ำตาลซูโครัสเพิ่มขึ้นโดยมีค่าเพิ่มจาก 73 ถึง 83.8 องศาเซลเซียส เมื่อความเข้มข้นของน้ำตาลซูโครัสเพิ่มขึ้นจาก 0 ถึง 30% เม็ดแป้งที่มีกำลังการพองตัวสูงและพองตัวได้เร็วจะส่งผลให้ความเป็นระเบียบของโครงสร้างพล็กกายในเม็ดแป้งถูกทำลาย และสารละลายน้ำแป้งจะเริ่มน้ำตาลซูโครัสซึ่งมีผลทำให้เม็ดแป้งพองตัวได้ช้า (Pomeranz, 1991) ดังนั้นการเพิ่มความเข้มข้นของน้ำตาลซูโครัสซึ่งมีค่าสูงขึ้น เมื่อพิจารณาค่าความหนืดสูงสุด (Peak viscosity) ซึ่งมีความสัมพันธ์กับคุณภาพของผลิตภัณฑ์สุกด้วย และเป็นค่าที่บอกรถึงความสามารถของแป้งในการจับตัวกันน้ำ หรือแรงที่ต้องใช้ในการกวนหรือผสมในอาหาร (Newport Scientific, 1995) พบว่าค่าความหนืดสูงสุดจะมีค่าลดลงเมื่อความเข้มข้นของน้ำตาลซูโครัสเพิ่มขึ้นโดยมีค่าลดลงจาก 412 เป็น 373 RVU เมื่อความเข้มข้นของน้ำตาลซูโครัสเพิ่มขึ้นจาก 0 เป็น 30% แป้งมันสำปะหลังมีค่าความหนืดต่ำสุด (Trough viscosity) และความหนืดสุดท้าย (Final viscosity) เพิ่มสูงขึ้นเมื่อความเข้มข้นของน้ำตาลซูโครัสเพิ่มขึ้นโดยมีค่าอยู่ในช่วง 157 ถึง 202 RVU และ 249 ถึง 387 RVU ตามลำดับ ค่าความแตกต่างระหว่างค่าความหนืดสูงสุดและค่าความหนืดต่ำสุด (Breakdown) เป็นค่าที่บอกรถึงความสามารถในการคงทนต่ออุณหภูมิและการกวนซึ่งเป็นปัจจัยที่สำคัญในหลายกระบวนการผลิต (Newport Scientific, 1995) จากการทดลองพบว่าค่า Breakdown ของแป้งมันสำปะหลังมีค่าลดลง

เมื่อความเข้มข้นของน้ำตาลชูโกรสเพิ่มขึ้นโดยมีค่าลดลงจาก 255 เป็น 172 RVU เมื่อความเข้มข้นของน้ำตาลชูโกรสเพิ่มขึ้นจาก 0 ถึง 30% แสดงให้เห็นว่าการเพิ่มความเข้มข้นของน้ำตาลชูโกรสมีผลทำให้เม็ดเปลี่ยนมีความคงทนต่ออุณหภูมิและการกวนได้มากขึ้น ค่าการคืนตัวหรือค่าผลต่างระหว่างค่าความหนืดสุดท้ายและค่าความหนืดต่ำสุด (Setback from trough) เป็นค่าที่มีความสัมพันธ์กับลักษณะเนื้อสัมผัสของผลิตภัณฑ์ (Newport Scientific, 1995) แปลงที่มีค่าการคืนตัวมากหรือมีค่าเป็นบวกจะเกิดรีไทร์เกรเดชันได้ดีและมีแนวโน้มที่จะให้เจลแป้งที่แข็งมาก (Beta and Corke, 2001) การเพิ่มความเข้มข้นของน้ำตาลชูโกรสมีผลต่อการเพิ่มขึ้นของค่าการคืนตัวโดยมีค่าเพิ่มจาก 92 ถึง 186 RVU เมื่อความเข้มข้นของน้ำตาลชูโกรสเพิ่มขึ้นจาก 0 ถึง 30% แสดงให้เห็นว่าการเพิ่มความเข้มข้นของน้ำตาลชูโกรสามารถมีผลทำให้เกิดรีไทร์เกรเดชันได้ดีขึ้น

#### 2.2.2 ผลของเกลือโซเดียมคลอไรด์ต่อสมบัติความหนืดของแป้งมันสำปะหลัง

ผลการวิเคราะห์สมบัติความหนืดของแป้งมันสำปะหลังเข้มข้น 9.20 % (โดยน้ำหนัก) ในสารละลายน้ำเกลือโซเดียมคลอไรด์เข้มข้น 0, 5, 10 และ 15% ด้วยเครื่อง RVA แสดงดังภาพที่ 27 และตารางที่ 7



ภาพที่ 27 ผลของสารละลายน้ำเกลือโซเดียมคลอไรด์เข้มข้น 0-15% ต่อการเปลี่ยนแปลงความหนืดของแป้งมันสำปะหลัง เมื่อวิเคราะห์ด้วยเครื่อง RVA

**ตารางที่ 7 สมบัติความหนืดของแป้งมันสำปะหลังในสภาวะที่มีเกลือโซเดียมคลอไรด์เพิ่มขึ้น 0-15% เมื่อวิเคราะห์ด้วยเครื่อง RVA**

สมบัติความหนืด	NaCl concentration (%)			
	0	5	10	15
Pasting temperature (°C)	73.0 ± 1.27 <sup>b</sup>	81.4 ± 0.42 <sup>a</sup>	83.2 ± 1.27 <sup>a</sup>	82.2 ± 0.39 <sup>a</sup>
Peak viscosity (RVU)	412 ± 0.18 <sup>c</sup>	387 ± 4.66 <sup>d</sup>	427 ± 5.48 <sup>b</sup>	447 ± 0.41 <sup>a</sup>
Trough viscosity (RVU)	157 ± 0.35 <sup>c</sup>	190 ± 4.48 <sup>b</sup>	235 ± 2.53 <sup>a</sup>	248 ± 10.37 <sup>a</sup>
Final viscosity (RVU)	249 ± 2.36 <sup>c</sup>	289 ± 9.43 <sup>b</sup>	364 ± 1.06 <sup>a</sup>	377 ± 15.67 <sup>a</sup>
Breakdown (RVU)	255 ± 0.53 <sup>a</sup>	196 ± 0.18 <sup>b</sup>	191 ± 2.95 <sup>b</sup>	198 ± 9.96 <sup>b</sup>
Setback from trough (RVU)	92 ± 2.71 <sup>b</sup>	99 ± 4.95 <sup>b</sup>	128 ± 1.47 <sup>b</sup>	129 ± 5.30 <sup>a</sup>

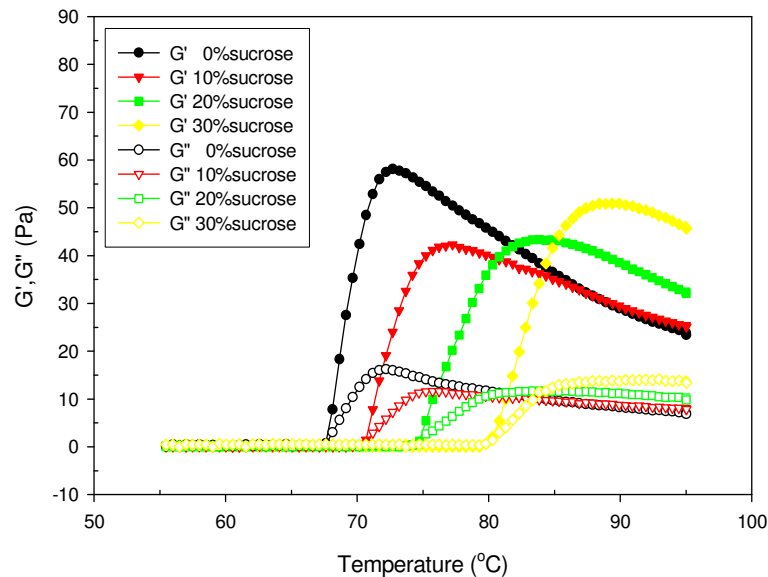
**หมายเหตุ** ตัวอักษรที่ต่างกันในแต่ละค่าแสดงว่ามีความแตกต่างอย่างมีนัยสำคัญที่  $p \leq 0.05$

จากการทดลองพบว่าอุณหภูมิที่แป้งมันสำปะหลังเริ่มน้ำการเปลี่ยนแปลงค่าความหนืด (Pasting temperature) จะเพิ่มสูงขึ้นเมื่อความเข้มข้นของเกลือโซเดียมคลอไรด์เพิ่มขึ้น จาก 0 ถึง 10% โดยเพิ่มขึ้นจาก 73 ถึง 83.2 องศาเซลเซียส จากนั้นอุณหภูมิจะลดลงเป็น 82.2 องศาเซลเซียส เมื่อความเข้มข้นของเกลือโซเดียมคลอไรด์เพิ่มขึ้นเป็น 15% ค่าความหนืดสูงสุด (Peak viscosity) ของแป้งมันสำปะหลังจะมีค่าลดลงในสภาวะที่มีเกลือโซเดียมคลอไรด์เพิ่มขึ้น 5% เมื่อเทียบกับในสภาวะที่มีเกลือโซเดียมคลอไรด์ 0% โดยลดลงจาก 412 เป็น 387 RVU จากนั้นจะเพิ่มขึ้นจาก 387 ถึง 447 RVU เมื่อความเข้มข้นของเกลือโซเดียมคลอไรด์เพิ่มขึ้นจาก 5 ถึง 15% ค่าความหนืดต่ำสุด (Trough viscosity) และค่าความหนืดสุดท้าย (Final viscosity) เพิ่มสูงขึ้นเมื่อความเข้มข้นของเกลือโซเดียมคลอไรด์เพิ่มขึ้นโดยมีค่าอยู่ในช่วง 157 ถึง 248 RVU และ 249 ถึง 377 RVU ตามลำดับ ความเข้มข้นของเกลือโซเดียมคลอไรด์ที่เพิ่มขึ้นจะทำให้ค่า Breakdown ของแป้งมันสำปะหลังลดลงจาก 255 เป็น 198 RVU เมื่อความเข้มข้นของเกลือโซเดียมคลอไรด์เพิ่มขึ้นจาก 0 ถึง 15% แสดงให้เห็นว่าการเพิ่มความเข้มข้นของเกลือโซเดียมคลอไรด์มีผลทำให้เม็ดแป้งมีความคงทนต่ออุณหภูมิและการกรุนได้มากขึ้น เช่นเดียวกันกับในสภาวะที่มีน้ำตาลซูคราส เมื่อพิจารณาค่าการคืนตัวพบว่าการเพิ่มความเข้มข้นของเกลือโซเดียมคลอไรด์มีผลทำให้ค่าการคืนตัวของแป้งมันสำปะหลังเพิ่มขึ้นเล็กน้อย โดยมีค่าเพิ่มจาก 92 ถึง 129 RVU เมื่อความเข้มข้นของเกลือโซเดียมคลอไรด์เพิ่มขึ้นจาก 0 ถึง 15%

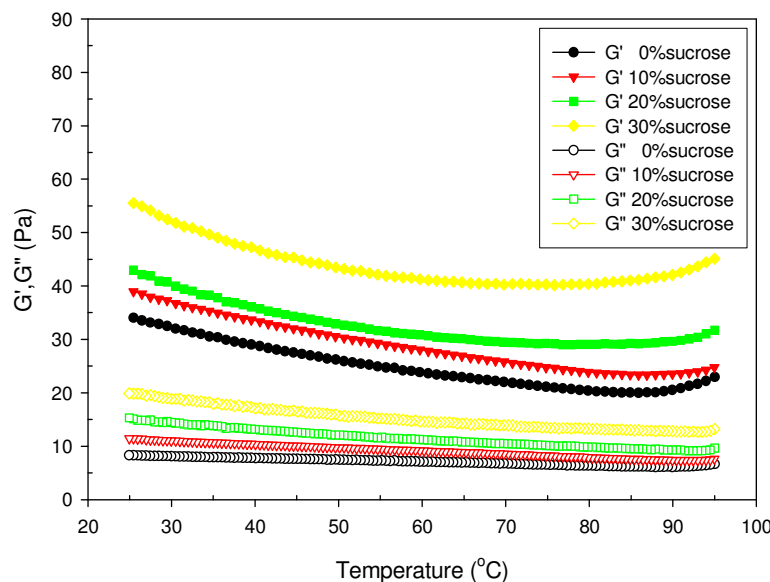
## 2.3 สมบัติวัลว์ภากการไหหล (Rheological properties)

### 2.3.1 ผลของน้ำตาลชูโกรสต่อสมบัติวัลว์ภากการไหหลของแป้งมันสำปะหลัง

ผลการศึกษาสมบัติวัลว์ภากการไหหลของแป้งมันสำปะหลังเข้มข้น 5% (โดยน้ำหนัก) ในสารละลายน้ำตาลชูโกรสเข้มข้น 0, 10, 20 และ 30% ขณะให้ความร้อนและทำให้เย็น แสดงดังภาพที่ 28 และ 29 (ตามลำดับ) และตารางที่ 8



ภาพที่ 28 ผลของสารละลายน้ำตาลชูโกรสเข้มข้น 0-30% ต่อการเปลี่ยนแปลงค่า Storage modulus ( $G'$ ) และ Loss modulus ( $G''$ ) ของแป้งมันสำปะหลังขณะให้ความร้อน



ภาพที่ 29 ผลของสารละลายน้ำตาลชูโกรสเพิ่มขึ้น 0-30% ต่อการเปลี่ยนแปลงค่า Storage modulus ( $G'$ ) และ Loss modulus ( $G''$ ) ของแป้งมันสำปะหลังขณะทำให้เย็น

ตารางที่ 8 ผลของสารละลายน้ำตาลชูโกรสเพิ่มขึ้น 0-30% ต่อการเปลี่ยนแปลงค่า Storage modulus ( $G'$ ), Loss modulus ( $G''$ ) และ  $\tan \delta$  ของแป้งมันสำปะหลังที่อุณหภูมิ 95 และ 25 องศาเซลเซียส

Sucrose concentration (%)	$T_{G' = G''}$ (°C)	95°C			25°C		
		$G'$ (Pa)	$G''$ (Pa)	$\tan \delta$	$G'$ (Pa)	$G''$ (Pa)	$\tan \delta$
0	68.13 <sup>d</sup>	23.0 <sup>c</sup>	6.64 <sup>c</sup>	0.29 <sup>b</sup>	34.2 <sup>c</sup>	8.28 <sup>d</sup>	0.24 <sup>c</sup>
10	71.19 <sup>c</sup>	24.8 <sup>c</sup>	7.62 <sup>c</sup>	0.31 <sup>a</sup>	39.2 <sup>bc</sup>	11.5 <sup>c</sup>	0.29 <sup>b</sup>
20	75.23 <sup>b</sup>	31.7 <sup>b</sup>	9.62 <sup>b</sup>	0.30 <sup>a</sup>	43.5 <sup>b</sup>	15.3 <sup>b</sup>	0.35 <sup>a</sup>
30	81.30 <sup>a</sup>	45.1 <sup>a</sup>	13.2 <sup>a</sup>	0.29 <sup>b</sup>	55.8 <sup>a</sup>	19.9 <sup>a</sup>	0.36 <sup>a</sup>

หมายเหตุ ตัวอักษรที่ต่างกันในคอลัมน์เดียวกันแสดงว่ามีความแตกต่างอย่างมีนัยสำคัญที่  $p \leq 0.05$

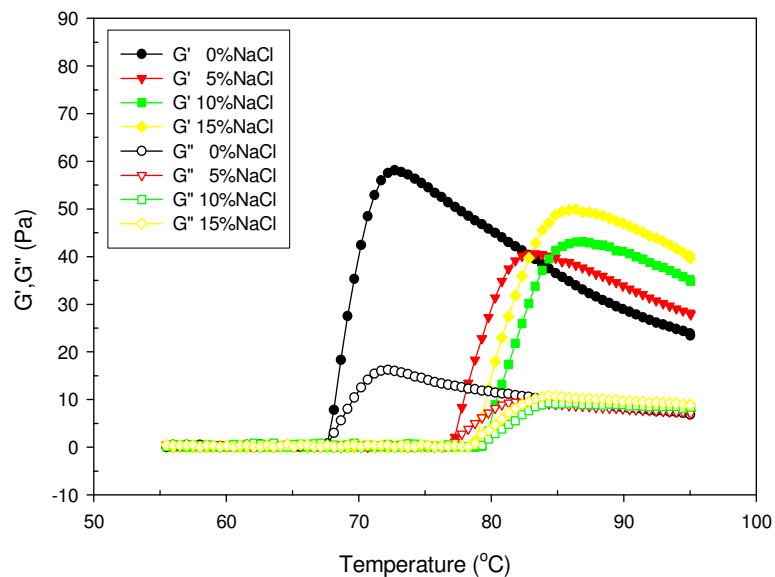
จากภาพที่ 28 ขณะเริ่มต้นให้ความร้อน ตัวอย่างแป้งมันสำปะหลังในน้ำจะมีการเปลี่ยนแปลงค่า  $G'$  และ  $G''$  เพียงเล็กน้อย เมื่อให้ความร้อนต่อไปค่า  $G'$  จะมีค่าเท่ากับ  $G''$  และมีค่าเพิ่มขึ้นอย่างรวดเร็วที่อุณหภูมิ 68.13 องศาเซลเซียส และพบว่าอุณหภูมิที่  $G'$  มีค่าเท่ากับ  $G''$  ( $T_{G'=G''}$ ) จะมีค่าสูงขึ้นอย่างต่อเนื่องเมื่อความเข้มข้นของน้ำตาลชูโครสในระบบเพิ่มขึ้นซึ่งสัมพันธ์กับอุณหภูมิที่เริ่มนิการเปลี่ยนแปลงค่าหนึ่งเมื่อวิเคราะห์ด้วยเครื่อง RVA โดยมีค่าเพิ่มจาก 68.13 ถึง 81.30 องศาเซลเซียส เมื่อความเข้มข้นของน้ำตาลชูโครสเพิ่มขึ้นจาก 0 ถึง 30% ที่อุณหภูมิดังกล่าว ตัวอย่างเริ่มแสดงพฤติกรรมคล้ายของแข็งมากขึ้นเนื่องจาก  $G'$  มีค่าสูงกว่า  $G''$  (ตารางที่ 8) เมื่อให้ความร้อนต่อไป ทั้งค่า  $G'$  และ  $G''$  จะเพิ่มขึ้นจนมีค่าสูงสุดที่อุณหภูมิสูงขึ้นเมื่อความเข้มข้นของน้ำตาลชูโครสเพิ่มขึ้น ในสภาวะที่มีน้ำตาลชูโครสเพิ่มขึ้น 10% ค่า  $G'_{\max}$  และ  $G''_{\max}$  มีค่าลดลงเมื่อเทียบกับในสภาวะที่ไม่มีน้ำตาลชูโครส แต่จะมีค่าเพิ่มขึ้นเมื่อความเข้มข้นของน้ำตาลชูโครสเพิ่มขึ้นจาก 10% ถึง 30% จากนั้นทั้งค่า  $G'$  และ  $G''$  จะค่อย ๆ ลดลงจนกระทั่งถึงอุณหภูมิ 95 องศาเซลเซียส ซึ่งเป็นอุณหภูมิที่สิ้นสุดการให้ความร้อน เมื่อทำให้เย็นโดยลดอุณหภูมิลงจาก 95 เป็น 25 องศาเซลเซียส (ภาพที่ 29)  $G''$  จะมีค่าเพิ่มขึ้นเพียงเล็กน้อยในขณะที่ค่า  $G'$  เพิ่มขึ้นเนื่องมาจากการจัดเรียงตัวกันใหม่ของโมเลกุลแป้งโดยเฉพาะมิโลส และพบว่าทั้งค่า  $G'$ ,  $G''$  และ  $\tan\delta$  ซึ่งแสดงอัตราส่วนของสมบัติความเป็นของเหลวต่อของแข็งที่อุณหภูมิ 25 องศาเซลเซียส จะมีค่าเพิ่มขึ้นเมื่อความเข้มข้นของน้ำตาลชูโครสเพิ่มขึ้น จากการทดลองแสดงให้เห็นว่าน้ำตาลชูโครสมีผลต่อการเปลี่ยนแปลงสมบัติวัสดุและการไหลของแป้งมันสำปะหลังในระหว่างการให้ความร้อน โดยทำให้มีค่าแป้งพองตัวที่อุณหภูมิสูงขึ้น และทำให้เจลแป้งมันสำปะหลังมีความแข็งแรงเพิ่มขึ้นในระหว่างการทำให้เย็น

Chiotelli *et al.* (2002) อธิบายการเพิ่มขึ้นของค่า  $G'$  ในขณะให้ความร้อนว่า เกิดจากการเพิ่มปริมาตรของเม็ดแป้งจึงทำให้ตัวอย่างมีความแข็ง (rigidity) เพิ่มขึ้น ผลกระทบของการพองตัวของเม็ดแป้งทำให้เกิดการสูญเสียความเป็นระเบียบของโครงสร้างผลึกตามมา น้ำจิ้งเข้าจับกับเม็ดแป้งได้สะดวกขึ้น เกิดเป็นช่องว่างอันเนื่องมาจากการพองตัวของเม็ดแป้งส่งผลให้ค่าความแข็งเพิ่มขึ้น จากการตรวจสอบกลไกการพองตัวในระดับโมเลกุล Waigh *et al.* (2000) รายงานว่าขณะเกิดการพองตัวโครงสร้างผลึกจะเปลี่ยนจากลักษณะ smectic เป็น isotropic สำหรับแป้งที่มีโครงสร้างผลึกแบบ A นั้นคือเกิดการสูญเสียความเป็นระเบียบของโครงสร้างผลึก เมื่อให้ความร้อนต่อไปจนอุณหภูมิสูงกว่าจุดที่  $G'$  มีค่าสูงสุด พลังงานจะไปทำลายโครงสร้างผลึกส่วนที่เหลือในเม็ดแป้งทำให้เกลี่บวคู่ของอะมิโลเพกทินเกิดการคลายตัวจึงสูญเสียความเป็นระเบียบของโครงสร้างในระดับโมเลกุล (molecular order) ซึ่งเป็นสาเหตุให้  $G'$  มีค่าลดลง และในระหว่างการทำให้เย็นค่า  $G'$

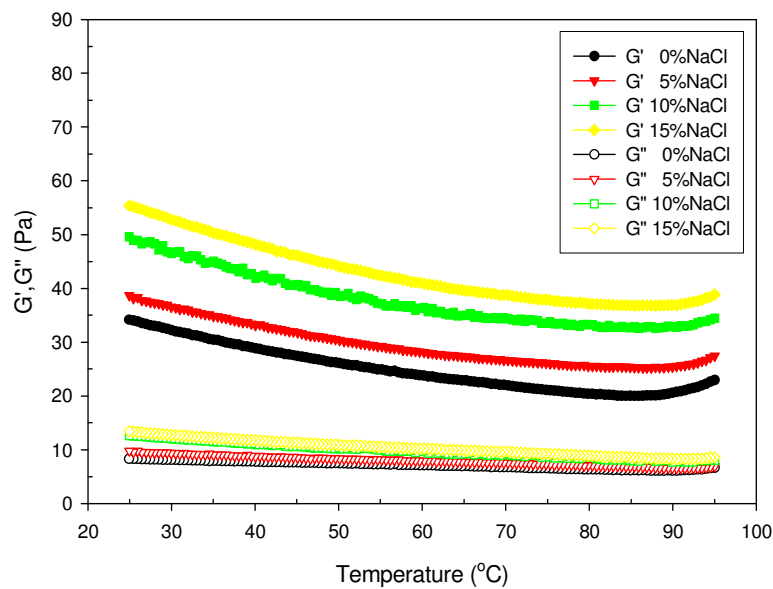
จะเพิ่มขึ้นเนื่องจาก การกลับมาจัดเรียงตัวกันใหม่ของอะมิโลสที่ละลายออกมากซึ่งจะส่งผลให้ตัวอย่างแสดงพฤติกรรมคล้ายของแข็งมากขึ้น

### 2.3.2 ผลของเกลือโซเดียมคลอไรด์ต่อสมบัติวัสดุภาคการไหลของแป้งมันสำปะหลัง

ผลการศึกษาสมบัติวัสดุภาคการไหลของแป้งมันสำปะหลังเข้มข้น 5% (โดยน้ำหนัก) ในสารละลายเกลือโซเดียมคลอไรด์เข้มข้น 0, 5, 10 และ 15% ขณะให้ความร้อนและทำให้เย็น แสดงดังภาพที่ 30 และ 31 (ตามลำดับ) และตารางที่ 9



ภาพที่ 30 ผลของสารละลายเกลือโซเดียมคลอไรด์เข้มข้น 0-15% ต่อการเปลี่ยนแปลงค่า Storage modulus ( $G'$ ) และ Loss modulus ( $G''$ ) ของแป้งมันสำปะหลังขณะให้ความร้อน



ภาพที่ 31 ผลของสารละลายเกลือโซเดียมคลอไรด์เข้มข้น 0-15% ต่อการเปลี่ยนแปลงค่า Storage modulus ( $G'$ ) และ Loss modulus ( $G''$ ) ของแป้งมันสำปะหลังขณะทำให้เย็น

ตารางที่ 9 ผลของสารละลายเกลือโซเดียมคลอไรด์เข้มข้น 0-15% ต่อการเปลี่ยนแปลงค่า Storage modulus ( $G'$ ), Loss modulus ( $G''$ ) และ  $\tan \delta$  ของแป้งมันสำปะหลังที่อุณหภูมิ 95 และ 25 องศาเซลเซียส

NaCl concentration (%)	$T_{G' = G''}$ (°C)	95°C			25°C		
		$G'$ (Pa)	$G''$ (Pa)	$\tan \delta$	$G'$ (Pa)	$G''$ (Pa)	$\tan \delta$
0	68.13 <sup>c</sup>	23.0 <sup>d</sup>	6.64 <sup>c</sup>	0.29 <sup>a</sup>	34.2 <sup>c</sup>	8.28 <sup>c</sup>	0.24 <sup>ns</sup>
5	77.77 <sup>b</sup>	27.5 <sup>c</sup>	6.92 <sup>c</sup>	0.25 <sup>b</sup>	38.7 <sup>c</sup>	9.80 <sup>c</sup>	0.25 <sup>ns</sup>
10	80.29 <sup>a</sup>	34.5 <sup>b</sup>	8.06 <sup>b</sup>	0.23 <sup>c</sup>	49.6 <sup>b</sup>	12.6 <sup>b</sup>	0.25 <sup>ns</sup>
15	79.28 <sup>a</sup>	38.9 <sup>a</sup>	8.60 <sup>a</sup>	0.22 <sup>d</sup>	55.4 <sup>a</sup>	13.4 <sup>a</sup>	0.24 <sup>ns</sup>

หมายเหตุ ตัวอักษรที่ต่างกันในคอลัมน์เดียวกันแสดงว่ามีความแตกต่างอย่างมีนัยสำคัญที่  $p \leq 0.05$

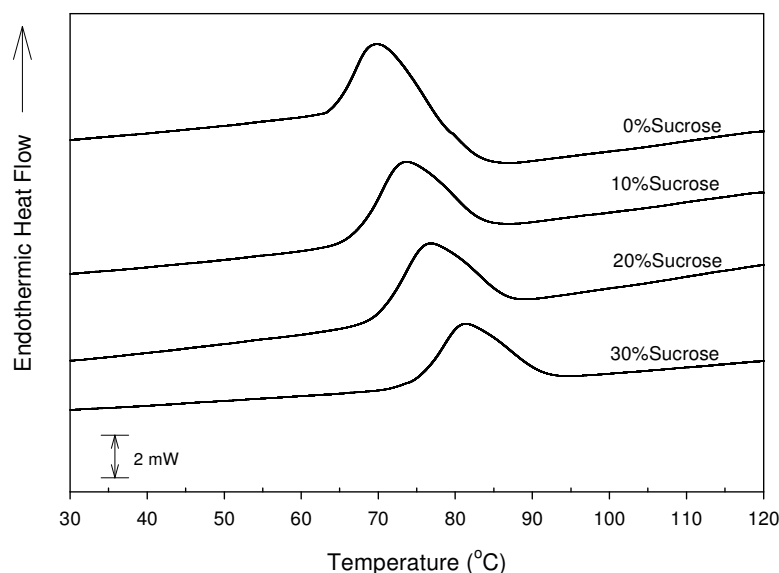
ns = not significant

จากภาพที่ 30 ขณะเริ่มต้นให้ความร้อน ตัวอย่างแป้งมันสำปะหลังในสารละลายเกลือโซเดียมคลอไรด์มีการเปลี่ยนแปลงค่า  $G'$  และ  $G''$  ในลักษณะเดียวกันกับในสภาวะที่มีน้ำตาลซูโครส และพบว่าอุณหภูมิที่ค่า  $G'$  มีค่าเท่ากับ  $G''$  ( $T_{G' = G''}$ ) มีค่าสูงขึ้นเมื่อความเข้มข้นของเกลือเพิ่มเป็น 10% โดยเพิ่มจากอุณหภูมิ 68.13 ถึง 80.29 องศาเซลเซียส และจะมีค่าลดลงเป็น 79.28 องศาเซลเซียส เมื่อความเข้มข้นของเกลือเพิ่มเป็น 15% ที่อุณหภูมิคงคล่องตัวตัวอย่างเริ่มแสดงพฤติกรรมคล้ายของแป้งมากขึ้นเนื่องจาก  $G'$  มีค่าสูงกว่า  $G''$  (ตารางที่ 9) เมื่อให้ความร้อนต่อไปทั้งค่า  $G'$  และ  $G''$  จะเพิ่มขึ้นจนมีค่าสูงสุดที่อุณหภูมิสูงขึ้นเมื่อความเข้มข้นของเกลือเพิ่มเป็น 10% ในสภาวะที่มีเกลือเข้มข้น 5% ทั้ง  $G'_{max}$  และ  $G''_{max}$  มีค่าลดลงเมื่อเทียบกับในสภาวะที่ไม่มีเกลือ แต่จะมีค่าเพิ่มขึ้นเมื่อความเข้มข้นของเกลือเพิ่มขึ้นจาก 5% จนถึง 15% จากนั้นค่า  $G'$  และ  $G''$  จะค่อยๆ ลดลงจนกระทั่งถึงอุณหภูมิที่สิ้นสุดการให้ความร้อน เมื่อมีการลดอุณหภูมิลงจาก 95 ถึง 25 องศาเซลเซียส (ภาพที่ 31)  $G''$  จะมีค่าเพิ่มขึ้นเพียงเล็กน้อยในขณะที่ค่า  $G'$  เพิ่มขึ้นเช่นเดียวกันกับในสภาวะที่มีน้ำตาลซูโครส และพบว่าทั้งค่า  $G'$ ,  $G''$  ที่อุณหภูมิ 95 และ 25 องศาเซลเซียส จะมีค่าเพิ่มขึ้นแต่  $\tan\delta$  มีค่าลดลงเมื่อความเข้มข้นของเกลือเพิ่มขึ้นจากการทดลองแสดงให้เห็นว่าการเติมเกลือโซเดียมคลอไรด์มีผลทำให้การเปลี่ยนแปลงสมบัติวั�ภากการให้ลดลงแป้งมันสำปะหลังในระหว่างการให้ความร้อนเกิดที่อุณหภูมิสูงขึ้นเนื่องจากเม็ดแป้งมีความแข็งแรงมากขึ้น และทำให้เจลแป้งมันสำปะหลังมีความแข็งแรงเพิ่มขึ้นในระหว่างการทำให้เย็น (Chiotelli *et al.*, 2002)

## 2.4 สมบัติการเกิดเจลาทีไนเซชัน

### 2.4.1 ผลของน้ำตาลซูโครัสต่อการเกิดเจลาทีไนเซชันของแป้งมันสำปะหลัง

ภาพที่ 32 แสดงถักยณะเทอร์โนมแกรมของการเกิดเจลาทีไนเซชันของแป้งมันสำปะหลังเข้มข้น 30% (โดยน้ำหนัก) ในสารละลายน้ำตาลซูโครัสเข้มข้น 0, 10, 20 และ 30% เทอร์โนมแกรมที่ได้ประกอบด้วยพิกเดิลภายในช่วงอุณหภูมิ 64-92 องศาเซลเซียส ซึ่งแสดงถึงการสูญเสียความเป็นระเบียบของโครงสร้างผลึกที่เกิดจากอะมิโลเพกทินในสภาวะที่มีปริมาณน้ำมากเกินพอ (มากกว่า 60%) ในสภาวะที่มีน้ำตาลซูโครัสพิคจะเกิดที่อุณหภูมิสูงขึ้นอย่างต่อเนื่องเมื่อความเข้มข้นของน้ำตาลซูโครัสเพิ่มขึ้น จากตารางที่ 10 พบว่าเมื่อความเข้มข้นของน้ำตาลซูโครัสเพิ่มขึ้นจาก 0 ถึง 30% อุณหภูมิเริ่มต้น (onset temperature,  $T_o$ ) อุณหภูมิที่จุดสูงสุด (peak temperature,  $T_p$ ) และอุณหภูมิสุดท้าย (conclusion temperature,  $T_c$ ) ในการเกิดเจลาทีไนเซชันของแป้งมันสำปะหลังจะเพิ่มขึ้นจาก 63.93 ถึง 75.09 องศาเซลเซียส 70 ถึง 81.27 องศาเซลเซียส และ 79.77 ถึง 91.61 องศาเซลเซียส ตามลำดับ พลังงานที่ใช้ในการเกิดเจลาทีไนเซชันมีแนวโน้มที่จะลดลงเมื่อความเข้มข้นของน้ำตาลซูโครัสเพิ่มขึ้น โดยมีค่าอยู่ในช่วง 16.26 ถึง 17.97 จูลต่อกรัม



ภาพที่ 32 ถักยณะเทอร์โนมแกรมแสดงการเกิดเจลาทีไนเซชันของแป้งมันสำปะหลังในสภาวะที่มีน้ำตาลซูโครัสเข้มข้น 0-30% เมื่อวิเคราะห์ด้วยเครื่อง DSC

**ตารางที่ 10 อุณหภูมิและพลังงานที่ใช้ในการเกิดเจลาทีไนเซชันของแป้งมันสำปะหลังในสภาวะที่มีน้ำตาลซูโครัสเพิ่มขึ้น 0-30% เมื่อวิเคราะห์ด้วยเครื่อง DSC**

Sucrose concentration (%)	Gelatinization temperature ( $^{\circ}$ C)			$\Delta H$ (J/g)
	$T_o$	$T_p$	$T_c$	
0	63.93 $\pm$ 0.18 <sup>d</sup>	70.00 $\pm$ 0.00 <sup>d</sup>	79.77 $\pm$ 0.45 <sup>d</sup>	17.97 $\pm$ 1.03 <sup>ns</sup>
10	66.76 $\pm$ 0.61 <sup>c</sup>	73.14 $\pm$ 0.47 <sup>c</sup>	85.97 $\pm$ 3.39 <sup>c</sup>	17.81 $\pm$ 1.91 <sup>ns</sup>
20	69.95 $\pm$ 0.23 <sup>b</sup>	76.53 $\pm$ 0.00 <sup>b</sup>	86.79 $\pm$ 0.06 <sup>b</sup>	17.83 $\pm$ 0.11 <sup>ns</sup>
30	75.09 $\pm$ 0.06 <sup>a</sup>	81.27 $\pm$ 0.00 <sup>a</sup>	91.61 $\pm$ 0.27 <sup>a</sup>	16.26 $\pm$ 0.00 <sup>ns</sup>

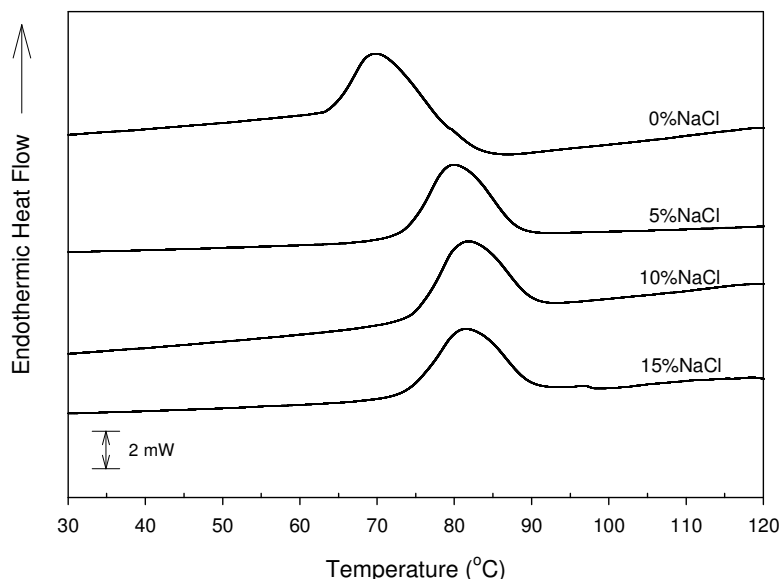
หมายเหตุ ตัวอักษรที่ต่างกันในคอลัมน์เดียวกันแสดงว่ามีความแตกต่างอย่างมีนัยสำคัญที่  $p \leq 0.05$

ns = not significant

จากการทดลองแสดงให้เห็นว่า  $\text{น้ำตาลซูโครัส}$  มีผลทำให้อุณหภูมิการเกิดเจลาทีไนเซชันของแป้งมันสำปะหลังเพิ่มสูงขึ้นอย่างมีนัยสำคัญทางสถิติ สอดคล้องกับรายงานการวิจัยซึ่งอธิบายเกี่ยวกับปฏิกิริยาระหว่างน้ำตาล แป้ง และน้ำ ว่า  $\text{น้ำตาล}$  และ  $\text{แป้ง}$  จะเกิดการเปลี่ยนแปลงทางกายภาพ เช่น การลดลงของอัตราการดูดซึมน้ำ (Botlan and Desbois, 1995) ทำให้ปริมาณน้ำอิสระ (water activity,  $a_w$ ) ในระบบลดลง (Spies and Hoseney, 1982) ทำให้ต้องใช้อุณหภูมิสูงขึ้นในการเจลาทีไนเซชัน การสร้างพันธะของ  $\text{น้ำตาล}$  ทำให้สมบัติการเป็นพลาสติกเซอร์ของ  $\text{น้ำตาล}$  (Chungcharoen and Lund, 1987) ซึ่งสัมพันธ์กับปริมาณอิสระของตัวทำละลายร่วมระหว่าง  $\text{น้ำตาล}$  กับ  $\text{แป้ง}$  และทำให้น้ำหนัก  $\text{โมเลกุล}$  เฉลี่ยของตัวทำละลายร่วมเพิ่มขึ้น การเคลื่อนตัวของ  $\text{โมเลกุล}$  ในเม็ดแป้งจะลดลง นอกจากนี้  $\text{น้ำตาล}$  ยังสามารถทำปฏิกิริยากับเม็ดแป้งในบริเวณส่วนอสัณฐานทำให้เกิดพันธะเชื่อมข้าม (crosslink หรือ sugar bridges) ซึ่งจะช่วยเสริมให้เม็ดแป้งมีความแข็งแรงมากขึ้น สายโซ่ของอะมิโลเพกตินภายในเม็ดแป้งจะเคลื่อนตัวได้อย่างจำกัด และการพองตัวของเม็ดแป้งเกิดได้ช้าลง ทำให้ต้องใช้อุณหภูมิและพลังงานที่สูงขึ้นเพื่อทำลายโครงสร้างผลึกของอะมิโลเพกตินภายในเม็ดแป้ง (Spies and Hoseney, 1982)

#### 2.4.2 ผลของเกลือโซเดียมคลอไรด์ต่อการเกิดเจลาทีไนเซชันของแป้งมันสำปะหลัง

ภาพที่ 33 แสดงลักษณะเทอร์โมแกรมของการเกิดเจลาทีไนเซชันของแป้งมันสำปะหลังเพิ่มน้ำหนัก 30% (โดยน้ำหนัก) ในสารละลายเกลือโซเดียมคลอไรด์เพิ่มน้ำหนัก 0, 5, 10 และ 15% เทอร์โมแกรมที่ได้ประกอบด้วยพีคเดียวในช่วงอุณหภูมิ 64-90 องศาเซลเซียส ในสภาวะที่มีเกลือโซเดียมคลอไรด์ อุณหภูมินในการเกิดเจลาทีไนเซชันจะเพิ่มสูงขึ้นจนกระทั่งถึงความเข้มข้นระดับหนึ่ง อุณหภูมินในการเจลาทีไนเซชันจะลดลงในขณะที่ความเข้มข้นของเกลือโซเดียมคลอไรด์เพิ่มขึ้นกว่าระดับดังกล่าว จากตารางที่ 11 พบว่าเมื่อความเข้มข้นของเกลือโซเดียมคลอไรด์เพิ่มขึ้นจาก 0 ถึง 10% อุณหภูมิเริ่มต้น ( $T_g$ ) อุณหภูมิที่สุดสูงสุด ( $T_p$ ) และอุณหภูมิสุดท้าย ( $T_c$ ) ในการเกิดเจลาทีไนเซชันของแป้งมันสำปะหลังจะเพิ่มขึ้นจาก 63.93 ถึง 75.08 องศาเซลเซียส 70 ถึง 81.40 องศาเซลเซียส และ 79.77 ถึง 89.97 องศาเซลเซียส ตามลำดับ และเมื่อความเข้มข้นของเกลือเพิ่มเป็น 15% อุณหภูมิจะลดลงจาก 75.08 เป็น 74.69 องศาเซลเซียส 81.40 เป็น 81.40 องศาเซลเซียส และ 89.97 เป็น 89.95 องศาเซลเซียส ตามลำดับ พลังงานที่ใช้ในการเกิดเจลาทีไนเซชันมีแนวโน้มที่จะลดลงเมื่อความเข้มข้นของเกลือโซเดียมคลอไรด์เพิ่มขึ้น โดยมีค่าอยู่ในช่วง 17.41 ถึง 17.97 จูลต่อกรัม



ภาพที่ 33 ลักษณะเทอร์โมแกรมแสดงการเกิดเจลาทีไนเซชันของแป้งมันสำปะหลังในสภาวะที่มีเกลือโซเดียมคลอไรด์เพิ่มน้ำหนัก 0-15% เมื่อวิเคราะห์ด้วยเครื่อง DSC

ตารางที่ 11 อุณหภูมิและพลังงานที่ใช้ในการเกิดเจลาทีไนเซชันของแป้งมันสำปะหลังในสภาวะที่มีเกลือโซเดียมคลอไรด์เพิ่มขึ้น 0-15% เมื่อวิเคราะห์ด้วยเครื่อง DSC

NaCl concentration (%)	Gelatinization temperature ( $^{\circ}\text{C}$ )			$\Delta\text{H}$ (J/g)
	$T_o$	$T_p$	$T_c$	
0	63.93 $\pm$ 0.18 <sup>c</sup>	70.00 $\pm$ 0.00 <sup>c</sup>	79.77 $\pm$ 0.45 <sup>c</sup>	17.97 $\pm$ 1.03 <sup>ns</sup>
5	73.73 $\pm$ 0.02 <sup>b</sup>	79.87 $\pm$ 0.00 <sup>b</sup>	88.23 $\pm$ 0.07 <sup>b</sup>	18.05 $\pm$ 0.50 <sup>ns</sup>
10	75.08 $\pm$ 0.21 <sup>a</sup>	81.40 $\pm$ 0.28 <sup>a</sup>	89.97 $\pm$ 0.42 <sup>a</sup>	18.49 $\pm$ 0.65 <sup>ns</sup>
15	74.69 $\pm$ 0.31 <sup>a</sup>	81.40 $\pm$ 0.10 <sup>a</sup>	89.95 $\pm$ 0.14 <sup>a</sup>	17.41 $\pm$ 0.11 <sup>ns</sup>

หมายเหตุ ตัวอักษรที่ต่างกันในคอลัมน์เดียวกันแสดงว่ามีความแตกต่างอย่างมีนัยสำคัญที่  $p \leq 0.05$

ns = not significant

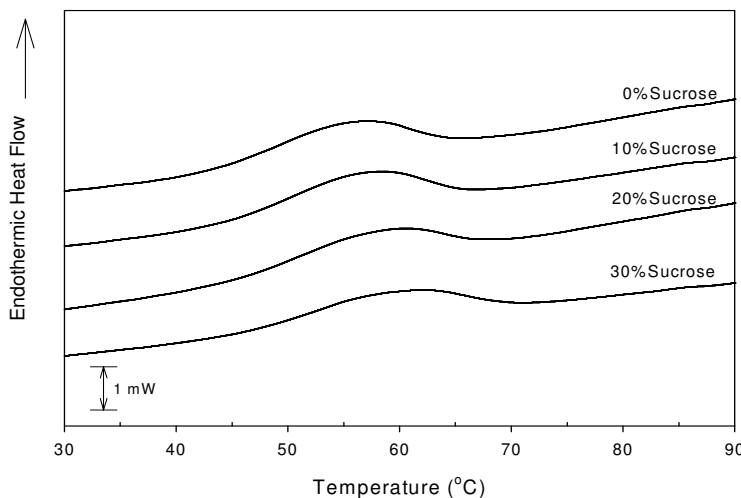
จากการทดลองแสดงให้เห็นว่าการเพิ่มความเข้มข้นของเกลือมีผลทำให้อุณหภูมิในการเจลาทีไนซ์แป้งเพิ่มขึ้นจนถึงระดับความเข้มข้นเกลือ 10% จากนั้นอุณหภูมิในการเกิดเจลาทีไนเซชันจะลดลงในขณะที่ความเข้มข้นของเกลือเพิ่มเป็น 15% สอดคล้องกับรายงานการวิจัยที่พบว่าเมื่อความเข้มข้นของเกลือโซเดียมคลอไรด์เพิ่มสูงขึ้นจนถึงระดับหนึ่งจะทำให้อุณหภูมิการเกิดเจลาทีไนเซชันเพิ่มขึ้นแต่เมื่อความเข้มข้นเพิ่มสูงขึ้นกว่านี้อุณหภูมิการเกิดเจลาทีไนเซชันของแป้งจะลดลง (Evans and Haisman, 1982; Lii and Lee, 1993; Maaurf *et al.*, 2001) Wootton and Bamunuarachchi (1980) พบว่าอุณหภูมิในการเกิดเจลาทีไนเซชันจะมีค่าสูงสุดที่ระดับความเข้มข้นของเกลือเท่ากับ 9% และการลดลงของพลังงานในการเจลาทีไนเซชันเกิดจากอิทธิพลของโซเดียมและคลอไรด์อ่อนที่มีต่อน้ำและแป้ง Jane (1993) รายงานว่าปัจจัยที่มีผลต่อกระบวนการเจลาทีไนเซชันของแป้งในสภาวะที่มีเกลือคือโครงสร้างของน้ำ และอันตรกิริยาทางไฟฟาระหว่างแป้งกับอ่อนของเกลือ โดยเกลือกลุ่มที่มีความแรงของประจุมากมีแนวโน้มในการเพิ่มโครงสร้างที่เป็นระเบียบของน้ำ และลดจำนวนโมเลกุln้ำอิสระจึงทำให้อุณหภูมิการเกิดเจลาทีไนเซชันเพิ่มขึ้น (Zobel, 1984) Oosten (1982) ตั้งสมมติฐานว่าแป้งมีสภาพเป็นกรดอ่อนเมื่อออยู่ในสารละลาย ทำให้แป้งสามารถแลกเปลี่ยนประจุกับอ่อนของเกลือได้ โดยหมุ่ไฮดรอกซิลอนโนไมเลกุลของแป้งจะส่งถ่ายโปรตอนให้น้ำ ทำให้มีดีแป้งมีประจุเป็นลบและน้ำมีประจุเป็นบวก ซึ่งจะทำให้เกิดความต่างศักย์ดอนnan (Donnan potential) ระหว่างเม็ดแป้งและน้ำ โดยเม็ดแป้งจะแสดงศักย์ไฟฟ้าเป็นลบซึ่งสามารถดึงดูดอ่อนบวกและผลักอ่อนลบจากสารละลายอิเล็กโทรไลต์ได้ อ่อนบวกจะทำให้โครงสร้างของเม็ดแป้งมีความคงตัว ในทางตรงกันข้ามอ่อนลบจะทำให้เกิดการเจลาทีไนเซชัน

โดยทำลายพันธะไฮโดรเจนระหว่างโมเลกุลของแป้ง ดังนั้นการเกิดค่าความต่างศักย์ดอนแนนระหว่างเม็ดแป้งและน้ำที่สูงขึ้น จะทำให้แป้งเจลาติไนซ์ที่อุณหภูมิสูงขึ้น ซึ่งการเติมเกลือโซเดียมคลอไรด์ลงในสารละลายน้ำแป้งโปรดอนบางตัวจากหมู่แอลกอฮอล์บนโมเลกุลของแป้งจะถูกเปลี่ยนไปเป็นหมู่แอลกอฮอล์โดยโซเดียมอิโอน หมู่แอลกอฮอล์เหล่านี้มีสมบัติแตกต่างที่คึกว่า จึงทำให้ความต่างศักย์ดอนแนนของระบบมีค่าสูงขึ้น เม็ดแป้งจึงเจลาติไนซ์ที่อุณหภูมิสูงขึ้น ทั้งนี้การแลกเปลี่ยนประจุระหว่างโมเลกุลแป้งกับโซเดียมอิโอนเป็นไปอย่างจำกัด ดังนั้นการเพิ่มขึ้นของอุณหภูมิเจลาติไนเซชันจึงเกิดขึ้นในระดับที่จำกัดด้วย เมื่อความเข้มข้นของเกลือเพิ่มขึ้น จนถึงระดับหนึ่ง อิทธิพลของคลอไรด์อิโอนจะเริ่มเด่นชัดขึ้น ทำให้แป้งเจลาติไนซ์ที่อุณหภูมิต่ำลง

## 2.5 สมบัติการเกิดริโตรเกรเดชัน

### 2.5.1 ผลของน้ำตาลชูโกรสต่อการเกิดริโตรเกรเดชันของเจลแป้งมันสำปะหลัง

ภาพที่ 34 แสดงลักษณะเทอร์โมแกรมของเจลแป้งมันสำปะหลังเข้มข้น 30% (โดยน้ำหนัก) ในสภาวะที่มีน้ำตาลชูโกรสเข้มข้น 0, 10, 20 และ 30% หลังการเก็บรักษาที่อุณหภูมิ 4 องศาเซลเซียส เป็นเวลา 7 วัน เทอร์โมแกรมที่ได้ประกอบด้วยพิกเดี้ยวในช่วงอุณหภูมิ 44-70 องศาเซลเซียส ซึ่งแสดงถึงการสูญเสียความเป็นระเบียบในโครงสร้างผลึกที่เกิดจากการจัดเรียงตัวกันใหม่ของอะมิโลเพกติน อุณหภูมิและพลังงานในการทำลายโครงสร้างผลึกในเจลแป้ง มีค่าต่ำกว่าเมื่อเทียบกับค่าที่ได้จากการเกิดเจลาติไนเซชัน แสดงให้เห็นถึงการกลับมาจัดเรียงตัวกันอย่างไม่สมบูรณ์ในโครงสร้างผลึกของอะมิโลเพกตินหลังจากเกิดเจลาติไนเซชันแล้ว ในสภาวะที่มีน้ำตาลชูโกรสพิเศษเกิดที่อุณหภูมิสูงขึ้นเมื่อความเข้มข้นของน้ำตาลชูโกรสเพิ่มขึ้น จากตารางที่ 12 และ 13 พบร่วมเมื่อความเข้มข้นของน้ำตาลชูโกรสเพิ่มขึ้นจาก 0 ถึง 30% อุณหภูมิเริ่มต้น ( $T_0$ ) อุณหภูมิที่จุดสูงสุด ( $T_p$ ) อุณหภูมิสุดท้าย ( $T_f$ ) และผลต่างระหว่างอุณหภูมิสุดท้ายและอุณหภูมิเริ่มต้น ( $\Delta T$ ) ในการทำลายโครงสร้างผลึกมีค่าเพิ่มขึ้นจาก 43.80 ถึง 46.01 องศาเซลเซียส 55.6 ถึง 59.47 องศาเซลเซียส 64.85 ถึง 70.02 องศาเซลเซียส และ 21.05 ถึง 24.01 องศาเซลเซียส ตามลำดับ การเกิดริโตรเกรเดชันมีแนวโน้มที่จะเพิ่มขึ้นเมื่อความเข้มข้นของน้ำตาลชูโกรสเพิ่มขึ้น โดยมีค่าอยู่ในช่วง 27.18 ถึง 33.09 %



ภาพที่ 34 ลักษณะเทอร์โมแกรมของเจลแป้งมันสำปะหลังในสภาวะที่มีน้ำตาลซูโครัสเข้มข้น 0-30% หลังการเก็บที่อุณหภูมิ 4 องศาเซลเซียส เป็นเวลา 7 วัน เมื่อวิเคราะห์ด้วย เครื่อง DSC

จากการวิเคราะห์การเกิดริโตรเกรเดชันของเจลแป้งมันสำปะหลัง หลังการเก็บรักษาที่อุณหภูมิ -18 องศาเซลเซียส เป็นเวลา 7 วัน ไม่พบรการเกิดริโตรเกรเดชันของเจลแป้ง (ภาพที่ 35) ในขณะที่เจลแป้งหลังการเก็บรักษาที่อุณหภูมิ 25 องศาเซลเซียส เป็นเวลา 7 วัน ริโตรเกรดเพียงเล็กน้อยเมื่อเทียบกับเจลแป้งหลังการเก็บรักษาที่ 4 องศาเซลเซียส พิกที่ได้จากการให้ความร้อนแก่เจลแป้งหลังการเก็บรักษาที่อุณหภูมิ 25 องศาเซลเซียส จะเกิดที่อุณหภูมิสูงขึ้นเมื่อความเข้มข้นของน้ำตาลซูโครัสเพิ่มขึ้น ซึ่งเมื่อความเข้มข้นของน้ำตาลซูโครัสเพิ่มจาก 0 ถึง 30% อุณหภูมิเริ่มต้น ( $T_0$ ) อุณหภูมิที่จุดสูงสุด ( $T_p$ ) อุณหภูมิสุดท้าย ( $T_f$ ) และผลต่างระหว่างอุณหภูมิสุดท้ายและอุณหภูมิเริ่มต้น ( $\Delta T$ ) 在การทำลายโครงสร้างพลิกจะเพิ่มขึ้นจาก 52.91 ถึง 57.80 องศาเซลเซียส 61.81 ถึง 66.80 องศาเซลเซียส 71.50 ถึง 77.68 องศาเซลเซียส และ 18.60 ถึง 19.88 องศาเซลเซียส ตามลำดับ การเกิดริโตรเกรเดชันจะเพิ่มขึ้นเมื่อความเข้มข้นของน้ำตาลซูโครัสเพิ่มขึ้น โดยมีค่าอยู่ในช่วง 0.83 ถึง 4.46% และพบว่าอุณหภูมิในการทำลายโครงสร้างพลิกของเจลแป้งมันสำปะหลัง หลังการเก็บที่ 25 องศาเซลเซียส จะมีค่าสูงกว่าเมื่อเทียบกับการเก็บที่ 4 องศาเซลเซียส แสดงให้เห็นว่าการเก็บเจลแป้งมันสำปะหลังที่อุณหภูมิสูงมีผลทำให้โครงสร้างพลิก มีความแข็งแรงกว่า แต่ผลต่างระหว่างอุณหภูมิสุดท้ายและอุณหภูมิเริ่มต้น ( $\Delta T$ ) มีค่าต่ำกว่า แสดงให้เห็นว่าการเก็บเจลแป้งมันสำปะหลังที่อุณหภูมิสูงจะส่งผลให้เกิดโครงสร้างพลิกที่มีความสม่ำเสมอกว่า

**ตารางที่ 12** อุณหภูมิที่ใช้ในการทำลายโครงสร้างผลึกในเจลเปลี่ยนมันสำปะหลังในสภาวะที่มีน้ำตาลซูโครัสเข้มข้น 0-30% หลังการเก็บรักษาที่อุณหภูมิ -18, 4 และ 25 องศาเซลเซียส เป็นเวลา 7 วัน เมื่อวิเคราะห์ด้วยเครื่อง DSC

Transition temperature (°C)	Sucrose concentration (%)	Storage temperature (°C)			
		-18	4	25	Average
$T_o$	0	nd	43.80 ± 0.03	52.91 ± 0.78	48.35 <sup>c</sup>
	10	nd	44.50 ± 0.21	53.44 ± 0.33	48.97 <sup>bc</sup>
	20	nd	45.39 ± 0.08	54.88 ± 1.80	50.13 <sup>b</sup>
	30	nd	46.01 ± 0.09	57.80 ± 0.40	51.90 <sup>a</sup>
	Average	nd	44.92 <sup>b</sup>	54.76 <sup>a</sup>	
$T_p$	0	nd	55.60 ± 0.00	61.81 ± 1.97	58.70 <sup>c</sup>
	10	nd	56.67 ± 0.19	63.20 ± 0.57	59.93 <sup>bc</sup>
	20	nd	58.47 ± 0.09	63.67 ± 0.09	61.07 <sup>b</sup>
	30	nd	59.47 ± 0.19	66.80 ± 1.70	63.13 <sup>a</sup>
	Average	nd	57.55 <sup>b</sup>	63.87 <sup>a</sup>	
$T_c$	0	nd	64.85 ± 0.69	71.50 ± 1.37	68.18 <sup>c</sup>
	10	nd	66.50 ± 0.52	71.34 ± 2.74	68.92 <sup>bc</sup>
	20	nd	67.62 ± 0.21	74.15 ± 0.07	70.88 <sup>b</sup>
	30	nd	70.02 ± 0.32	77.68 ± 1.21	73.85 <sup>a</sup>
	Average	nd	67.24 <sup>b</sup>	73.67 <sup>a</sup>	
$\Delta T$	0	nd	21.05 ± 0.66	18.60 ± 2.16	19.83 <sup>ns</sup>
	10	nd	22.00 ± 0.73	17.90 ± 2.41	19.95 <sup>ns</sup>
	20	nd	22.23 ± 0.28	19.28 ± 1.73	20.75 <sup>ns</sup>
	30	nd	24.01 ± 0.23	19.88 ± 1.61	21.94 <sup>ns</sup>
	Average	nd	22.32 <sup>a</sup>	18.91 <sup>b</sup>	

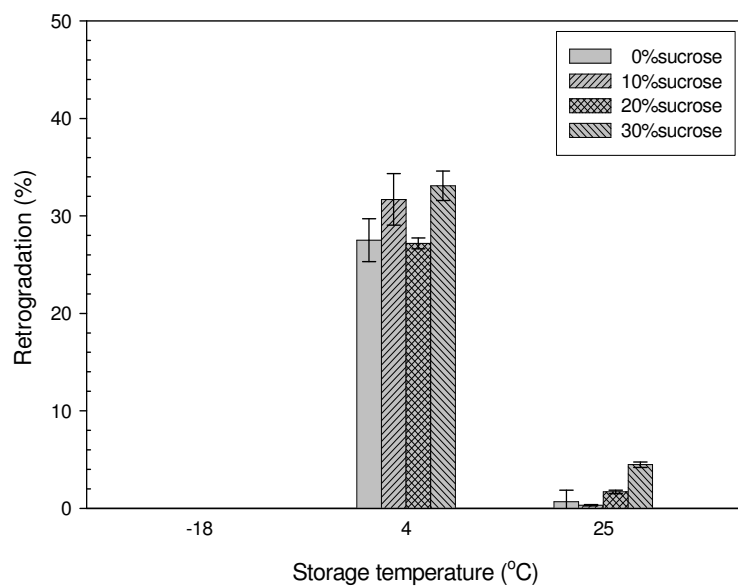
**หมายเหตุ** ตัวอักษรพิมพ์เล็กที่ต่างกันในแถวเดียวกัน และตัวอักษรพิมพ์ใหญ่ที่ต่างกันในคอลัมน์เดียวกันแสดงว่ามีความแตกต่างอย่างมีนัยสำคัญที่  $P \leq 0.05$

$$\Delta T = T_c - T_o \text{ (°C)}, \text{ nd} = \text{not detectable}, \text{ ns} = \text{not significant}$$

**ตารางที่ 13** ร้อยละการเกิดรีไทร์กรเดชันของเจลแป้งมันสำปะหลังในสภาวะที่มีน้ำตาลซูโครัส  
เพิ่มขึ้น 0-30% หลังการเก็บรักษาที่อุณหภูมิ -18, 4 และ 25 องศาเซลเซียส  
เป็นเวลา 7 วัน

Sucrose concentration (%)	Retrogradation (%)		
	-18°C	4°C	25°C
0	0.00 ± 0.00 <sup>b, NS</sup>	27.51 ± 2.20 <sup>a, NS</sup>	0.83 ± 1.16 <sup>b, B</sup>
10	0.00 ± 0.00 <sup>b, NS</sup>	31.69 ± 2.66 <sup>a, NS</sup>	0.49 ± 0.06 <sup>b, B</sup>
20	0.00 ± 0.00 <sup>c, NS</sup>	27.18 ± 0.56 <sup>a, NS</sup>	1.68 ± 0.19 <sup>b, B</sup>
30	0.00 ± 0.00 <sup>c, NS</sup>	33.09 ± 1.52 <sup>a, NS</sup>	4.46 ± 0.29 <sup>b, A</sup>

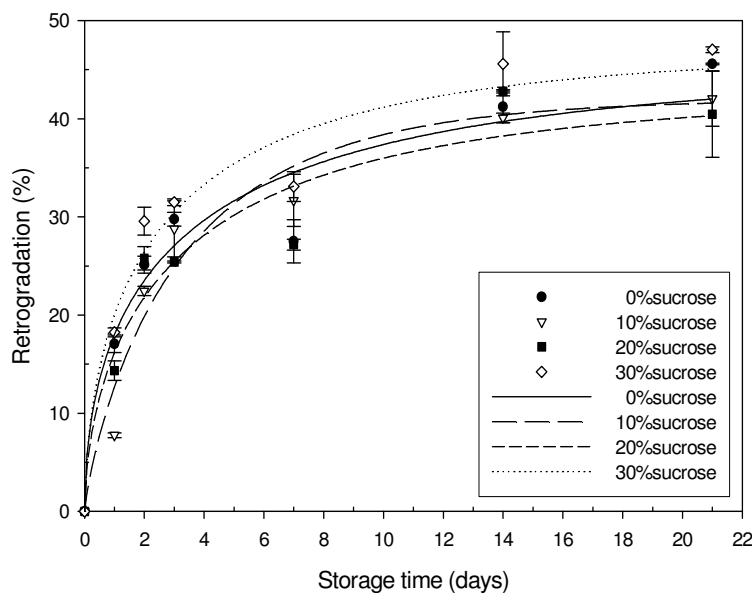
**หมายเหตุ** ตัวอักษรพิมพ์เล็กที่ต่างกันในแถวเดียวกัน และตัวอักษรพิมพ์ใหญ่ที่ต่างกันในคอลัมน์  
เดียวกันแสดงว่ามีความแตกต่างอย่างมีนัยสำคัญที่  $p \leq 0.05$ , ns = not significant



**ภาพที่ 35** ผลของน้ำตาลซูโครัสเพิ่มขึ้น 0-30% ต่อร้อยละการเกิดรีไทร์กรเดชันของเจลแป้ง  
มันสำปะหลัง หลังการเก็บรักษาที่อุณหภูมิ -18, 4 และ 25 องศาเซลเซียส  
เป็นเวลา 7 วัน

การเก็บรักษาเจลแป้งมันสำปะหลังในสภาวะที่มีน้ำตาลชูโครสที่อุณหภูมิต่างกันมีผลต่อการเกิดริโโทรเกรเดชันอย่างมีนัยสำคัญทางสถิติ โดยพบว่าเจลแป้งริโตรเกรดได้ดีที่สุดที่อุณหภูมิ 4 องศาเซลเซียส รองลงมาคือที่อุณหภูมิ 25 องศาเซลเซียส และไม่ริโตรเกรดเมื่อเก็บที่อุณหภูมิ -18 องศาเซลเซียส นอกจากนี้การเก็บรักษาเจลแป้งมันสำปะหลังที่อุณหภูมิสูงยังมีผลต่อการเพิ่มขึ้นของอุณหภูมิในการทำลายโครงสร้างผลึกอย่างมีนัยสำคัญทางสถิติ ความเข้มข้นของน้ำตาลชูโครสที่เพิ่มขึ้นจาก 0 ถึง 30% มีแนวโน้มที่จะทำให้เจลแป้งริโตรเกรดเพิ่มขึ้นหลังการเก็บรักษาที่อุณหภูมิ 4 และ 25 องศาเซลเซียส การกลับมาจัดเรียงตัวกันใหม่ (recrystallization) ขององค์ประกอบต่าง ๆ ในเจลขึ้นอยู่กับปฏิกิริยาระหว่างน้ำตาลกับน้ำ และน้ำตาลกับแป้ง (Prokopowich and Biliaderis, 1995) Hoover and Senanayake (1996) รายงานว่าน้ำตาลจะสร้างพันธะกับหมูไอดรอกซิลอนสายโซ่ของกิงอะมิโลเพกตินที่อยู่ใกล้กัน เจลแป้งจึงเกิดริโตรเกรเดชันได้เพิ่มขึ้น

จากการศึกษาผลของระยะเวลาการเก็บรักษาต่อการเกิดริโตรเกรเดชันที่อุณหภูมิ 4 องศาเซลเซียส ซึ่งเป็นอุณหภูมิที่แป้งริโตรเกรดได้สูงที่สุด โดยเก็บเป็นระยะเวลา 0-21 วัน พบว่าระยะเวลาในการเก็บรักษามีผลต่อการเกิดริโตรเกรเดชันอย่างมีนัยสำคัญทางสถิติ เจลแป้งริโตรเกรดได้เพิ่มขึ้นเมื่อเก็บเป็นระยะเวลานานขึ้น โดยมีค่าเพิ่มขึ้นจาก 0 ถึง 45.58% 0 ถึง 42.05% 0 ถึง 42.79% และ 0 ถึง 47.03% ในสภาวะที่มีน้ำตาลชูโครสเข้มข้น 0%, 10%, 20% และ 30% ตามลำดับ (ภาพที่ 36) และพบว่าการเกิดริโตรเกรเดชันของเจลแป้งมันสำปะหลังมีแนวโน้มที่จะเพิ่มขึ้นเมื่อความเข้มข้นของน้ำตาลชูโครสเพิ่มขึ้น โดยเฉพาะในช่วงสองถึงสามวันแรกของการเก็บรักษา



ภาพที่ 36 ผลของน้ำตาลซูโครัสเพิ่มขึ้น 0-30% ต่อร้อยละการเกิดรีไทร์เกรเดชันของเจลแป้ง มันสำปะหลัง หลังการเก็บรักษาที่อุณหภูมิ 4 องศาเซลเซียส เป็นเวลา 0-21 วัน (เส้นกราฟแสดงค่าที่ได้จากการวิเคราะห์ด้วยสมการ Avrami)

อัตราการเกิดรีไทร์เกรเดชันในเจลแป้งสามารถวิเคราะห์ได้โดยใช้สมการ Avrami (ดังสมการที่ 1) ค่าคงที่  $k$  จะแสดงถึงค่าคงที่ของอัตราการเกิดรีไทร์เกรเดชัน ค่าคงที่  $n$  หรือ Avrami exponent จะแสดงถึงลักษณะการเกิดโครงสร้างผลึกในเจลแป้ง ค่าคงที่  $k$  และ  $n$  ที่ได้จากสมการสามารถคำนวณหาค่า half-time ( $t_{1/2}$ ) ของการเกิดรีไทร์เกรเดชันหรือเวลาที่เจลแป้งรีไทร์เกรดได้ 50 % ของการเกิดรีไทร์เกรเดชันสูงสุด (ดังสมการที่ 2) จากตารางที่ 14 พบว่าเจลแป้งในสภาวะที่ไม่มีน้ำตาลซูโครัสจะรีไทร์เกรดได้ 50% ภายในเวลา 1.83 วัน เมื่อความเข้มข้นของน้ำตาลซูโครัสเพิ่มขึ้น เจลแป้งมีแนวโน้มที่จะเกิดรีไทร์เกรเดชันได้เร็วขึ้นเมื่อเทียบกับสภาวะที่ไม่มีน้ำตาลซูโครัส ดังจะเห็นได้จากค่า  $k$  ที่เพิ่มขึ้น และค่า  $t_{1/2}$  ที่ลดลง

$$\frac{\%R_{\infty} - \%R_t}{\%R_{\infty} - \%R_0} = \exp(-kt^n) \quad (1)$$

เมื่อ  $\%R_{\infty}$  หมายถึง ร้อยละการเกิดรีไทรเดชันสูงสุด  
 $\%R_t$  หมายถึง ร้อยละการเกิดรีไทรเดชันที่เวลาใด ๆ  
 $\%R_0$  หมายถึง ร้อยละการเกิดรีไทรเดชันที่เวลาเริ่มต้น (0 วัน)

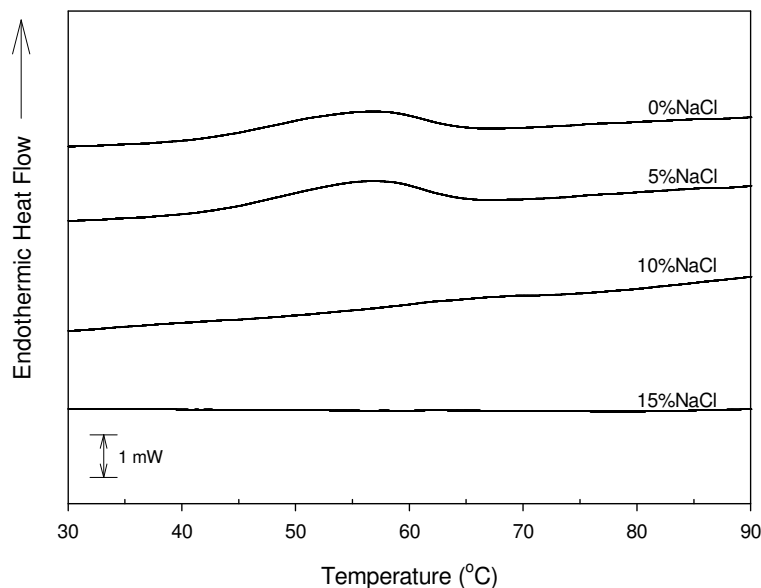
$$t_{1/2} = (-\ln 0.5 / k)^{1/n} \quad (2)$$

ตารางที่ 14 ค่าคงที่สำหรับการเกิดรีไทรเดชันของเจลแป้งมันสำปะหลังในสภาวะที่มีน้ำตาลซูโครสเข้มข้น 0-30% หลังการเก็บรักษาที่อุณหภูมิ 4 องศาเซลเซียส เป็นเวลา 0-21 วัน  
 จากการวิเคราะห์ด้วยสมการ Avrami

Sucrose concentration (%)	% Maximum retrogradation	Avrami exponent (n)	Rate constant (k, day <sup>-1</sup> )	Half-time (t <sub>1/2</sub> , days)	Coefficient of determination (r <sup>2</sup> )
0	45.58	0.53	0.50	1.83	0.946
10	42.05	0.83	0.36	2.21	0.961
20	42.79	0.59	0.47	1.19	0.942
30	47.03	0.57	0.56	1.47	0.967

### 2.5.2 ผลของเกลือโซเดียมคลอไรด์ต่อการเกิดริโตรเกรเดชันของเจลแป้งมันสำปะหลัง

ภาพที่ 37 แสดงลักษณะเทอร์โมแกรมของเจลแป้งมันสำปะหลังเข้มข้น 30% (โดยน้ำหนัก) ในสภาวะที่มีเกลือโซเดียมคลอไรด์เพิ่มขึ้น 0, 5, 10 และ 15% หลังการเก็บรักษาที่ อุณหภูมิ 4 องศาเซลเซียส เป็นเวลา 7 วัน เทอร์โมแกรมที่ได้ประกอบด้วยพิกัดเยาว์ในช่วงอุณหภูมิ 44-78 องศาเซลเซียส ซึ่งแสดงถึงการสูญเสียความเป็นระเบียบในโครงสร้างผลึกที่เกิดจากการจัดเรียงตัวกันใหม่ของอะมิโลเพกทิน อุณหภูมิและพลังงานในการทำลายโครงสร้างผลึกในเจลแป้ง มีค่าต่ำกว่าเมื่อเทียบกับค่าที่ได้จากการเกิดเจลาทีนเซชัน ซึ่งแสดงให้เห็นถึงการกลับมาจัดเรียงตัว กันอย่างไม่สมบูรณ์ในโครงสร้างผลึกของอะมิโลเพกทินหลังจากเกิดเจลาทีนเซชันแล้ว ในสภาวะ ที่มีเกลือโซเดียมคลอไรด์พิเศษที่อุณหภูมิสูงขึ้นเมื่อความเข้มข้นของเกลือโซเดียมคลอไรด์ เพิ่มขึ้นถึงระดับความเข้มข้นหนึ่งและไม่พบรูปพิกัดขึ้นเมื่อความเข้มข้นของเกลือโซเดียมคลอไรด์ เพิ่มสูงกว่าระดับดังกล่าว จากตารางที่ 15 และ 16 พบว่าเมื่อความเข้มข้นของเกลือโซเดียมคลอไรด์ เพิ่มขึ้นจาก 0 ถึง 10% อุณหภูมิเริ่มต้น ( $T_0$ ) อุณหภูมิที่จุดสูงสุด ( $T_p$ ) อุณหภูมิสุดท้าย ( $T_f$ ) และ พลต่างระหว่างอุณหภูมิสุดท้ายและอุณหภูมิเริ่มต้น ( $\Delta T$ ) ในการทำลายโครงสร้างผลึกมีค่าเพิ่มขึ้น จาก 43.80 ถึง 56.89 องศาเซลเซียส 55.6 ถึง 66.07 องศาเซลเซียส 64.85 ถึง 78.12 องศาเซลเซียส และ 21.05 ถึง 21.23 องศาเซลเซียส ตามลำดับ และการเกิดริโตรเกรเดชันจะลดลงเมื่อความเข้มข้น ของเกลือโซเดียมคลอไรด์เพิ่มขึ้นจาก 0 ถึง 10% โดยมีค่าลดลงจาก 27.51 เป็น 2.48 % และไม่มีพิกัดขึ้นเมื่อความเข้มข้นของเกลือเพิ่มเป็น 15% แสดงให้เห็นว่าเกลือโซเดียมคลอไรด์เพิ่มขึ้น 15% สามารถยับยั้งการเกิดริโตรเกรเดชันได้อย่างสมบูรณ์



ภาพที่ 37 ลักษณะเทอร์โมแกรมของเจลแป้งมันสำปะหลังในสภาวะที่มีเกลือโซเดียมคลอไรด์เข้มข้น 0-15% หลังการเก็บรักษาที่อุณหภูมิ 4 องศาเซลเซียส เป็นเวลา 7 วัน เมื่อวิเคราะห์ด้วยเครื่อง DSC

เจลแป้งมันสำปะหลัง หลังการเก็บรักษาที่อุณหภูมิ -18 องศาเซลเซียส เป็นเวลา 7 วัน ไม่เกิดรีไทร์เกรเดชัน ในขณะที่เจลแป้งในสภาวะที่ไม่มีเกลือโซเดียมคลอไรด์หลังการเก็บรักษาที่อุณหภูมิ 25 องศาเซลเซียส เป็นเวลา 7 วันเท่านั้นที่รีไทร์เกรดเพียงเล็กน้อยเมื่อเทียบกับเจลแป้งซึ่งเก็บที่ 4 องศาเซลเซียส โดยการเติมเกลือโซเดียมคลอไรด์ในทุกระดับความเข้มข้นมีผลในการยับยั้งการเกิดรีไทร์เกรเดชันที่อุณหภูมิ 25 องศาเซลเซียส (ภาพที่ 38)

ตารางที่ 15 อุณหภูมิที่ใช้ในการทำลายโครงสร้างผลึกในเจลแป้งมันสำปะหลังในสภาวะที่มีเกลือโซเดียมคลอไรด์เข้มข้น 0-15% หลังการเก็บรักษาที่อุณหภูมิ -18, 4 และ 25 องศาเซลเซียส เป็นเวลา 7 วัน เมื่อวิเคราะห์ด้วยเครื่อง DSC

Transition	NaCl temperature (°C)	concentration (%)	Storage temperature (°C)		
			-18	4	25
$T_o$	0	nd	$43.80 \pm 0.03^{\text{b,B}}$	$52.91 \pm 0.78^{\text{a}}$	
	5	nd	$42.30 \pm 0.10^{\text{c}}$	nd	
	10	nd	$56.89 \pm 0.73^{\text{a}}$	nd	
	15	nd	nd	nd	
$T_p$	0	nd	$55.60 \pm 0.00^{\text{b,B}}$	$61.81 \pm 1.97^{\text{a}}$	
	5	nd	$56.14 \pm 0.19^{\text{b}}$	nd	
	10	nd	$66.07 \pm 0.28^{\text{a}}$	nd	
	15	nd	nd	nd	
$T_c$	0	nd	$64.85 \pm 0.69^{\text{b,B}}$	$71.50 \pm 1.37^{\text{a}}$	
	5	nd	$64.82 \pm 0.07^{\text{b}}$	nd	
	10	nd	$78.12 \pm 0.32^{\text{a}}$	nd	
	15	nd	nd	nd	
$\Delta T$	0	nd	$21.05 \pm 0.66^{\text{ns,NS}}$	$18.60 \pm 2.16^{\text{ns}}$	
	5	nd	$22.52 \pm 0.17^{\text{ns}}$	nd	
	10	nd	$21.23 \pm 1.05^{\text{ns}}$	nd	
	15	nd	nd	nd	

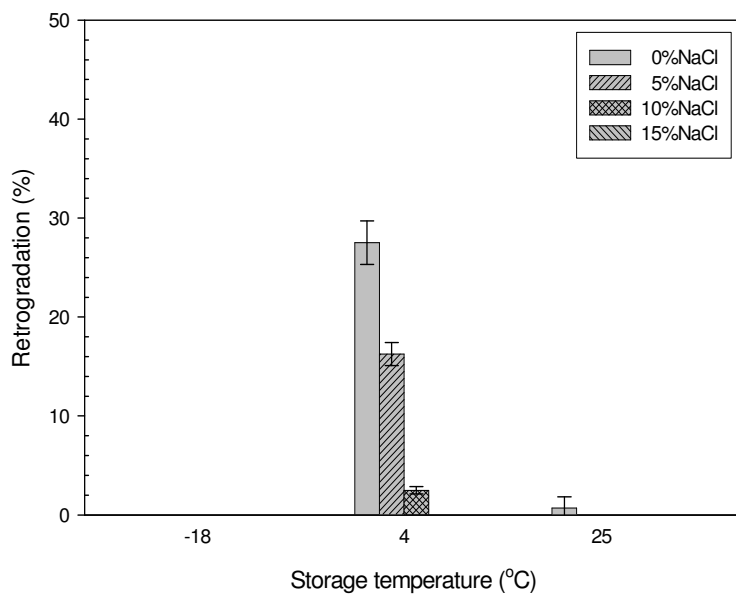
หมายเหตุ ตัวอักษรพิมพ์เล็กที่ต่างกันในแถวเดียวกัน และตัวอักษรพิมพ์ใหญ่ที่ต่างกันในคอลัมน์เดียวกันแสดงว่ามีความแตกต่างอย่างมีนัยสำคัญที่  $P \leq 0.05$

$$\Delta T = T_c - T_o \text{ (°C)}, \text{ nd} = \text{not detectable}, \text{ ns} = \text{not significant}$$

**ตารางที่ 16** ร้อยละการเกิดริโตรเกรเดชันของเจลแป้งมันสำปะหลังในสภาวะที่มีเกลือโซเดียมคลอไรด์เข้มข้น 0-15% หลังการเก็บรักษาที่อุณหภูมิ -18, 4 และ 25 องศาเซลเซียส เป็นเวลา 7 วัน

NaCl concentration (%)	Retrogradation (%)		
	-18 °C	4 °C	25 °C
0	0.00 ± 0.00 <sup>b,NS</sup>	27.51 ± 2.20 <sup>a,A</sup>	0.83 ± 1.16 <sup>b,NS</sup>
5	0.00 ± 0.00 <sup>b,NS</sup>	20.18 ± 1.16 <sup>a,B</sup>	0.00 ± 0.00 <sup>b,NS</sup>
10	0.00 ± 0.00 <sup>b,NS</sup>	2.48 ± 0.37 <sup>a,C</sup>	0.00 ± 0.00 <sup>b,NS</sup>
15	0.00 ± 0.00 <sup>ns,NS</sup>	0.00 ± 0.00 <sup>ns,C</sup>	0.00 ± 0.00 <sup>ns,NS</sup>

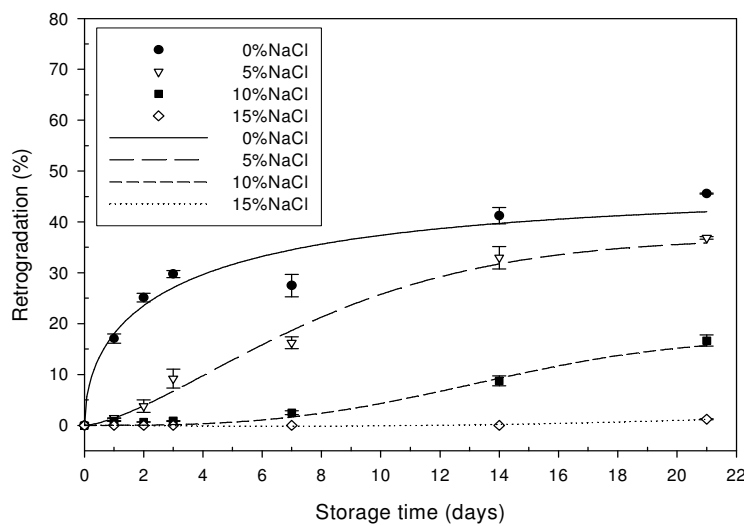
หมายเหตุ ตัวอักษรพิมพ์เล็กที่ต่างกันในแถวเดียวกัน และตัวอักษรพิมพ์ใหญ่ที่ต่างกันในคอลัมน์เดียวกันแสดงว่ามีความแตกต่างอย่างมีนัยสำคัญที่  $p \leq 0.05$ , ns = not significant



**ภาพที่ 38** ผลของเกลือโซเดียมคลอไรด์เข้มข้น 0-15% ต่อร้อยละการเกิดริโตรเกรเดชันของเจลแป้งมันสำปะหลัง หลังการเก็บรักษาที่อุณหภูมิ -18, 4 และ 25 องศาเซลเซียส เป็นระยะเวลา 7 วัน

การเก็บรักษาเจลแป้งมันสำปะหลังในสภาวะที่มีเกลือโซเดียมคลอไรด์ที่อุณหภูมิต่างกันมีผลต่อการเกิดริโโทรเกรเดชันอย่างมีนัยสำคัญทางสถิติ โดยพบว่าเจลแป้งริโตรเกรดได้ดีที่สุดที่อุณหภูมิ 4 องศาเซลเซียส รองลงมาคือที่อุณหภูมิ 25 องศาเซลเซียส และไม่เกิดริโตรเกรเดชันเมื่อเก็บที่อุณหภูมิ -18 องศาเซลเซียส การเก็บรักษาที่อุณหภูมิ 4 องศาเซลเซียส เจลแป้งมันสำปะหลังริโตรเกรดได้ลดลงเมื่อความเข้มข้นของเกลือโซเดียมคลอไรด์เพิ่มขึ้นโดยเฉพาะที่ระดับความเข้มข้น 15% พบร่วมกันของการเก็บรักษาที่อุณหภูมิ 4 องศาเซลเซียส เจลแป้งมันสำปะหลังริโตรเกรดได้เพียงเล็กน้อยและพบว่าการเติมเกลือโซเดียมคลอไรด์ในทุกระดับความเข้มข้นจะมีผลยับยั้งการเกิดริโตรเกรเดชันได้อย่างสมบูรณ์ และไม่พบร่วมกันของการวิจัยของ Russell and Oliver (1989) ซึ่งรายงานว่าเกลือโซเดียมคลอไรด์จะยับยั้งการกลับมาจัดเรียงตัวกันใหม่ของอะมิโลเพกตินที่กระจายอยู่ในเจลแป้งในระหว่างการเก็บรักษาโดยโซเดียมօโซนและคลอไรด์օโซนอาจมีการสร้างพันธะบางส่วนกับโนเดกูลแป้งและนำซึ่งจะป้องกันไม่ให้โนเดกูลแป้งกลับมาจัดเรียงตัวกันใหม่

จากการศึกษาผลของระยะเวลาการเก็บรักษาต่อการเกิดริโตรเกรเดชันที่อุณหภูมิ 4 องศาเซลเซียส ซึ่งเป็นอุณหภูมิที่เกิดริโตรเกรเดชันดีที่สุด โดยเก็บเป็นระยะเวลา 0-21 วัน พบว่าระยะเวลาในการเก็บรักษามีผลต่อการเกิดริโตรเกรเดชันอย่างมีนัยสำคัญทางสถิติ โดยเจลแป้งจะเกิดริโตรเกรเดชันได้เพิ่มขึ้นเมื่อเก็บเป็นระยะเวลานานขึ้น โดยมีค่าเพิ่มขึ้นจาก 0 ถึง 45.58% 0 ถึง 36.85% 0 ถึง 16.88% และ 0 ถึง 1.22% ในสภาวะที่มีเกลือเข้มข้น 0%, 5%, 10% และ 15% ตามลำดับ (ภาพที่ 39) และพบว่าในทุกระยะเวลาการเก็บรักษา ความเข้มข้นของเกลือโซเดียมคลอไรด์ที่เพิ่มขึ้นจะมีผลต่อการเกิดริโตรเกรเดชันอย่างมีนัยสำคัญทางสถิติ โดยการเกิดริโตรเกรเดชันจะมีค่าลดลงเมื่อความเข้มข้นของเกลือโซเดียมคลอไรด์เพิ่มขึ้น



ภาพที่ 39 ผลของเกลือโซเดียมคลอไรด์เข้มข้น 0-15% ต่อร้อยละการเกิดรีไทร์เกรเดชันของเจลแป้งมันสำปะหลัง หลังการเก็บรักษาที่อุณหภูมิ 4 องศาเซลเซียส เป็นเวลา 0-21 วัน (เส้นกราฟแสดงค่าที่ได้จากการวิเคราะห์ด้วยสมการ Avrami)

จากการวิเคราะห์อัตราการเกิดรีไทร์เกรเดชันด้วยสมการ Avrami (ตารางที่ 17) เมื่อความเข้มข้นของเกลือโซเดียมคลอไรด์เพิ่มขึ้น เจลแป้งจะมีอัตราการเกิดรีไทร์เกรเดชันลดลง และมีค่า half-times ของการเกิดรีไทร์เกรเดชันเพิ่มขึ้นตามลำดับ แสดงให้เห็นว่าการเพิ่มความเข้มข้นของเกลือโซเดียมคลอไรด์ มีผลทำให้เจลแป้งมันสำปะหลังเกิดรีไทร์เกรเดชันได้ช้าลง

ตารางที่ 17 ค่าคงที่สำหรับการเกิดรีไทร์เกรเดชันของเจลแป้งมันสำปะหลังในสภาวะที่มีเกลือโซเดียมคลอไรด์เข้มข้น 0-15% หลังการเก็บรักษาที่อุณหภูมิ 4 องศาเซลเซียส เป็นเวลา 0-21 วัน จากการวิเคราะห์ด้วยสมการ Avrami

NaCl concentration (%)	% Maximum retrogradation	Avrami exponent (n)	Rate constant (k, day <sup>-1</sup> )	Half-time (t <sub>1/2</sub> , days)	Coefficient of determination (r <sup>2</sup> )
0	45.58	0.53	0.5000	1.83	0.946
5	36.85	1.48	0.0394	6.91	0.989
10	16.88	2.96	0.0003	13.40	0.984
15	1.22	nd	nd	nd	nd

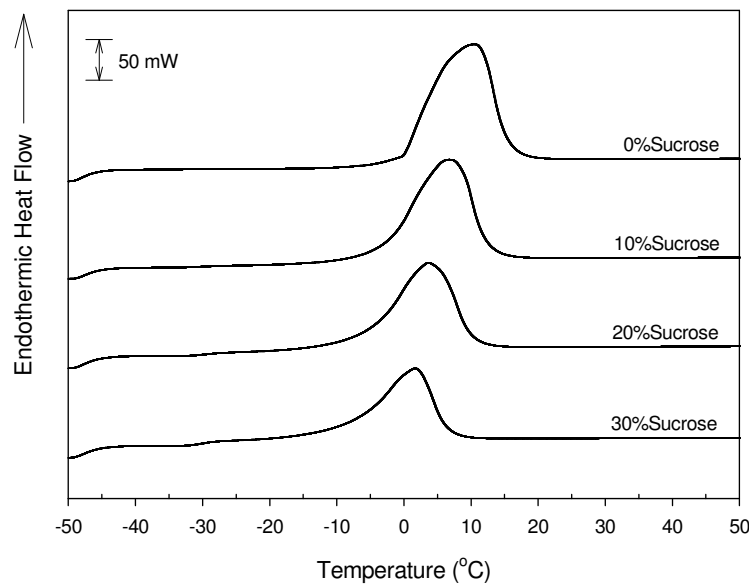
หมายเหตุ nd = not detectable

## 2.6 การเปลี่ยนสถานะของน้ำแข็งและปริมาณน้ำที่แข็งตัวได้

การเติมตัวถูกคละลายลงในน้ำจะทำให้โนเมเลกุลของน้ำเกิดการเปลี่ยนแปลงทั้งสมบัติทางกายภาพและทางเคมีซึ่งจะมีผลต่อสมบัติของสารละลายที่ได้ ในส่วนของสมบัติทางกายภาพของน้ำที่เปลี่ยนไปตามปริมาณของตัวถูกคละลายเรียกว่า colligative properties เช่น จุดเยือกแข็งของน้ำซึ่งในระหว่างการแข็งเยือกแข็งโนเมเลกุลน้ำที่ไม่เกิดพันธะกับตัวถูกคละลายจะเปลี่ยนสภาพไปเป็นผลึกน้ำแข็งได้ซึ่งจัดเป็นน้ำที่แข็งตัวได้ (freezable water) สารละลายที่เหลือจะมีความเข้มข้นมากขึ้นพร้อมกับอุณหภูมิจะลดลงเรื่อยๆ เมื่อความเข้มข้นของสารละลายถึงจุดหนึ่ง ของแข็งและน้ำที่ไม่แข็งตัวจะแยกออกจาก หรือน้ำและของแข็งจะแข็งตัวพร้อมกัน จากจุดนี้ไปอุณหภูมิของสารละลายจะไม่ลดลงอีก (ณรงค์, 2538; วีโอล, 2545)

### 2.6.1 ผลของน้ำตาลซูโครสต่อการเปลี่ยนสถานะของน้ำแข็งและปริมาณน้ำที่แข็งตัวได้ในน้ำแข็งและเจลแข็งมันสำปะหลัง

ภาพที่ 40 แสดงลักษณะเทอร์โมแกรมของการหลอมเหลวผลึกน้ำแข็งในน้ำแข็งมันสำปะหลัง เมื่อวิเคราะห์ด้วยเครื่อง DSC เทอร์โมแกรมที่ได้ประกอบด้วยพิกเดียวนิช่วงอุณหภูมิ -8 ถึง 16 องศาเซลเซียส ซึ่งแสดงถึงอุณหภูมิที่ใช้ในการหลอมเหลวผลึกน้ำแข็งหรืออุณหภูมิที่น้ำแข็งตัวได้ อุณหภูมิที่ใช้ในการหลอมเหลวผลึกน้ำแข็งจะมีค่าลดลงอย่างต่อเนื่องเมื่อความเข้มข้นของน้ำตาลซูโครสเพิ่มขึ้น จากตารางที่ 18 พบว่าเมื่อความเข้มข้นของน้ำตาลซูโครสเพิ่มขึ้นจาก 0 ถึง 30% ปริมาณน้ำที่แข็งตัวได้ซึ่งคำนวณจากค่าพลังงานที่ใช้หลอมเหลวผลึกน้ำแข็งมีค่าลดลงจาก 85.35 เป็น 62.77 กรัมต่อน้ำ 100 กรัม



ภาพที่ 40 ลักษณะเทอร์โมแกรมแสดงการหลอมเหลวของผลึกน้ำแข็งในน้ำเปล่ามั่นสำปะหลัง ในสภาวะที่มีน้ำตาลซูครัสเข้มข้น 0-30% เมื่อวิเคราะห์ด้วยเครื่อง DSC

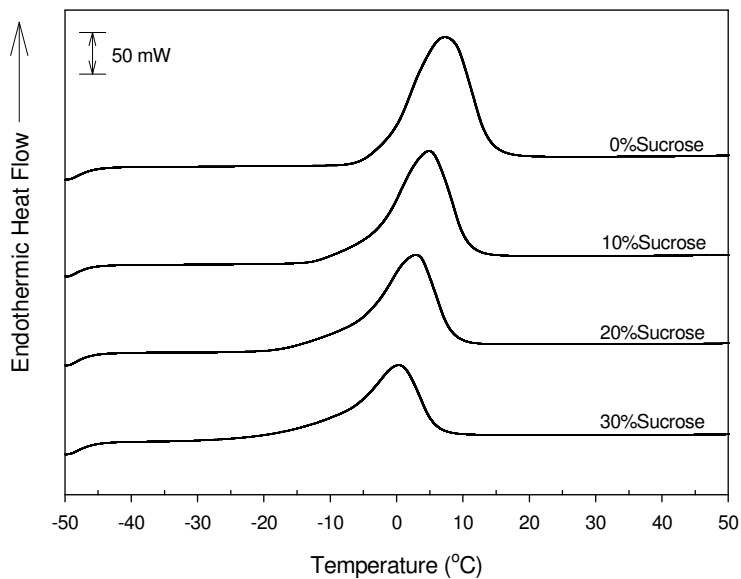
ตารางที่ 18 อุณหภูมิที่ใช้ในการหลอมเหลวผลึกน้ำแข็งและปริมาณน้ำที่แข็งตัวได้ในน้ำเปล่ามั่นสำปะหลังในสภาวะที่มีน้ำตาลซูครัสเข้มข้น 0-30% เมื่อวิเคราะห์ด้วยเครื่อง DSC

Sucrose concentration (%)	Ice melting temperature (°C)			Freezable water (g/100g water)
	T <sub>o</sub>	T <sub>p</sub>	T <sub>c</sub>	
0	-0.17 ± 0.35 <sup>a</sup>	10.00 ± 0.57 <sup>a</sup>	16.18 ± 1.13 <sup>a</sup>	85.35 ± 1.92 <sup>a</sup>
10	-3.09 ± 0.05 <sup>b</sup>	7.00 ± 0.47 <sup>b</sup>	12.70 ± 0.71 <sup>b</sup>	75.35 ± 2.33 <sup>b</sup>
20	-5.63 ± 0.02 <sup>c</sup>	3.80 ± 0.28 <sup>c</sup>	9.92 ± 0.22 <sup>c</sup>	71.82 ± 0.34 <sup>b</sup>
30	-8.28 ± 0.00 <sup>d</sup>	1.34 ± 0.37 <sup>d</sup>	6.96 ± 0.70 <sup>d</sup>	62.77 ± 0.56 <sup>c</sup>

หมายเหตุ ตัวอักษรที่ต่างกันในคอลัมน์เดียวกันแสดงว่ามีความแตกต่างอย่างมีนัยสำคัญที่  $p \leq 0.05$

จากผลการทดลองแสดงให้เห็นว่าความเข้มข้นของน้ำตาลชูโครสที่เพิ่มขึ้น ส่งผลให้อุณหภูมิที่น้ำแข็งตัวและปริมาณน้ำที่แข็งตัวได้ลดลงอย่างต่อเนื่อง การเติมส่วนประกอบในอาหารที่มีน้ำหนักไม่เลกูลต์ เช่น น้ำตาลชูโครสจะทำให้ปริมาณน้ำที่ไม่แข็งตัว (unfreezable water) ในระบบเพิ่มขึ้นส่งผลให้ปริมาณน้ำอิสระหรือน้ำที่แข็งตัวได้ลดลงเนื่องจากไม่เลกูลน้ำเกิดพันธะ ไอโครเจนกับหมู่ที่มีข้าวในไม่เลกูลน้ำตาล น้ำที่ถูกตรึงอยู่กับไม่เลกูลน้ำตาลจึงไม่สามารถเคลื่อนที่ไปรวมกันเป็นผลึกน้ำแข็งได้สะดวก น้ำส่วนใหญ่จึงแข็งตัวได้ที่อุณหภูมิต่ำลง (Slade and Levine, 1991; Spies and Hoseney, 1982)

ภาพที่ 41 แสดงลักษณะเทอร์โมแกรมของการหลอมเหลวผลึกน้ำแข็งในเจลแป้งมันสำปะหลัง หลังการเก็บรักษาที่อุณหภูมิ 4 องศาเซลเซียส ซึ่งประกอบด้วยพีคแสดงการหลอมเหลวของน้ำที่แข็งตัวได้ในช่วงอุณหภูมิ -9 ถึง 14 องศาเซลเซียส ปริมาณน้ำที่แข็งตัวได้เปลี่ยนแปลงเพียงเล็กน้อย โดยมีแนวโน้มที่จะลดลงเมื่อเทียบกับปริมาณน้ำที่มีอยู่ในเจลแป้งเริ่มต้น และพบว่า อุณหภูมิที่ใช้ในการหลอมเหลวผลึกน้ำแข็งในเจลแป้งมันสำปะหลังในสภาวะที่มีน้ำตาลชูโครสมิค่าต่ำกว่าอุณหภูมิที่ใช้ในการหลอมเหลวผลึกน้ำแข็งในน้ำแป้งประมาณ 1 ถึง 2 องศาเซลเซียส จากตารางที่ 19 เมื่อความเข้มข้นของน้ำตาลชูโครสเพิ่มขึ้นจาก 0 จนถึง 30% ปริมาณน้ำที่แข็งตัวได้จะมีค่าลดลงจาก 82.59 เป็น 71.64 กรัมต่อน้ำ 100 กรัม และอุณหภูมิที่จุดสูงสุดที่ใช้ในการหลอมเหลวผลึกน้ำแข็งมีค่าลดลงจาก 6.74 เป็น 0.34 องศาเซลเซียส หลังการเก็บรักษาเจลแป้งที่อุณหภูมิ -18 และ 25 องศาเซลเซียส ปริมาณน้ำที่แข็งตัวได้และอุณหภูมิที่จุดสูงสุดที่ใช้ในการหลอมเหลวผลึกน้ำแข็งในเจลแป้งเปลี่ยนแปลงในลักษณะเดียวกับการเก็บรักษาเจลแป้งที่อุณหภูมิ 4 องศาเซลเซียส โดยมีค่าลดลงเมื่อความเข้มข้นของน้ำตาลชูโครสเพิ่มขึ้น (ภาพที่ 42)

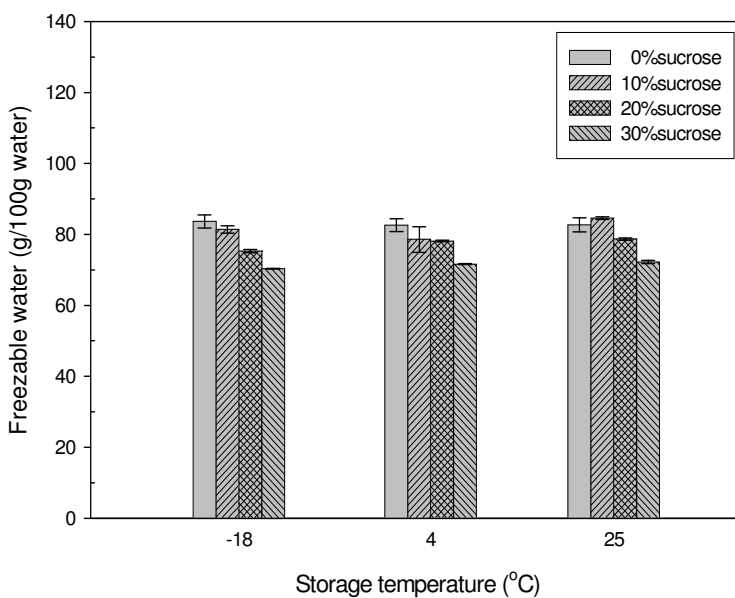


**ภาพที่ 41** ลักษณะเทอร์โมแกรมแสดงการหลอมเหลวพลีกน้ำแข็งในเจลปั่นมันสำปะหลังในสภาวะที่มีน้ำตาลซูโครัสเพิ่มขึ้น 0-30% หลังการเก็บรักษาที่อุณหภูมิ 4 องศาเซลเซียส เป็นเวลา 7 วัน

**ตารางที่ 19** ปริมาณน้ำที่แข็งตัวได้ในเจลปั่นมันสำปะหลังในสภาวะที่มีน้ำตาลซูโครัสเพิ่มขึ้น 0-30% หลังการเก็บรักษาที่อุณหภูมิ -18, 4 และ 25 องศาเซลเซียส เป็นเวลา 7 วัน

Sucrose concentration (%)	Freezable water (g/100g water)			
	-18°C	4°C	25°C	Average
0	83.64 ± 1.82	82.59 ± 1.85	82.69 ± 1.98	82.97 <sup>A</sup>
10	81.40 ± 1.04	78.56 ± 3.62	84.55 ± 0.36	81.50 <sup>A</sup>
20	75.27 ± 0.46	78.10 ± 0.22	78.70 ± 0.33	77.36 <sup>B</sup>
30	70.29 ± 0.08	71.64 ± 0.14	72.21 ± 0.48	71.38 <sup>C</sup>
Average	77.64 <sup>b</sup>	77.72 <sup>b</sup>	79.54 <sup>a</sup>	

**หมายเหตุ** ตัวอักษรพิมพ์เล็กที่ต่างกันในแถวเดียวกัน และตัวอักษรพิมพ์ใหญ่ที่ต่างกันในคอลัมน์เดียวกันแสดงว่ามีความแตกต่างอย่างมีนัยสำคัญที่  $p \leq 0.05$



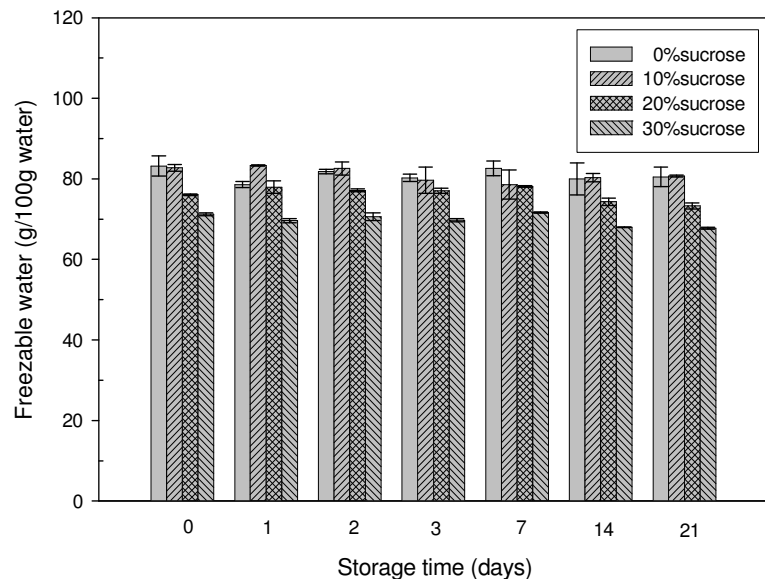
ภาพที่ 42 ผลของน้ำตาลชูโครัสเพิ่มขึ้น 0-30% ต่อปริมาณน้ำที่แข็งตัวได้ในเจลแป้งมันสำปะหลัง หลังการเก็บรักษาที่อุณหภูมิ -18, 4 และ 25 องศาเซลเซียส เป็นเวลา 7 วัน

จากผลการทดลองแสดงให้เห็นว่าอุณหภูมิในการเก็บรักษาเจลแป้งมีผลต่อการเปลี่ยนแปลงปริมาณน้ำที่แข็งตัวได้เพียงเล็กน้อย ในขณะที่ระยะเวลาในการเก็บรักษามีผลทำให้อุณหภูมิที่จุดสูงสุดที่ใช้ในการหลอมเหลวผลึกน้ำแข็งมีค่าสูงขึ้นและทำให้ปริมาณน้ำที่แข็งตัวได้ลดลงเพียงเล็กน้อย (ตารางที่ 20 และภาพที่ 43) การเพิ่มความเข้มข้นของน้ำตาลชูโครัสจาก 0 ถึง 30% ทำให้ปริมาณน้ำที่แข็งตัวได้และอุณหภูมิที่จุดสูงสุดที่ใช้ในการหลอมเหลวผลึกน้ำแข็งมีค่าลดลง Baek *et al.* (2004) รายงานว่าการที่ปริมาณน้ำที่แข็งตัวได้มีแนวโน้มลดลงเมื่อเก็บเจลแป้งเป็นระยะเวลานานขึ้นเนื่องจากโมเลกุลน้ำหนางส่วนใหญ่นำไปใช้ในระหว่างกระบวนการจัดเรียงตัวกันใหม่ของโมเลกุลในแป้ง โดยแป้งที่มีโครงสร้างผลึกแบบ A เช่น แป้งมันสำปะหลังจะใช้อัตราส่วนโมเลกุลของน้ำ 4 โมเลกุลต่อการจัดเรียงตัวกันใหม่ของน้ำตาลกลูโคส 12 โมเลกุล (Zobel, 1992) และจากการศึกษาความสัมพันธ์ระหว่างปริมาณน้ำที่แข็งตัวได้และอัตราการเกิดรีไทร์กรีเดชันในสภาพที่มีน้ำตาลชูโครัส พบว่าเมื่ออัตราการเกิดรีไทร์กรีเดชันเพิ่มขึ้น ปริมาณน้ำที่แข็งตัวได้จะมีแนวโน้มลดลง ดังแสดงในภาพที่ 44

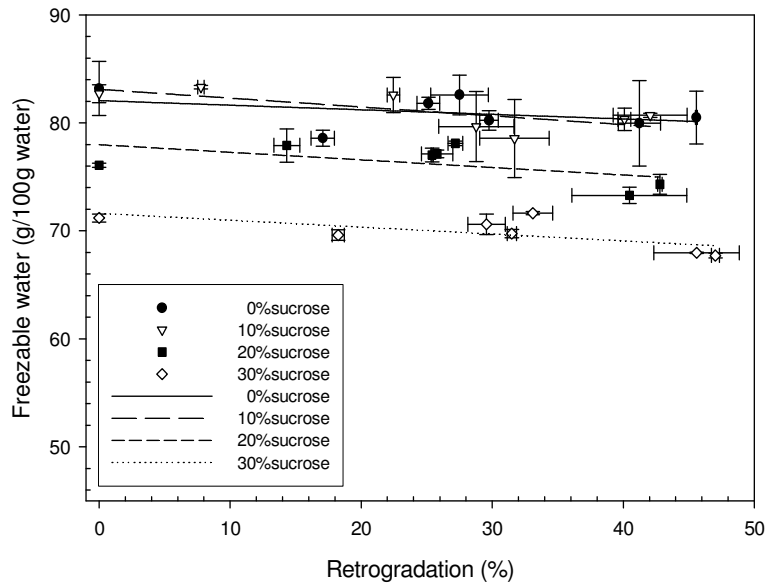
**ตารางที่ 20** ปริมาณน้ำที่แข็งตัวได้ในเจลเปี๊บมันสำปะหลังในสภาวะที่มีน้ำตาลซูโครัสเข้มข้น 0-30% หลังการเก็บรักษาที่อุณหภูมิ 4 องศาเซลเซียส เป็นเวลา 0-21 วัน

Sucrose concentration (%)	Freezeable water (g/100g water)							Average
	0 day	1 day	2 days	3 days	7 days	14 days	21 days	
0	83.18	78.58	81.81	80.23	82.59	79.96	80.49	80.97 <sup>A</sup>
10	82.71	83.30	82.57	79.65	78.56	80.32	80.70	81.12 <sup>A</sup>
20	76.07	77.91	77.13	77.02	78.10	74.30	73.28	76.26 <sup>B</sup>
30	71.19	69.60	70.61	69.74	71.64	67.97	67.91	69.78 <sup>C</sup>
Average	78.29 <sup>a</sup>	77.35 <sup>ab</sup>	78.03 <sup>ab</sup>	76.66 <sup>bc</sup>	77.72 <sup>ab</sup>	75.64 <sup>c</sup>	75.55 <sup>c</sup>	

หมายเหตุ ตัวอักษรพิมพ์เล็กที่ต่างกันใน列เดียวกัน และตัวอักษรพิมพ์ใหญ่ที่ต่างกันในคอลัมน์เดียวกันแสดงว่ามีความแตกต่างอย่างมีนัยสำคัญที่  $p \leq 0.05$



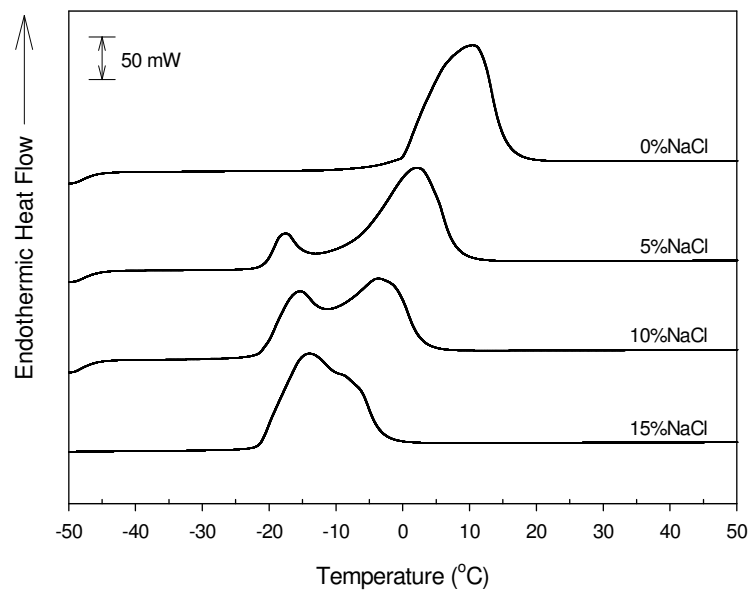
**ภาพที่ 43** ผลของระยะเวลาการเก็บรักษาต่อปริมาณน้ำที่แข็งตัวได้ในเจลเปี๊บมันสำปะหลังในสภาวะที่มีน้ำตาลซูโครัสเข้มข้น 0-30% เมื่อเก็บรักษาที่อุณหภูมิ 4 องศาเซลเซียส เป็นเวลา 0-21 วัน



ภาพที่ 44 ความสัมพันธ์ระหว่างปริมาณน้ำที่แข็งตัวได้และอัตราการเกิดรีไทร์เกรเดชันในสภาวะที่มีน้ำตาลซูโครัสเข้มข้น 0-30%

2.6.2 ผลของเกลือโซเดียมคลอไรด์ต่อการเปลี่ยนสถานะของน้ำแข็งและปริมาณน้ำที่แข็งตัวได้ในน้ำแข็งและเจลแข็งมันสำปะหลัง

ภาพที่ 45 แสดงลักษณะเทอร์โมแกรมการหลอมเหลวผลึกน้ำแข็งในน้ำแข็งมันสำปะหลัง เมื่อวิเคราะห์ด้วยเครื่อง DSC เทอร์โมแกรมที่ได้ประกอบด้วยพีคในช่วงอุณหภูมิ -22 ถึง 16 องศาเซลเซียส ในสภาวะที่มีเกลือโซเดียมคลอไรด์จะเกิดพีคที่มีลักษณะเป็นพีคคู่ซึ่งแสดงถึงไมเลกุลน้ำ 2 กลุ่มที่แข็งตัวได้ไม่พร้อมกัน น้ำที่เป็นอิสระมากกว่าจะแข็งตัวได้ก่อน ต่อมาน้ำที่เคลื่อนที่ได้จำกัดกว่าจะแข็งตัวได้ที่อุณหภูมิต่ำลง โดยพีคที่เกิดใหม่นี้จะเกิดในช่วงอุณหภูมิประมาณ -10 ถึง -22 องศาเซลเซียส และมีพื้นที่ไดกราฟเพิ่มขึ้นเมื่อความเข้มข้นของเกลือโซเดียมคลอไรด์เพิ่มขึ้น ค่าพลังงานและอุณหภูมิที่จุดสูงสุดที่ใช้ในการหลอมเหลวผลึกน้ำแข็งจะมีค่าลดลงเมื่อความเข้มข้นของเกลือโซเดียมคลอไรด์เพิ่มขึ้น จากตารางที่ 21 พบว่าเมื่อความเข้มข้นของเกลือโซเดียมคลอไรด์เพิ่มขึ้นจาก 0 ถึง 15% ปริมาณน้ำที่แข็งตัวได้ซึ่งคำนวณจากพลังงานที่ใช้ในการหลอมเหลวผลึกน้ำแข็งมีค่าลดลงจาก 85.35 เป็น 79.85 กรัมต่อน้ำ 100 กรัม



ภาพที่ 45 ลักษณะเทอร์โมแกรมแสดงการหลอมเหลวผลึกน้ำแข็งในน้ำแข็งมันสำปะหลังในสภาวะที่มีเกลือโซเดียมคลอไรด์เข้มข้น 0-15% เมื่อวิเคราะห์ด้วยเครื่อง DSC

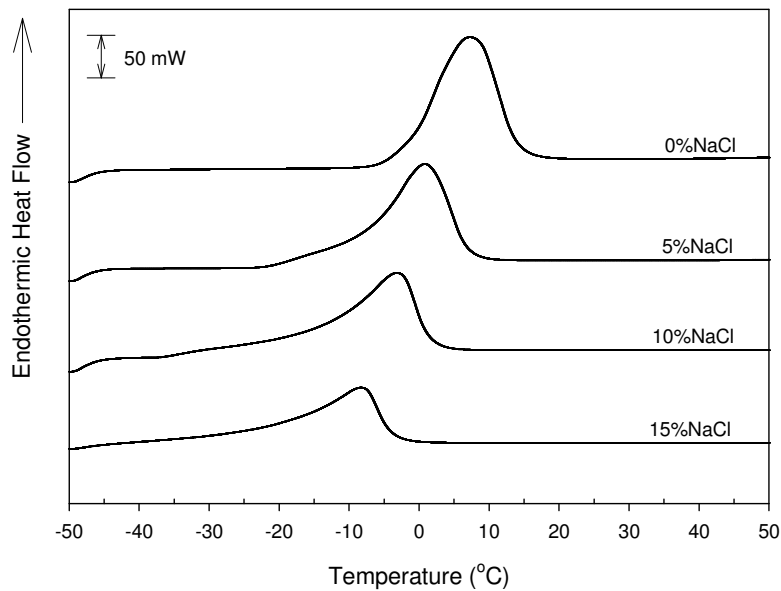
ตารางที่ 21 อุณหภูมิที่ใช้ในการหลอมเหลวผลึกน้ำแข็งและปริมาณน้ำที่แข็งตัวได้ในน้ำแข็งมันสำปะหลังในสภาวะที่มีเกลือโซเดียมคลอไรด์เข้มข้น 0-15% เมื่อวิเคราะห์ด้วยเครื่อง DSC

NaCl concentration (%)	Ice melting temperature (°C)			Freezable water (g/100g water)
	T <sub>o</sub>	T <sub>p</sub>	T <sub>c</sub>	
0	-0.17 ± 0.35 <sup>a</sup>	10.00 ± 0.57 <sup>a</sup>	16.18 ± 1.13 <sup>a</sup>	85.35 ± 1.92 <sup>a</sup>
5	-20.66 ± 0.04 <sup>b</sup>	2.20 ± 0.47 <sup>b</sup>	7.99 ± 0.02 <sup>b</sup>	83.22 ± 1.35 <sup>a</sup>
10	-20.85 ± 0.21 <sup>c</sup>	-3.60 ± 0.18 <sup>c</sup>	2.61 ± 0.37 <sup>c</sup>	79.18 ± 0.10 <sup>b</sup>
15	-21.55 ± 0.09 <sup>c</sup>	-14.34 ± 0.47 <sup>d</sup>	-3.27 ± 0.21 <sup>d</sup>	79.85 ± 0.33 <sup>b</sup>

หมายเหตุ ตัวอักษรที่ต่างกันในคอลัมน์เดียวกันแสดงว่ามีความแตกต่างอย่างมีนัยสำคัญที่  $p \leq 0.05$

จากผลการทดลองแสดงให้เห็นว่าการเพิ่มความเข้มข้นของเกลือโซเดียมคลอไรด์ มีผลทำให้อุณหภูมิที่น้ำแข็งตัวและปริมาณน้ำที่แข็งตัวได้ลดลง ทั้งนี้เนื่องจากอิオอนของเกลือโซเดียมคลอไรด์สามารถเกิดพันธะกับน้ำโดยเกิดแรงดึงดูดระหว่างประจุที่อยู่บนโมเลกุลของน้ำกับโซเดียมอิオอนซึ่งมากกว่าแรงดึงดักันระหว่างโซเดียมอิオอนและคลอไรด์อิオอนดังนั้นขั้นบวกของโมเลกุln้ำจะดึงด้านประจุลบออกจากโมเลกุลเกลือ ขณะที่ขั้นลบของโมเลกุln้ำจะดึงด้านประจุบวกออกจากโมเลกุลเกลือ ทำให้แรงดึงดันระหว่างโซเดียมอิオอนและคลอไรด์อิอ่อนถูกทำลาย อิオอนทั้งสองจึงถูกดึงแยกออกจากกันให้กระจายตัวและล้อมรอบด้วยโมเลกุln้ำ การเกิดพันธะระหว่างอิอ่อนของเกลือโซเดียมคลอไรด์กับน้ำทำให้ปริมาณอิสระในระบบลดลง พันธะที่เกิดขึ้นจะขัดขวางโมเลกุln้ำทำให้เคลื่อนไปรวมเป็นกลีกน้ำแข็งได้อย่างจำกัด น้ำแข็งแข็งตัวได้ท่ออุณหภูมิต่ำลง

ภาพที่ 46 แสดงลักษณะเทอร์โมแกรมของการหลอมเหลวพลีกน้ำแข็งในเจลแข็งมันสำปะหลัง หลังการเก็บท่ออุณหภูมิ 4 องศาเซลเซียส ซึ่งประกอบด้วยพิคเดี่ยวที่เกิดจากการหลอมรวมกันของพิคน้ำ 2 พิคในสภาวะที่เป็นน้ำแข็งในช่วงอุณหภูมิ -22 ถึง 14 องศาเซลเซียส ปริมาณน้ำที่แข็งตัวได้เปลี่ยนแปลงเพียงเล็กน้อย โดยมีค่าลดลงเมื่อเทียบกับก่อนการเก็บรักษา และพบว่าอุณหภูมิที่ใช้ในการหลอมเหลวพลีกน้ำแข็งในเจลมันสำปะหลังในสภาวะที่มีเกลือโซเดียมคลอไรด์จะมีสูงกว่าอุณหภูมิที่ใช้ในการหลอมเหลวพลีกน้ำแข็งในน้ำแข็งประมาณ 1 ถึง 12 องศาเซลเซียส จากตารางที่ 22 เมื่อความเข้มข้นของเกลือโซเดียมคลอไรด์เพิ่มขึ้นจาก 0 ถึง 15% ปริมาณน้ำที่แข็งตัวได้มีค่าลดลงจาก 82.59 เป็น 64.33 กรัมต่อน้ำ 100 กรัม และอุณหภูมิที่จุดสูงสุดที่ใช้ในการหลอมเหลวพลีกน้ำแข็งมีค่าลดลงจาก 6.74 เป็น -8.67 องศาเซลเซียส หลังการเก็บรักษาเจลแข็งท่ออุณหภูมิ -18 และ 25 องศาเซลเซียส ปริมาณน้ำที่แข็งตัวได้และอุณหภูมิที่จุดสูงสุดที่ใช้ในการหลอมเหลวพลีกน้ำแข็งเปลี่ยนแปลงในลักษณะเดียวกับการเก็บรักษาท่ออุณหภูมิ 4 องศาเซลเซียส โดยมีค่าลดลงเมื่อความเข้มข้นของเกลือโซเดียมคลอไรด์เพิ่มขึ้น (ภาพที่ 47)

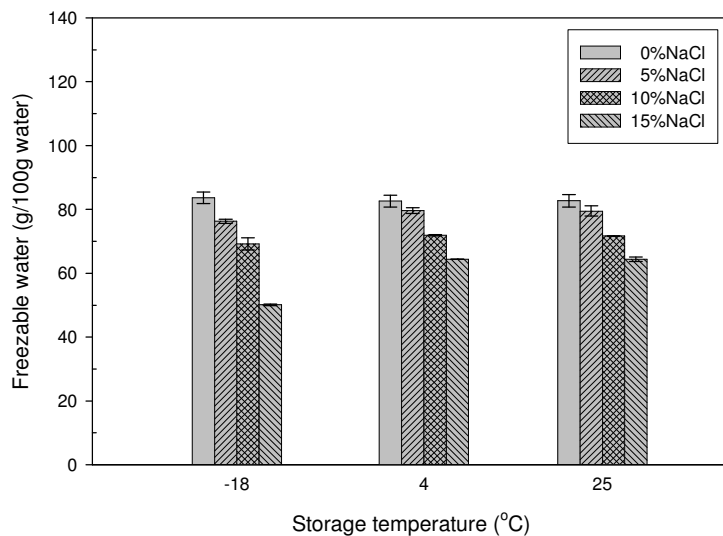


**ภาพที่ 46** ลักษณะเทอร์โมแกรมแสดงการหลอมเหลวผลึกน้ำแข็งในเจลแป้งมันสำปะหลังในสภาวะที่มีเกลือโซเดียมคลอไรด์เข้มข้น 0-15% หลังการเก็บรักษาที่อุณหภูมิ 4 องศาเซลเซียส เป็นเวลา 7 วัน

**ตารางที่ 22** ปริมาณน้ำที่แข็งตัวได้ในเจลแป้งมันสำปะหลังในสภาวะที่มีเกลือโซเดียมคลอไรด์เข้มข้น 0-15% หลังการเก็บรักษาที่อุณหภูมิ -18, 4 และ 25 องศาเซลเซียส เป็นเวลา 7 วัน

NaCl concentration (%)	Freezable water (g/100g water)		
	-18 °C	4 °C	25 °C
0	83.64 ± 1.82 <sup>ns,A</sup>	82.59 ± 1.85 <sup>ns,A</sup>	82.69 ± 1.98 <sup>ns,A</sup>
5	76.25 ± 0.61 <sup>ns,B</sup>	79.62 ± 0.87 <sup>ns,B</sup>	79.48 ± 1.62 <sup>ns,A</sup>
10	69.18 ± 1.89 <sup>ns,C</sup>	71.88 ± 0.18 <sup>ns,C</sup>	71.67 ± 0.08 <sup>ns,B</sup>
15	50.13 ± 0.27 <sup>b,D</sup>	64.38 ± 0.03 <sup>a,D</sup>	64.39 ± 0.68 <sup>a,C</sup>

**หมายเหตุ** ตัวอักษรพิมพ์เล็กที่ต่างกันในเดียวกัน และตัวอักษรพิมพ์ใหญ่ที่ต่างกันในคอลัมน์เดียวกันแสดงว่ามีความแตกต่างอย่างมีนัยสำคัญที่  $p \leq 0.05$ , ns = not significant



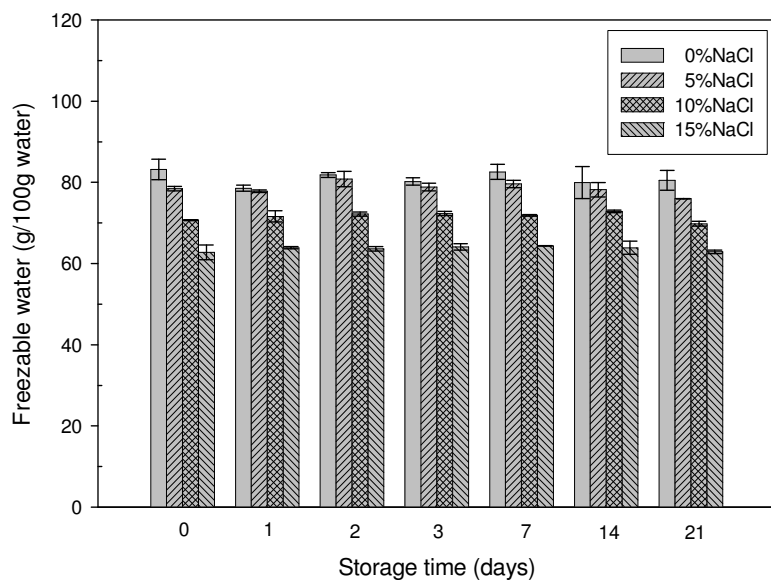
ภาพที่ 47 ผลของเกลือโซเดียมคลอไรด์เข้มข้น 0-15% ต่อปริมาณน้ำที่แข็งตัวได้ในเจลแป้งมันสำปะหลัง หลังการเก็บรักษาที่อุณหภูมิ-18, 4 และ 25 องศาเซลเซียส เป็นเวลา 7 วัน

จากผลการทดลองแสดงให้เห็นว่าอุณหภูมิการเก็บรักษามีผลต่อการเปลี่ยนแปลงปริมาณน้ำที่แข็งตัวได้เพียงเล็กน้อย ในขณะที่ระยะเวลาในการเก็บรักษามีผลทำให้อุณหภูมิที่จุดสูงสุดที่ใช้ในการหลอมเหลวผลึกน้ำแข็งมีค่าสูงขึ้นและปริมาณน้ำที่แข็งตัวได้ลดลงเพียงเล็กน้อย (ตารางที่ 23 และภาพที่ 48) การเพิ่มความเข้มข้นของเกลือโซเดียมคลอไรด์จาก 0 ถึง 15% ทำให้ปริมาณน้ำที่แข็งตัวได้และอุณหภูมิที่จุดสูงสุดที่ใช้ในการหลอมเหลวผลึกน้ำแข็งมีค่าลดลงอย่างเห็นได้ชัด และจากการศึกษาความสัมพันธ์ระหว่างปริมาณน้ำที่แข็งตัวได้และอัตราการเกิดริโตรเกรเดชันในสภาวะที่มีเกลือโซเดียมคลอไรด์ พบร่วมกับอัตราการเกิดริโตรเกรเดชันเพิ่มขึ้นปริมาณน้ำที่แข็งตัวได้จะมีแนวโน้มลดลง ดังแสดงในภาพที่ 49

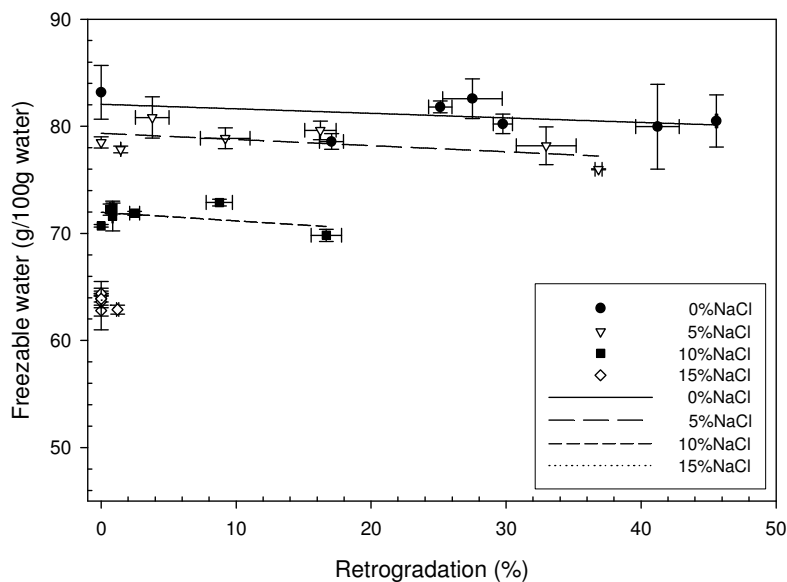
ตารางที่ 23 ปริมาณน้ำที่แข็งตัวได้ในเจลเป็นมันสำปะหลังในสภาวะที่มีเกลือโซเดียมคลอไรด์เพิ่มขึ้น 0-15% หลังการเก็บรักษาที่อุณหภูมิ 4 องศาเซลเซียส เป็นเวลา 0-21 วัน

NaCl concentration (%)	Freezeable water (g/100g water)							Average
	0 day	1 day	2 days	3 days	7 days	14 days	21 days	
0	83.18	78.58	81.81	80.23	82.59	79.96	80.49	80.97 <sup>A</sup>
5	78.49	77.84	82.82	78.88	79.62	78.19	75.98	78.54 <sup>B</sup>
10	70.71	71.61	72.23	72.33	71.88	72.88	69.82	71.63 <sup>C</sup>
15	62.80	63.90	63.63	64.09	64.38	63.88	62.89	63.65 <sup>D</sup>
Average	73.79 <sup>ab</sup>	72.98 <sup>bc</sup>	74.62 <sup>a</sup>	73.88 <sup>ab</sup>	74.62 <sup>a</sup>	73.73 <sup>ab</sup>	72.29 <sup>c</sup>	

หมายเหตุ ตัวอักษรพิมพ์เล็กที่ต่างกันในแถวเดียวกัน และตัวอักษรพิมพ์ใหญ่ที่ต่างกันในคอลัมน์ เดียวกันแสดงว่ามีความแตกต่างอย่างมีนัยสำคัญที่  $p \leq 0.05$



ภาพที่ 48 ผลของระยะเวลาการเก็บรักษาต่อปริมาณน้ำที่แข็งตัวได้ในเจลเป็นมันสำปะหลังในสภาวะที่มีเกลือโซเดียมคลอไรด์เพิ่มขึ้น 0-15% หลังการเก็บรักษาที่อุณหภูมิ 4 องศาเซลเซียส เป็นเวลา 0-21 วัน



ภาพที่ 49 ความสัมพันธ์ระหว่างปริมาณน้ำที่แข็งตัวได้และอัตราการเกิดรีโทรเกรเดชันในสภาวะที่มีเกลือโซเดียมคลอไรด์เพิ่มขึ้น 0-15%

## 2.7 อุณหภูมิกาลاسทรานสิชันของเจลแป้งมันสำปะหลัง

เมื่อลดอุณหภูมิของเจลแป้งลงอย่างรวดเร็ว ปริมาณน้ำที่แข็งตัวได้จะเปลี่ยนสภาพไปเป็นผลึกน้ำแข็งและแยกตัวออกจากส่วนที่เป็นของแข็งเพิ่มขึ้น (freeze-concentrated matrix) ซึ่งประกอบด้วยโนไมเลกุลในเจลแป้ง น้ำตาลซูโครสหรือเกลือโซเดียมคลอไรด์ และน้ำที่ไม่แข็งตัว เมื่อให้ความร้อนแก่สารละลายเพิ่มขึ้นที่ถูกทำให้เย็นลงอย่างรวดเร็วจะสามารถตรวจพบอุณหภูมิกาลัสทรานสิชันของระบบที่มีของแข็งเพิ่มขึ้นสูงสุด (maximally freeze-concentrated system) หรือเรียกว่า  $T_g'$  ซึ่งปกติจะเกิดขึ้นที่อุณหภูมิต่ำกว่าอุณหภูมิหลอมเหลวของผลึกน้ำแข็ง (Slade and Levine, 1987, 1991)

### 2.7.1 ผลของน้ำตาลชูโกรสต่ออุณหภูมิกลางสิชันของเจลแป้งมันสำปะหลัง

จากตารางที่ 24 พบว่าเมื่อความเข้มข้นของน้ำตาลชูโกรสเพิ่มขึ้นจาก 0 ถึง 30%  $T_g'$  ของเจลแป้งมันสำปะหลังก่อนการเก็บรักษาจะมีค่าลดลงอย่างมีนัยสำคัญทางสถิติ จาก -4.90 องศาเซลเซียส สำหรับตัวอย่างที่ไม่มีน้ำตาลชูโกรส เป็น -10.74, -14.41 และ -32.53 องศาเซลเซียส ตามลำดับ อาจเนื่องมาจากการที่น้ำตาลชูโกรสมีสมบัติเป็นพลาสติไซเรอร์และทำให้ปริมาณน้ำที่ไม่แข็งตัวในเจลแป้งเพิ่มขึ้นจึงไปเพิ่มปริมาตรอิสระของระบบ โนเลกูลแป้งจึงเคลื่อนตัวได้มากขึ้นส่งผลให้  $T_g'$  ในระบบลดลง (Jang *et al.*, 2001)

$T_g'$  ของเจลแป้งมันสำปะหลังมีแนวโน้มที่จะเพิ่มขึ้นหลังผ่านการเก็บรักษาเป็นระยะเวลา 7 วัน การเก็บรักษาเจลแป้งที่อุณหภูมิ 4 องศาเซลเซียส ทำให้  $T_g'$  มีค่าเปลี่ยนแปลงมากกว่าการเก็บที่อุณหภูมิ -18 และ 25 องศาเซลเซียส โดยมีค่าสูงขึ้นประมาณ 2.04 ถึง 12.53 องศาเซลเซียส เมื่อเทียบกับ  $T_g'$  ของเจลแป้งก่อนการเก็บรักษา และพบว่าการเพิ่มความเข้มข้นของน้ำตาลชูโกรสมีผลทำให้  $T_g'$  มีค่าลดต่ำลงอย่างต่อเนื่อง ดังแสดงในตารางที่ 24 และภาพที่ 50  $T_g'$  ของเจลแป้งที่เพิ่มขึ้นหลังการเก็บรักษาอาจเป็นผลจากน้ำหนางส่วนถูกนำไปใช้ในการจัดเรียงตัวใหม่ของโนเลกูลแป้ง (Baek *et al.*, 2004) และ โนเลกูลน้ำตาลชูโกรสบางส่วนจะรวมตัวกับกันแป้งในขณะเกิดรีไทร์เรกรเดชัน ส่งผลให้  $T_g'$  เพิ่มขึ้น (Wang and Jane, 1994) และการเก็บรักษาเจลที่อุณหภูมิต่ำกว่า  $T_g'$  เช่น อุณหภูมิการแข็งเยือกแข็งจะสามารถขับยึดการกลับมาจัดเรียงตัวกันใหม่อันเนื่องมาจากการที่น้ำตาลชูโกรสและน้ำเคลื่อนที่ได้อย่างจำกัดจึงทำให้  $T_g'$  ไม่เกิดการเปลี่ยนแปลง (Slade and Levine, 1987; Wang and Jane, 1994) ซึ่งสอดคล้องกับผลการเก็บรักษาเจลแป้งมันสำปะหลังที่อุณหภูมิ -18 องศาเซลเซียส ที่พบการเปลี่ยนแปลงของ  $T_g'$  เพียงเล็กน้อย

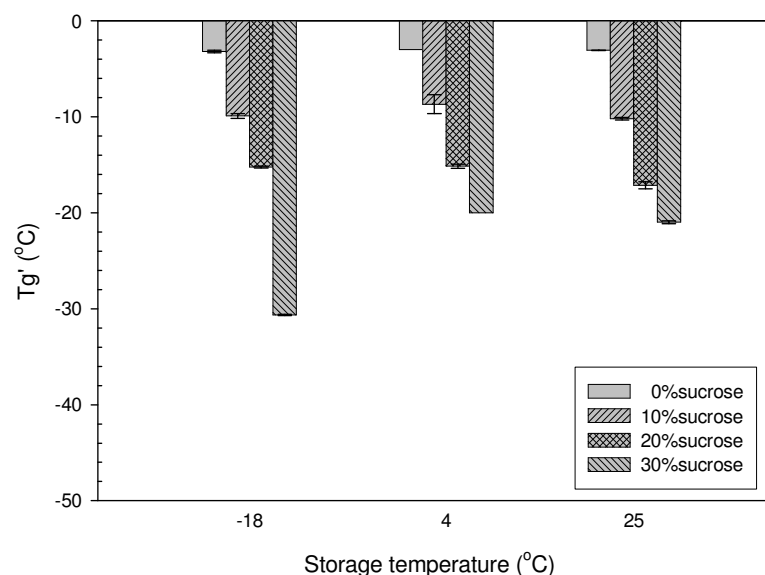
จากการศึกษาความสัมพันธ์ระหว่างอุณหภูมิกลางสิชันของเจลแป้งมันสำปะหลังก่อนการเก็บรักษาและอุณหภูมิที่ใช้เก็บรักษาซึ่งมีผลต่อความคงตัวของผลิตภัณฑ์ Slade and Levine (1987) รายงานว่าความคงตัวของผลิตภัณฑ์เยือกแข็งที่มีแป้งเป็นองค์ประกอบขึ้นอยู่กับค่า  $\Delta T$  ซึ่งเป็นผลต่างระหว่างอุณหภูมิที่ใช้เก็บรักษาและอุณหภูมิกลางสิชันของเจลแป้งมันสำปะหลังก่อนการเก็บรักษา ( $\Delta T = T_f - T_g'$ ) ซึ่งการที่  $\Delta T$  มีค่าต่ำหรือ  $T_g'$  ของของแข็งเข้มข้นมีค่าสูง จะส่งผลให้ผลิตภัณฑ์มีความคงตัวต่อการเก็บรักษามากขึ้น สอดคล้องกับผลการทดลองซึ่งไม่พบการรีไทร์เรกรเดชันที่อุณหภูมิ -18 องศาเซลเซียส นอกจากอุณหภูมิที่ใช้ในการเก็บรักษาที่มีผลต่อ

ความคงตัวของผลิตภัณฑ์  $T_g'$  ที่เปลี่ยนไปเมื่อมีการเพิ่มความเข้มข้นของน้ำตาลซูโครัสยังมีผลทำให้ความคงตัวของผลิตภัณฑ์เปลี่ยนแปลงไปด้วย

ตารางที่ 24 อุณหภูมิกลางстраณสิชัน ( $T_g'$ ) ของเจลแป้งมันสำปะหลังในสภาวะที่มีน้ำตาลซูโครัสเข้มข้น 0-30% หลังการเก็บรักษาที่อุณหภูมิ -18, 4 และ 25 องศาเซลเซียส เป็นเวลา 7 วัน

Sucrose concentraton (%)	$T_g'$ of fresh gels (°C)	$T_g'$ of aged gels (°C)		
		-18°C	4°C	25°C
0	-4.90 ± 1.65 <sup>A</sup>	-3.20 ± 0.14 <sup>ns,A</sup>	-3.00 ± 0.00 <sup>ns,A</sup>	-3.09 ± 0.01 <sup>ns,A</sup>
10	-10.74 ± 1.51 <sup>B</sup>	-9.93 ± 0.25 <sup>ns,B</sup>	-8.70 ± 0.99 <sup>ns,B</sup>	-10.20 ± 0.14 <sup>ns,B</sup>
20	-14.50 ± 0.88 <sup>C</sup>	-15.26 ± 0.10 <sup>a,C</sup>	-15.16 ± 0.23 <sup>a,C</sup>	-17.15 ± 0.35 <sup>b,C</sup>
30	-32.53 ± 1.61 <sup>D</sup>	-30.65 ± 0.07 <sup>c,D</sup>	-20.00 ± 0.00 <sup>a,D</sup>	-21.00 ± 0.13 <sup>b,D</sup>

หมายเหตุ ตัวอักษรพิมพ์เล็กที่ต่างกันในเดียวเดียวกัน และตัวอักษรพิมพ์ใหญ่ที่ต่างกันในกลุ่มนี้เดียวกันแสดงว่ามีความแตกต่างอย่างมีนัยสำคัญที่  $p \leq 0.05$ , ns = not significant



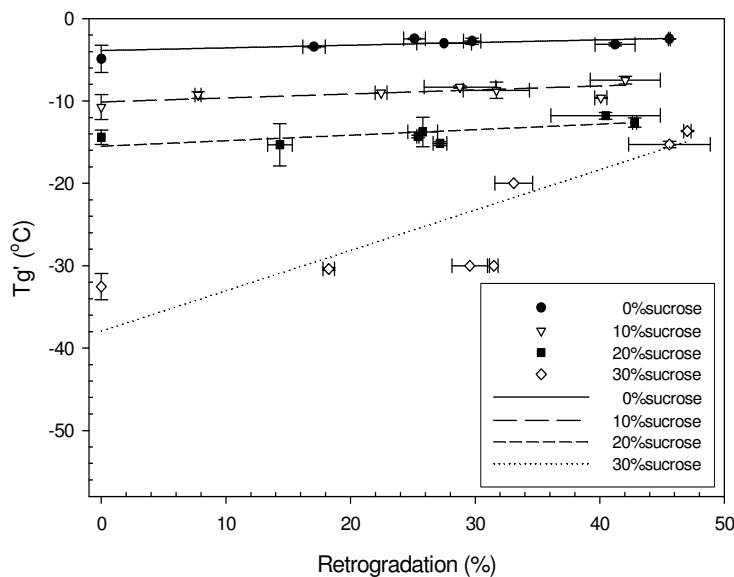
ภาพที่ 50 ผลของน้ำตาลซูโครัสเข้มข้น 0-30% ต่ออุณหภูมิกลางстраณสิชัน ( $T_g'$ ) ของเจลแป้งมันสำปะหลัง หลังการเก็บรักษาที่อุณหภูมิ -18, 4 และ 25 องศาเซลเซียส เป็นเวลา 7 วัน

จากตารางที่ 25 ซึ่งแสดงผลของระยะเวลาในการเก็บรักษาต่อ  $T_g'$  ของเจลแป้งมันสำปะหลังในสภาวะที่มีน้ำตาลชูโครส หลังการเก็บที่อุณหภูมิ 4 องศาเซลเซียส เป็นเวลา 0-21 วัน พบว่าทั้งระยะเวลาในการเก็บรักษาและความเข้มข้นของน้ำตาลชูโครสที่เพิ่มขึ้นมีผลต่อการเปลี่ยนแปลง  $T_g'$  อย่างมีนัยสำคัญทางสถิติ โดย  $T_g'$  ของเจลแป้งมีค่าสูงขึ้นเมื่อเก็บเป็นระยะเวลานานขึ้น โดยมีค่าเพิ่มจาก -4.90 ถึง -2.48 องศาเซลเซียส -10.74 ถึง -7.48 องศาเซลเซียส -14.41 ถึง -11.80 องศาเซลเซียส และ -32.53 ถึง -13.66 องศาเซลเซียส จากวันที่ 0 ถึง 21 ที่ระดับความเข้มข้นน้ำตาล 0%, 10%, 20% และ 30% ตามลำดับ และมีค่าลดลงจาก -2.48 ถึง -13.66 องศาเซลเซียส ในวันที่ 21 เมื่อความเข้มข้นของน้ำตาลชูโครสเพิ่มขึ้นจาก 0 ถึง 30% จากการศึกษาความสัมพันธ์ระหว่าง  $T_g'$  และอัตราการเกิดริโตรเกรเดชันในสภาวะที่มีน้ำตาลชูโครส พบว่า  $T_g'$  มีแนวโน้มที่จะเพิ่มขึ้นเมื่ออัตราการเกิดริโตรเกรเดชันเพิ่มขึ้น โดยจะเห็นได้ชัดเมื่อความเข้มข้นของน้ำตาลสูงขึ้น ดังแสดงในภาพที่ 51

**ตารางที่ 25 อุณหภูมิกาสรานสิชัน ( $T_g'$ ) ของเจลแป้งมันสำปะหลังในสภาวะที่มีน้ำตาลชูโครส เข้มข้น 0-30% หลังการเก็บรักษาที่อุณหภูมิ 4 องศาเซลเซียส เป็นเวลา 0-21 วัน**

Sucrose concentration (%)	$T_g'$ of aged gels ( $^{\circ}\text{C}$ )						
	0 day	1 day	2 days	3 days	7 days	14 days	21 days
0	-4.90 <sup>d,A</sup>	-3.43 <sup>c,A</sup>	-2.45 <sup>a,A</sup>	-2.75 <sup>ab,A</sup>	-3.00 <sup>b,A</sup>	-3.14 <sup>bc,A</sup>	-2.48 <sup>a,A</sup>
10	-10.74 <sup>d,B</sup>	-9.28 <sup>bc,B</sup>	-9.00 <sup>bc,B</sup>	-8.31 <sup>ab,B</sup>	-8.70 <sup>abc,B</sup>	-9.62 <sup>c,B</sup>	-7.48 <sup>a,B</sup>
20	-14.41 <sup>ns,C</sup>	-15.31 <sup>ns,C</sup>	-13.77 <sup>ns,C</sup>	-14.31 <sup>ns,C</sup>	-15.16 <sup>ns,C</sup>	-12.62 <sup>ns,C</sup>	-11.80 <sup>ns,C</sup>
30	-32.53 <sup>e,D</sup>	-30.40 <sup>d,D</sup>	-30.00 <sup>d,D</sup>	-30.00 <sup>d,D</sup>	-20.00 <sup>c,D</sup>	-15.29 <sup>b,D</sup>	-13.66 <sup>a,D</sup>

**หมายเหตุ** ตัวอักษรพิมพ์เล็กที่ต่างกันในแถวเดียวกัน และตัวอักษรพิมพ์ใหญ่ที่ต่างกันในคอลัมน์เดียวกันแสดงว่ามีความแตกต่างอย่างมีนัยสำคัญที่  $p \leq 0.05$ , ns = not significant



ภาพที่ 51 ความสัมพันธ์ระหว่างอุณหภูมิกลางอกและอัตราการเกิดริโตรเกรเดชันใน สภาวะที่มีน้ำตาลซูโครัสเพิ่มขึ้น 0-30%

### 2.7.2 ผลของเกลือโซเดียมคลอไรด์ต่ออุณหภูมิกลางอกและอัตราการเกิดริโตรเกรเดชันของเจลแป้งมัน สำปะหลัง

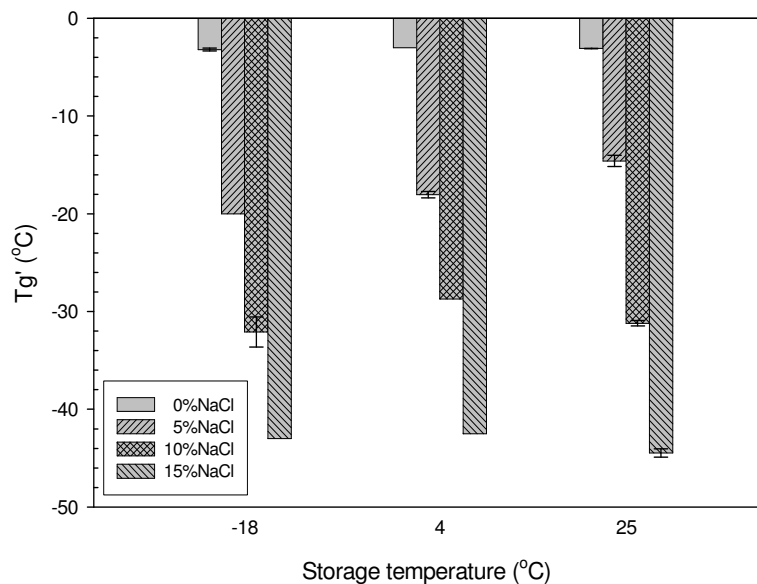
จากตารางที่ 26 พบว่าเมื่อความเพิ่มขึ้นของเกลือโซเดียมคลอไรด์เพิ่มขึ้นจาก 0 ถึง 15%  $T_g'$  ของเจลแป้งมันสำปะหลังก่อนการเก็บรักษาจะมีค่าลดลงอย่างมีนัยสำคัญทางสถิติ จาก -4.90 องศาเซลเซียส สำหรับตัวอย่างที่ไม่มีเกลือโซเดียมคลอไรด์ เป็น -21.21, -32.22 และ -45.18 องศาเซลเซียส ตามลำดับ เกลือโซเดียมคลอไรด์ทำให้ปริมาณน้ำที่ไม่แข็งตัวในเจลแป้งมัน สำปะหลังเพิ่มขึ้น โนเลกูลแป้งจึงมีการเคลื่อนตัวได้มากขึ้นส่งผลให้  $T_g'$  ในระบบลดลง ส่วนประกอบที่เติมลงในอาหารที่มีน้ำหนักโนเลกูลต่ำจะมีผลทำให้  $T_g'$  ลดลงต่ำกว่าส่วนประกอบ ที่มีน้ำหนักโนเลกูลสูง (Wang and Jane, 1994) ซึ่งเกลือโซเดียมคลอไรด์มีน้ำหนักโนเลกูลต่ำกว่า (58.5 กรัม) เมื่อเทียบกับน้ำตาลซูโครัส (342 กรัม) รวมทั้งสามารถเกิดพันธะไออกอนิกกับน้ำได้จึง ส่งผลให้ค่า  $T_g'$  ของระบบโดยรวมลดต่ำกว่าน้ำตาลซูโครัส

$T_g'$  ของเจลแป้งมันสำปะหลังในสภาวะที่มีเกลือโซเดียมคลอไรด์ หลังการเก็บที่อุณหภูมิ -18, 4 และ 25 องศาเซลเซียส เป็นระยะเวลา 7 วัน มีความแตกต่างกันเพียงเล็กน้อย ในขณะที่  $T_g'$  มีแนวโน้มที่จะเพิ่มขึ้นเพียงเล็กน้อยเมื่อผ่านการเก็บรักษาเป็นระยะเวลา 7 วัน และพบว่าการเพิ่มความเข้มข้นของเกลือโซเดียมคลอไรด์ มีผลทำให้  $T_g'$  ลดลงอย่างต่อเนื่อง ดังแสดงในตารางที่ 26 และภาพที่ 52

ตารางที่ 26 อุณหภูมิกาลاسทรานสิชัน ( $T_g'$ ) ของเจลแป้งมันสำปะหลังในสภาวะที่มีเกลือโซเดียมคลอไรด์เข้มข้น 0-15% หลังการเก็บที่อุณหภูมิ -18, 4 และ 25 องศาเซลเซียส เป็นเวลา 7 วัน

NaCl concentration (%)	$T_g'$ of fresh gels ( $^{\circ}\text{C}$ )	$T_g'$ of aged gels ( $^{\circ}\text{C}$ )		
		-18 $^{\circ}\text{C}$	4 $^{\circ}\text{C}$	25 $^{\circ}\text{C}$
0	-4.90 $\pm$ 1.65 <sup>A</sup>	-3.20 $\pm$ 0.14 <sup>ns,A</sup>	-3.00 $\pm$ 0.00 <sup>ns,A</sup>	-3.09 $\pm$ 0.01 <sup>ns,A</sup>
5	-21.21 $\pm$ 2.16 <sup>B</sup>	-20.00 $\pm$ 0.00 <sup>c,B</sup>	-18.04 $\pm$ 0.33 <sup>b,B</sup>	-14.60 $\pm$ 0.57 <sup>a,B</sup>
10	-32.22 $\pm$ 2.41 <sup>C</sup>	-32.10 $\pm$ 1.56 <sup>ns,C</sup>	-28.73 $\pm$ 0.00 <sup>ns,C</sup>	-31.20 $\pm$ 0.28 <sup>ns,C</sup>
15	-45.18 $\pm$ 1.27 <sup>D</sup>	-43.00 $\pm$ 0.00 <sup>a,D</sup>	-42.50 $\pm$ 0.00 <sup>a,D</sup>	-44.48 $\pm$ 0.42 <sup>b,D</sup>

หมายเหตุ ตัวอักษรพิมพ์เล็กที่ต่างกันในแถวเดียวกัน และตัวอักษรพิมพ์ใหญ่ที่ต่างกันในคอลัมน์เดียวกันแสดงว่ามีความแตกต่างอย่างมีนัยสำคัญที่  $p \leq 0.05$ , ns = not significant



ภาพที่ 52 ผลของเกลือโซเดียมคลอไรด์เพิ่มขึ้น 0-15% ต่ออุณหภูมิกาลารานสิชัน ( $T_g'$ ) ของเจลแป้งมันสำปะหลัง หลังการเก็บรักษาที่อุณหภูมิ -18, 4 และ 25 องศาเซลเซียส เป็นเวลา 7 วัน

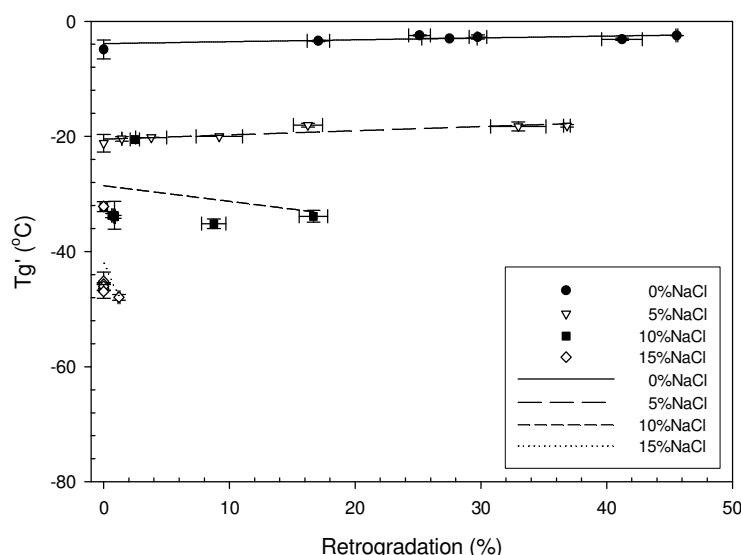
จากตารางที่ 27 ซึ่งแสดงผลของระยะเวลาในการเก็บรักษาต่อ  $T_g'$  ของเจลแป้งมันสำปะหลังในสภาวะที่มีเกลือโซเดียมคลอไรด์ หลังการเก็บที่อุณหภูมิ 4 องศาเซลเซียส เป็นเวลา 0-21 วัน พบว่าทั้งระยะเวลาการเก็บรักษาและความเพิ่มขึ้นของเกลือโซเดียมคลอไรด์ที่เพิ่มขึ้นมีผลต่อการเปลี่ยนแปลง  $T_g'$  อย่างมีนัยสำคัญทางสถิติ โดย  $T_g'$  ของเจลแป้งมีค่าสูงขึ้นเมื่อเก็บเป็นระยะเวลานานขึ้น โดยมีค่าเพิ่มจาก -4.90 ถึง -2.48 องศาเซลเซียส และ -21.21 ถึง -18.16 องศาเซลเซียส จากวันที่ 0 ถึง 21 ในสภาวะที่มีเกลือโซเดียมคลอไรด์เพิ่มขึ้น 0% และ 5% ในขณะที่  $T_g'$  มีค่าลดลงเมื่อเก็บเป็นระยะเวลานานขึ้น โดยลดลงเล็กน้อยจาก -32.22 ถึง -33.88 องศาเซลเซียส และ -45.18 ถึง -47.94 องศาเซลเซียส ในสภาวะที่มีเกลือโซเดียมคลอไรด์เพิ่มขึ้น 10% และ 15% ตามลำดับ และมีค่าลดลงจาก -2.48 ถึง -47.94 องศาเซลเซียส ในวันที่ 21 เมื่อความเพิ่มขึ้นของเกลือโซเดียมคลอไรด์เพิ่มขึ้นจาก 0 ถึง 15% จากการศึกษาความสัมพันธ์ระหว่าง  $T_g'$  และอัตราการเกิดริโตรเกรเดชันในสภาวะที่มีเกลือโซเดียมคลอไรด์ พบว่า  $T_g'$  มีแนวโน้มที่จะเพิ่มขึ้นเมื่ออัตราการเกิดริโตรเกรเดชันเพิ่มขึ้นในสภาวะที่ไม่มีและมีเกลือโซเดียมคลอไรด์เพิ่มขึ้น 5% ดังแสดงในภาพที่ 53 อย่างไรก็ตาม ลักษณะการเกิดริโตรเกรเดชันของเจลแป้งในสภาวะที่มีเกลือโซเดียมคลอไรด์ไม่สามารถอธิบายได้ด้วยกลไกการเกิดผลลัพธ์เพียงอย่างเดียว เนื่องจากพันธะไอออนของ

เกลือกับ โอมเดกูลแป้งและน้ำอาจเป็นอีกปัจจัยที่มีบทบาทในการยับยั้งเกิดริโตรเกรเดชันของเจลแป้งร่วมด้วย

ตารางที่ 27 อุณหภูมิกลางส่วนตัว ( $T_g'$ ) ของเจลแป้งมันสำปะหลัง ในสภาวะที่มีเกลือโซเดียมคลอไรด์เข้มข้น 0-15% หลังการเก็บรักษาที่อุณหภูมิ 4 องศาเซลเซียส เป็นเวลา 0-21 วัน

NaCl concentration (%)	$T_g'$ storage ( $^{\circ}\text{C}$ )						
	0 day	1 day	2 days	3 days	7 days	14 days	21 days
0	-4.90 <sup>d,A</sup>	-3.43 <sup>c,A</sup>	-2.45 <sup>a,A</sup>	-2.75 <sup>ab,A</sup>	-3.00 <sup>b,A</sup>	-3.14 <sup>bc,A</sup>	-2.48 <sup>a,A</sup>
5	-21.21 <sup>b,B</sup>	-20.43 <sup>b,B</sup>	-20.20 <sup>b,B</sup>	-20.00 <sup>b,B</sup>	-18.04 <sup>a,B</sup>	-18.27 <sup>a,B</sup>	-18.16 <sup>a,B</sup>
10	-32.22 <sup>a,C</sup>	-33.70 <sup>b,C</sup>	-33.75 <sup>b,C</sup>	-33.97 <sup>b,C</sup>	-20.54 <sup>a,C</sup>	-35.16 <sup>b,C</sup>	-33.88 <sup>b,C</sup>
15	-45.18 <sup>b,D</sup>	-46.40 <sup>c,D</sup>	-45.69 <sup>bc,D</sup>	-46.06 <sup>c,D</sup>	-32.17 <sup>a,D</sup>	-46.95 <sup>cd,D</sup>	-47.94 <sup>d,D</sup>

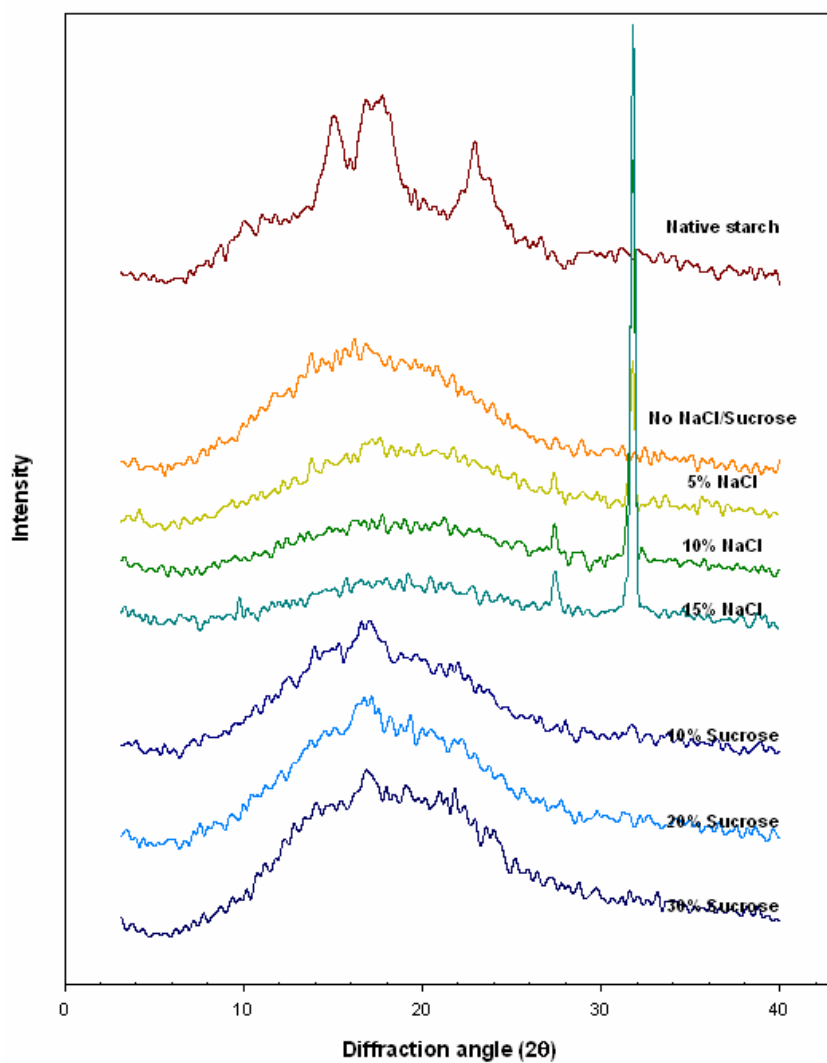
หมายเหตุ ตัวอักษรพิมพ์เล็กที่ต่างกันในแผลเดียวกัน และตัวอักษรพิมพ์ใหญ่ที่ต่างกันในคอลัมน์เดียวกันแสดงว่ามีความแตกต่างอย่างมีนัยสำคัญที่  $p \leq 0.05$



ภาพที่ 53 ความสัมพันธ์ระหว่างอุณหภูมิกลางส่วนตัวและอัตราการเกิดริโตรเกรเดชันในสภาวะที่มีเกลือโซเดียมคลอไรด์เข้มข้น 0-15%

## 2.8 ลักษณะโครงสร้างผลึกของเม็ดแป้งมันสำปะหลังและเจลแป้งมันสำปะหลัง

ภาพที่ 54 แสดงผลการวิเคราะห์ลักษณะโครงสร้างผลึก (X-ray diffraction pattern) ในแป้งมันสำปะหลังและเจลแป้งมันสำปะหลังเข้มข้น 30% (โดยน้ำหนัก) หลังการเก็บรักษาในสภาวะที่มีน้ำตาลซูโคโรสเข้มข้น 0 ถึง 30% และเกลือโซเดียมคลอไรด์เข้มข้น 0 ถึง 15% ที่อุณหภูมิ 4 องศาเซลเซียส เป็นเวลา 7 วัน



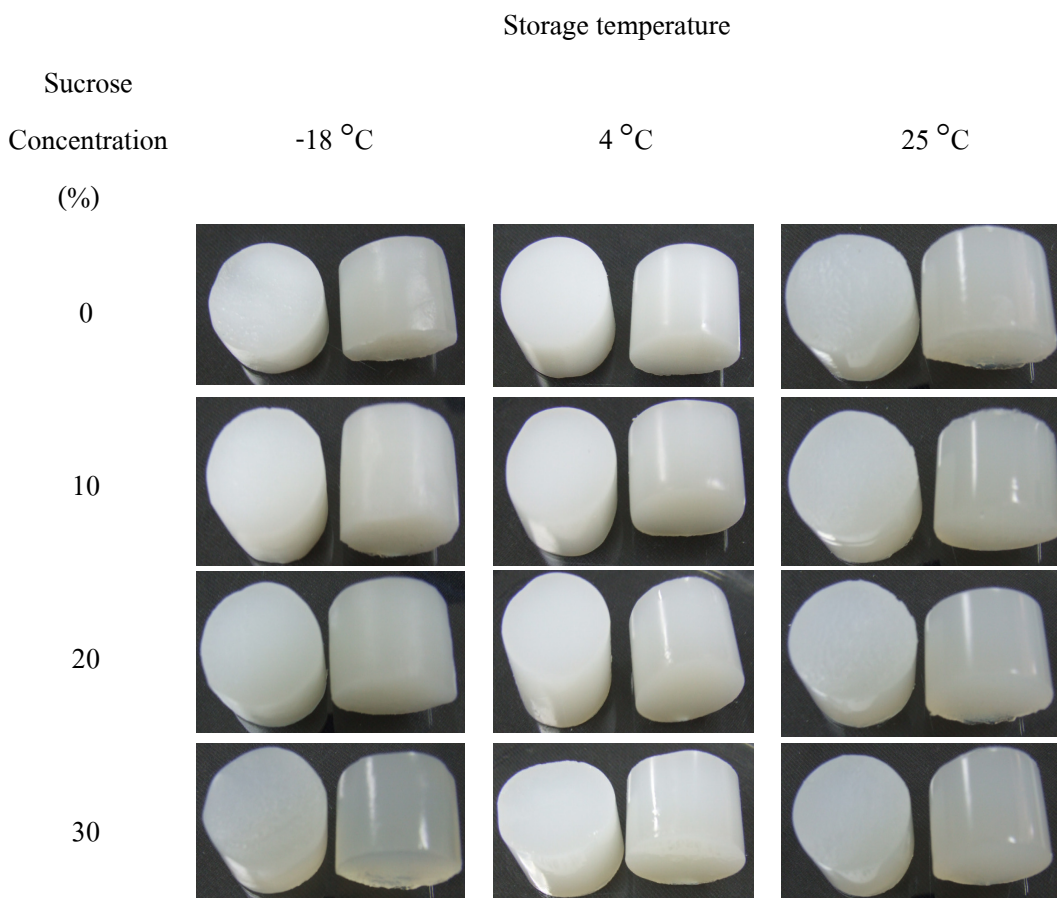
ภาพที่ 54 ลักษณะ X-ray diffraction pattern ของแป้งมันสำปะหลังและเจลแป้งมันสำปะหลัง ในสารละลายน้ำตาลซูโคโรสและเกลือโซเดียมคลอไรด์ที่ระดับความเข้มข้นต่าง ๆ เมื่อผ่านการเก็บที่อุณหภูมิ 4 องศาเซลเซียส เป็นเวลา 7 วัน

แป้งมันสำปะหลังมีลักษณะผลึกเป็นแบบ A-type คือ ไม่มีพิคที่มุมหักเห (diffraction angle)  $5.6^\circ$  แต่มีพิคที่มุมหักเห  $17^\circ$  และ  $17.9^\circ$  และมีพิคเดี่ยวที่มุมหักเห  $23^\circ$  เมื่อนำมาผ่านกระบวนการให้ความร้อนในสารละลายน้ำตาลซูโครัสและเกลือโซเดียมคลอไรด์ และเก็บที่อุณหภูมิ 4 องศาเซลเซียส เป็นเวลา 7 วัน แล้วอบแห้งแบบเยือกแข็ง และนำมาตรวจสอบลักษณะโครงสร้างผลึกเพื่อตรวจสอบการจัดเรียงตัวกันใหม่ของโครงสร้างผลึกในเจลแป้ง พบว่าในเจลแป้งที่ไม่มีน้ำตาลซูโครัสและเกลือโซเดียมคลอไรด์ จะไม่พบพิคที่มุมดังกล่าว แสดงให้เห็นว่าไม่มีการกลับมาจัดเรียงตัวกันใหม่ของโครงสร้างผลึกในระดับที่สามารถตรวจวิเคราะห์ได้ด้วยเทคนิค X-ray diffractometry ในขณะที่พบลักษณะของพิคที่มุมดังกล่าวในเจลแป้งที่มีน้ำตาลซูโครัสที่ทุกระดับความเข้มข้น แต่พื้นที่ได้กราฟของพิคที่มุมดังกล่าวซึ่งบนอกลึกระดับโครงสร้างผลึกจะมีค่าลดลงเมื่อเทียบกับแป้งมันสำปะหลังดิน แสดงให้เห็นว่า การเติมน้ำตาลซูโครัสมีผลทำให้เกิดการจัดเรียงตัวกันใหม่ของโครงสร้างผลึกที่ไม่สมบูรณ์ สำหรับเจลแป้งที่มีเกลือโซเดียมคลอไรด์จะไม่ปรากฏลักษณะของพิคที่มุมดังกล่าว แสดงให้เห็นว่าเกลือโซเดียมคลอไรด์มีผลในการยับยั้งการกลับมาจัดเรียงตัวกันใหม่ของโครงสร้างผลึกในเจลแป้งมันสำปะหลัง แต่พบพิคที่มุมหักเห  $27^\circ$  และ  $32^\circ$  ซึ่งเป็นพิคของเกลือโซเดียมคลอไรด์ในตัวอย่าง (Hashizume *et al.*, 1997) โดยพื้นที่ได้กราฟของพิคที่มุมดังกล่าวมีค่าเพิ่มขึ้นเมื่อความเข้มข้นของเกลือเพิ่มขึ้น

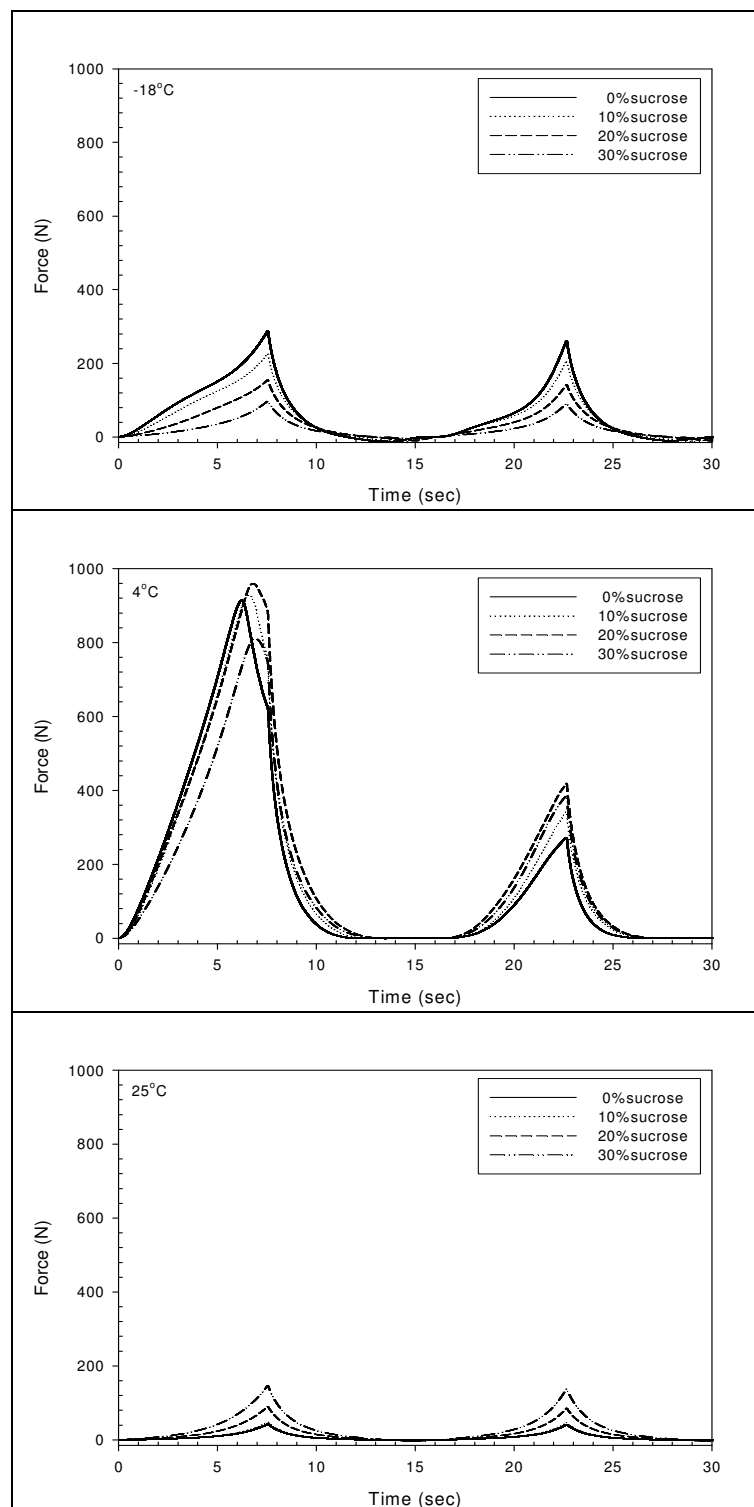
## 2.9 ลักษณะเนื้อสัมผัสของเจลแป้งมันสำปะหลัง

### 2.9.1 ผลของน้ำตาลซูโครัสต่อลักษณะเนื้อสัมผัสของเจลแป้งมันสำปะหลัง

ภาพที่ 55 และ 56 แสดงลักษณะของเจลแป้งมันสำปะหลังและผลการวัดค่าเค้าโครงคุณลักษณะเนื้อสัมผัส (Texture Profile Analysis, TPA) ของเจลแป้งมันสำปะหลังเข้มข้น 30% (โดยน้ำหนัก) ในสภาวะที่มีน้ำตาลซูโครัสเข้มข้น 0, 10, 20 และ 30% หลังการเก็บรักษาที่อุณหภูมิ -18, 4 และ 25 องศาเซลเซียส เป็นระยะเวลา 7 วัน ตามลำดับ



ภาพที่ 55 ลักษณะของเจลแป้งมันสำปะหลังในสภาวะที่มีน้ำตาลซูโครัสเข้มข้น 0-30% หลังการเก็บรักษาที่อุณหภูมิ -18, 4 และ 25 องศาเซลเซียส เป็นเวลา 7 วัน



**ภาพที่ 56** กราฟแสดงการเปลี่ยนแปลงลักษณะเนื้อสัมผัสของเจลเป็นมันสำปะหลังในสภาวะที่มีน้ำตาลซูโครัสเพิ่มขึ้น 0-30% หลังการเก็บรักษาที่อุณหภูมิ  $-18$ ,  $4$  และ  $25$  องศาเซลเซียส เป็นเวลา  $7$  วัน เมื่อวิเคราะห์ด้วยเครื่อง Texture Analyzer

เมื่อพิจารณาลักษณะของเจลแป้งมันสำปะหลัง หลังการเก็บรักษาที่อุณหภูมิ -18, 4 และ 25 องศาเซลเซียส เป็นเวลา 7 วัน ดังภาพที่ 55 พบว่าเจลแป้งหลังการเก็บรักษาที่ อุณหภูมิ 4 องศาเซลเซียส จะมีลักษณะบุ่นเทบແ Sangมากกว่าเจลแป้งที่ผ่านการเก็บรักษาที่อุณหภูมิ -18 และ 25 องศาเซลเซียส และพบว่าเจลแป้งในสภาวะที่มีน้ำตาลซูโครสลดลงการเก็บรักษาที่ อุณหภูมิ -18 องศาเซลเซียส จะมีลักษณะใสขึ้นเมื่อความเข้มข้นของน้ำตาลซูโครสเพิ่มขึ้น จากการ วิเคราะห์สมบัติทางค้านเนื้อสัมผัสต่าง ๆ ของเจลแป้งมันสำปะหลังในสภาวะที่มีน้ำตาลซูโครส ได้ผลดังแสดงในภาพที่ 56 และตารางที่ 28

ตารางที่ 28 สมบัติเนื้อสัมผัสของเจลแป้งมันสำปะหลังในสภาวะที่มีน้ำตาลซูโครสเข้มข้น 0-30%

หลังการเก็บรักษาที่อุณหภูมิ -18, 4 และ 25 องศาเซลเซียส เป็นเวลา 7 วัน

เมื่อวิเคราะห์ด้วยเครื่อง Texture Analyzer

Textural properties	Sucrose concentration (%)	Storage temperature			Average
		-18°C	4°C	25°C	
Hardness (N)	0	28.28 ± 0.96 <sup>b,A</sup>	91.06 ± 0.26 <sup>a,AB</sup>	4.17 ± 0.08 <sup>c,C</sup>	41.17
	10	22.19 ± 1.01 <sup>b,B</sup>	92.19 ± 6.08 <sup>a,AB</sup>	4.71 ± 0.06 <sup>c,C</sup>	39.70
	20	15.18 ± 2.01 <sup>a,C</sup>	97.72 ± 0.56 <sup>a,A</sup>	8.82 ± 0.82 <sup>b,B</sup>	40.57
	30	9.55 ± 0.41 <sup>c,D</sup>	82.10 ± 0.99 <sup>a,B</sup>	14.38 ± 1.31 <sup>b,A</sup>	35.34
	Average	18.80	90.77	8.02	
Adhesiveness	0	-296.74 ± 42.26 <sup>a,A</sup>	-11.74 ± 5.96 <sup>b,NS</sup>	-17.83 ± 2.86 <sup>b,NS</sup>	-108.77
	10	-269.81 ± 8.96 <sup>a,A</sup>	-3.83 ± 2.53 <sup>c,NS</sup>	-25.44 ± 4.13 <sup>b,NS</sup>	-99.69
	20	-177.64 ± 11.75 <sup>a,B</sup>	-5.35 ± 4.25 <sup>b,NS</sup>	-36.72 ± 14.66 <sup>b,NS</sup>	-73.24
	30	-68.20 ± 2.31 <sup>a,C</sup>	-12.32 ± 2.65 <sup>c,NS</sup>	-50.42 ± 3.65 <sup>b,NS</sup>	-43.65
	Average	-196.35	-8.31	-32.60	
Springiness	0	0.84 ± 0.00	0.82 ± 0.01	0.88 ± 0.01	0.85 <sup>NS</sup>
	10	0.88 ± 0.01	0.79 ± 0.04	0.86 ± 0.01	0.84 <sup>NS</sup>
	20	0.87 ± 0.02	0.83 ± 0.02	0.86 ± 0.03	0.86 <sup>NS</sup>
	30	0.88 ± 0.00	0.81 ± 0.03	0.87 ± 0.00	0.85 <sup>NS</sup>
	Average	0.87 <sup>a</sup>	0.81 <sup>b</sup>	0.87 <sup>a</sup>	

ตารางที่ 28 (ต่อ)

Textural properties	Sucrose concentration (%)	Storage temperature			Average
		-18°C	4°C	25°C	
Cohesiveness	0	0.61 ± 0.01	0.19 ± 0.02	0.90 ± 0.01	0.57 <sup>B</sup>
	10	0.65 ± 0.00	0.25 ± 0.08	0.91 ± 0.00	0.60 <sup>AB</sup>
	20	0.71 ± 0.01	0.29 ± 0.12	0.86 ± 0.01	0.62 <sup>AB</sup>
	30	0.82 ± 0.00	0.33 ± 0.10	0.85 ± 0.00	0.66 <sup>A</sup>
	Average	0.69 <sup>b</sup>	0.26 <sup>c</sup>	0.88 <sup>a</sup>	
Gumminess	0	17.13 ± 0.43	17.17 ± 1.70	3.76 ± 0.09	12.69 <sup>NS</sup>
	10	14.41 ± 0.68	22.44 ± 5.76	4.27 ± 0.05	13.70 <sup>NS</sup>
	20	10.71 ± 1.29	28.43 ± 11.52	7.61 ± 0.61	15.74 <sup>NS</sup>
	30	7.78 ± 0.31	27.08 ± 8.21	12.16 ± 1.06	15.67 <sup>NS</sup>
	Average	12.50 <sup>b</sup>	23.90 <sup>a</sup>	6.95 <sup>c</sup>	

หมายเหตุ ตัวอักษรพิมพ์เล็กที่ต่างกันในแถวเดียวกัน และตัวอักษรพิมพ์ใหญ่ที่ต่างกันในคอลัมน์

เดียวกันแสดงว่ามีความแตกต่างอย่างมีนัยสำคัญที่  $p \leq 0.05$ , ns = not significant

การเก็บรักษาเจลแป้งมันสำปะหลังที่อุณหภูมิต่างกันมีผลทำให้เจลแป้งมีค่าความแข็ง (Hardness) แตกต่างกันอย่างมีนัยสำคัญทางสถิติ (ตารางที่ 28 และภาพที่ 57) โดยการเก็บรักษาที่อุณหภูมิ 4 องศาเซลเซียส จะให้เจลที่มีความแข็งมากที่สุด รองลงมาคือเจลที่เก็บที่อุณหภูมิ -18 และ 25 องศาเซลเซียส ตามลำดับ ความเข้มข้นของน้ำตาลซูโครสที่เพิ่มขึ้นมีผลต่อการเปลี่ยนแปลงค่าความแข็งของเจลแป้งอย่างมีนัยสำคัญทางสถิติที่ทุกอุณหภูมิการเก็บรักษา โดยพบว่าการเก็บรักษาที่อุณหภูมิ -18 องศาเซลเซียส ทำให้เจลแป้งมีค่าความแข็งลดลงเมื่อความเข้มข้นของน้ำตาลซูโครสเพิ่มขึ้น การเก็บรักษาที่อุณหภูมิ 4 องศาเซลเซียส ทำให้เจลแป้งมีค่าความแข็งเพิ่มขึ้นเมื่อความเข้มข้นของน้ำตาลซูโครสเพิ่มจาก 0 ถึง 20% จากนั้นจะลดลงเล็กน้อยเมื่อความเข้มข้นเพิ่มขึ้นเป็น 30% และการเก็บรักษาที่อุณหภูมิ 25 องศาเซลเซียส ทำให้เจลแป้งมีค่าความแข็งเพิ่มขึ้นเมื่อความเข้มข้นของน้ำตาลซูโครสเพิ่มขึ้น โดยค่าความแข็งที่เพิ่มขึ้นเป็นผลมาจากการเกิดรีไทร์โกรเดชัน (Stephen, 1995) ค่าความแข็งของเจลแป้งหลังการเก็บรักษาที่อุณหภูมิ 4 และ 25 องศาเซลเซียส เป็นไปในทิศทางเดียวกับร้อยละการเกิดรีไทร์โกรเดชันเมื่อวิเคราะห์ด้วย DSC ในขณะที่เจลแป้งหลังการเก็บรักษาที่อุณหภูมิ -18 องศาเซลเซียส รีไทร์โกรดเพียงเล็กน้อยแต่มีค่า

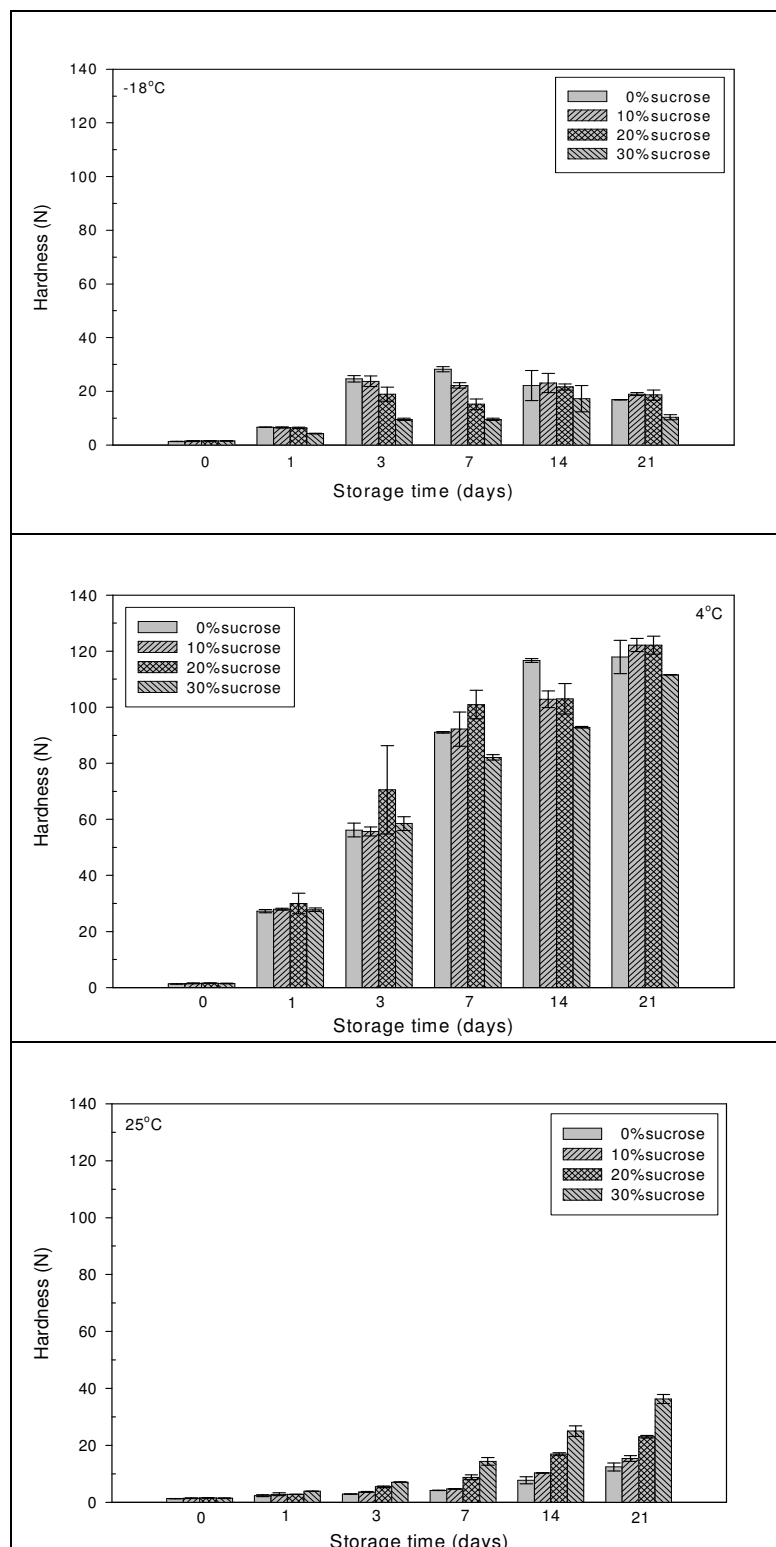
ความแข็งมากกว่าเจลที่เก็บรักษาที่อุณหภูมิ 25 องศาเซลเซียส อาจเนื่องมาจากอัตราการลดอุณหภูมิระหว่างการแข็งเยือกแข็งเป็นไปอย่างช้า เจลแป้งบางส่วนจึงสามารถรีไทร์เกรดได้ดีกว่า นอกจากนี้ระยะเวลาการเก็บรักษาขึ้นอยู่กับต่อการเปลี่ยนแปลงค่าความแข็งของเจลแป้งมันสำปะหลัง โดยพบว่า เจลแป้งมันสำปะหลังมีความแข็งเพิ่มขึ้นเมื่อเก็บเป็นระยะเวลานานขึ้น โดยเฉพาะเจลที่ผ่านการเก็บรักษาที่อุณหภูมิ 4 และ 25 องศาเซลเซียส และพบว่าการเพิ่มความเข้มข้นของน้ำตาลชูโกรสไม่มีอิทธิพลที่แน่นอนต่อค่าความแข็งของเจลแป้งเมื่อเก็บรักษาที่อุณหภูมิ -18 และ 4 องศาเซลเซียส ในขณะที่เจลแป้งที่เก็บรักษาที่อุณหภูมิ 25 องศาเซลเซียส มีค่าความแข็งเพิ่มขึ้นเมื่อความเข้มข้นของน้ำตาลชูโกรสเพิ่มขึ้น

เจลแป้งหลังการเก็บรักษาที่อุณหภูมิ -18 องศาเซลเซียส มีความสามารถในการเกาะติดผิวสัมผัส (Adhesiveness) มากที่สุด รองลงมาคือเจลที่เก็บที่อุณหภูมิ 25 และ 4 องศาเซลเซียส ตามลำดับ (ตารางที่ 28 และภาพที่ 58) ทั้งนี้อิทธิพลของความเข้มข้นของน้ำตาลชูโกรสต่อความสามารถในการเกาะติดผิวสัมผัสของเจลขึ้นอยู่กับอุณหภูมิที่ใช้ในการเก็บรักษา เจลแป้ง ความสามารถในการเกาะติดผิวสัมผัสของเจลที่เก็บที่อุณหภูมิ -18 และ 4 องศาเซลเซียส มีแนวโน้มที่จะลดลงเมื่อความเข้มข้นของน้ำตาลชูโกรสเพิ่มขึ้น ในขณะที่ความสามารถในการเกาะติดผิวสัมผัสของเจลที่เก็บที่อุณหภูมิ 25 องศาเซลเซียส มีแนวโน้มที่จะเพิ่มขึ้นเมื่อความเข้มข้นของน้ำตาลชูโกรสเพิ่มขึ้น ระยะเวลาการเก็บรักษาเจลแป้งมีผลต่อการเปลี่ยนแปลงความสามารถในการเกาะติดผิวสัมผัสอย่างมีนัยสำคัญทางสถิติ โดยพบว่าการเก็บรักษาเจลแป้งที่อุณหภูมิ 4 องศาเซลเซียส ทำให้เจลแป้งมีความสามารถในการเกาะติดผิวสัมผัสลดลงอย่างต่อเนื่องเมื่อเก็บเป็นระยะเวลานานขึ้น และการเก็บรักษาเจลแป้งที่อุณหภูมิ -18 องศาเซลเซียส ทำให้เจลแป้งมีความสามารถในการเกาะติดผิวสัมผัสเพิ่มขึ้นเมื่อเก็บเป็นระยะเวลานานขึ้น ในขณะที่ไม่พบแนวโน้มการเปลี่ยนแปลงที่แน่นอนของความสามารถในการเกาะติดผิวสัมผัสในเจลแป้งที่เก็บรักษาที่อุณหภูมิ 25 องศาเซลเซียส และความเข้มข้นของน้ำตาลชูโกรสที่เพิ่มขึ้นไม่มีผลที่ชัดเจนต่อความสามารถในการเกาะติดผิวสัมผัสของเจลแป้งมันสำปะหลัง

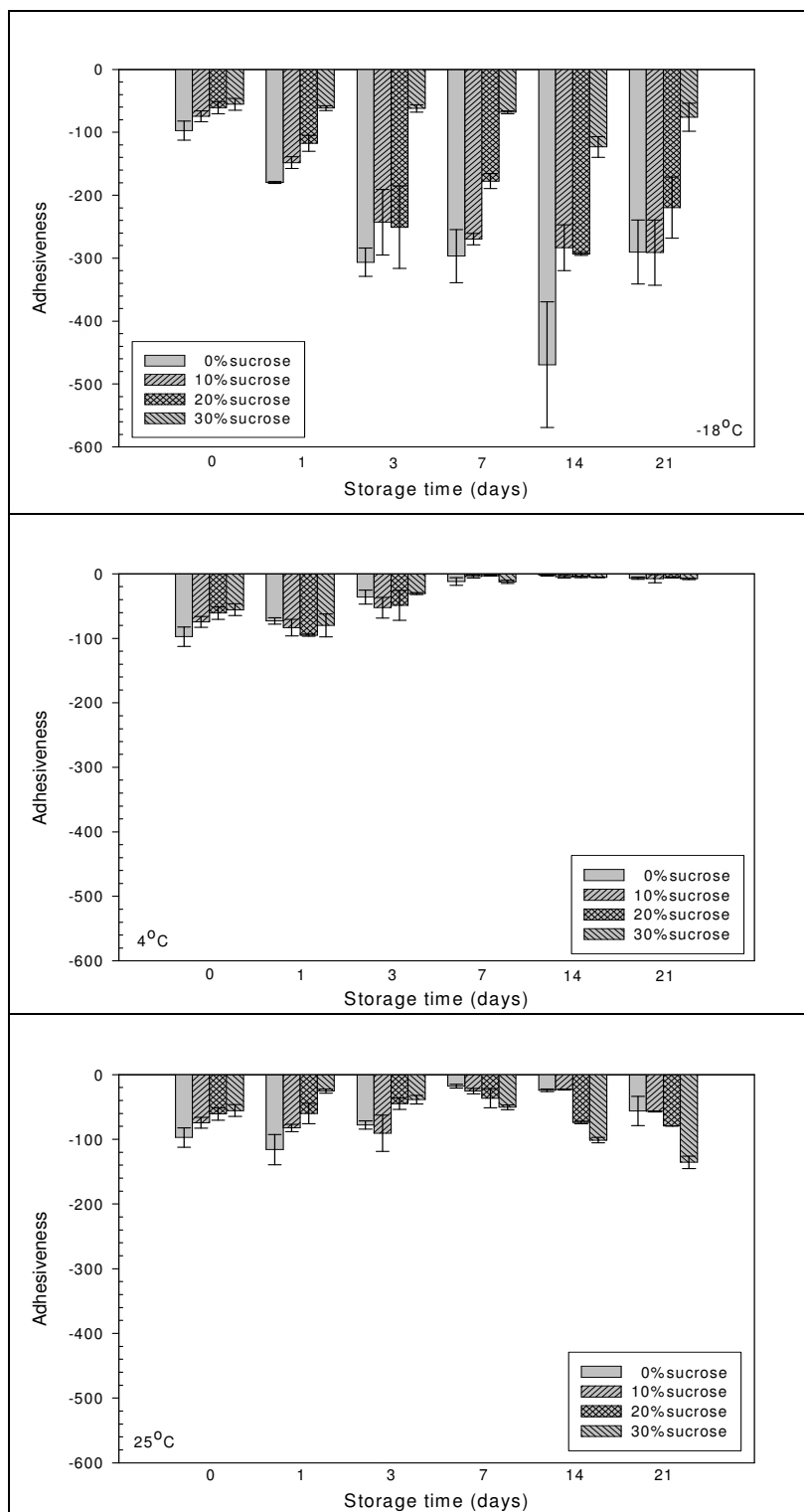
ความยืดหยุ่นของเจลแป้งมันสำปะหลัง (Springiness) หลังการเก็บรักษาที่อุณหภูมิ -18, 4 และ 25 องศาเซลเซียส มีค่าสูงกว่าเจลที่ไม่ผ่านการเก็บรักษา และมีค่าเปลี่ยนแปลงเพียงเล็กน้อยในสภาวะที่มีน้ำตาลชูโกรสทุกระดับความเข้มข้น (ตารางที่ 28 และภาพที่ 59) ในขณะที่ความสามารถในการรวมตัวกัน (Cohesiveness) ของเจลแป้งมันสำปะหลังมีค่าลดลงอย่างชัดเจน หลังการเก็บรักษาที่อุณหภูมิ 4 องศาเซลเซียส (ตารางที่ 28 และภาพที่ 60) โดยเจลแป้งจะมีค่าการ

เก้าารวมตัวกันสูงหลังการเก็บรักษาที่อุณหภูมิ 25, -18 และ 4 องศาเซลเซียส ตามลำดับ ความสามารถเก้าารวมตัวกันแสดงให้เห็นถึงความแข็งแรงของพันธะภายในที่เกิดขึ้นซึ่งทำให้ตัวอย่างทนต่อแรงที่มากระทำก่อนที่ตัวอย่างจะขาดหรือแยกออกจากกัน แสดงให้เห็นว่าเจลแป้งริโตรเกรดได้น้อยที่อุณหภูมิ 25 และ -18 องศาเซลเซียส แต่โครงสร้างพลีกที่เกิดขึ้นภายในเจลจะมีความแข็งแรงมาก และพบว่าเมื่อความเข้มข้นของน้ำตาลชูโครัสเพิ่มขึ้นความสามารถเก้าารวมตัวกันของเจลจะมีค่าสูงขึ้น โดยเฉพาะในเจลที่เก็บที่อุณหภูมิ -18 และ 4 องศาเซลเซียส เมื่อเก็บรักษาเป็นระยะเวลานานขึ้น เจลแป้งมันสำปะหลังจะมีความสามารถเก้าารวมตัวกันลดลงโดยเฉพาะเจลที่เก็บที่อุณหภูมิ 4 องศาเซลเซียส

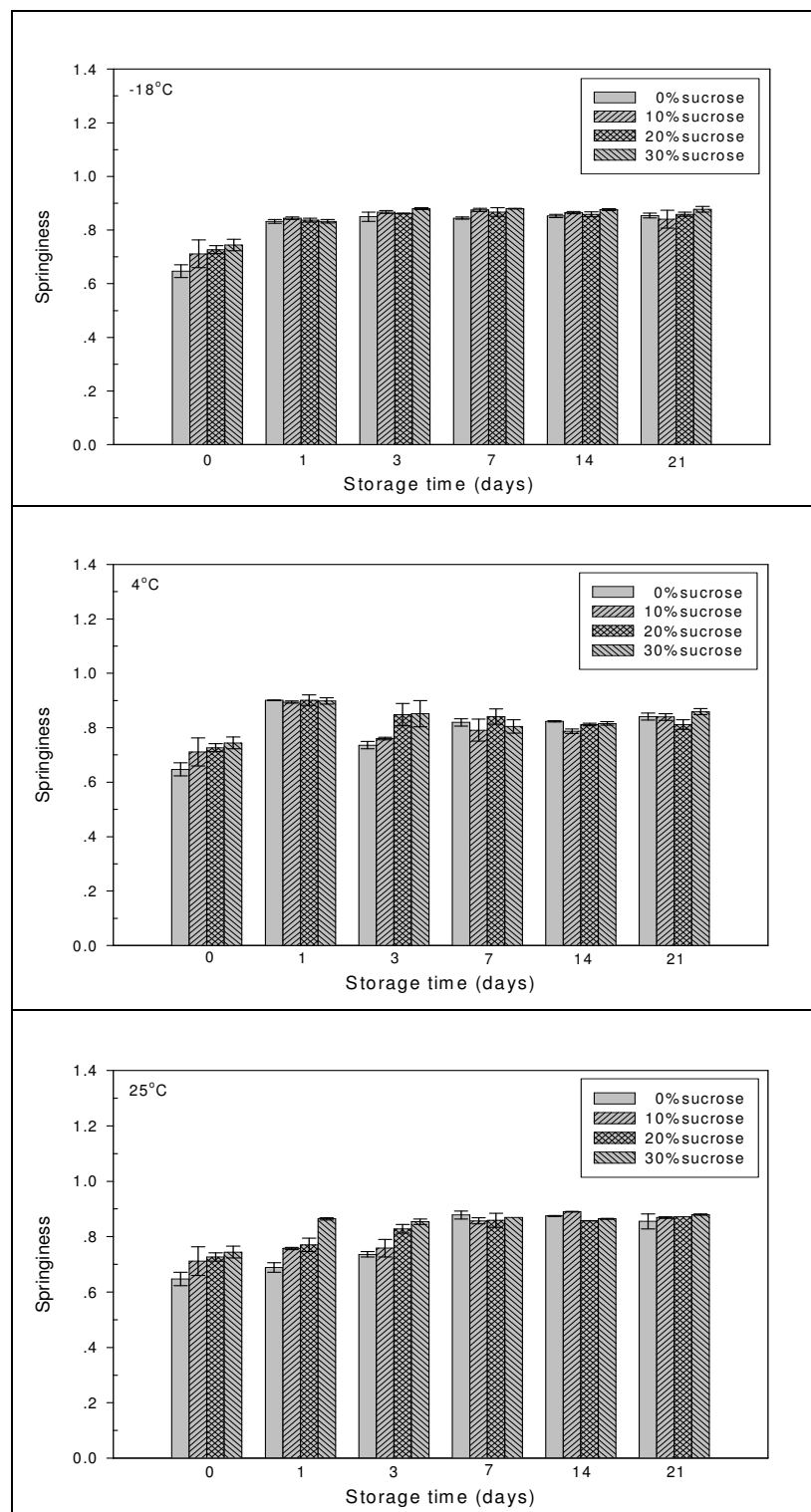
ความเหนียวเป็นยาง (Gumminess) ของเจลแป้งมันสำปะหลังมีค่าสูงสุด หลังจากเก็บรักษาที่อุณหภูมิ 4 องศาเซลเซียส (ตารางที่ 28 และภาพที่ 61) โดยมีแนวโน้มที่จะเพิ่มขึ้นเมื่อความเข้มข้นของน้ำตาลชูโครัสสูงขึ้น ยกเว้นเจลที่เก็บที่อุณหภูมิ -18 องศาเซลเซียส และค่าความเหนียวเป็นยางจะเพิ่มขึ้นอย่างต่อเนื่องสำหรับเจลแป้งที่ผ่านการเก็บรักษาที่อุณหภูมิ 25 องศาเซลเซียส



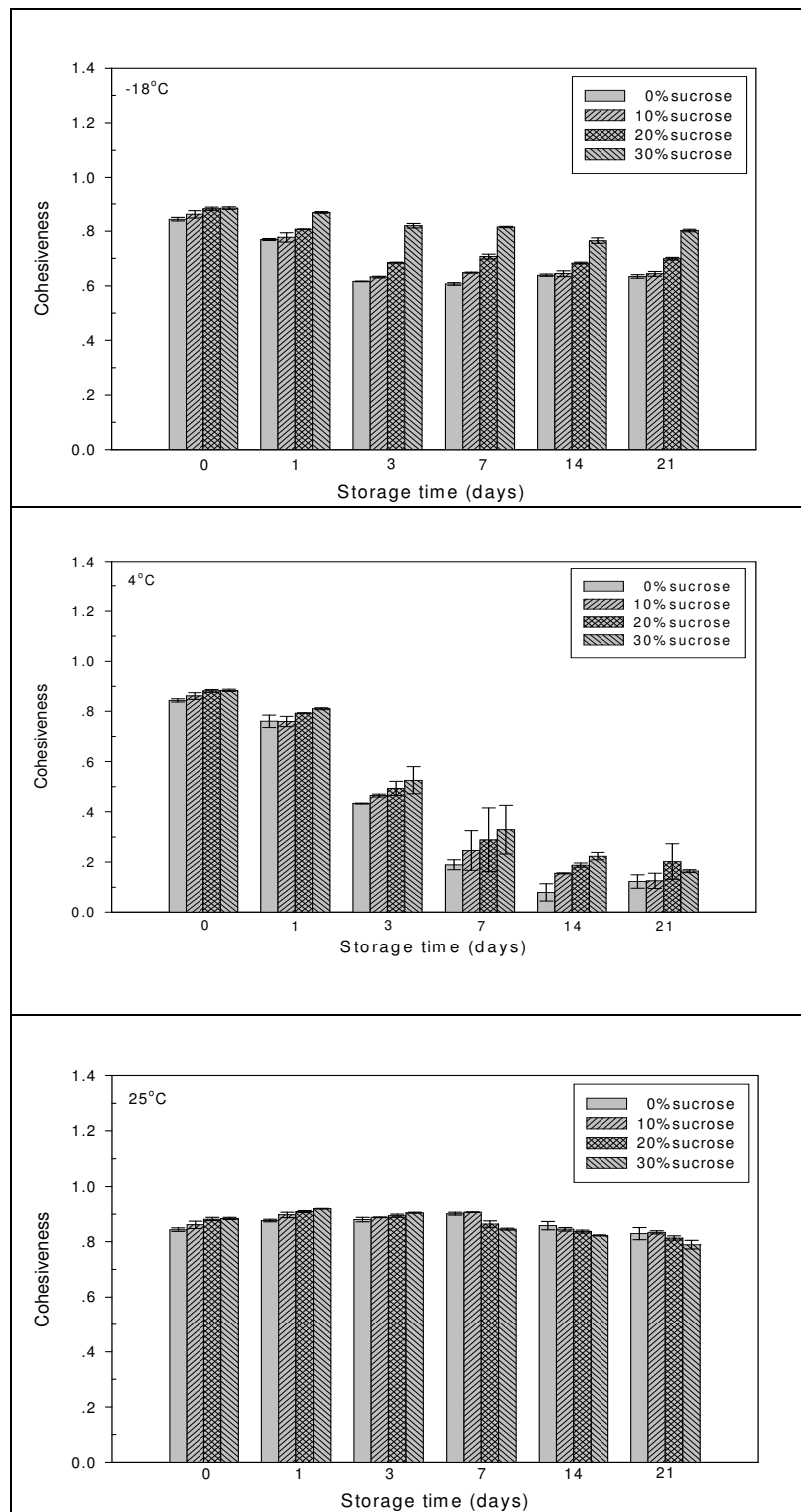
ภาพที่ 57 ผลของน้ำตาลชูโรสเพิ่มขึ้น 0-30% ต่อค่าความแข็งของเจลเป็นมันดำปะหลัง  
หลังการเก็บรักษาที่อุณหภูมิ -18, 4 และ 25 องศาเซลเซียส เป็นเวลา 0-21 วัน



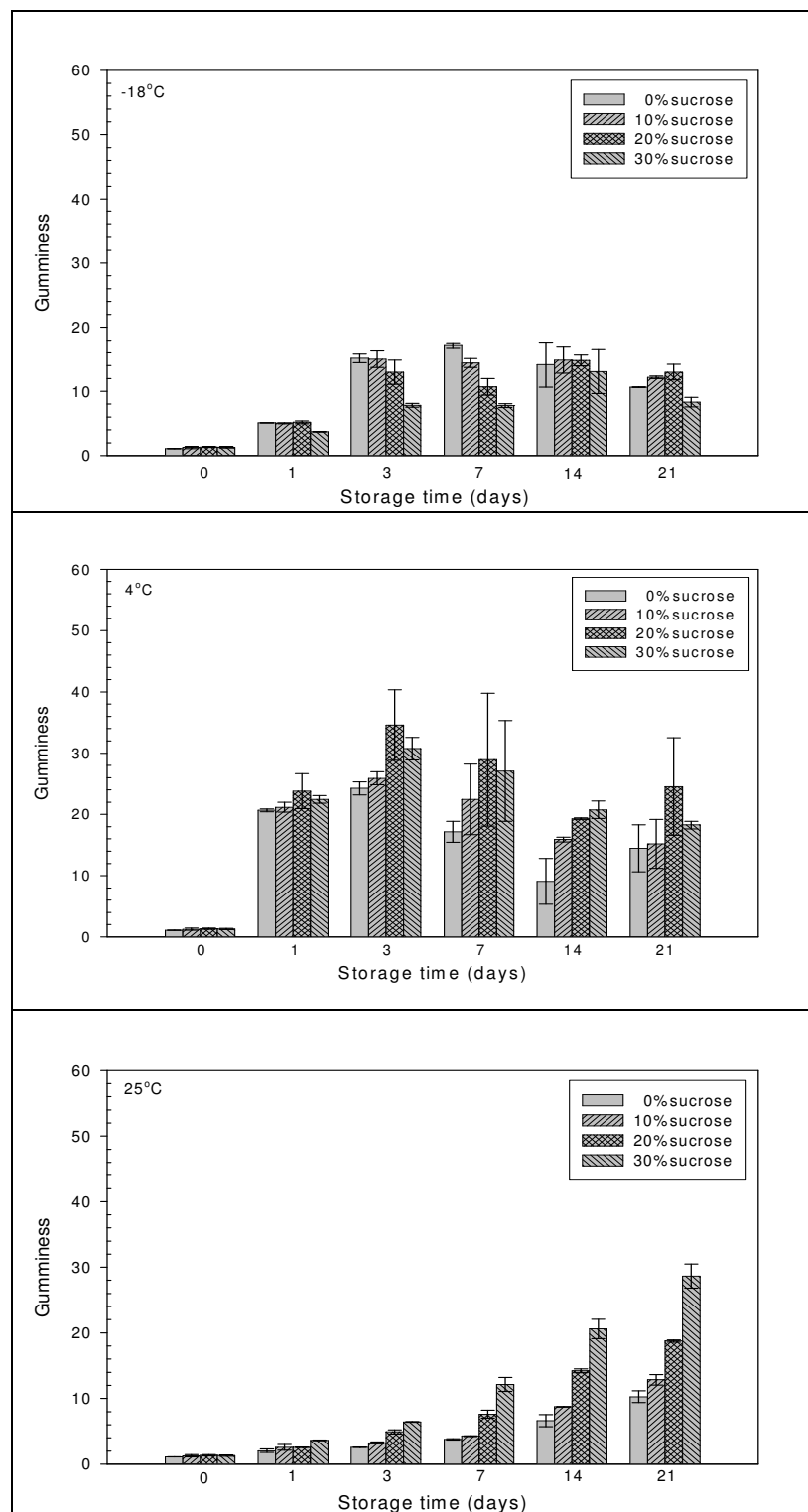
ภาพที่ 58 ผลของน้ำตาลซูครัสเข้มข้น 0-30% ต่อความสามารถในการเก็บติดผิวสัมผสของเจลแป้งมันดำปะหลัง หลังการเก็บรักษาที่อุณหภูมิ -18, 4 และ 25 องศาเซลเซียส เป็นเวลา 0-21 วัน



ภาพที่ 59 ผลของนำตาลชูโกรสเข้มข้น 0-30% ต่อความยืดหยุ่นของเจลแป้งมันสำปะหลัง  
หลังการเก็บรักษาที่อุณหภูมิ -18, 4 และ 25 องศาเซลเซียส เป็นเวลา 0-21 วัน



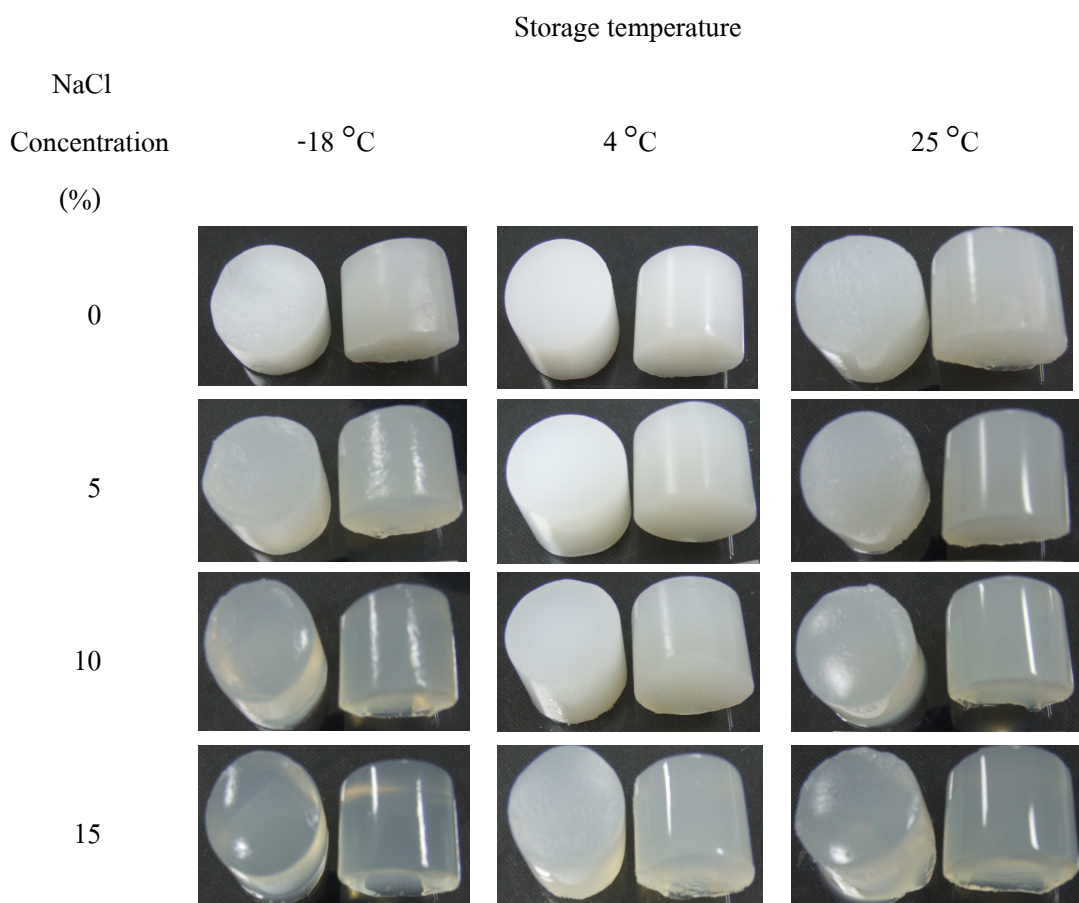
ภาพที่ 60 ผลของนำตาลซูโครัสเพิ่มขึ้น 0-30% ต่อความสามารถในการรวมตัวกันของเจลแป้งมันสำปะหลัง หลังการเก็บรักษาที่อุณหภูมิ -18, 4 และ 25 องศาเซลเซียส เป็นเวลา 0-21 วัน



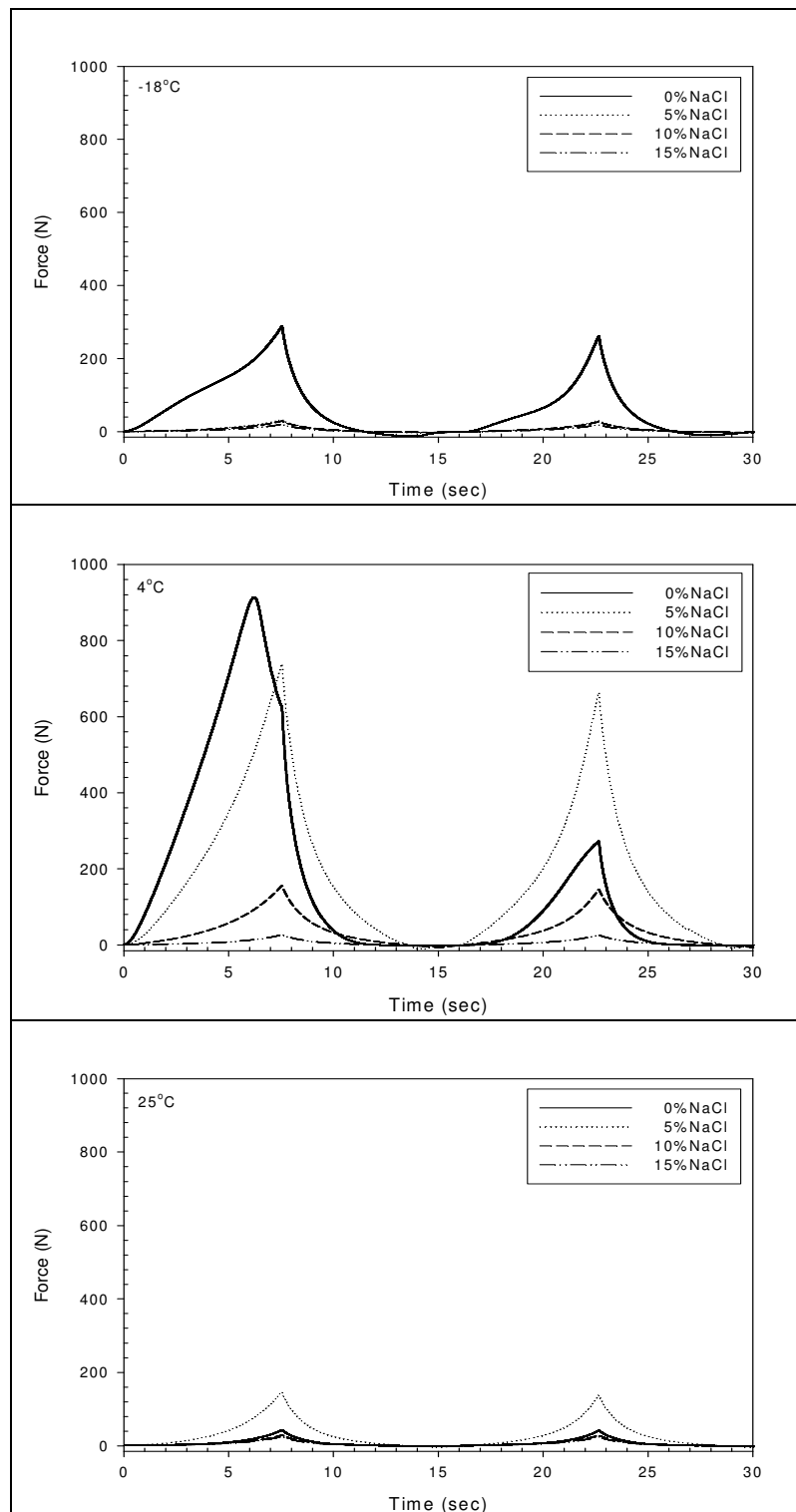
ภาพที่ 61 ผลของน้ำตาลซูโครัสเข้มข้น 0-30% ต่อค่าความเหนียวเป็นยางของเจลแป้ง  
มันสำปะหลัง หลังการเก็บรักษาที่อุณหภูมิ -18, 4 และ 25 องศาเซลเซียส  
เป็นเวลา 0-21 วัน

### 2.9.2 ผลของเกลือโซเดียมคลอไรด์ต่อลักษณะเนื้อสัมผัสของเจลแป้งมันสำปะหลัง

ภาพที่ 62 และ 63 แสดงลักษณะของเจลแป้งมันสำปะหลังและผลการวัดค่าเก้าโครงคุณลักษณะเนื้อสัมผัส (Texture Profile Analysis, TPA) ของเจลแป้งมันสำปะหลังเข้มข้น 30% (โดยน้ำหนัก) ในสภาวะที่มีสารละลายเกลือโซเดียมคลอไรด์เข้มข้น 0, 5, 10 และ 15% หลังการเก็บรักษาที่อุณหภูมิ -18, 4 และ 25 องศาเซลเซียส เป็นระยะเวลา 7 วัน ตามลำดับ



ภาพที่ 62 ลักษณะของเจลแป้งมันสำปะหลังในสารละลายเกลือโซเดียมคลอไรด์เข้มข้น 0-15% หลังการเก็บรักษาที่อุณหภูมิ -18, 4 และ 25 องศาเซลเซียส เป็นเวลา 7 วัน



ภาพที่ 63 กราฟแสดงการเปลี่ยนแปลงลักษณะเนื้อสัมผัสของเจลเป็นมันสำปะหลังในสภาวะที่มีเกลือโซเดียมคลอไรด์เพิ่มขึ้น 0-15% หลังการเก็บรักษาที่อุณหภูมิ -18, 4 และ 25 องศาเซลเซียส เป็นเวลา 7 วัน เมื่อวิเคราะห์ด้วยเครื่อง Texture Analyzer

เมื่อพิจารณาลักษณะของเจลแป้งมันสำปะหลัง หลังการเก็บรักษาที่อุณหภูมิ -18, 4 และ 25 องศาเซลเซียส เป็นเวลา 7 วัน ดังภาพที่ 62 พบว่าเจลแป้งหลังการเก็บรักษาที่ อุณหภูมิ 4 องศาเซลเซียส จะมีลักษณะยุ่นทึบແ Sangมากกว่าเจลแป้งที่ผ่านการเก็บที่อุณหภูมิ -18 และ 25 องศาเซลเซียส และพบว่าเจลแป้งในสภาวะที่มีเกลือโซเดียมคลอไรด์หลังการเก็บรักษาที่ทุก อุณหภูมิจะมีลักษณะใสขึ้นเมื่อความเข้มข้นของเกลือโซเดียมคลอไรด์เพิ่มขึ้น จากการวิเคราะห์ สมบัติทางด้านเนื้อสัมผัสต่าง ๆ ของเจลแป้งมันสำปะหลังในสภาวะที่มีเกลือโซเดียมคลอไรด์ได้ผล ดังแสดงในภาพที่ 63 และตารางที่ 29

**ตารางที่ 29** สมบัติเนื้อสัมผัสของเจลแป้งมันสำปะหลังในสภาพที่มีเกลือโซเดียมคลอไรด์  
เพิ่มขึ้น 0-15% หลังการเก็บรักษาที่อุณหภูมิ -18, 4 และ 25 องศาเซลเซียส  
เป็นเวลา 7 วัน เมื่อวิเคราะห์ด้วยเครื่อง Texture Analyzer

Textural properties	NaCl concentration (%)	Storage temperature		
		-18°C	4°C	25°C
Hardness (N)	0	28.28 ± 0.96 <sup>b,A</sup>	91.06 ± 0.26 <sup>a,A</sup>	4.17 ± 0.08 <sup>c,A</sup>
	5	3.20 ± 0.18 <sup>b,B</sup>	74.02 ± 0.70 <sup>a,B</sup>	3.92 ± 0.30 <sup>b,A</sup>
	10	2.80 ± 0.12 <sup>b,B</sup>	15.37 ± 1.63 <sup>a,C</sup>	2.86 ± 0.16 <sup>b,B</sup>
	15	1.94 ± 0.13 <sup>b,B</sup>	2.61 ± 0.06 <sup>a,D</sup>	2.45 ± 0.02 <sup>a,B</sup>
Adhesiveness	0	-296.74 ± 42.26 <sup>a,A</sup>	-11.74 ± 5.96 <sup>b,NS</sup>	-17.83 ± 2.86 <sup>b,C</sup>
	5	-96.49 ± 17.19 <sup>ns,B</sup>	-78.58 ± 29.68 <sup>ns,NS</sup>	-33.62 ± 0.09 <sup>ns,B</sup>
	10	-63.00 ± 3.37 <sup>ns,B</sup>	-51.53 ± 52.61 <sup>ns,NS</sup>	-47.30 ± 3.96 <sup>ns,A</sup>
	15	-46.71 ± 1.85 <sup>ns,B</sup>	-56.97 ± 22.71 <sup>ns,NS</sup>	-43.39 ± 8.09 <sup>ns,AB</sup>
Springiness	0	0.84 ± 0.00 <sup>ab,A</sup>	0.82 ± 0.01 <sup>b,NS</sup>	0.88 ± 0.01 <sup>a,A</sup>
	5	0.79 ± 0.00 <sup>c,B</sup>	0.89 ± 0.00 <sup>a,NS</sup>	0.83 ± 0.01 <sup>b,B</sup>
	10	0.80 ± 0.00 <sup>b,B</sup>	0.85 ± 0.01 <sup>a,NS</sup>	0.80 ± 0.03 <sup>b,B</sup>
	15	0.79 ± 0.01 <sup>ns,B</sup>	0.79 ± 0.05 <sup>ns,NS</sup>	0.80 ± 0.00 <sup>ns,B</sup>
Cohesiveness	0	0.61 ± 0.01 <sup>b,D</sup>	0.19 ± 0.02 <sup>c,D</sup>	0.90 ± 0.01 <sup>a,B</sup>
	5	0.82 ± 0.00 <sup>b,C</sup>	0.73 ± 0.08 <sup>c,C</sup>	0.92 ± 0.00 <sup>a,A</sup>
	10	0.85 ± 0.00 <sup>b,B</sup>	0.83 ± 0.12 <sup>b,B</sup>	0.92 ± 0.01 <sup>a,A</sup>
	15	0.87 ± 0.00 <sup>b,A</sup>	0.91 ± 0.10 <sup>a,A</sup>	0.91 ± 0.00 <sup>a,AB</sup>
Gumminess	0	17.13 ± 0.43 <sup>a,A</sup>	17.17 ± 1.70 <sup>a,B</sup>	3.76 ± 0.09 <sup>b,A</sup>
	5	2.64 ± 0.15 <sup>b,B</sup>	54.27 ± 1.80 <sup>a,A</sup>	3.59 ± 0.28 <sup>b,A</sup>
	10	2.37 ± 0.10 <sup>b,B</sup>	12.60 ± 0.95 <sup>a,C</sup>	2.62 ± 0.13 <sup>b,B</sup>
	15	1.69 ± 0.11 <sup>b,C</sup>	2.36 ± 0.10 <sup>a,D</sup>	2.23 ± 0.02 <sup>a,B</sup>

หมายเหตุ ตัวอักษรพิมพ์เล็กที่ต่างกันในแถวเดียวกัน และตัวอักษรพิมพ์ใหญ่ที่ต่างกันในคอลัมน์  
เดียวกันแสดงว่ามีความแตกต่างอย่างมีนัยสำคัญที่  $p \leq 0.05$ , ns = not significant

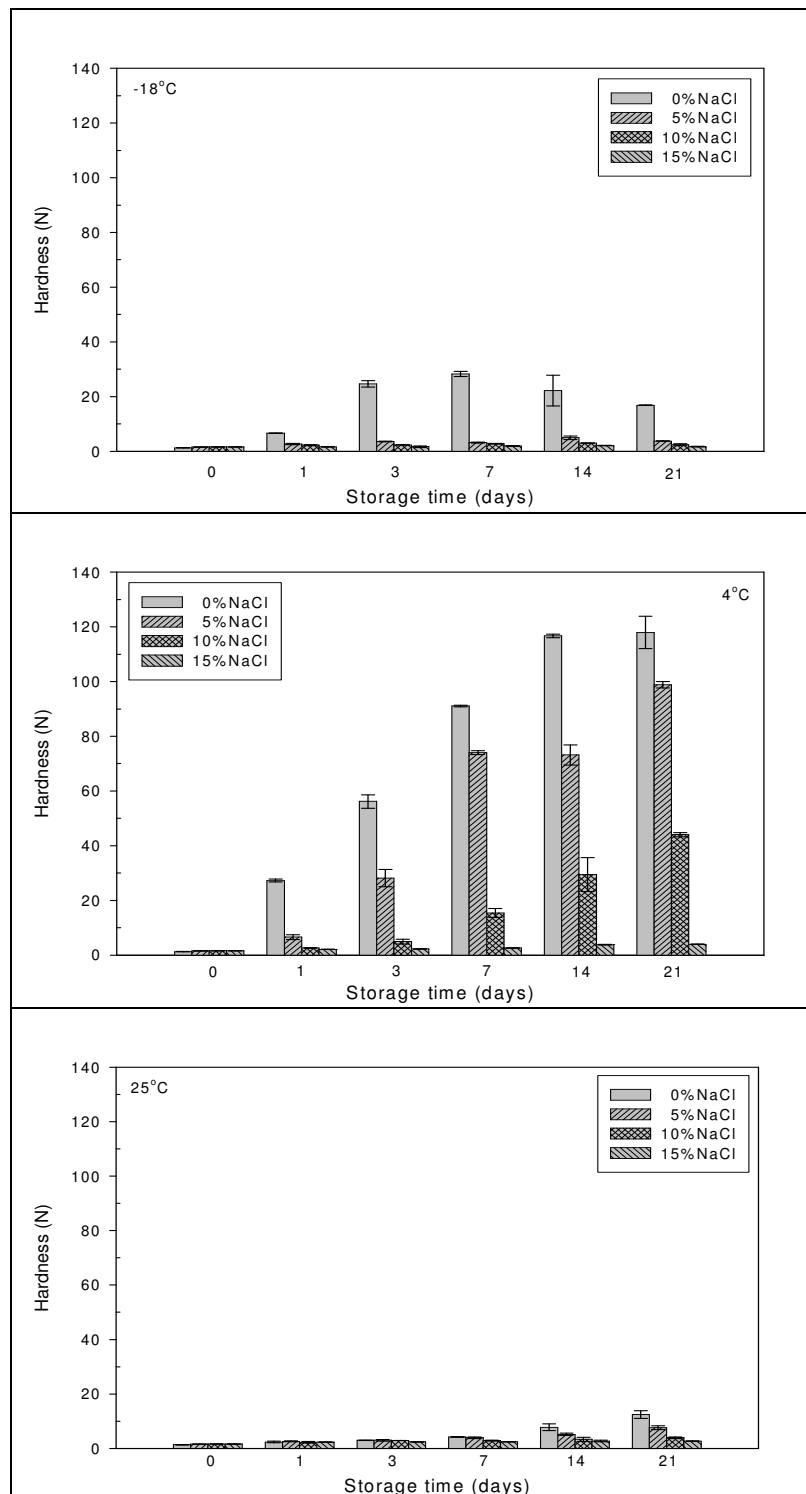
การเก็บเจลที่อุณหภูมิต่างกันมีผลทำให้เจลแป้งมันสำปะหลังมีค่าความแข็ง (Hardness) แตกต่างกัน (ตารางที่ 29 และภาพที่ 64) การเก็บรักษาเจลแป้งที่อุณหภูมิ 4 องศาเซลเซียส จะทำให้เจลแป้งมีค่าความแข็งมากที่สุด รองลงมาคือการเก็บรักษาที่อุณหภูมิ -18 และ 25 องศาเซลเซียส ตามลำดับ และค่าความแข็งของเจลแป้งหลังผ่านการเก็บรักษาที่ทุกอุณหภูมิ จะมีค่าลดลงเมื่อความเข้มข้นของเกลือโซเดียมคลอไรด์เพิ่มขึ้น โดยค่าความแข็งเป็นผลมาจากการกระบวนการรีโทรเกรเดชัน (Stephen, 1995) ค่าความแข็งของเจลแป้งหลังการเก็บรักษาที่อุณหภูมิต่าง ๆ ในสภาวะที่มีเกลือโซเดียมคลอไรด์ทุกระดับความเข้มข้นลดลงสอดคล้องกับการเกิดรีโทรเกรเดชันที่อุณหภูมิต่าง ๆ เมื่อวิเคราะห์ด้วย DSC นอกจากนี้เจลแป้งมันสำปะหลังจะมีความแข็งเพิ่มขึ้นเมื่อเก็บเป็นระยะเวลานานขึ้น โดยเฉพาะเจลที่ผ่านการเก็บรักษาที่อุณหภูมิ 4 องศาเซลเซียส

โดยทั่วไปเจลแป้งที่ผ่านการเก็บรักษาที่อุณหภูมิ -18 องศาเซลเซียส จะมีความสามารถในการเกาะติดผิววัสดุ (Adhesiveness) มากที่สุด (ตารางที่ 29 และภาพที่ 65) ในขณะที่ความสามารถในการเกาะติดผิววัสดุของเจลมีแนวโน้มการเปลี่ยนแปลงที่ไม่แน่นอนเมื่อความเข้มข้นของเกลือโซเดียมคลอไรด์เพิ่มขึ้น ขึ้นอยู่กับอุณหภูมิในการเก็บรักษาโดยมีค่าลดลงเมื่อเก็บที่อุณหภูมิ -18 องศาเซลเซียส ในขณะที่มีแนวโน้มเพิ่มขึ้นเมื่อเก็บที่อุณหภูมิ 4 องศาเซลเซียส และมีค่าเพิ่มขึ้นเมื่อเก็บที่อุณหภูมิ 25 องศาเซลเซียส นอกจากนี้การเปลี่ยนแปลงของค่าความสามารถในการเกาะติดผิววัสดุของเจลแป้งมันสำปะหลังในสภาวะที่มีเกลือโซเดียมคลอไรด์ซึ่งมีแนวโน้มที่ไม่แน่นอนเมื่อเก็บรักษาเป็นระยะเวลานานขึ้น

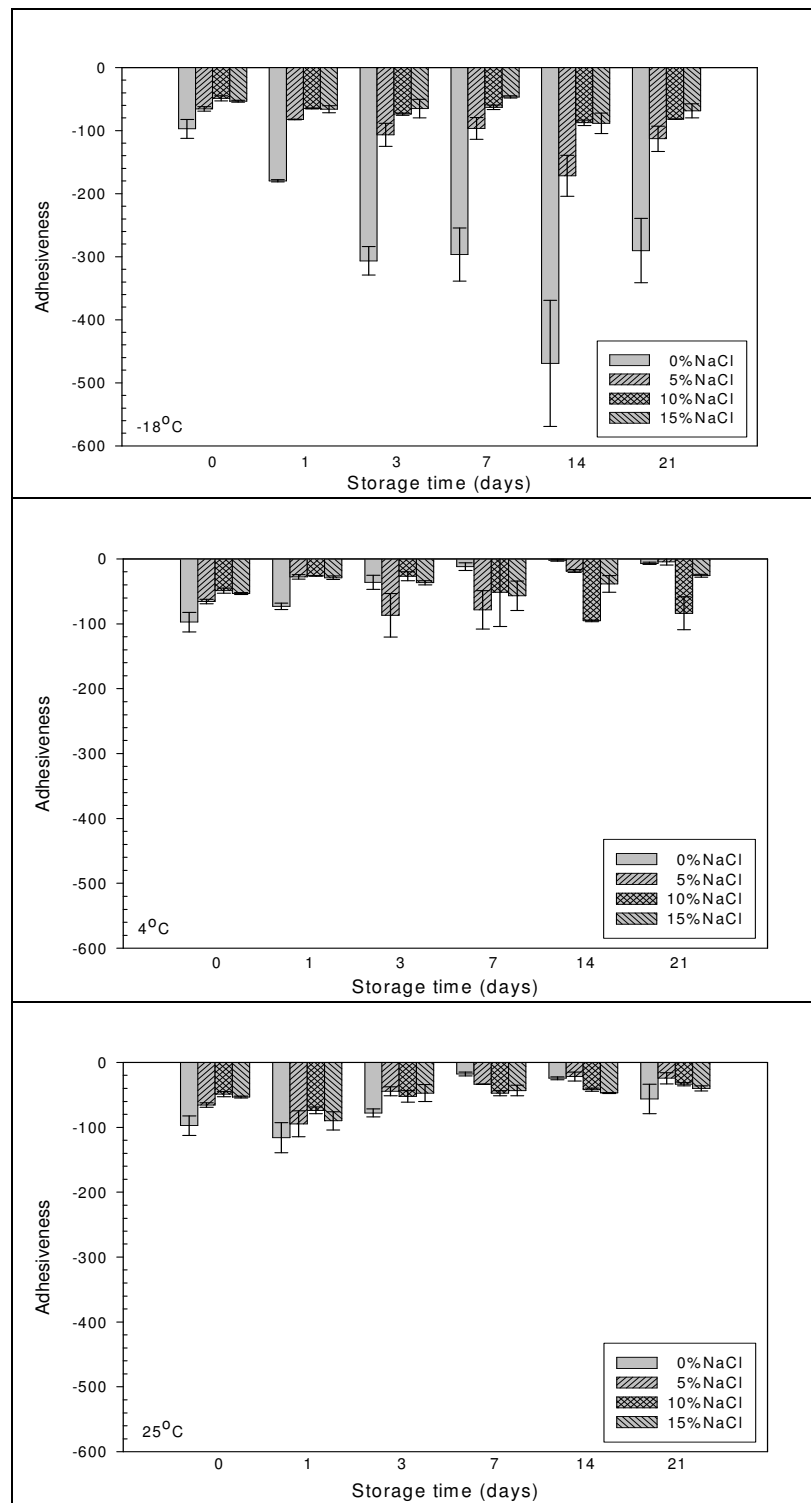
ค่าความยืดหยุ่นของเจลแป้งมันสำปะหลัง (Springiness) มีค่าเปลี่ยนแปลงเพียงเล็กน้อยหลังการเก็บรักษาที่อุณหภูมิต่าง ๆ ที่ทุกระดับความเข้มข้นของเกลือโซเดียมคลอไรด์ และมีค่าลดลงเล็กน้อยเมื่อความเข้มข้นของเกลือโซเดียมคลอไรด์สูงขึ้น (ตารางที่ 29 และภาพที่ 66)

การเก็บรักษาเจลแป้งมันสำปะหลังที่อุณหภูมิต่างกันมีผลทำให้เจลมีความสามารถเกาะรวมตัวกัน (Cohesiveness) แตกต่างกัน (ตารางที่ 29 และภาพที่ 67) โดยเจลแป้งจะมีค่าการเกาะรวมตัวกันสูงหลังการเก็บรักษาที่อุณหภูมิ 25, -18 และ 4 องศาเซลเซียส ตามลำดับ ค่าความสามารถเกาะรวมตัวกันของเจลแป้งมันสำปะหลังระหว่างการเก็บรักษามีการเปลี่ยนแปลงเพียงเล็กน้อย และจะมีค่าเพิ่มขึ้นเมื่อความเข้มข้นของเกลือโซเดียมคลอไรด์เพิ่มขึ้น โดยเฉพาะเจลแป้งที่ผ่านการเก็บรักษาที่อุณหภูมิ 4 องศาเซลเซียส ตั้งแต่ 3 วันขึ้นไป

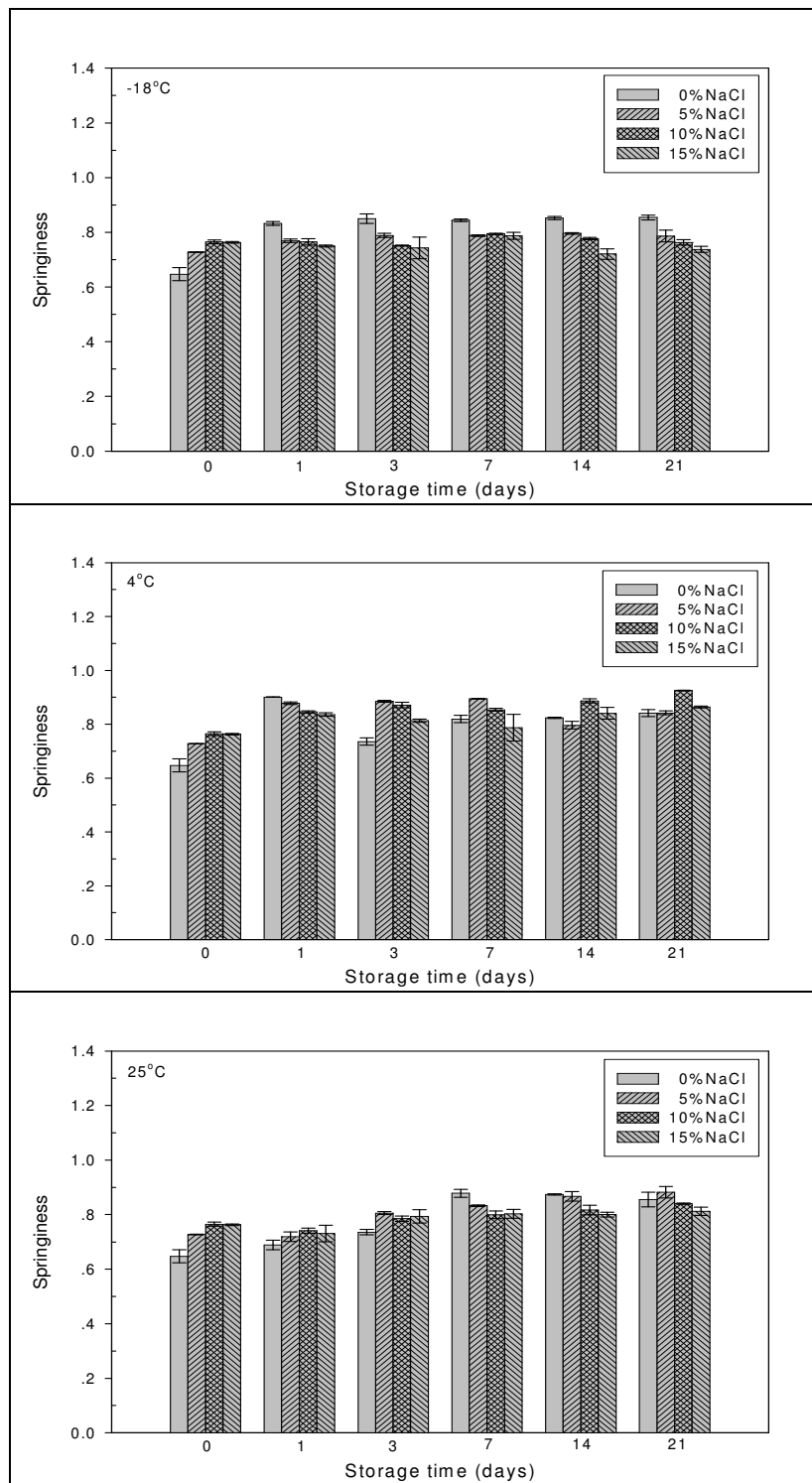
โดยทั่วไปค่าความเหนียวเป็นยาง (Gumminess) ของเจลแป้งมันสำปะหลัง จะมีค่าสูงสุดเมื่อเก็บรักษาที่อุณหภูมิ 4 องศาเซลเซียส และมีแนวโน้มที่จะลดลงเมื่อความเข้มข้นของเกลือโซเดียมคลอไรด์เพิ่มขึ้น (ตารางที่ 29 และภาพที่ 68) อย่างไรก็ตาม พบว่าเฉพาะค่าความเหนียวเป็นยางของเจลแป้งมันสำปะหลัง หลังการเก็บรักษาที่อุณหภูมิ 25 องศาเซลเซียสเท่านั้นที่มีแนวโน้มที่จะเพิ่มขึ้นเมื่อเก็บเป็นระยะเวลานานขึ้น



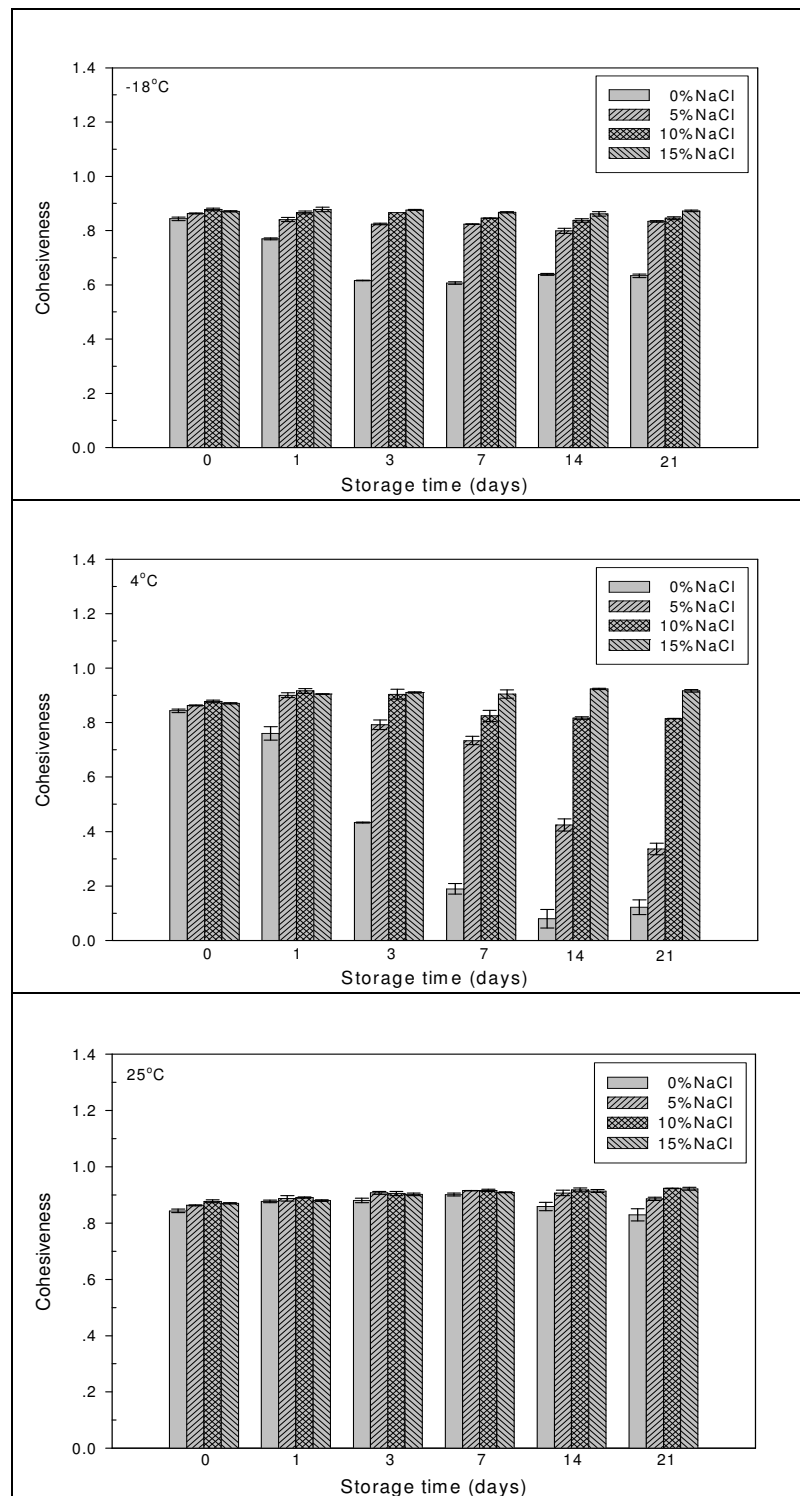
ภาพที่ 64 ผลของเกลือโซเดียมคลอไรด์เข้มข้น 0-15% ต่อค่าความแข็งของเจลแป้งมันสำปะหลัง หลังการเก็บรักษาที่อุณหภูมิ -18, 4 และ 25 องศาเซลเซียส เป็นเวลา 0-21 วัน



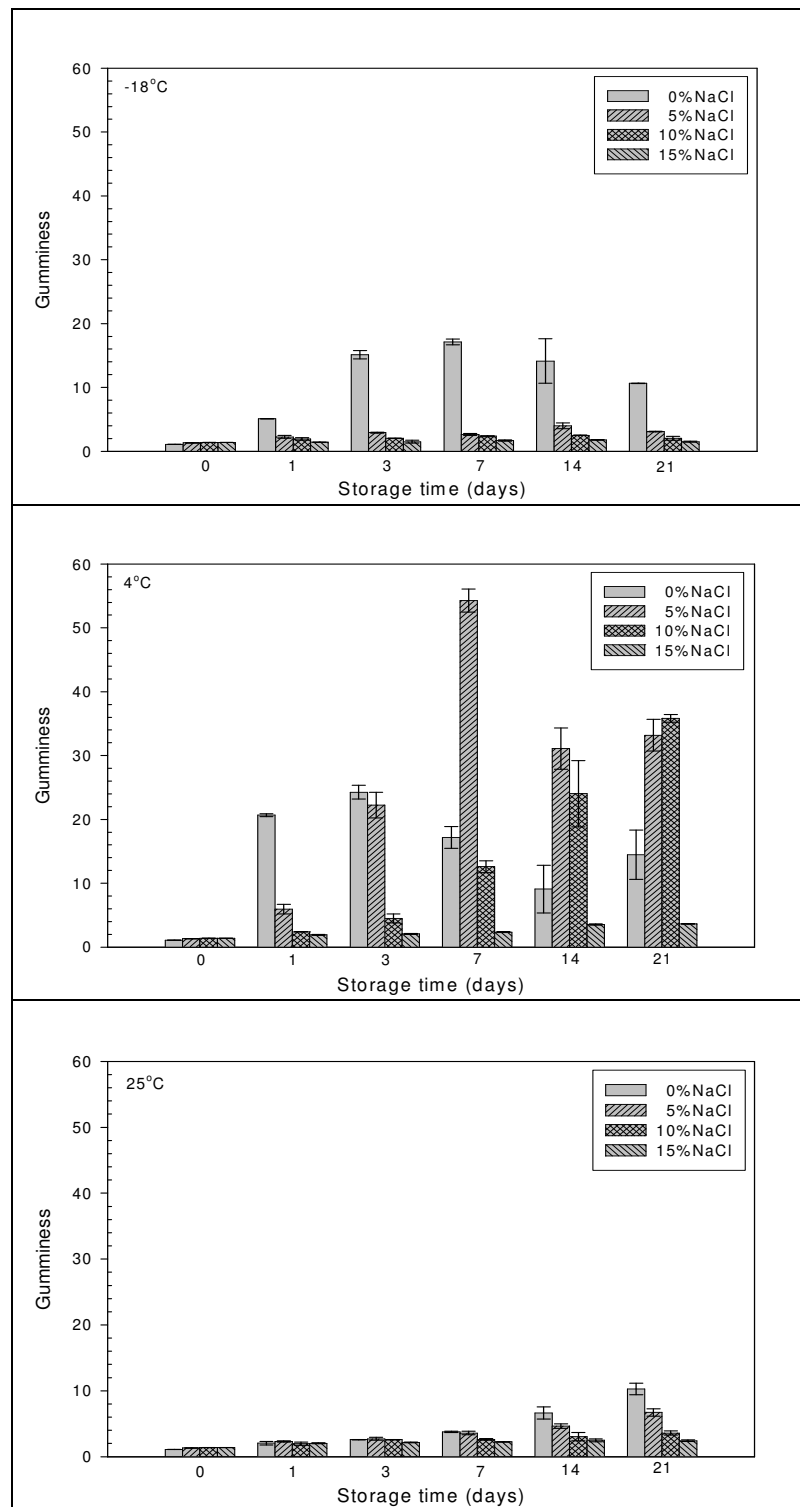
ภาพที่ 65 ผลของเกลือโซเดียมคลอไรด์เข้มข้น 0-15% ต่อความสามารถในการเกาะติดผิวสัมผัส  
ของเจลแป้งมันสำปะหลัง หลังการเก็บรักษาที่อุณหภูมิ -18, 4 และ 25 องศาเซลเซียส  
เป็นเวลา 0-21 วัน



ภาพที่ 66 ผลของเกลือโซเดียมคลอไรด์เข้มข้น 0-15% ต่อความยืดหยุ่นของเจลแป้งมันสำปะหลัง หลังการเก็บรักษาที่อุณหภูมิ -18, 4 และ 25 องศาเซลเซียส เป็นเวลา 0-21 วัน



ภาพที่ 67 ผลของเกลือโซเดียมคลอไรด์เข้มข้น 0-15% ต่อความสามารถในการรวมตัวกันของเจลเป็นมันสำปะหลัง หลังการเก็บรักษาที่อุณหภูมิ -18, 4 และ 25 องศาเซลเซียส เป็นเวลา 0-21 วัน



ภาพที่ 68 ผลของเกลือโซเดียมคลอไรด์เข้มข้น 0-15% ต่อค่าความเหนียวเป็นยางของเจลแป้ง มันสำปะหลัง หลังหลังการเก็บรักษาที่อุณหภูมิ -18, 4 และ 25 องศาเซลเซียส เป็นเวลา 0-21 วัน

## สรุปผลการทดลอง

จากการศึกษาสมบัติทางเคมีภายในภาพของแป้งมันสำปะหลังในสารละลายน้ำตาลซูโคร์ส (0, 10, 20 และ 30%) และเกลือโซเดียมคลอไรด์ (0, 5, 10 และ 15%) และเจลแป้งมันสำปะหลังที่ผ่านการเก็บรักษาที่อุณหภูมิ -18, 4 และ 25 องศาเซลเซียส ด้วยเทคนิคการวิเคราะห์ต่าง ๆ สามารถสรุปผลการวิเคราะห์ได้ดังนี้

1. จากการวิเคราะห์องค์ประกอบทางเคมีของแป้งมันสำปะหลังที่สกัดได้ในระดับห้องปฏิบัติการ พบร่วมปริมาณโปรตีนร้อยละ 0.05 โดยน้ำหนักแห้ง ปริมาณไขมันร้อยละ 0.08 โดยน้ำหนักแห้ง ปริมาณเก้าร้อยละ 0.12 โดยน้ำหนักแห้ง ปริมาณเส้นใยเพียงเล็กน้อยและปริมาณสตาร์ชร้อยละ 98.72 โดยน้ำหนักแห้ง ซึ่งจัดว่ามีความบริสุทธิ์สูง
2. ลักษณะทางสัณฐานวิทยาของเม็ดแป้งมันสำปะหลังเมื่อวิเคราะห์ด้วยกล้องจุลทรรศน์ภายใต้แสงธรรมชาติ พบร่วมลักษณะรูปร่างกลม คล้ายไข่ที่มีรอยตัด ลักษณะการกระจายตัวของขนาดเม็ดแป้งซึ่งมีขนาดเส้นผ่านศูนย์กลางอยู่ในช่วง 3-29 ไมครอน ประกอบด้วยเม็ดแป้งที่มีขนาดเส้นผ่านศูนย์กลางอยู่ในช่วง 3-10 ไมครอนและ 11-29 ไมครอน ร้อยละ 40 และ 60 โดยประมาณตามลำดับ และมีขนาดเส้นผ่านศูนย์กลางเฉลี่ย 11.7 ไมครอน
3. ลักษณะการพองตัวของเม็ดแป้งมันสำปะหลังขณะให้ความร้อนเมื่อวิเคราะห์ด้วยกล้องจุลทรรศน์ภายใต้แสงธรรมชาติ พบร่วมสภาพที่มีน้ำตาลซูโคร์สและเกลือโซเดียมคลอไรด์ เม็ดแป้งพองตัวได้ที่อุณหภูมิสูงขึ้นอย่างต่อเนื่องเมื่อความเข้มข้นของน้ำตาลซูโคร์สและเกลือโซเดียมคลอไรด์เพิ่มสูงขึ้น
4. จากการวิเคราะห์สมบัติความหนืดของแป้งมันสำปะหลัง พบร่วมอุณหภูมิที่เริ่มนิการเปลี่ยนแปลงค่าความหนืด ค่าความหนืดต่ำสุด ค่าความหนืดสุดท้าย และค่าการคืนตัวเพิ่มสูงขึ้นอย่างต่อเนื่อง ในขณะที่ค่าความหนืดสูงสุดและค่า Breakdown มีค่าลดลงเมื่อความเข้มข้นของน้ำตาลซูโคร์สเพิ่มสูงขึ้น ในสภาพที่มีเกลือโซเดียมคลอไรด์ อุณหภูมิที่เริ่มนิการเปลี่ยนแปลงค่าความหนืดจะเพิ่มสูงขึ้นเมื่อความเข้มข้นของเกลือโซเดียมคลอไรด์เพิ่มขึ้นจนถึง 10% จากนั้นอุณหภูมิจะลดลงเมื่อความเข้มข้นเพิ่มขึ้นเป็น 15% ค่าความหนืดสูงสุด ค่าความหนืดต่ำสุด ค่าความหนืดสุดท้าย และค่าการคืนตัวเพิ่มสูงขึ้นอย่างต่อเนื่อง ในขณะที่ค่า Breakdown มีค่าลดลงเมื่อความ

เข้มข้นของเกลือโซเดียมคลอไรด์เพิ่มสูงขึ้น อิทธิพลของน้ำตาลชูโครสและเกลือโซเดียมคลอไรด์ต่อการพองตัวและสมบัติความหนืดที่เปลี่ยนแปลงไปของแป้งมันสำปะหลังจะส่งผลต่อความยากง่ายในการทำให้แป้งสุกในระหว่างกระบวนการแปรรูปผลิตภัณฑ์ที่มีแป้งเป็นองค์ประกอบ

5. จากการศึกษาสมบัติวัสดุภาคการไอลของแป้งมันสำปะหลัง พบว่า น้ำตาลชูโครสและเกลือโซเดียมคลอไรด์มีผลทำให้อุณหภูมิที่ค่า Storage modulus ( $G'$ ) มีค่าเท่ากับ Loss modulus ( $G''$ ) ในระหว่างการให้ความร้อนมีค่าสูงขึ้นสอดคล้องกับอุณหภูมิที่เริ่มนีการเปลี่ยนแปลงค่าความหนืดเมื่อวิเคราะห์ด้วยเครื่อง RVA และทำให้เจลแป้งมันสำปะหลังมีความแข็งแรงเพิ่มขึ้นในระหว่างการทำให้เย็น

6. สมบัติการเกิดเจลาทีโนไซด์ของแป้งมันสำปะหลังจะเปลี่ยนแปลงไปในสภาวะที่มีน้ำตาลชูโครสและเกลือโซเดียมคลอไรด์เป็นองค์ประกอบ เนื่องจากองค์ประกอบดังกล่าวสามารถสร้างพันธะกับน้ำได้ ปริมาณน้ำอิสระหรือน้ำที่แข็งตัวได้จึงลดลงอย่างต่อเนื่องเมื่อปริมาณน้ำตาลชูโครสและเกลือโซเดียมคลอไรด์ในระบบมีมากขึ้น ทำให้การเคลื่อนที่และประสิทธิภาพในการพลาสติกัดของโมเลกุln้ำลดลง แป้งในน้ำจะเจลาทีโนไซด์ที่อุณหภูมิต่ำกว่าแป้งในสารละลายน้ำตาลชูโครส 10 ถึง 30% หรือสารละลายเกลือโซเดียมคลอไรด์ 5 และ 10% อย่างไรก็ตามแป้งมันสำปะหลังมีแนวโน้มที่จะเจลาทีโนไซด์ที่อุณหภูมิต่ำลงเมื่อความเข้มข้นของเกลือโซเดียมคลอไรด์เพิ่มเป็น 15%

7. จากการวิเคราะห์การเกิดริโตรเกรเดชันของเจลแป้งมันสำปะหลัง พบว่าเจลแป้งมันสำปะหลังริโตรเกรดได้ดีที่สุดที่อุณหภูมิ 4 องศาเซลเซียส ในขณะที่การเก็บรักษาที่อุณหภูมิ -18 องศาเซลเซียส ไม่พบการเกิดริโตรเกรเดชันที่ทุกระดับความเข้มข้นของน้ำตาลชูโครสและเกลือโซเดียมคลอไรด์ น้ำตาลชูโครสหรือเกลือโซเดียมคลอไรด์ส่งผลกระทบที่แตกต่างกันต่อสมบัติการริโตรเกรดของเจลแป้งขึ้นอยู่กับความเข้มข้นของน้ำตาลชูโครสและเกลือโซเดียมคลอไรด์ อุณหภูมิในการเก็บรักษา และอุณหภูมิกลางานสิ้นของเจลแป้งซึ่งมีค่าลดต่ำลงเมื่อความเข้มข้นของน้ำตาลชูโครสและเกลือโซเดียมคลอไรด์เพิ่มขึ้น จากการวิจัยนี้พบว่า น้ำตาลชูโครสมีแนวโน้มในการส่งเสริมการเกิดริโตรเกรเดชันของเจลแป้งมันสำปะหลังที่ผ่านการเก็บรักษาที่อุณหภูมิ 4 และ 25 องศาเซลเซียส ในขณะที่เกลือโซเดียมคลอไรด์จะช่วยยับยั้งการเกิดริโตรเกรเดชันของเจลแป้งมันสำปะหลัง หลังเก็บรักษาที่อุณหภูมิ 4 และ 25 องศาเซลเซียส โดย

ประสิทธิภาพของเกลือโซเดียมคลอไรด์ในการขับยั้งการรีโทรเกรดของเจลแป้งเพิ่มขึ้นเมื่อความเข้มข้นของเกลือเพิ่มขึ้น

8. จากการวิเคราะห์ลักษณะโครงสร้างผลึกของเม็ดแป้งมันสำปะหลังและเจลแป้ง พบว่า แป้งมันสำปะหลังมีลักษณะผลึกเป็นแบบ A-type คือ ไม่มีพิกที่มุ่มหักเห  $5.6^\circ$  แต่มีพิกที่มุ่มหักเห  $17^\circ$  และ  $17.9^\circ$  และมีพิกเดี่ยวที่มุ่มหักเห  $23^\circ$  การตรวจสอบลักษณะการจัดเรียงตัวกันใหม่ของโครงสร้างผลึกในเจลแป้งในสภาวะที่มีน้ำตาลซูโครสและเกลือโซเดียมคลอไรด์ พบว่า น้ำตาลซูโครมีผลทำให้เกิดการจัดเรียงตัวกันใหม่ของโครงสร้างผลึกที่ไม่สมบูรณ์ ในขณะที่เกลือโซเดียมคลอไรด์มีผลในการยับยั้งการกลับมาจัดเรียงตัวกันใหม่ของโครงสร้างผลึกในเจลแป้งมันสำปะหลัง

9. ลักษณะนี้อั้มผัสของเจลแป้งมันสำปะหลัง โดยเฉพาะความแข็งและความสามารถในการเกาะติดผิวสัมผัสถูกมีการเปลี่ยนแปลงที่สอดคล้องกันกับระดับการเกิดรีโทรเกรดเช่นของเจลแป้งในแต่ละสภาวะการเก็บรักษา โดยเจลแป้งมันสำปะหลังในสภาวะที่มีน้ำตาลซูโครมีค่าความแข็งเพิ่มขึ้นในขณะที่ค่าความสามารถในการเกาะติดผิวสัมผัสถูกคงระหว่างการเก็บรักษาที่อุณหภูมิ 4 องศาเซลเซียส และเจลแป้งมันสำปะหลังในสภาวะที่มีเกลือโซเดียมคลอไรด์มีค่าความแข็งเพิ่มขึ้นเพียงเล็กน้อยในขณะที่ความสามารถในการเกาะติดผิวสัมผัสถูกเปลี่ยนแปลงเพียงเล็กน้อยระหว่างการเก็บรักษาที่อุณหภูมิ 4 องศาเซลเซียส

อิทธิพลของน้ำตาลซูโครสและเกลือโซเดียมคลอไรด์ซึ่งเป็นองค์ประกอบที่ใช้กันอย่างแพร่หลายในอุตสาหกรรมอาหารต่อการเปลี่ยนแปลงสมบัติทางเคมีภาพของแป้งมันสำปะหลังที่ได้จากการวิจัยนี้จะมีบทบาทสำคัญต่อกระบวนการปรับรูปและสมบัติของผลิตภัณฑ์ที่มีแป้งมันสำปะหลังเป็นองค์ประกอบ ซึ่งจะช่วยให้เกิดความเข้าใจและสามารถนำไปประยุกต์ใช้ในอุตสาหกรรมการปรับรูปผลิตภัณฑ์ที่ใช้แป้งมันสำปะหลัง รวมถึงการเก็บรักษาผลิตภัณฑ์ให้คงคุณภาพตามต้องการ

### เอกสารและสิ่งอ้างอิง

กล้านรงค์ ศรีรอด. 2520. เกลือ คุณสมบติและการใช้ในอุตสาหกรรมอาหาร. พิมพ์ครั้งที่ 2.

คณะเกณฑ์, มหาวิทยาลัยเกษตรศาสตร์, กรุงเทพฯ. 49 น.

\_\_\_\_\_. 2538. เคมีน้ำตาล. บริษัท ชูการ์ คอนซัลแทนท์ (ไทยแลนด์) จำกัด, กรุงเทพฯ. 104 น.

\_\_\_\_\_. 2542. สารให้ความหวาน. พิมพ์ครั้งที่ 1. บริษัท jaripha เทคโนโลยีของเปลี่ยน. พิมพ์ครั้งที่ 1. สำนักพิมพ์

\_\_\_\_\_. และ เกี้ยวกุล ปีะจอมขวัญ. 2546. เทคโนโลยีของเปลี่ยน. พิมพ์ครั้งที่ 3. สำนักพิมพ์

มหาวิทยาลัยเกษตรศาสตร์, กรุงเทพฯ. 303 น.

ณรงค์ นิยมวิทย์. 2538. องค์ประกอบและการเปลี่ยนแปลงทางเคมีภาระของอาหาร.

พิมพ์ครั้งที่ 1. บริษัท ฟอร์แมทพรินติ้ง จำกัด, กรุงเทพฯ. 237 น.

ธงชัย สุวรรณสิชานน. 2544. การวัดค่าเนื้อสัมผัส. เอกสารประกอบการสอนวิชาการวัดค่าปัจจัย

คุณภาพทางเคมีและกายภาพ ภาควิชาพัฒนาผลิตภัณฑ์ คณะอุตสาหกรรมเกษตร

มหาวิทยาลัยเกษตรศาสตร์, กรุงเทพฯ. 78 น.

นิติ เติมเวชคยานนท์. 2543. การตัดแปรเปลี่ยนมันสำปะหลังด้วยวิธี Ball mill และศึกษาสมบัติของ

เปลี่ยนดัดแปร. วิทยานิพนธ์ปริญญาโท, มหาวิทยาลัยเกษตรศาสตร์.

นิธิยา รัตนานนท์. 2545. เคมีอาหาร. พิมพ์ครั้งที่ 1. สำนักพิมพ์โอดีเยนส์โตร์, กรุงเทพฯ.

487 น.

บุญทิวา นิลจันทร์. 2548. การศึกษาสมบัติเคมีฟิสิกส์ของฟลาวและสารชี้ช้าจากข้าวพันธุ์ต่าง ๆ

ในประเทศไทย. วิทยานิพนธ์ปริญญาโท, มหาวิทยาลัยเกษตรศาสตร์.

ปิติพร ฤทธิเรืองเดช. 2546. คุณสมบติทางกายภาพ และทางเคมีของเปลี่ยนท้ายม่อน และการนำ

ไปใช้ประโยชน์ในขนมขบเคี้ยว. วิทยานิพนธ์ปริญญาโท, มหาวิทยาลัยเกษตรศาสตร์.

วชิราพรรณ นุญญาพุทธิพงศ์. 2543. การดัดแปลงมันสำปะหลังโดย用人ไข่มีพูดถูแลเนสเพื่อใช้ในการทำแผ่นฟิล์ม. วิทยานิพนธ์ปริญญาโท, มหาวิทยาลัยเกษตรศาสตร์.

วงศณา สงวนพงษ์. 2544. การลดขนาดเม็ดแป้งมันสำปะหลังดัดแปลง และสมบัติทางเคมี พลิกส์ของแป้งที่ได้. วิทยานิพนธ์ปริญญาเอก, มหาวิทยาลัยเกษตรศาสตร์.

วันเพ็ญ รัตนชน. 2545. การเปรียบเทียบพันธุกรรม และสมบัติทางเคมีค่ายภาพของมันสำปะหลัง (*Manihot esculenta CRANTZ*) ชนิดxm และชนิดหวาน. วิทยานิพนธ์ปริญญาโท, มหาวิทยาลัยเกษตรศาสตร์.

วีไล รังสรรคทอง. 2545. เทคนิโอลีกีการแปรรูปอาหาร. บริษัท เท็กซ์ แอนด์ เจอร์นัลพับลิเคชัน จำกัด, กรุงเทพฯ. 477 น.

ศิริลักษณ์ สินธวาลัย. 2525 ก. ทฤษฎีอาหาร เล่ม1 หลักการประกอบอาหาร. พิมพ์ครั้งที่ 4. บริษัท บี เอฟ ไอ จำกัด, กรุงเทพฯ. 248 น.

\_\_\_\_\_. 2525 ข. ทฤษฎีอาหาร เล่ม3 หลักการทดลองอาหาร. พิมพ์ครั้งที่ 2. บริษัท บี เอฟ ไอ จำกัด, กรุงเทพฯ. 270 น.

สำนักงานมาตรฐานผลิตภัณฑ์อุตสาหกรรม. 2516. มาตรฐานผลิตภัณฑ์อุตสาหกรรม ผลิตภัณฑ์มันสำปะหลัง. มอก. ที่ 52-2516.

สำนักงานมาตรฐานผลิตภัณฑ์อุตสาหกรรม. 2521. มาตรฐานผลิตภัณฑ์อุตสาหกรรม แป้งมันสำปะหลัง. มอก. ที่ 274-2521.

Baek, M.H., B. Yoo and S.T. Lim. 2004. Effect of sugars and sugar alcohols on thermal transition and cold stability of corn starch gel. **Food Hydrocolloids.** 18: 133-142.

Bean, M.M. and C.S. Setser. 1992. Polysaccharide, sugar and sweeteners, pp. 69-198. In J. Brovers (eds.). **Food Theory and Applications**. Macmillan Publishing Co., New York.

Beta, T. and H. Corke. 2001. Noodle quality as related to sorghum starch properties. **Cereal Chem.** 78(4): 417-420.

Botlan, D.L. and P. Desbois. 1995. Starch retrogradation study in presence of sucrose by low-resolution nuclear magnetic resonance. **Cereal Chem.** 72(2): 191-193.

Bourne, M.C. 1978. Texture profile analysis. **Food Technology**. 32(7): 62-66.

Carvalho, C.W.P. and J.R. Mitchell. 2001. Effect of sucrose on starch conversion and glass transition of notexpanded Maize and Wheat Extrudates. **Cereal Chem.** 78(3): 342-348.

Chiotelli, E., G. Pilosio and M.L. Meste. 2002. Effect of sodium chloride on the gelatinization of starch: a multimeasurement study. **Biopolymer**. 63: 41-58.

Chungcharoen, A. and D.B. Lund. 1987. Influence of solutes and water on rice starch gelatinization. **Cereal Chemistry**. 64: 240-243.

Conde-Petit, B. 2001. **Structural Features of Starch in Food : A Polymeric and Colloidal Approach**. Swiss Federal Institute of Technology (ETH) Zurich, Zurich. 161p.

Coultate, T.P. 2002. **Food: The Chemistry of Its Components**. 4<sup>th</sup> Ed. The Royal Society of Chemistry, Cambridge, UK.

Eliasson, A.C. and M. Gudmundsson. 1996. Starch: physicochemical and functional aspects, pp. 431-503. In A.C. Eliasson (ed.). **Carbohydrate in Food**. Marcel Dekker, Inc., New York.

Evans, I.D. and D.R. Haisman. 1982. The effect of solutes on the gelatinization temperature range of potato starch. **Starch/Staerke**. 34: 224-231.

Freach, A.D. 1979. Alloewd and preferred shapes of amylose. **Baker's Dig.** 53(1) : 30.

Gudmundsson, G. 1994. Retrogradation of starch and the role of its components. **Thermochimica Acta**. 246: 329-341.

Guilbot, A. and C. Mercier. 1985. Starch, pp. 209-282. In G.O. Aspinall (ed.). **The Polysaccharides**. Vol. 3. Academic Press, New York.

Hashizume, H., S. Shimomura, H. Yamada, T. Fujita and H. Nakazawa. 1997. An x-ray diffraction system with controlled relative humidity and temperature. **The Rigaku Journal**. 14: 1-4.

Hodge, J.E. and E.M. Osman. 1976. Carbohydrates, pp. 97-138. In O.R. Fennema (ed.). **Principle of Food Science Part I: Food Chemistry**. Marcel Dekker, Inc., New York.

Hoover, R. and N. Senanayake. 1996. Effect of sugars on the thermal and retrogradation properties of oat starches. **Journal of Food Biochemistry**. 20: 65-83.

Jane, J.L. 1993. Mechanism of starch gelatinization in neutral salt solutions. **Starch/Staerke**. 45: 161-166.

Jang, J.K., S.H. Lee, S.C. Cho and Y.R. Pyun. 2001. Effect of sucrose on glass transition, gelatinization and retrogradation of wheat starch. **Cereal Chem.** 78(2): 186-192.

- Karim, A.A., M.H. Norziah and C.C. Seow. 2000. Methods for the study of starch retrogradation. **Food Chemistry.** 71: 9-36.
- Kim, C.S. and C.E. Walker. 1992. Changes in starch pasting properties due to sugars and emulsifiers as determined by viscosity measurement . **J. Food Sci.** 57(4): 109-1013.
- Kim, Y.S., D.P. Wiesenborn, P.H. Orr and L.A. Grant. 1995. Differential scanning calorimetry. **J. Food Sci.** 60(5): 1060-1065.
- Leach, H.W., L.D. McCowen and T.J. Schoch. 1959. Structure of the starch granule I. swelling and solubility patterns of various starches. **Cereal Chem.** 36: 534-544.
- Leach, H.W. 1965. Gelatinization of starch, pp. 289-307. In R.L. whistler, E.F. Paschall, J.N. BeMiller and H.J. Roberts (eds.). **Starch: Chemistry and Technology.** Vol. I. Academic Press, New York.
- Levine, H. and L. Slade. 1986. A polymer physicochemical approach to the study of commercial starch hydrolysis products (SHPs). **Carbohydrate Polymer.** 6: 213-244.
- Lii, C.Y. and B.L. Lee. 1993. Heating A-,B-,and C-,type starches in aqueous sodium chloride: effect of sodium chloride concentration and moisture content on differential scanning calorimetry thermograms. **Cereal Chem.** 70(2) : 188-192.
- Maaurf, A.G., Y.B. Man, B.A. Asbi, A.H. Junainah and J.F Kennedy. 2001. Gelatinisation of sago starch in the presence of sucrose and sodium chloride as assessed by differential scanning calorimetry. **Carbohydrate Polymers.** 45: 335-345.
- Mallery, C.H. 2005. Department of Biology, University of Miami. Available Source: <http://www.fig.cox.miami.edu./.../150/chemistry/organic.htm>, January 14, 2005.

Mezger, T.G. 2002. **The Rheology Handbook.** For users of rotational and oscillatory rheometers. Hannoprint, Inc., Germany.

Newport Scientific. 1995. **Operation Manual for the Series 4 Rapid Visco Analyser.** Warriewood, New South Wales. 93 p.

Noosuk, P. 2003. **The Assessment of the Relationship Between Structure and Functional Properties of Rice Starch.** Ph.D. thesis, Chulalongkorn University.

Oates, C.G. 1997. Towards an understanding of starch granule structure and hydrolysis. **Trends in Food Science and Technology.** 8: 375-382.

Oosten, B.J. 1982. Tentative hypothesis to explain how electrolytes affect the gelatinization temperature of starches in water. **Starch/Staerke.** 34: 233.

\_\_\_\_\_. 1990. Interactions between starch and electrolytes. **Starch/Staerke.** 42: 327.

Pauling, L. 1946. **The Biology Project.** Department of Biochemistry and Molecular Biophysics. The University of Arizona.

Perry, P.A. and A.M. Donald. 2002. The effect of sugars on the gelatinisation of starch. **Carbohydrate Polymers.** 49: 155-165.

Pomeranz, Y. 1991. **Functional Properties of Food Component.** Academic Press, Inc. New York. p 25-62.

Prokopowich, D.J. and C.G. Biliaderis. 1995. A comparative study of effect of sugars on the thermal and mechanical properties of concentrated waxy maize, wheat, potato and pea starch gels. **Food Chemistry.** 52: 255-262.

- Rupp, P.L.C. and S.J. Schwartz. 1988. Characterization of the action of *Bacillus subtilis* alpha-amylase on sweet potato starch, amylose and amylopectin. **J. Food Biochem.** pp. 191-203.
- Russell, P.L. and G. Oliver. 1989. The effect of pH and NaCl content on starch gel aging. A study by differential scanning calorimetry and rheology. **J. Cereal Sci.** 10: 123-138.
- Sahai, D. and D.S. Jackson. 1996. Structural and chemical properties of native corn starch granules. **Starch/Staerke.** 48: 249-255.
- Schoch, T.J. 1964. Swelling power and solubility of granular starches, pp: 106-108. In R.L. Whistler, R.J. Smith and J.N. BeMiller (eds.). **Method in Carbohydrates Chemistry.** Vol. IV. Academic Press, New York.
- Slade, L. and H. Levine. 1987. Recent advances in starch retrogradation, pp. 387-430. In S.S. Stivala, V. Crescenzi and I.C.M. Dea (eds.). **Industrial Polysaccharides.** Gordon and Breach Science, New York.
- \_\_\_\_\_. 1991. Beyond water activity: recent advances based on an alternative approach to the assessment of food quality and safety. **Critical Reviews in Food Science and Nutrition.** 30: 115-360.
- Spies, R.D. and R.C. Hoseney. 1982. Effect of sugars on starch gelatinization. **Cereal Chem.** 59(2): 128-131.
- Steffe, J.F. 1996. **Rheological Method in Food Process Engineering.** East Lansing: Freeman Press.
- Stephen, A.M. 1995. **Food Polysaccharides and Their Application.** Marcel Dekker, Inc. 654 p.

- Sudhakar, V., R.S. Singhal and P.R. Kulkarni. 1994. Studies on starch-hydrocolloid Interactions: effect of salts. **Food Chemistry.** 53(1995): 405-408.
- Waigh, T.A., P.J. Jenkins and A.M. Donald. 1996. Quantification of water in carbohydrate lamellae using SANS. **Faraday Discuss.** 103: 325-337.
- \_\_\_\_\_, M.J. Gidley, B.U. Komanshet and A.M. Donald. 2000. The phase transformations in starch during gelatinization: a liquid crystalline approach. **Carbohydr. Res.** 328: 165-176.
- Wang, Y.J. and J. Jane. 1994. Correlation between glass transition temperature and starch retrogradation in the presence of sugars and maltodextrins. **Cereal Chem.** 71(6): 527-531.
- Whistler, R.L. and J.R. Deniel. 1984. Molecular structure of starch, pp. 153-178. In R.L. Whistler, J.N. BeMiller and E.F. Paschall (eds.). **Starch: Chemistry and Technology.** 2<sup>nd</sup> Ed. Academic Press, Inc., Florida.
- Wivinis, G.P. and E.C. Mayward. 1986. Photographs of starches, pp. 153-183. In R.L. Whistler and E.F. Paschall (eds.). **Starch: Chemical and Technology.** Vol. I. Academic Press, Florida.
- Wootton, M. and A. Bamunuarachchi. 1980. Application of differential scanning calorimetry to starch gelatinizaton:Effect of sucrose and NaCl. **Starch/Staerke.** 32: 126-129.
- Zeleznak, K.J. and R.C. Hoseney. 1987. The glass transition in starch. **Cereal Chem.** 64(2): 121-124.

- Zobel, H.F. 1984. Gelatinization of starch and mechanical properties of starch pastes, p. 286. *In* R.L. Whistler, J.N. Bemiller and E.F. Paschall (eds.). **Starch: Chemistry and Technology**. Vol. 2. Academic Press: New York.
- \_\_\_\_\_. 1992. Starch granule structure, pp. 1-36. *In* R.J. Alexander and H.F. Zobel (eds.). **Developments in Carbohydrate Chemistry**. American Association of Cereal Chemists: St Paul.

**ภาคผนวก**

ภาคผนวก ก  
วิธีการวิเคราะห์

## วิธีการวิเคราะห์

### การวิเคราะห์องค์ประกอบทางเคมีของเปลือกมันสำปะหลัง

#### 1. การวิเคราะห์ปริมาณความชื้น

##### 1.1 เครื่องมือ

- 1) จานกระเบื้อง (aluminum dish) พร้อมด้วยฝาปิด
- 2) ตู้อบไฟฟ้าที่ปรับและควบคุมอุณหภูมิได้
- 3) เดสิกเกเตอร์ที่มีสารดูดความชื้น

##### 1.2 วิธีวิเคราะห์

ตามวิธีของ AOAC (1990) อบจานอะลูมิเนียมพร้อมด้วยฝาปิดในตู้อบไฟฟ้าที่ อุณหภูมิ 105-107 องศาเซลเซียส นานประมาณ 15 นาที นำออกมารวบในเดสิกเกเตอร์ ทิ้งไว้ให้เย็น ที่อุณหภูมิห้อง แล้วนำไปซึ่งหน้าหนักที่แน่นอน ชั่งตัวอย่าง เป็นในจานอะลูมิเนียมให้ได้น้ำหนักที่ แน่นอนประมาณ 5 กรัม อบในตู้อบไฟฟ้าที่อุณหภูมิ 105-107 องศาเซลเซียส นานประมาณ 5 ชั่วโมง นำออกมารวบในเดสิกเกเตอร์ ทิ้งไว้ให้เย็นที่อุณหภูมิห้อง แล้วนำไปซึ่ง อบช้านานครึ่งละ 30 นาที จนได้น้ำหนักต่างกันไม่เกิน 2 มิลลิกรัม จดน้ำหนักที่น้อยที่สุดถือเป็นน้ำหนักของจาน อะลูมิเนียมและตัวอย่างหลังจากอบแห้งแล้ว

##### 1.3 วิธีคำนวณ

$$\text{ปริมาณความชื้น (ร้อยละของน้ำหนัก)} = \frac{100 \times (W_1 - W_2)}{W_1 - W}$$

เมื่อ  $W$  = น้ำหนักของจานอะลูมิเนียม (กรัม)

$W_1$  = น้ำหนักของจานอะลูมิเนียมและตัวอย่างก่อนอบ (กรัม)

$W_2$  = น้ำหนักของจานอะลูมิเนียมและตัวอย่างหลังอบแห้ง (กรัม)

## 2. การวิเคราะห์ปริมาณโปรตีน

### 2.1 เครื่องมือ

- 1) เครื่องย่อย (2006 Digestor Exhaust system)
- 2) เครื่องกลั่นไนโตรเจน (1026 Distilling unit Kjeltec system)
- 3) ขวดแก้วเจดาห์ล (Kjeldahl flask)
- 4) บิวเร็ต
- 5) ตู้ดูดควัน

### 2.2 สารเคมี

- 1) กรดซัลฟูริกเข้มข้นที่มีความถ่วงจำเพาะ 1.84
- 2) สารละลายกรดบอริก ร้อยละ 4 ของน้ำหนัก
- 3) สารละลายมาตราฐานไฮโดรคลอริกเข้มข้น 0.1 นอร์มัล
- 4) สารละลายโซเดียมไฮดรอกไซด์ ร้อยละ 40 ของน้ำหนัก
- 5) ตัวเร่งปฏิกิริยา ประกอบด้วย 3.5 กรัม โพแทสเซียมซัลเฟต ( $K_2PO_4$ ) และ 0.4 กรัม คอปเปอร์ซัลเฟต ( $CuSO_4$ )

### 2.3 วิธีวิเคราะห์

ตามวิธีของ AOAC (1990) ชั่งตัวอย่างประมาณ 0.5 กรัม ใส่ลงในขวดแก้วเจดาห์ล โดยระวังอย่าให้ติดข้างขวด ใส่ตัวเร่งปฏิกิริยา 1 ช้อน เติมกรดซัลฟูริก 15 มิลลิลิตร แล้วเขย่าเบาๆ วางบนขวดเครื่องย่อยในตู้ดูดควัน ให้ความร้อนที่อุณหภูมิ 420 องศาเซลเซียส นานประมาณ 30 นาที จนกระทั่งได้สารละลายใส ตั้งทิ้งไว้ให้เย็น นำไปเข้าเครื่องกลั่นไนโตรเจนโดยต่อท่อให้ปลาย จุ่มในฟลาสก์ขนาด 250 มิลลิลิตร ที่บรรจุกรดบอริก 4 เปอร์เซ็นต์ จำนวน 25 มิลลิลิตร เพื่อเก็บ แอมโมเนีย กลั่นประมาณ 5 นาที แล้วนำໄป้டเตრต์ด้วยสารละลายมาตราฐานไฮโดรคลอริก 0.1 นอร์มัล จนกระทั่งเปลี่ยนเป็นสีชมพู แล้วนำໄป้คำนวนหาร้อยละ ในไนโตรเจน

## 2.4 วิธีคำนวณ

$$\frac{\text{ปริมาณ โปรตีน}}{(\text{ร้อยละของน้ำหนักแห้ง})} = \frac{(S-B) \times N \times 1.401 \times 5.27 \times 100}{W \times (100-M)}$$

เมื่อ S = ปริมาตรไส้โดยรวมที่ใช้ในการไตเตอร์ตาร์ตัวอย่าง (มิลลิลิตร)

B = ปริมาตรไส้โดยรวมที่ใช้ในการไตเตอร์ตาร์ Blanks

N = นอร์มัลลิตี้ของสารละลายน้ำที่ใช้โดยรวม

W = น้ำหนักตัวอย่าง (กรัม)

M = ร้อยละความชื้น

## 3. การวิเคราะห์ปริมาณไขมัน

### 3.1 เครื่องมือ

1) เครื่องวิเคราะห์ไขมัน (Soctex system HT 1046 Service unit และ Soctex system HT2 1045 Extraction unit )

- 2) เครื่องทำความเย็น (CTL 911)
- 3) ถ้วยอะลูมิเนียม (Extraction cups)
- 4) คิมสำหรับขับถ้วยอะลูมิเนียม
- 5) ทิมเบิล (Thimble)
- 6) กระดาษกรองเบอร์ 1

### 3.2 สารเคมี

- 1) ปิโตรเลียมอิเทอร์
- 2) อะซิโตน

### 3.3 วิธีวิเคราะห์

ตามวิธีของ AOAC (1990) ชั่งตัวอย่างประมาณ 2.5 กรัม บนกระดาษกรองและห่อให้มิดชิด จากนั้นนำมาใส่ลงในทิมเบล นำทิมเบลใส่ใน 1045 Extraction unit ซึ่งเชื่อมต่อกับ 1046 Service unit โดยใช้ adapter นำ Extraction cups ไปอบและชั่งน้ำหนักที่เปล่นอน จากนั้นเติมตัวทำละลายประมาณ 45 มิลลิลิตร นำ Extraction cups เข้าไปใน Soctex system HT2 1045 Extraction unit พร้อมทั้งเลื่อนคันโยกไปที่ตำแหน่ง boiling และสกัดเป็นเวลา 20 นาที จากนั้นเลื่อนคันโยกมาที่ตำแหน่ง rinsing เป็นเวลา 45 นาที นำ Extraction cups ไปอบที่อุณหภูมิ 100 องศาเซลเซียส เป็นเวลา 30 นาที ทิ้ง Extraction cups ให้เย็นในเดสิกเกเตอร์ ชั่งน้ำหนัก แล้วคำนวณร้อยละ ไขมัน

### 3.4 วิธีคำนวณ

$$\text{ปริมาณไขมัน (ร้อยละของน้ำหนัก)} = \frac{(W_2 - W_1) \times 100}{W}$$

เมื่อ  $W$  = น้ำหนักของตัวอย่าง (กรัม)

$W_1$  = น้ำหนักของ Extraction cups (กรัม)

$W_2$  = น้ำหนักของ Extraction cups และตัวอย่างหลังอบแห้ง (กรัม)

## 4. การวิเคราะห์ปริมาณถ้า

### 4.1 วิธีวิเคราะห์

ตามวิธีของ AOAC (1990) ชั่งตัวอย่างประมาณ 5 กรัม ในงานกระเบื้องเคลือบที่เผาและชั่งน้ำหนักที่เปล่นอน นำไปเผาด้วยไฟอ่อนๆจนหมอกวัน แล้วนำไปเผาในเตาไฟฟ้าที่อุณหภูมิ  $600 \pm 20$  องศาเซลเซียส นานประมาณ 2-3 ชั่วโมง จนกระถั่งได้ถ้าสีขาวหรือสีเทา นำออกมาวางในเดสิกเกเตอร์ ทิ้งไว้ให้เย็นที่อุณหภูมิห้อง แล้วนำไปชั่งน้ำหนัก เพาตัวอย่างจำนวนครั้งละ 30 นาที จนได้น้ำหนักต่างกันไม่เกิน 1 มิลลิกรัม ถือเป็นน้ำหนักของงานกระเบื้องเคลือบและตัวอย่างหลังจากเผาจนได้น้ำหนักคงที่

#### 4.2 วิธีคำนวณ

$$\text{ปริมาณเดา} (\text{ร้อยละของน้ำหนัก}) = \frac{(W_2 - W_1) \times 100}{(W_1 - W)}$$

เมื่อ  $W$  = น้ำหนักของงานกระเบื้องเคลือบ (กรัม)

$W_1$  = น้ำหนักของงานกระเบื้องเคลือบ และตัวอย่างก่อนเผา(กรัม)

$W_2$  = น้ำหนักของงานกระเบื้องเคลือบ และตัวอย่างหลังเผาจนได้  
น้ำหนักคงที่ (กรัม)

#### 5. การวิเคราะห์ปริมาณเส้นใย

##### 5.1 เครื่องมือ

- 1) บีกเกอร์ชนิดไม่มีปากขนาด 1000 มิลลิลิตร
- 2) เครื่องย่อย (Digestion Apparatus) ที่มีชุดควบคุมอุณหภูมิ (Condensor) สำหรับควบคุมปริมาตรของสารละลายให้คงที่ตลอดเวลาการย่อย
- 3) ถูชครูซิเบิล (Gooch crucible)
- 4) ชุดอุปกรณ์ suction pump พร้อม Flask และ Buchner
- 5) ตู้อบไฟฟ้าที่ปรับและควบคุมอุณหภูมิได้
- 6) เตาเผาไฟฟ้าที่ปรับและควบคุมอุณหภูมิได้
- 7) เคลสิกเคเตอร์ที่มีสารดูดความชื้น

##### 5.2 สารเคมี

- 1) กรดซัลฟูริกความเข้มข้น 0.255 นอร์มัล (สารละลาย 100 มิลลิลิตร มีกรด 1.25 กรัม)
- 2) สารละลายโซเดียมไออกซ์โซเรอกไซด์ความเข้มข้น 0.313 นอร์มัล (สารละลาย 100 มิลลิลิตร มีโซเดียมไออกซ์โซเรอกไซด์ 1.25 กรัม)
- 3) แอลกอฮอล์ที่มีความบริสุทธิ์ร้อยละ 95

### 5.3 วิธีวิเคราะห์

ตามวิธีของ AOAC (1990) ซึ่งตัวอย่างให้ได้น้ำหนัก 2.5 กรัม ใส่ในบิกเกอร์ขนาด 1000 มิลลิลิตร เติมกรดซัลฟูริก 0.255 นอร์มัล ซึ่งต้มเดือดลงไป 200 มิลลิลิตร นำไปเข้าเครื่องย่อย และต้มเดือดต่อไปอีกนาน 30 นาที กรองทันทีด้วยกระดาษกรองเบอร์ 1 ด้วยการ suction ล้างด้วยน้ำร้อนจนหมดครั้ง (ประมาณ 200 มิลลิลิตร) ตรวจสอบด้วยกระดาษลิตมัส ถ่ายากบนกระดาษกรองลงในบิกเกอร์เดิมจนหมด จากนั้นย่อด้วยสารละลายโซเดียมไฮดรอกไซด์ 0.313 นอร์มัล ซึ่งต้มเดือดจำนวน 200 มิลลิลิตร นำไปย่อยต่อทันที และต้มให้เดือดต่อไปอีกนาน 30 นาที กรองทันทีด้วยกระดาษกรองเบอร์ 42 ที่ทราบน้ำหนักที่แน่นอน ด้วยการ suction ล้างด้วยน้ำร้อนจนหมดครั้ง (ประมาณ 200 มิลลิลิตร) ตรวจสอบด้วยกระดาษลิตมัส ล้างภาชนะที่เหลือด้วยแอลกอฮอล์ร้อยละ 95 ปริมาตร 10 มิลลิลิตร นำกระดาษกรองใส่ครูซิเบิลแล้วนำไปอบที่ 105-107 องศาเซลเซียสนานประมาณ 2 ชั่วโมง นำออกมายังในเดสิกເเตอร์ ทิ้งไว้ให้เย็นที่อุณหภูมิห้องแล้วนำไปชั่ง อบตัวอย่างซ้ำนานครั้งละ 30 นาที จนได้น้ำหนักต่างกันไม่เกิน 1 มิลลิกรัม จดนำหนักที่น้อยที่สุดถือเป็นน้ำหนักของครูซิเบิลและการหลังจากที่อบแห้งแล้ว นำครูซิเบิลพร้อมด้วยภาชนะที่อบแห้งไปเผาในเตาไฟฟ้าที่อุณหภูมิ  $600 \pm 20$  องศาเซลเซียส นานประมาณ 30 นาที จนขาวแล้วนำออกมายังในเดสิกເเตอร์ ทิ้งไว้ให้เย็นที่อุณหภูมิห้อง นำไปชั่งแล้วเผาซ้ำนานครั้งละ 30 นาที จนได้น้ำหนักต่างกันไม่เกิน 1 มิลลิกรัม จดนำหนักที่น้อยที่สุดถือเป็นน้ำหนักของครูซิเบิลและเท้าหลังจากที่เผาแล้ว ผลแตกต่างระหว่างการซั่งน้ำหนักทั้งสองครั้งคือน้ำหนักของเส้นใย

### 5.4 วิธีคำนวณ

$$\text{ปริมาณเส้นใย (ร้อยละของน้ำหนัก)} = \frac{(W_1 - W_2) \times 100}{W}$$

เมื่อ  $W$  = น้ำหนักของตัวอย่าง (กรัม)

$W_1$  = น้ำหนักของครูซิเบิลและการหลังจากอบแห้งแล้ว(กรัม)

$W_2$  = น้ำหนักของครูซิเบิลและการหลังจากเผาแล้วลบด้วยน้ำหนักกระดาษกรอง (กรัม)

## **6. การวิเคราะห์ปริมาณแป้งโดยวิธีโพลาริเมตริกของอีซี (Polarimeter method : The European Economic Community)**

### **6.1 เครื่องมือ**

- 1) เครื่องโพลาริมิเตอร์ (SCHMIDT + HAENSCH Polartronic MH8)
- 2) เตาไฟฟ้า
- 3) เครื่องแก้วในการวิเคราะห์

### **6.2 การเตรียมตัวอย่าง**

ตามวิธีการของสำนักงานมาตรฐานผลิตภัณฑ์อุตสาหกรรม (52-2516) เตรียมตัวอย่างโดยร่อนผ่านตะแกรงขนาด 200 เมช ถ้าผ่านไม่ได้ต้องนำมาบดก่อนจะนำไปวิเคราะห์

### **6.3 วิธีวิเคราะห์**

#### **ก. การวิเคราะห์หาโททธล์โรทาทอรีเพาเวอร์ (total rotatory power, P)**

- 1) ชั่งตัวอย่างให้ได้น้ำหนัก 5.000 กรัม ใส่ใน volumetric flask ปริมาตร 200 มิลลิลิตร โดยผ่านทางกรวยแก้วชี้งวนบนปากขวด
- 2) เติมกรดไฮโดรคลอริก 0.3094 นอร์มัล ปริมาตร 50 มิลลิลิตรแล้วเบี่ยงตัวอย่าง กับสารละลายกรณ์ผสมเป็นเนื้อเดียวกัน
- 3) เติมกรดไฮโดรคลอริก 0.3094 นอร์มัล อีก 50 มิลลิลิตร จากนั้นนำไปเบี่ยงน้ำในน้ำเดือดอย่างต่อเนื่องเป็นเวลา 3 นาที แล้วให้ความร้อนต่อไปจนครบ 15 นาที
- 4) นำ volumetric flask ออกจากอ่างน้ำเดือด แล้วเติมน้ำเย็น 60 มิลลิลิตร นำไปแช่ในน้ำเย็นเพื่อลดอุณหภูมิให้เหลือ 20 องศาเซลเซียส
- 5) เติมสารละลายซิงค์ซัลเฟต ร้อยละ 40 ปริมาตร 10 มิลลิลิตรและสารละลายโซดาเซี่ยมเฟอร์โรไซยาไนด์ ร้อยละ 10 ปริมาตร 10 มิลลิลิตร พร้อมกับเบี่ยงๆ
- 6) ปรับปริมาตรด้วยน้ำกลั่นให้ครบ 200 มิลลิลิตร แล้วเบี่ยงสารละลายให้ผสมเป็นเนื้อเดียวกัน

- 7) กรองสารละลายด้วยกระดาษกรองเบอร์ 1 ทึ่งสารละลายที่กรองได้ 25 มิลลิลิตรแล้ว นำสารละลายที่กรองได้เทผ่านหลอดแก้วยาว 10 เดซิเมตร ของเครื่องโพลาริมิเตอร์
- 8) อ่านค่าของ total rotatory power (P) เป็น angular degree ที่อุณหภูมิ 20 องศาเซลเซียส

ข. การวิเคราะห์หาโรทาโธเพาเวอร์ ของสารละลายในน้ำ หลังจากทำปฏิกิริยา กับกรดไฮโดรคลอริก (rotatory power, P')

- 1) ชั่งตัวอย่างให้ได้น้ำหนัก 12.500 กรัม ใส่ใน volumetric flask ปริมาตร 250 มิลลิลิตร โดยผ่านทางกรวยแก้วซึ่งวางบนปากขวด
- 2) เติมน้ำกลันประมาณ 20 มิลลิลิตร เขย่าแล้วตั้งทิ่งไว้ที่อุณหภูมิห้องน้ำ 1 ชั่วโมง โดยเขย่าเป็นระยะประมาณ 6 ครั้ง ปรับปริมาตรด้วยน้ำกลันให้ครบ 250 มิลลิลิตร แล้ว เขย่าซ้ำอีกครั้งหนึ่ง
- 3) ตั้งทิ่งไว้ให้แบ่งตกตะกอน แล้วกรองให้ได้สารละลายใส ด้วยกระดาษกรองเบอร์ 42 (ทดสอบสารละลายที่กรองได้ว่าไม่มีแบ่งปนออกมา โดยแบ่งสารละลายมา 2 มิลลิลิตร หยดสารละลายไฮโดรคลีนเจือจาง 1 หยด สารละลายนี้จะต้องไม่มีสีน้ำเงินเกิดขึ้น)
- 4) ใช้ปีเปตดูดสารละลาย 100 มิลลิลิตร (ซึ่งเท่ากับตัวอย่าง 5 กรัม) ใส่ใน volumetric flask ปริมาตร 200 มิลลิลิตร และเติมกรดไฮโดรคลอริกร้อยละ 25 ของน้ำหนัก จำนวน 4.2 มิลลิลิตร เขย่าให้สารละลายผสมเป็นเนื้อเดียวกัน แล้วจุ่มลงในอ่างน้ำเดือด เช่นเดียวกับการวิเคราะห์หา P เป็นเวลา 15 นาที
- 5) จากนั้นใช้วิธีวิเคราะห์เช่นเดียวกับการหา P แล้วคำนวณหาปริมาณแบ่งเป็นร้อยละของน้ำหนักเมื่ออบแห้ง ตามสูตร

$$\text{ปริมาณแบ่ง} = \frac{2000 \times (P - P') \times 100 \times 2}{(\alpha)_D^E \times (100 - M)}$$

เมื่อ P = Total rotatory power, angular degree

P' = Rotatory power of active water-soluble substance, angular degree

$(\alpha)_D^E$  = ค่าเฉพาะของแบ่งสำหรับแบ่งมันสำปะหลังมีค่า 184.00

M = ปริมาณความชื้นเป็นร้อยละ

ภาคผนวก ๔

**Linear Viscoelastic Range**

## **การวิเคราะห์ Linear Viscoelastic (LVE) Range**

Linear Viscoelastic Range คือ ช่วงที่วัสดุแสดงลักษณะยืดหยุ่น (elasticity) นั่นคือวัสดุมีความสามารถในการคืนตัวกลับสู่สภาพเดิมหลังจากที่มีการถดถ่ายที่ให้แก้วัสดุ ค่า  $G'$  และ  $G''$  จะมีค่าคงที่ และลักษณะของกราฟในช่วงนี้จะเป็นเส้นตรง ตรวจสอบด้วยการทำ amplitude sweep ซึ่งเป็น oscillatory test แบบหนึ่ง โดยแปรผันความเครียด (shear strain) ขณะความถี่ (frequency) มีค่าคงที่

### 1. เครื่องมือ

1.1 เครื่อง Rheometer (Physica MCR Series 300)

1.2 หัวกดแบบ Parallel plate ขนาดเส้นผ่านศูนย์กลาง 50 มิลลิเมตร

1.3 อ่างน้ำไฟฟ้าแบบควบคุมอุณหภูมิได้

### 2. สารเคมี

2.1 สารละลายน้ำตาลชูโกรสเข้มข้นร้อยละ 0, 10, 20 และ 30 โดยน้ำหนัก

2.2 สารละลายเกลือโซเดียมคลอไรด์เข้มข้นร้อยละ 0, 5, 10 และ 15 โดยน้ำหนัก

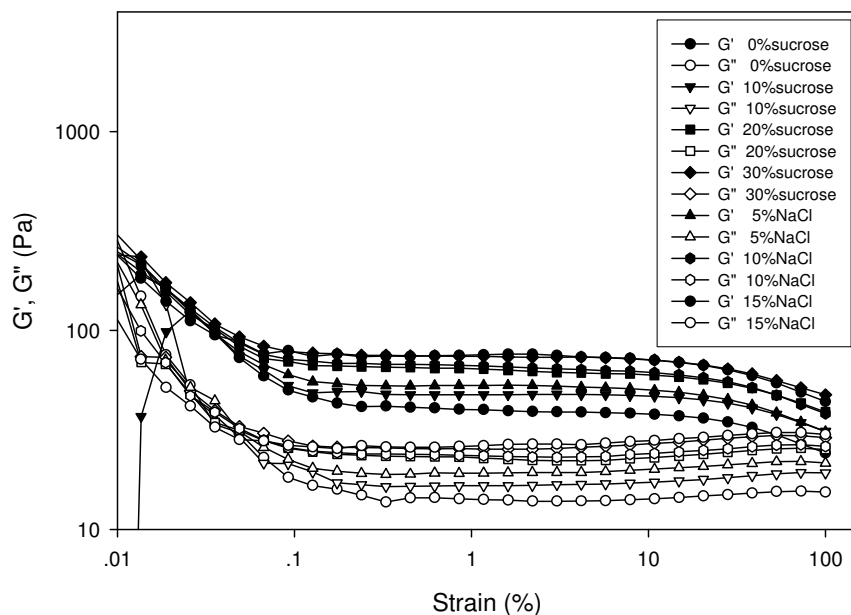
### 3. วิธีวิเคราะห์

3.1 เตรียมตัวอย่างแป้งมันสำปะหลังเข้มข้นร้อยละ 5 โดยน้ำหนักในสารละลายน้ำตาลชูโกรสและเกลือโซเดียมคลอไรด์ที่ระดับความเข้มข้นต่างๆ ในฟลาสก์ปริมาตร 50 มิลลิลิตร เบเย่าให้สารละลายผสมเป็นเนื้อดียกัน

3.2 ทำการ Pregelatinized โดยเบเย่าอย่างต่อเนื่องในน้ำร้อนที่อุณหภูมิการเกิดเจลาทีนเซชันของแป้งซึ่งจะแตกต่างกันไปตามความเข้มข้นของสารละลายน้ำตาลหรือเกลือ

3.3 นำตัวอย่างที่ผ่านการ Pregelatinized แล้วมาให้ความร้อนในอ่างน้ำไฟฟ้าที่อุณหภูมิ 95 องศาเซลเซียส เป็นเวลา 30 นาที จากนั้นนำมาตั้งทิ้งไว้ที่อุณหภูมิห้องเป็นเวลา 1 ชั่วโมง ก่อนนำมาทดสอบ

3.4 เทตัวอย่างลงบนแท่นวางตัวอย่าง (rheometer platform) ที่ตั้งอุณหภูมิไว้ที่ 25 องศาเซลเซียส ใช้หัวกดแบบ parallel plate ขนาดเส้นผ่านศูนย์กลาง 50 มิลลิเมตร กำหนดขนาดช่องว่างสำหรับใส่ตัวอย่าง (Gap size) เท่ากับ 1000  $\mu\text{m}$  กำหนดความถี่เท่ากับ 1 Hz และค่าความเครียดเท่ากับ 0.01-100% กราฟที่ได้จะแสดงการเปลี่ยนแปลงค่า Storage modulus ( $G'$ ) และ Loss modulus ( $G''$ ) เทียบกับ % Strain ดังภาพพนวกที่ ॥1



ภาพพนวกที่ ॥1 Linear Viscoelastic Range ของเจลเปี๊บมันสำปะหลังในสารละลายน้ำตาล  
ซูโครัสและเกลือโซเดียมคลอไรด์ที่ระดับความเข้มข้นต่าง ๆ

## ประวัติการศึกษา และการทำงาน

ชื่อ	นางสาวสุจิตรา วงศ์ประยูร
เกิดวันที่	22 สิงหาคม พ.ศ. 2523
สถานที่เกิด	อำเภอบรรพตพิสัย จังหวัดนครสวรรค์
ประวัติการศึกษา	วท.บ. (ชีววิทยา) สาขาวุฒิชีววิทยา มหาวิทยาลัยเกษตรศาสตร์ (พ.ศ. 2545)
ทุนการศึกษาที่ได้รับ	ทุนมูลนิธิสถาบันพัฒนามั่นคงหลังแห่งประเทศไทย (พ.ศ. 2547) ทุนสนับสนุนงานวิจัยระดับบัณฑิตศึกษา บัณฑิตวิทยาลัย มหาวิทยาลัยเกษตรศาสตร์ (พ.ศ. 2548)